



industriales
etsii

Escuela Técnica
Superior
de Ingeniería
Industrial

UNIVERSIDAD POLITÉCNICA DE CARTAGENA

Escuela Técnica Superior de Ingeniería Industrial

Diseño de un Analizador Vectorial de Redes de bajo coste para la caracterización de medios dieléctricos

TRABAJO FIN DE GRADO

GRADO EN INGENIERÍA ELECTRÓNICA INDUSTRIAL Y
AUTOMÁTICA

Autor: Javier Mariano Garrido López
Director: Manuel Jiménez Buendía
Codirector: Ana Belén Toledo Moreo
Juan Domingo González Teruel



Universidad
Politécnica
de Cartagena

Cartagena, Julio de 2021

Índice general

| | |
|--|----------|
| Índice de figuras | VIII |
| Índice de tablas | IX |
| Lista de Símbolos | XI |
| Resumen | XV |
| Abstract | XVII |
| 1. Introducción | 1 |
| 1.1. Objetivos | 2 |
| 2. Estado del arte | 5 |
| 2.1. Líneas de transmisión | 5 |
| 2.1.1. Ondas electromagnéticas | 7 |
| 2.1.1.1. Ecuaciones de Maxwell | 8 |
| 2.1.1.2. Propiedades ópticas de las ondas de radio | 11 |
| 2.1.2. Impedancia | 15 |
| 2.1.3. Parámetros S | 17 |
| 2.1.4. Carta de Smith | 19 |
| 2.1.5. Parámetros de una línea de transmisión | 23 |
| 2.2. Analizador de redes vectorial (VNA) | 25 |
| 2.2.1. Origen y evolución del VNA | 25 |
| 2.2.1.1. VNA en la actualidad | 28 |
| 2.2.1.2. VNA para medios dieléctricos | 29 |
| 2.2.2. Tipos de analizadores de redes | 30 |
| 2.2.3. Funcionamiento del VNA | 31 |
| 2.2.3.1. Arquitectura de un VNA | 32 |
| 2.2.3.2. Medida de parámetros S con un VNA | 35 |
| 2.2.4. Corrección de errores | 37 |

ÍNDICE GENERAL

| | | |
|-----------|--|-----------|
| 2.2.4.1. | Errores sistemáticos | 37 |
| 2.2.4.2. | Corrección vectorial de errores | 38 |
| 2.2.5. | Calibración y proceso de medida del VNA | 41 |
| 2.2.6. | Medidas del VNA | 42 |
| 2.3. | Medios dieléctricos | 45 |
| 2.3.1. | Caracterización de medios dieléctricos | 49 |
| 2.3.1.1. | Métodos no resonantes | 49 |
| 2.3.1.2. | Métodos resonantes | 54 |
| 3. | Diseño de la solución | 57 |
| 3.1. | Diseño del esquemático | 58 |
| 3.1.1. | Diagrama de bloques | 58 |
| 3.1.1.1. | VNA de 2 puertos | 58 |
| 3.1.1.2. | VNA de 1 puerto | 63 |
| 3.1.2. | Bloques detallados del esquemático | 67 |
| 3.1.2.1. | Alimentación | 67 |
| 3.1.2.2. | Generador de señales | 68 |
| 3.1.2.3. | Separadores de señal | 69 |
| 3.1.2.4. | Receptores de la señal | 70 |
| 3.1.2.5. | Procesador | 72 |
| 3.1.2.6. | Puertos externos | 73 |
| 3.2. | Diseño de la PCB | 74 |
| 3.2.1. | Elección de componentes | 74 |
| 3.2.2. | Colocación de componentes y tamaño de la PCB | 75 |
| 3.2.3. | Trazado de las pistas y finalización | 76 |
| 3.2.4. | Archivos Gerber | 81 |
| 3.3. | Adquisición de los componentes electrónicos | 82 |
| 3.3.1. | Precio del VNA | 83 |
| 3.4. | Montaje de la PCB | 84 |
| 3.5. | Programación del microcontrolador | 87 |
| 3.5.1. | Código fuente | 89 |
| 3.5.2. | Compilación y programación | 91 |
| 3.6. | Datalogger con ESP32 en MicroPython | 93 |
| 3.6.1. | Protocolo SDI-12 | 94 |
| 3.6.2. | Diseño de la PCB del Datalogger | 98 |
| 3.6.2.1. | Esquemático del Datalogger | 98 |
| 3.6.2.2. | PCB del Datalogger | 99 |

| | |
|--|------------|
| 4. Estudio experimental | 105 |
| 4.1. Pruebas preliminares del VNA diseñado | 105 |
| 4.2. Experimentación | 107 |
| 4.2.1. Materiales | 109 |
| 4.2.2. Procedimiento | 112 |
| 4.3. Calibración del VNA | 115 |
| 4.3.1. Calibración OWL | 115 |
| 4.3.2. Modelos dieléctricos de dispersión | 119 |
| 4.3.2.1. Modelo de Debye | 120 |
| 4.3.2.2. Modelo de Double Debye | 120 |
| 4.3.2.3. Modelo de Cole-Cole | 121 |
| 4.3.2.4. Modelo de Davidson-Cole | 121 |
| 4.3.2.5. Representación gráfica de los modelos para la permitividad | 122 |
| 5. Resultados | 125 |
| 5.1. Coeficiente de reflexión | 125 |
| 5.1.1. Coeficiente de reflexión con el VNA de referencia . . . | 126 |
| 5.1.2. Coeficiente de reflexión con el VNA diseñado | 127 |
| 5.2. Permitividad compleja | 129 |
| 5.2.1. Calibración OWL del VNA de referencia | 129 |
| 5.2.1.1. Error en la calibración OWL del VNA de re- ferencia | 135 |
| 5.2.2. Calibración OWL del VNA diseñado | 136 |
| 5.2.2.1. Error en la calibración OWL del VNA diseñado | 141 |
| 5.3. Ampliación del código del Datalogger | 142 |
| 5.4. Ensayo con el sistema completo | 148 |
| 6. Conclusiones y trabajos futuros | 151 |
| 6.1. Trabajos futuros | 153 |
| Anexos | 155 |
| Anexo I. Hojas de características | 157 |
| I.1. VNA | 158 |
| I.2. Datalogger | 175 |
| I.3. Termopar | 192 |
| Anexo II. Diagramas de bloques | 194 |
| II.1. Diagrama de bloques del VNA de 2 puertos | 196 |
| II.2. Diagrama de bloques del VNA de 1 puerto | 198 |
| II.3. Flujograma del código del microcontrolador del VNA . . | 200 |

ÍNDICE GENERAL

| | |
|---|------------|
| II.4. Diagrama de bloques para la realización de ensayos con el VNA | 202 |
| Anexo III. Esquemáticos | 204 |
| III.1. Esquemático del VNA de 2 puertos | 206 |
| III.2. Esquemático del VNA de 1 puerto. Primera versión | 208 |
| III.3. Esquemático del VNA de 1 puerto. Última versión | 210 |
| III.4. Esquemático del Datalogger | 212 |
| Anexo IV. Placas de circuito impreso (PCB) | 214 |
| IV.1. PCB del VNA. Primera versión | 216 |
| IV.2. PCB del VNA. Última versión | 218 |
| IV.3. PCB del Datalogger | 220 |
| IV.4. Dimensiones del VNA (mm) | 222 |
| Anexo V. Códigos | 224 |
| V.1. Código C del <i>main.c</i> del microcontrolador del VNA | 226 |
| V.2. Código MicroPython del Datalogger | 263 |
| V.3. Código MATLAB para la calibración OWL | 272 |
| Bibliografía | 291 |
| Agradecimientos | 293 |

Índice de figuras

| | |
|---|----|
| 2.1. Propagación de las ondas incidente, reflejada y transmitida. Analogía con la luz [15]. DUT (<i>Device Under Test</i>) es el dispositivo bajo prueba. | 6 |
| 2.2. Onda electromagnética. | 7 |
| 2.3. Fenómeno de reflexión de una onda electromagnética. | 11 |
| 2.4. Fenómeno de refracción de una onda electromagnética. | 12 |
| 2.5. Fenómeno de difracción de una onda electromagnética. | 14 |
| 2.6. Parámetros S en una red de dos puertos [15]. | 19 |
| 2.7. Carta de Smith [13]. | 22 |
| 2.8. Analizador de redes de sobremesa HP 8410 [31]. | 26 |
| 2.9. Analizador de redes vectorial de cuatro puertos [31]. | 27 |
| 2.10. Analizador de redes vectorial portátil. | 28 |
| 2.11. NanoVNA [42]. | 29 |
| 2.12. Diferencia entre fase y amplitud de la señal de prueba y la señal de respuesta del dispositivo. | 31 |
| 2.13. Arquitectura de un VNA [15]. | 32 |
| 2.14. Separadores de señal [15]. | 33 |
| 2.15. Receptores de señal [15]. | 34 |
| 2.16. VNA con pantalla e interfaz de usuario. | 35 |
| 2.17. Medida de parámetros S y partes básicas de un VNA. | 35 |
| 2.18. Términos de error [15]. | 38 |
| 2.19. Modelo de error directo para un dispositivo de dos puertos [15]. | 39 |
| 2.20. Modelo de error inverso para un dispositivo de dos puertos [15]. | 39 |
| 2.21. Contenido de un archivo *.s1p. | 41 |
| 2.22. Representación en Carta de Smith. | 42 |
| 2.23. Representación en diagrama de magnitud (dB). El eje horizontal representa la frecuencia (Hz). | 42 |
| 2.24. Representación en diagrama de parte real (marrón) e imaginaria (azul). El eje horizontal representa la frecuencia (Hz). . . | 43 |
| 2.25. Dispersión dieléctrica. Permitividad en función de la frecuencia [13]. | 48 |

ÍNDICE DE FIGURAS

| | |
|---|----|
| 2.26. Método de reflexión en una sonda coaxial [16]. | 50 |
| 2.27. Método de reflexión en una sonda coaxial de final abierto. Detalle de la sonda en contacto con el material bajo estudio [13]. | 51 |
| 2.28. Método de reflexión/transmisión de la guía de ondas [16]. | 52 |
| 2.29. Método de reflexión de la guía de ondas [34]. | 52 |
| 2.30. Método del espacio libre [13]. | 53 |
| 2.31. Método de reflexión del espacio libre [13]. | 54 |
| 2.32. Configuración de un resonador Courtney [13]. | 55 |
| 2.33. Método de perturbación resonante [16]. | 56 |
| | |
| 3.1. Diagrama de bloques del VNA de 2 puertos. | 59 |
| 3.2. Esquemático del VNA de 2 puertos. USB, alimentación y puerto BAT1. | 61 |
| 3.3. Esquemático del VNA de 2 puertos. Generador de señales, separadores de señales y receptores de señales. | 61 |
| 3.4. Esquemático del VNA de 2 puertos. Microcontrolador, pantalla LCD, tarjeta SD y puertos BOOT0 y P1. | 62 |
| 3.5. Diagrama de bloques del VNA de 1 puerto. | 63 |
| 3.6. Esquemático del VNA de 1 puerto. USB y alimentación. | 64 |
| 3.7. Esquemático del VNA de 1 puerto. Generador de señales, se- paradores de señales y receptores de señales. | 65 |
| 3.8. Esquemático del VNA de 1 puerto. Microcontrolador y puertos BOOT0, P1 y P2. | 65 |
| 3.9. Cambios en la última versión del esquemático del VNA de 1 puerto. USB y puerto I2C. | 66 |
| 3.10. Bloque de alimentación. | 67 |
| 3.11. Bloque del generador de señales. | 68 |
| 3.12. Bloque de los separadores de señal. | 69 |
| 3.13. Bloque de los receptores de señal. | 71 |
| 3.14. Bloque del microcontrolador. | 72 |
| 3.15. Bloque de los puertos externos. | 73 |
| 3.16. Altium Designer. Software de diseño de PCB. | 74 |
| 3.17. Búsqueda de componentes con Altium Designer. | 75 |
| 3.18. Colocación de los componentes y definición de la PCB. | 76 |
| 3.19. Configuración del tamaño de las pistas. | 77 |
| 3.20. PCB del VNA terminada. | 78 |
| 3.21. Pistas de la PCB. Parte superior. | 79 |
| 3.22. Pistas de la PCB. Parte inferior. | 79 |
| 3.23. Vista 3D superior de la PCB. | 80 |
| 3.24. Vista 3D inferior de la PCB. | 80 |

ÍNDICE DE FIGURAS

| | |
|---|-----|
| 3.25. Generación de los archivos Gerber. | 81 |
| 3.26. PCB y stencil. | 84 |
| 3.27. PCB soldada. Primera versión. | 85 |
| 3.28. PCB soldada. Última versión. | 86 |
| 3.29. Flujograma del código del microcontrolador. | 88 |
| 3.30. ESP32 utilizada para realizar las pruebas del Datalogger. | 93 |
| 3.31. Esquema de conexión SDI-12 [36]. | 94 |
| 3.32. Circuito de adaptación UART/SDI-12. | 96 |
| 3.33. Esquemático del Datalogger basado en una ESP32. | 98 |
| 3.34. PCB del Datalogger terminada. | 100 |
| 3.35. Pistas de la PCB del Datalogger. Parte superior. | 101 |
| 3.36. Pistas de la PCB del Datalogger. Parte inferior. | 101 |
| 3.37. Vista 3D superior de la PCB del Datalogger. | 102 |
| 3.38. Vista 3D inferior de la PCB del Datalogger. | 102 |
| 3.39. Funcionamiento del SDI-12 implementado en el Datalogger. | 103 |
| | |
| 4.1. Diagrama de bloques para la realización de ensayos. | 108 |
| 4.2. Vaso de precipitado de 600 ml. | 109 |
| 4.3. Cable coaxial SMA conectado a la sonda coaxial de final abierto. | 110 |
| 4.4. Sonda coaxial de latón y teflón de final abierto. | 110 |
| 4.5. Termopar Comark C28 tipo K. | 111 |
| 4.6. VNA firmemente fijado. | 112 |
| 4.7. Cable coaxial y sonda coaxial de final abierto conectados al VNA. Sonda coaxial sumergida en el líquido medido. | 113 |
| 4.8. NanoVNA Saver. | 114 |
| 4.9. Estándar <i>Open-Short-Load</i> | 115 |
| 4.10. Modelo para la permitividad compleja. | 119 |
| 4.11. Representación gráfica de los modelos para la permitividad de los distintos materiales. Parte real. | 122 |
| 4.12. Representación gráfica de los modelos para la permitividad de los distintos materiales. Parte imaginaria. | 123 |
| | |
| 5.1. Coeficiente S_{11} medido sobre los distintos materiales con el VNA de referencia. | 126 |
| 5.2. Coeficiente S_{11} medido sobre los distintos materiales con el VNA diseñado. | 127 |
| 5.3. Comparativa del coeficiente de reflexión de la acetona de am- bos analizadores de redes. | 128 |
| 5.4. Calibración OWL con metanol. VNA de referencia. | 130 |
| 5.5. Calibración OWL con isopropanol. VNA de referencia. | 131 |
| 5.6. Calibración OWL con acetona. VNA de referencia. | 132 |

ÍNDICE DE FIGURAS

| | |
|--|-----|
| 5.7. Calibración OWL con etilenglicol. VNA de referencia. | 133 |
| 5.8. Calibración OWL con acetona hasta 1 GHz. VNA de referencia. | 134 |
| 5.9. Calibración OWL con metanol. VNA diseñado. | 136 |
| 5.10. Calibración OWL con isopropanol. VNA diseñado. | 137 |
| 5.11. Calibración OWL con acetona. VNA diseñado. | 138 |
| 5.12. Calibración OWL con etilenglicol. VNA diseñado. | 139 |
| 5.13. Calibración OWL con acetona hasta 1 GHz. VNA diseñado. . | 140 |
| 5.14. Ficheros de texto con el valor de la parte real e imaginaria del coeficiente de reflexión y de la permitividad, generados por el Datalogger. | 148 |
| 5.15. Coeficiente de reflexión del isopropanol con los datos del fiche- ro de texto del Datalogger. | 149 |
| 5.16. Permitividad del isopropanol con los datos del fichero de texto del Datalogger. | 150 |

Índice de tablas

| | |
|--|-----|
| 3.1. Tamaño de las pistas de la PCB. | 77 |
| 3.2. Listado de componentes electrónicos. | 82 |
| 3.3. Precio de los componentes electrónicos. | 83 |
| 3.4. Listado de comandos de la Shell del VNA. | 90 |
| 3.5. Comandos relevantes en el protocolo SDI-12. | 95 |
| 3.6. Tamaño de las pistas de la PCB del Datalogger. | 100 |
| 4.1. Listado de materiales medidos con el NanoVNA y su temperatura. | 107 |
| 4.2. Listado de materiales medidos con el VNA diseñado y su temperatura. | 107 |
| 4.3. Dimensiones de la sonda coaxial de final abierto. | 111 |
| 4.4. Modelos utilizados para la permitividad de los distintos materiales. | 120 |
| 5.1. Errores $RMSE$ durante la calibración OWL con los distintos líquidos para el VNA de referencia. | 135 |
| 5.2. Errores $RMSE$ durante la calibración OWL con los distintos líquidos para el VNA diseñado. | 141 |
| 5.3. Constantes c_1 , c_2 y c_3 introducidas en el código del Datalogger para el cálculo de la permitividad. | 142 |

ÍNDICE DE TABLAS

Lista de Símbolos

| | | |
|-----------------|---|------------|
| a_n | Onda de potencia incidente | \sqrt{W} |
| b_n | Onda de potencia reflejada | \sqrt{W} |
| B | Inducción magnética | T |
| c | Velocidad de la luz en el vacío | m/s |
| c_1, c_2, c_3 | Constantes para el cálculo de la permitividad a partir del coeficiente de reflexión | - |
| C | Capacidad | F |
| D | Desplazamiento eléctrico | C/m^2 |
| E | Campo eléctrico | V/m |
| E_D | Término de error en la directividad directa | - |
| E'_D | Término de error en la directividad inversa | - |
| E_X | Término de error en el aislamiento directo | - |
| E'_X | Término de error en el aislamiento inverso | - |
| E_S | Término de error en la adaptación de la fuente directo | - |
| E'_S | Término de error en la adaptación de la fuente inverso | - |
| E_L | Término de error en la adaptación de la carga directo | - |
| E'_L | Término de error en la adaptación de la carga inverso | - |
| E_{RT} | Término de error en las mediciones de reflexión directas | - |
| E'_{RT} | Término de error en las mediciones de reflexión inversas | - |
| E_{TT} | Término de error en las mediciones de transmisión directas | - |
| E'_{TT} | Término de error en las mediciones de transmisión inversas | - |
| f | Frecuencia | Hz |

LISTA DE SÍMBOLOS

| | | |
|----------------|---|----------|
| f_r | Frecuencia de relajación | Hz |
| \mathbf{F} | Fuerza | N |
| \mathbf{H} | Excitación magnética | A/m |
| I | Corriente eléctrica | A |
| j | Unidad imaginaria | - |
| \mathbf{J} | Densidad de corriente eléctrica | A/m^2 |
| L | Autoinducción | H |
| n | Índice de refracción | - |
| \mathbf{P} | Vector de polarización | C/m^2 |
| q | Carga eléctrica | C |
| r | Resistencia normalizada | Ω |
| R | Resistencia | Ω |
| RL | Pérdida de retorno (return loss) | dB |
| $RMSE$ | Error cuadrático medio | - |
| ROE | Razón de onda estacionaria | - |
| S_{11} | Coefficiente de reflexión del puerto de entrada | - |
| $S_{11}^{L,i}$ | Coefficiente de reflexión del líquido medido | - |
| S_{11}^O | Coefficiente de reflexión del aire | - |
| S_{11}^W | Coefficiente de reflexión del agua destilada | - |
| S_{12} | Coefficiente de transmisión inverso | - |
| S_{21} | Coefficiente de transmisión directo | - |
| S_{22} | Coefficiente de reflexión del puerto de salida | - |
| S_{xxa} | Parámetro S real | - |
| S_{xxm} | Parámetro S medido | - |
| $\tan \delta$ | Tangente de pérdidas | - |
| T | Coefficiente de transmisión | - |
| v | Velocidad | m/s |
| V | Tensión | V |
| V_i | Onda de tensión incidente | V |
| V_n^+ | Onda de tensión incidente | V |
| V_n^- | Onda de tensión reflejada | V |
| V_r | Onda de tensión reflejada | V |
| V_t | Onda de tensión transmitida | V |
| x | Reactancia normalizada | Ω |
| X | Reactancia | Ω |
| X_C | Reactancia capacitiva | Ω |
| X_L | Reactancia inductiva | Ω |
| z | Impedancia normalizada | Ω |
| Z | Impedancia | Ω |

LISTA DE SÍMBOLOS

| | | |
|-----------------------|--|--------------|
| Z_0 | Impedancia característica de la línea de transmisión | Ω |
| Z_L | Impedancia de la carga conectada a la línea de transmisión | Ω |
| β | Parámetro de caracterización de la distribución de relajación | - |
| Γ | Coefficiente de reflexión | - |
| Γ_i | Parte imaginaria del coeficiente de reflexión | - |
| Γ_r | Parte real del coeficiente de reflexión | - |
| ε | Permitividad eléctrica | C^2/Nm^2 |
| ε' | Parte real de la permitividad compleja | C^2/Nm^2 |
| ε'' | Parte imaginaria de la permitividad compleja | C^2/Nm^2 |
| ε_0 | Permitividad eléctrica del vacío | C^2/Nm^2 |
| ε_h | Permitividad de alta frecuencia de la relajación de la frecuencia más baja | - |
| ε_r | Permitividad relativa | - |
| ε_r^* | Permitividad estimada | - |
| $\varepsilon_{r,L,i}$ | Permitividad relativa del líquido medido | - |
| $\varepsilon_{r,O}$ | Permitividad relativa del aire | - |
| $\varepsilon_{r,W}$ | Permitividad relativa del agua destilada | - |
| ε_s | Permitividad estática | - |
| ε_∞ | Permitividad a alta frecuencia | - |
| θ_i | Ángulo incidente | <i>rad</i> |
| θ_r | Ángulo reflejado | <i>rad</i> |
| θ_t | Ángulo transmitido o refractado | <i>rad</i> |
| λ | Longitud de onda | <i>m</i> |
| μ | Permeabilidad magnética | <i>Tm/A</i> |
| μ' | Parte real de la permeabilidad compleja | <i>Tm/A</i> |
| μ'' | Parte imaginaria de la permeabilidad compleja | <i>Tm/A</i> |
| ρ | Densidad de carga eléctrica | C/m^3 |
| σ | Conductividad eléctrica | <i>S/m</i> |
| σ' | Parte real de la conductividad compleja | <i>S/m</i> |
| σ'' | Parte imaginaria de la conductividad compleja | <i>S/m</i> |
| τ | Tiempo de relajación | <i>s</i> |
| χ_e | Susceptibilidad eléctrica | - |
| ω | Frecuencia angular | <i>rad/s</i> |
| ∇ | Operador nabla | - |

LISTA DE SÍMBOLOS

Resumen

El presente proyecto tiene su origen en la necesidad de poder caracterizar los medios dieléctricos de una forma precisa, más económica y más rápida. La medida de la permitividad es muy importante en aplicaciones científicas, industriales y médicas y, por tanto, es fundamental conocer su valor en los principales materiales dieléctricos. Para ello, el trabajo se centra en la realización del diseño de un Analizador de redes vectorial (VNA, *Vector Network Analyzer*) de tamaño reducido, portátil y de bajo coste que ofrezca una buena calidad y precisión de medida y una velocidad rápida para la medición y la calibración en la caracterización de medios dieléctricos.

El VNA diseñado dispone de un microcontrolador para gestionar todo el sistema, realizar el tratamiento de la señal y realizar la adquisición de los datos, además de otros componentes como osciladores, generador de señales a diferentes frecuencias, mezcladores de frecuencia o códec de audio, entre otros. Se ha realizado la implementación de un solo puerto de medida para realizar las medidas de reflexión. Además, se ha implementado un sistema de comunicación SDI-12 para la adquisición de datos mediante un datalogger.

En primer lugar, se ha realizado un estudio previo sobre el funcionamiento de un VNA. Seguidamente, se ha desarrollado el diseño electrónico de un prototipo de VNA usando herramientas de diseño de PCB. Después, se ha procedido a la adquisición de todos los componentes necesarios y a la fabricación del prototipo de VNA, así como a la programación del microcontrolador en lenguaje C, que se encargará de gestionar el sistema. Finalmente, se han realizado los experimentos y ensayos con el prototipo funcional para validar el funcionamiento del mismo.

RESUMEN

Abstract

This research results from the need to characterize dielectric media in a precise, cheaper and faster way. The measurement of permittivity is very important in scientific, industrial and medical applications, being essential to know its value in the main dielectric materials. Thus, the project is focused on the design of a small, portable and low-cost Vector Network Analyzer (VNA) that offers good quality and precision of measurement and a fast speed for measurement and calibration in the characterization of dielectric media.

The designed VNA has a microcontroller to manage the entire system and perform the signal processing and data acquisition, in addition to other components, such as oscillators, signal generator at different frequencies, frequency mixers or audio codec, among others. A single measurement port has been implemented to perform reflection measurements. Moreover, an SDI-12 communication system has been implemented for data acquisition through a datalogger.

First of all, a preliminary study has been carried out on the functioning of a VNA. Next, the electronic design of a VNA prototype has been developed using PCB design tools. Then, all the necessary components have been acquired and the VNA prototype was assembled, as well as the programming of the microcontroller in C language, which will be in charge of managing the system. Finally, experiments and tests with the functional prototype have been carried out to validate its operation.

ABSTRACT

Capítulo 1

Introducción

Este proyecto se enmarca en el ámbito de la aplicación de la tecnología de la radiofrecuencia y las microondas para la determinación de las propiedades dieléctricas de los materiales con un bajo coste y con la posibilidad de realizarlo en campo.

La caracterización de medios dieléctricos se ha desarrollado de una forma muy amplia en los últimos tiempos. Para investigaciones de las características macroscópicas de los materiales, recientemente, ha habido un interés creciente en la determinación de las propiedades dieléctricas de los materiales en el rango de la radiofrecuencia y las microondas. Esto es debido a la importancia de esas propiedades para construir componentes electrónicos de alta frecuencia, las propiedades de los materiales superconductores, la calidad del sustrato de las placas de circuito impreso, la eficiencia de los materiales de absorción de microondas y el rendimiento de los diseños de antenas dieléctricas. Por tanto, debido a su amplio uso, es importante conocer las propiedades dieléctricas de los materiales y, para ello, es necesario su medida.

Existe una gran variedad de métodos para determinar las propiedades dieléctricas de los materiales. En función del equipo utilizado y de los principios de medida, se encuentran los métodos no resonantes y los métodos resonantes. Las consideraciones para la elección del método concreto para medir las propiedades dieléctricas de los materiales dependen de factores como el grosor necesario del material, el tamaño de la guía de ondas, las limitaciones de frecuencia y la precisión de las medidas. Para realizar las mediciones, habitualmente se emplea un analizador de redes vectorial como fuente, que

permite obtener datos acerca de la reflexión y la transmisión de la medida. Sin embargo, el coste de analizadores que realicen medidas de calidad, así como sus grandes dimensiones, hace que su uso no esté muy difundido y se limite a entornos de investigación o laboratorios. Por tanto, es primordial realizar estudios y desarrollos de sistemas que presenten un coste y tamaño reducidos que permitan que estos instrumentos sean más accesibles.

En el presente trabajo, se ha realizado el diseño y fabricación de un analizador de redes vectorial de bajo coste y dimensiones reducidas para obtener el valor de la permitividad de materiales dieléctricos a partir de la medida del coeficiente de reflexión.

La primera parte del proyecto se centra en el estudio y diseño del mismo. Posteriormente, se procede a la adquisición de los componentes y al montaje del prototipo, así como a la programación del microcontrolador. Finalmente, se realiza la calibración del analizador y se muestran los resultados obtenidos para cinco líquidos distintos y el aire tras la realización de los ensayos con el prototipo.

1.1. Objetivos

El objetivo principal del presente proyecto consiste en realizar el diseño y la fabricación de un analizador de redes vectorial o VNA de tamaño reducido, portátil y de bajo coste que ofrezca una buena calidad y precisión de medida y una velocidad rápida para la medición y la calibración. El VNA diseñado se utilizará para la caracterización de medios dieléctricos, como líquidos, suelos o tejidos biológicos.

Dentro de esta línea, el presente Trabajo Fin de Grado tiene los siguientes objetivos particulares:

- Realizar un estudio previo de los principios teóricos de funcionamiento de un analizador de redes vectorial. También se realizará un estudio sobre la arquitectura de los analizadores de redes vectoriales.
- Desarrollar el diseño electrónico de un prototipo de analizador de redes vectorial de bajo coste utilizando herramientas de diseño de PCB y programas de simulación. Este prototipo contendrá un microcontrolador

para la gestión del sistema, tratamiento de señal y adquisición de datos, y componentes adicionales como osciladores, generador de señales a diferentes frecuencias, mezcladores de frecuencia o códec de audio, entre otros. Se podrá realizar la implementación de dos puertos de medida, aunque se considera suficiente la implementación de un único puerto para realizar las medidas de reflexión. Se programará el microcontrolador usando el entorno y lenguaje de programación adecuados para la gestión del sistema, tratamiento de señal y adquisición de datos. El VNA diseñado será pequeño para facilitar su uso en campo.

- Realizar el diseño y fabricación de un datalogger basado en una ESP32 que registre los datos medidos por el VNA a través de comunicación UART.
- Implementar un sistema de comunicación SDI-12 para la adquisición de datos mediante un datalogger SDI-12.
- Adquirir todos los componentes necesarios para el analizador de redes vectorial, y realizar la fabricación del prototipo.
- Realizar experimentos y ensayos con el prototipo funcional para validar el funcionamiento del mismo para su uso en la medición de la permitividad.

Capítulo 2

Estado del arte

En este capítulo, se ha realizado una revisión bibliográfica previa para conocer el estado actual y los últimos avances, técnicas y desarrollos llevados a cabo sobre la materia estudiada para situar el problema planteado.

El estudio comienza profundizando acerca de los conocimientos de las líneas de transmisión, para conocer las bases que permiten entender los resultados obtenidos por el analizador de redes vectorial. Después, se realiza el análisis del origen y el funcionamiento de un VNA, incluyendo la corrección de errores, su calibración, sus ventajas e inconvenientes y los últimos progresos en su área. Finalmente, se sigue con el estudio sobre los materiales dieléctricos y los métodos que existen para caracterizarlos, con el objetivo de comprender los conceptos básicos en los que se basa el proyecto.

2.1. Líneas de transmisión

La transmisión de señales electromagnéticas puede ser radiada, si se realiza a través del aire o el vacío, o guiada, si se realiza a través de un cable que confina las ondas. Una línea de transmisión es el medio por el que se propaga la señal electromagnética, desde el generador a la carga. Un ejemplo de línea de transmisión muy utilizada es el cable coaxial. En baja frecuencia, la línea de transmisión se modela como un cable ideal, y se pueden aplicar las Leyes de Kirchhoff sin ningún problema. Sin embargo, en alta frecuencia, se

producen fenómenos ondulatorios (reflexión, desfase), y no se podrán aplicar las Leyes de Kirchhoff. Además, trabajar con tensiones y corrientes resulta difícil. En este caso, se utilizan los parámetros S o parámetros de dispersión y la Carta de Smith.

Uno de los conceptos más importantes en el análisis de las redes de alta frecuencia es la propagación de las ondas incidente, reflejada y transmitida a lo largo de las líneas de transmisión. Se puede hacer una analogía de la propagación de estas ondas con la luz y una lente, donde parte de la onda de luz incidente sobre la lente se refleja desde su superficie y la mayor parte de la luz continúa a través de la lente. Este concepto es válido para las señales de radiofrecuencia y los dispositivos y redes eléctricas, donde parte de la onda de radiofrecuencia incidente sobre el dispositivo se refleja y la mayor parte de la señal se transmite a través del dispositivo. El análisis de redes se centra en la medida precisa de las relaciones entre la señal reflejada y la señal transmitida con la señal incidente.

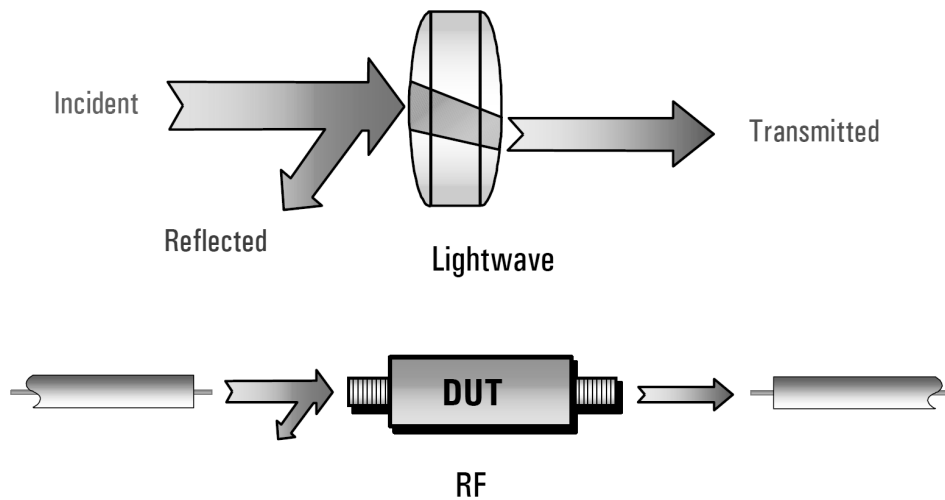


Figura 2.1: Propagación de las ondas incidente, reflejada y transmitida. Analogía con la luz [15]. DUT (*Device Under Test*) es el dispositivo bajo prueba.

2.1.1. Ondas electromagnéticas

Las ondas electromagnéticas son ondas transversales que se forman cuando un campo eléctrico entra en contacto con un campo magnético y, por tanto, están compuestas por la oscilación simultánea de un campo eléctrico con un campo magnético. El campo eléctrico y el campo magnético de una onda electromagnética son perpendiculares entre sí, y también son perpendiculares a la dirección de propagación de la onda electromagnética.

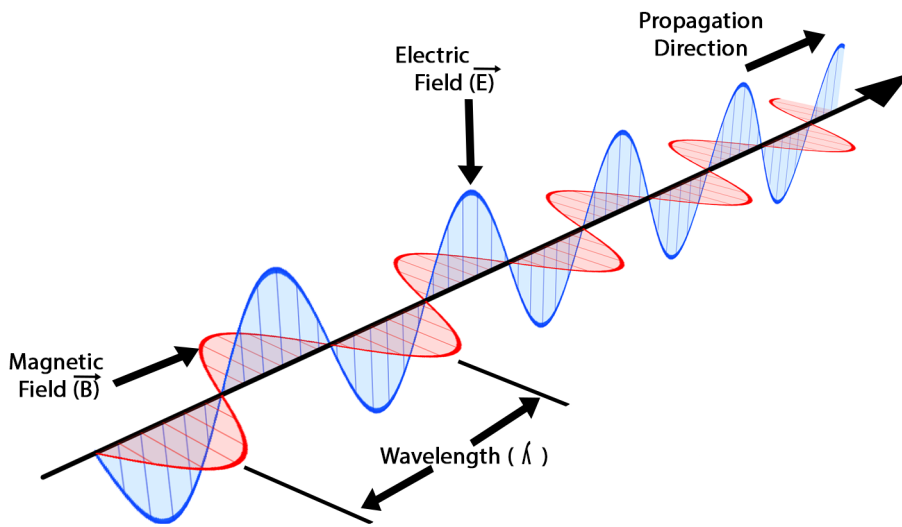


Figura 2.2: Onda electromagnética.

Las ondas electromagnéticas se propagan en el vacío a la velocidad de la luz (aproximadamente, $c = 3 \times 10^8 \text{ m/s}$). Una onda electromagnética puede propagarse en un medio material o en el vacío, es decir, no necesitan un medio material para propagarse. Podemos clasificar las ondas electromagnéticas según su frecuencia de oscilación, lo que se conoce como espectro electromagnético. Este incluye ondas de radio, microondas, infrarrojo, luz visible, ultravioleta, rayos X y rayos gamma, de menor a mayor frecuencia. La longitud de onda λ y la frecuencia f de las ondas electromagnéticas se relacionan con su velocidad v mediante la expresión:

$$v = \lambda f \tag{2.1}$$

El comportamiento de las ondas electromagnéticas está descrito por las ecuaciones de Maxwell. Además, las ondas electromagnéticas pueden experimentar los fenómenos de reflexión, refracción, difracción e interferencia.

2.1.1.1. Ecuaciones de Maxwell

Las ecuaciones de Maxwell son un conjunto de cuatro ecuaciones que describen por completo el electromagnetismo, junto con la ecuación de la Fuerza de Lorentz, que relaciona la fuerza \mathbf{F} que experimenta una carga q que se mueve con una velocidad \mathbf{v} en un campo eléctrico \mathbf{E} y un campo magnético \mathbf{B} :

$$\mathbf{F} = q\mathbf{E} + q\mathbf{v} \times \mathbf{B} \quad (2.2)$$

En conjunto, las cuatro ecuaciones de Maxwell son la Ley de Gauss, la Ley de Gauss para el magnetismo, la Ley de Faraday y la Ley de Ampère generalizada.

■ Ley de Gauss

La Ley de Gauss describe la relación entre un campo eléctrico estático y las cargas eléctricas que lo causan. El campo eléctrico apunta hacia el exterior de las cargas positivas y hacia el interior de las cargas negativas, y el flujo neto del campo eléctrico a través de cualquier superficie cerrada es proporcional a la carga encerrada por la superficie:

$$\oint_S \mathbf{D} \cdot d\mathbf{S} = q \quad (2.3)$$

$$\nabla \cdot \mathbf{D} = \rho \quad (2.4)$$

La ecuación (2.3) es la forma integral y la ecuación (2.4) es la forma diferencial. Además, ρ es la densidad de carga.

▪ **Ley de Gauss para el magnetismo**

La Ley de Gauss para el magnetismo establece que no existen los monopolos magnéticos. El campo magnético es generado por un dipolo magnético, y el flujo neto del campo magnético a través de cualquier superficie cerrada es cero:

$$\oint_S \mathbf{B} \cdot d\mathbf{S} = 0 \quad (2.5)$$

$$\nabla \cdot \mathbf{B} = 0 \quad (2.6)$$

La ecuación (2.5) es la forma integral y la ecuación (2.6) es la forma diferencial.

▪ **Ley de Faraday**

La Ley de Faraday establece que un campo magnético variable induce un campo eléctrico. El trabajo por unidad de carga requerido para mover una carga alrededor de un lazo cerrado es igual a la variación del flujo magnético a través de la superficie cerrada:

$$\oint_C \mathbf{E} \cdot d\boldsymbol{\ell} = -\frac{d}{dt} \int_S \mathbf{B} \cdot d\mathbf{S} \quad (2.7)$$

$$\nabla \times \mathbf{E} = -\frac{\partial \mathbf{B}}{\partial t} \quad (2.8)$$

La ecuación (2.7) es la forma integral y la ecuación (2.8) es la forma diferencial.

▪ **Ley de Ampère generalizada**

La Ley de Ampère generalizada establece que el campo magnético puede ser generado de dos formas: por una corriente eléctrica y por un campo eléctrico variable. El campo magnético inducido alrededor de un lazo cerrado es proporcional a la corriente eléctrica y a la variación del flujo eléctrico a través de la superficie cerrada:

$$\oint_C \mathbf{H} \cdot d\boldsymbol{\ell} = \int_S \mathbf{J} \cdot d\mathbf{S} + \frac{d}{dt} \int_S \mathbf{D} \cdot d\mathbf{S} \quad (2.9)$$

$$\nabla \times \mathbf{H} = \mathbf{J} + \frac{\partial \mathbf{D}}{\partial t} \quad (2.10)$$

La ecuación (2.9) es la forma integral y la ecuación (2.10) es la forma diferencial.

2.1.1.2. Propiedades ópticas de las ondas de radio

Las ondas electromagnéticas, como ya hemos mencionado, pueden experimentar los fenómenos de reflexión, refracción, difracción e interferencia. Las ondas de radiofrecuencia y las microondas son tipos de ondas electromagnéticas, por lo que también experimentarán estos efectos. Las ondas de radio cubren el intervalo de frecuencias de 10 kHz a 300 MHz, y las microondas se encuentran en el rango de frecuencias de 300 MHz a 300 GHz.

- **Reflexión**

El fenómeno de reflexión de una onda electromagnética es el cambio de dirección de la onda al entrar en contacto con una superficie que separa dos medios distintos, volviendo al medio desde donde incidió la onda en la superficie.

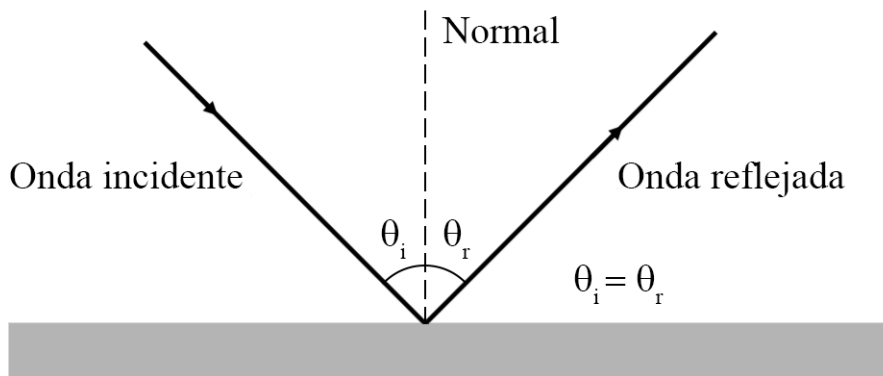


Figura 2.3: Fenómeno de reflexión de una onda electromagnética.

La velocidad de la onda incidente y reflejada es la misma, ya que están en el mismo medio. Por tanto, el ángulo de incidencia es igual al ángulo de reflexión: $\theta_i = \theta_r$.

Por otra parte, la intensidad de la onda de tensión reflejada (V_r) es menor a la intensidad de la onda de tensión incidente (V_i). El coeficiente de reflexión Γ expresa la relación entre estas magnitudes, indicando la amplitud relativa y el desfase entre ambas, de la forma:

$$\Gamma = \frac{V_r}{V_i} = \frac{\hat{V}_r e^{j\theta_r}}{\hat{V}_i e^{j\theta_i}} = \frac{\hat{V}_r}{\hat{V}_i} e^{j(\theta_r - \theta_i)} \quad (2.11)$$

Para un conductor perfecto, se cumple que $|\Gamma| = 1$ (reflexión total). Si no se produce ninguna reflexión, entonces $|\Gamma| = 0$. El coeficiente de reflexión Γ se utiliza en el estudio de las líneas de transmisión.

▪ **Refracción**

El fenómeno de refracción de una onda electromagnética es el cambio de dirección y velocidad que experimenta la onda al pasar de un medio a otro, con distintos índices de refracción.

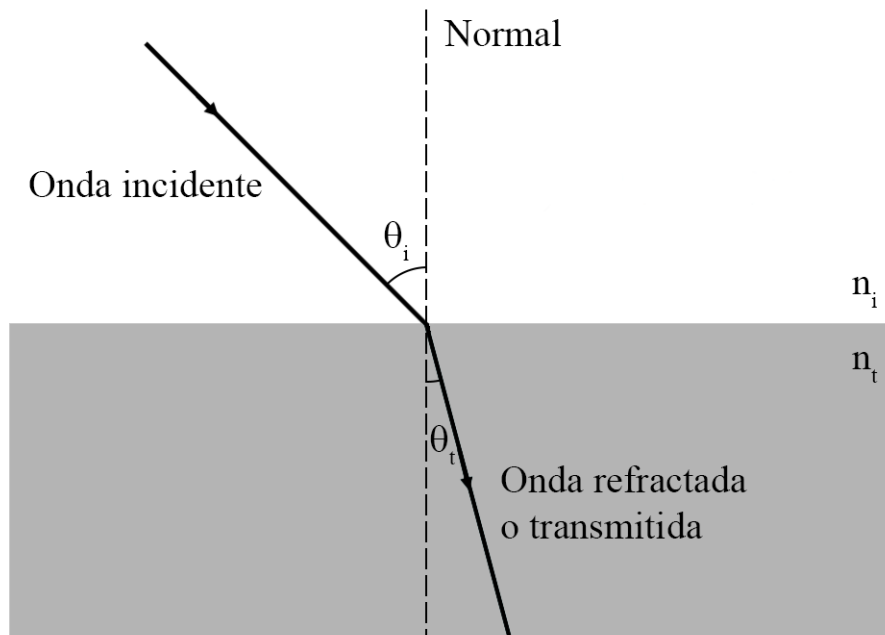


Figura 2.4: Fenómeno de refracción de una onda electromagnética.

El índice de refracción de un medio es la relación entre la velocidad de la luz en el vacío (c) y la velocidad de propagación de la onda electromagnética en el medio (v):

$$n = \frac{c}{v} \quad (2.12)$$

En la refracción, el ángulo de incidencia θ_i y el índice de refracción del primer medio n_i están relacionados con el ángulo de refracción θ_t y el índice de refracción del segundo medio n_t mediante la Ley de Snell:

$$n_i \sin \theta_i = n_t \sin \theta_t \quad (2.13)$$

En una línea de transmisión, la refracción hace referencia a la transmisión de la onda electromagnética. El coeficiente de transmisión o refracción T expresa la relación entre la intensidad de la onda de tensión transmitida (V_t) y la intensidad de la onda de tensión incidente (V_i), y también se puede calcular conociendo los parámetros de la línea de transmisión (impedancia característica Z_0 y carga Z_L) o el coeficiente de reflexión Γ :

$$T = \frac{V_t}{V_i} = \frac{2Z_L}{Z_L + Z_0} = 1 + \Gamma \quad (2.14)$$

■ Difracción

La difracción de una onda electromagnética consiste en la desviación de la onda cuando se encuentra con un obstáculo o una rendija, los cuales se convierten en una fuente secundaria de la onda.

De acuerdo con el principio de Huygens, cada punto de un frente de onda se convierte en una fuente secundaria de ondas, que emite nuevas ondas, y el nuevo frente de onda es la envolvente de las ondas secundarias emitidas. Cuando una onda incide sobre un obstáculo, el obstáculo se convierte en una fuente secundaria de ondas, emitiendo nuevas ondas denominadas ondas difractadas, es decir, la onda se propaga como si el obstáculo se convirtiera en un nuevo centro emisor de ondas.

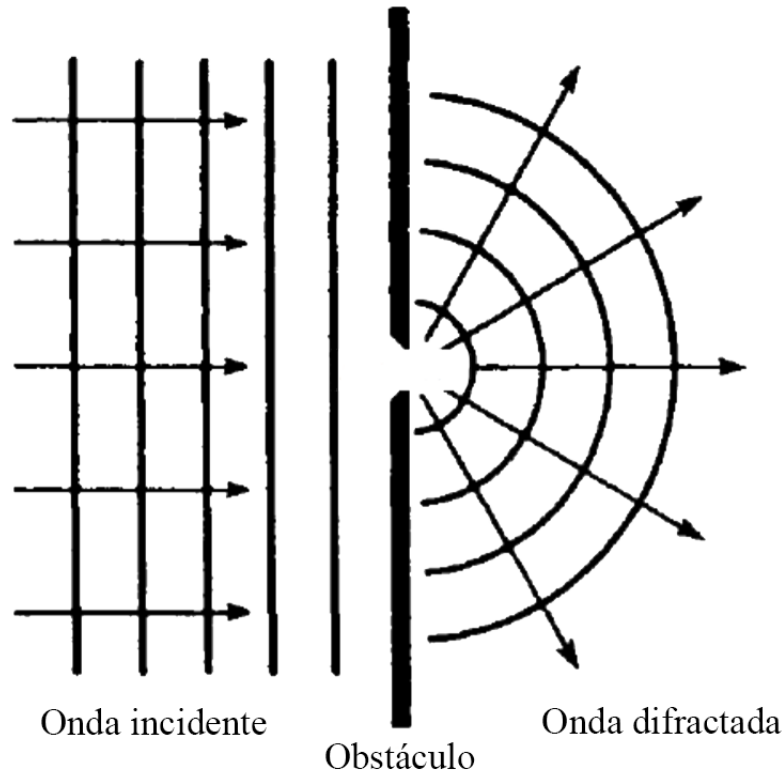


Figura 2.5: Fenómeno de difracción de una onda electromagnética.

■ Interferencia

El fenómeno de interferencia ocurre cuando dos o más ondas se superponen formando una onda resultante, según el Principio de Superposición.

Por tanto, la interferencia de ondas de radio consiste en la combinación de la onda de radio original con distintas ondas electromagnéticas de forma que el funcionamiento del sistema se degrada, ya que la onda resultante es distinta a la onda de radio original. Dependiendo de la fase existente entre las ondas, la interferencia podrá ser constructiva o destructiva, dependiendo de si sus amplitudes se suman o se restan.

2.1.2. Impedancia

La impedancia es una medida de la oposición que presenta un circuito al paso de una corriente cuando se aplica una tensión. Es una generalización del concepto de resistencia a los circuitos de corriente alterna, y posee tanto magnitud como fase.

El símbolo para la impedancia es Z , y se define como la relación entre los fasores de tensión (V) e intensidad (I) de un circuito:

$$Z = \frac{V}{I} \quad (2.15)$$

La impedancia, en su forma general, presenta magnitud y fase φ , de forma equivalente, parte real e imaginaria:

$$Z = |Z| e^{j\varphi} = R + jX \quad (2.16)$$

Donde:

$$\varphi = \arctan\left(\frac{X}{R}\right) \quad (2.17)$$

$$|Z| = \sqrt{R^2 + X^2} \quad (2.18)$$

La parte real de la impedancia se denomina resistencia (R). La resistencia es la responsable de la disipación de potencia y del cambio de la amplitud en las señales. Cuando la impedancia es resistiva pura ($Z = R$), no hay desfase entre la tensión y la corriente.

La parte imaginaria de la impedancia se denomina reactancia (X). La reactancia induce un desfase entre la tensión y la corriente y puede ser capacitiva o inductiva. Una reactancia capacitiva es debida a los condensadores o capacidades del circuito. Si el condensador tiene una capacidad C , la frecuencia de las señales de tensión e intensidad es f y se define la frecuencia angular como $\omega = 2\pi f$, la reactancia capacitiva se calcula como:

$$X_C = \frac{1}{j\omega C} = -\frac{j}{\omega C} \quad (2.19)$$

Por otra parte, una reactancia inductiva es debida a las bobinas o autoinducciones del circuito. Si la bobina tiene una autoinducción L , la reactancia inductiva se calcula como:

$$X_L = j\omega L \quad (2.20)$$

La reactancia total será la suma de la reactancia capacitiva y la reactancia inductiva del circuito:

$$X_T = X_L + X_C = j\omega L + \frac{1}{j\omega C} \quad (2.21)$$

De forma que:

$$X = \text{Im}(X_T) = \omega L - \frac{1}{\omega C} \quad (2.22)$$

Por tanto, de forma genérica, se puede expresar la impedancia como:

$$Z = R + jX = R + j\omega L + \frac{1}{j\omega C} = R + j\left(\omega L - \frac{1}{\omega C}\right) \quad (2.23)$$

2.1.3. Parámetros S

Para caracterizar un sistema de RF o una línea de transmisión se utilizan los parámetros S , aunque existen otros parámetros. Para ello, se debe distinguir entre la onda incidente, que se propaga desde el analizador de redes hacia el dispositivo bajo prueba (DUT, *Device Under Test*), y la onda reflejada, que se propaga en dirección contraria, es decir, desde el DUT hasta el analizador de redes.

Se definen las ondas de potencia o cantidades de onda como cantidades que se miden en unidades de \sqrt{W} ($M^{1/2}LT^{-3/2}$). La onda de potencia incidente (entrante) es a_n y la onda de potencia reflejada (saliente) es b_n . Por su definición, la potencia incidente en el dispositivo será $|a_n|^2$ y la potencia reflejada por el dispositivo será $|b_n|^2$, donde n indica el puerto. Las ondas de potencia son versiones normalizadas de las ondas de tensión incidente y reflejada V_n^+ y V_n^- , respectivamente. Estas ondas de tensión están relacionadas con la impedancia característica del sistema Z_0 de la forma:

$$a_n = \frac{V_n^+}{\sqrt{Z_0}} \quad (2.24)$$

$$b_n = \frac{V_n^-}{\sqrt{Z_0}} \quad (2.25)$$

Los parámetros S se definen como los cocientes de las distintas ondas de potencia. En una red de dos puertos, se encuentran los parámetros S_{11} , S_{12} , S_{21} , S_{22} . Dichos parámetros relacionan matricialmente las ondas de potencia incidentes con las reflejadas, de la siguiente forma:

$$\begin{pmatrix} b_1 \\ b_2 \end{pmatrix} = \begin{pmatrix} S_{11} & S_{12} \\ S_{21} & S_{22} \end{pmatrix} \begin{pmatrix} a_1 \\ a_2 \end{pmatrix} \quad (2.26)$$

También, expandiendo las matrices en ecuaciones:

$$b_1 = S_{11}a_1 + S_{12}a_2 \quad (2.27)$$

$$b_2 = S_{21}a_1 + S_{22}a_2 \quad (2.28)$$

Si se considera una onda de potencia incidente en el puerto 1 (a_1), pueden resultar ondas existentes tanto del puerto 1 (b_1) como del puerto 2 (b_2).

No obstante, si el puerto 2 está terminado en una carga idéntica a la impedancia característica del sistema (Z_0), entonces, debido al Teorema de la máxima transferencia de potencia, b_2 será absorbida totalmente haciendo $a_2 = 0$. Por lo tanto:

$$S_{11} = \frac{b_1}{a_1} \quad (2.29)$$

$$S_{21} = \frac{b_2}{a_1} \quad (2.30)$$

De forma análoga, si el puerto 1 está terminado en la impedancia característica del sistema (Z_0), entonces $a_1 = 0$, y se puede obtener:

$$S_{12} = \frac{b_1}{a_2} \quad (2.31)$$

$$S_{22} = \frac{b_2}{a_2} \quad (2.32)$$

Se definen estos parámetros S como:

- S_{11} : coeficiente de reflexión a la entrada.
- S_{22} : coeficiente de reflexión a la salida.
- S_{12} : coeficiente o ganancia de transmisión inverso.
- S_{21} : coeficiente o ganancia de transmisión directo.

Los parámetros S son números complejos. De forma genérica, se pueden tener redes de N puertos, donde la matriz de parámetros S será de tamaño $N \times N$:

$$\begin{pmatrix} b_1 \\ \vdots \\ b_N \end{pmatrix} = \begin{pmatrix} S_{11} & \cdots & S_{1N} \\ \vdots & \ddots & \vdots \\ S_{N1} & \cdots & S_{NN} \end{pmatrix} \begin{pmatrix} a_1 \\ \vdots \\ a_N \end{pmatrix} \quad (2.33)$$

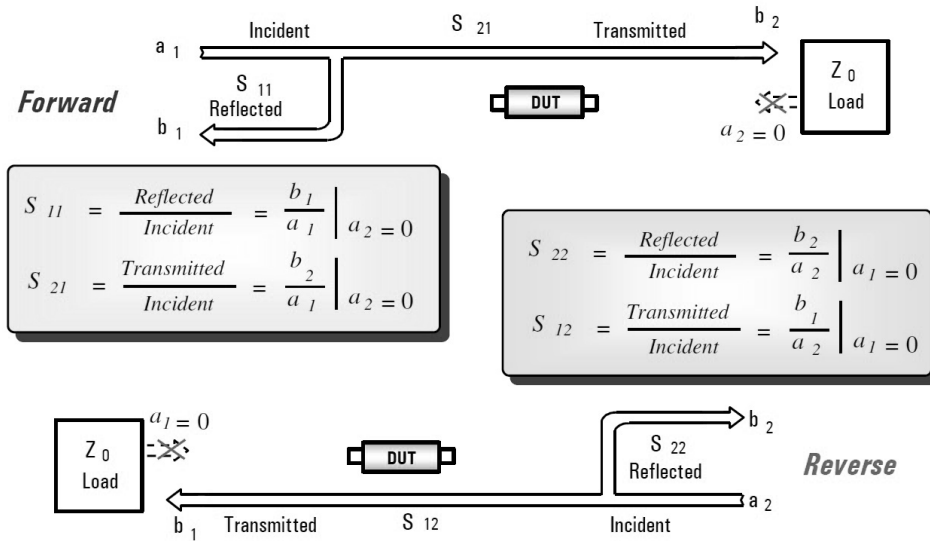


Figura 2.6: Parámetros S en una red de dos puertos [15].

2.1.4. Carta de Smith

La Carta de Smith es un instrumento gráfico de cálculo o nomograma empleado en la ingeniería de la radiofrecuencia para resolver problemas de líneas de transmisión y adaptación de impedancias. Es un diagrama que muestra cómo varía la impedancia compleja de una línea de transmisión a lo largo de su longitud. También permite relacionar un coeficiente de reflexión complejo con una impedancia compleja. En la Carta de Smith, se puede medir una impedancia normalizada z . Si la impedancia de la línea de transmisión es Z_L y su impedancia característica es Z_0 , la impedancia normalizada se define como:

$$z = \frac{Z_L}{Z_0} \tag{2.34}$$

Esto se hace así ya que el valor de la impedancia característica de la línea de transmisión Z_0 no es universal, tomando habitualmente el valor de $Z_0 = 50 \Omega$, pero puede valer 75Ω para aplicaciones de televisión o 100Ω para sistemas diferenciales. Por tanto, el valor de la impedancia de la línea de transmisión (Z_L) se calcula usando la impedancia característica (Z_0) de la misma:

$$Z_L = zZ_0 = R + jX \quad (2.35)$$

Si la impedancia Z_L no coincide con la impedancia característica del sistema Z_0 , parte de la potencia de la fuente es reflejada hacia atrás en una onda de potencia que viaja en dirección contraria. La potencia reflejada se caracteriza por el coeficiente de reflexión Γ :

$$\Gamma = \frac{Z_L - Z_0}{Z_L + Z_0} = \frac{z - 1}{z + 1} \quad (2.36)$$

Y de forma equivalente:

$$z = \frac{1 + \Gamma}{1 - \Gamma} \quad (2.37)$$

La impedancia normalizada z y el coeficiente de reflexión Γ son números complejos, que se escriben genéricamente de la forma:

$$z = r + jx \quad (2.38)$$

$$\Gamma = \Gamma_r + j\Gamma_i \quad (2.39)$$

La equivalencia entre el coeficiente de reflexión y la impedancia normalizada, por tanto, es la siguiente, teniendo en cuenta la ecuación (2.36):

$$\Gamma = \Gamma_r + j\Gamma_i = \frac{r^2 + x^2 - 1}{(r + 1)^2 + x^2} + j \frac{2x}{(r + 1)^2 + x^2} \quad (2.40)$$

Y teniendo en cuenta la ecuación (2.37):

$$z = r + jx = \frac{1 - \Gamma_r^2 - \Gamma_i^2}{(1 - \Gamma_r)^2 + \Gamma_i^2} + j \frac{2\Gamma_i}{(1 - \Gamma_r)^2 + \Gamma_i^2} \quad (2.41)$$

La Carta de Smith se genera usando las ecuaciones (2.40) y (2.41) para representar los contornos de la impedancia z en el plano Γ . Completando los cuadrados en las ecuaciones anteriores, se obtienen las siguientes ecuaciones correspondientes a círculos:

$$\left(\Gamma_r - \frac{r}{1+r}\right)^2 + \Gamma_i^2 = \left(\frac{1}{1+r}\right)^2 \quad (2.42)$$

$$(\Gamma_r - 1)^2 + \left(\Gamma_i - \frac{1}{x}\right)^2 = \left(\frac{1}{x}\right)^2 \quad (2.43)$$

Por tanto, para representar una impedancia compleja en la Carta de Smith, el diagrama muestra:

- Circunferencias de resistencia constante r , correspondientes a la ecuación (2.42).
- Circunferencias de reactancia inductiva o capacitiva constante x , correspondientes a la ecuación (2.43).

Es decir, hay una relación directa entre la z de la Carta de Smith y el coeficiente de reflexión Γ de la línea de transmisión.

Gráficamente, en la Carta de Smith, $|\Gamma| = 1$ es la circunferencia externa de la carta, y nos indica que hay una desadaptación total (se refleja todo). Por otra parte, $|\Gamma| = 0$ es el centro de la carta, y nos indica que hay una adaptación total (no se refleja nada). Para un circuito abierto, se tienen los valores de $z = \infty$ y $\Gamma = 1$ y, para un cortocircuito, se tienen los valores de $z = 0$ y $\Gamma = -1$. Para una adaptación total, como se ha mencionado, los valores son de $z = 1$ y $\Gamma = 0$. Se puede visualizar la Carta de Smith en la siguiente figura:

CAPÍTULO 2. ESTADO DEL ARTE

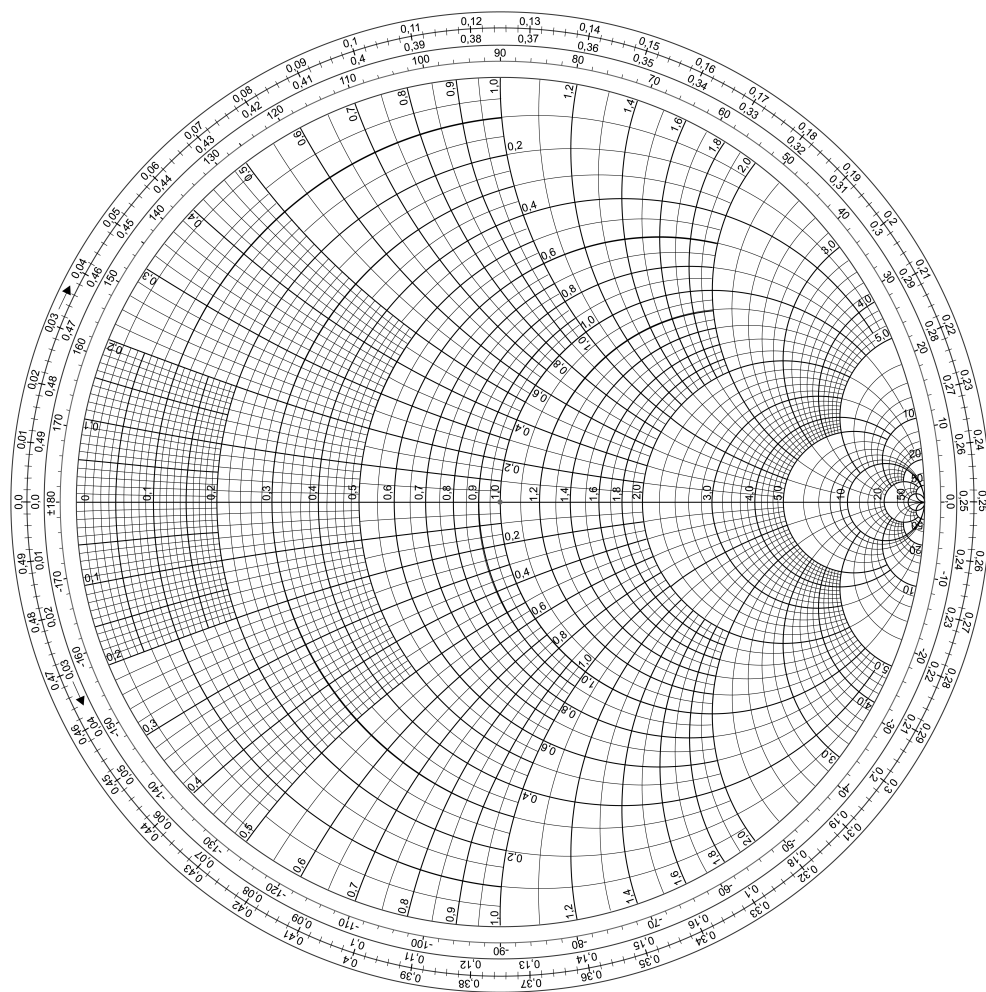


Figura 2.7: Carta de Smith [13].

2.1.5. Parámetros de una línea de transmisión

Entre los parámetros más importantes de una línea de transmisión, se encuentran los siguientes:

- **Coefficiente de reflexión**

Como se ha visto, el coeficiente de reflexión hace referencia a S_{11} y S_{22} . Su valor ideal se suele representar con la letra Γ , y es un número complejo. Puede ser calculado a partir de la impedancia compleja de la línea de transmisión, tal y como se ha introducido en el apartado anterior:

$$\Gamma = \frac{Z_L - Z_0}{Z_L + Z_0} = \frac{z - 1}{z + 1} \quad (2.44)$$

Se puede obtener el valor de la impedancia de la línea Z_L a partir del coeficiente de reflexión Γ :

$$Z_L = Z_0 \frac{1 + \Gamma}{1 - \Gamma} \quad (2.45)$$

- **Razón de onda estacionaria**

La razón de onda estacionaria, *ROE* o *SWR*, es una medida de la adaptación de la impedancia de la carga con la impedancia característica de la línea de transmisión, y se calcula como:

$$ROE = \frac{1 + |\Gamma|}{1 - |\Gamma|} \quad (2.46)$$

Se puede destacar que, en este caso, el valor de la razón de onda estacionaria no es un número complejo.

■ **Pérdida de retorno (*return loss*)**

La pérdida de retorno o *return loss* (RL) es una medida de la potencia de la señal reflejada por una discontinuidad en la línea de transmisión, que es debida a una desadaptación entre la impedancia de la carga conectada a la línea y la impedancia característica de la misma. Se expresa en decibelios (dB), y se calcula como:

$$RL = -20 \log |\Gamma| \quad (2.47)$$

■ **Coefficiente de transmisión**

Tal y como se ha mencionado, el coeficiente de transmisión hace referencia a S_{21} y S_{12} , y describe la relación entre la amplitud de la onda transmitida y la amplitud de la onda incidente en una discontinuidad en la línea de transmisión. Su valor ideal se suele representar también con la letra T , y es un número complejo. Puede ser calculado mediante:

$$T = \frac{2Z_L}{Z_L + Z_0} = 1 + \Gamma \quad (2.48)$$

2.2. Analizador de redes vectorial (VNA)

Un analizador de redes vectorial o VNA es un instrumento que permite analizar las propiedades de las redes eléctricas, especialmente los parámetros de dispersión o parámetros S , a altas frecuencias, que dan información acerca de la reflexión y la transmisión de las señales eléctricas. Ofrece una medida de la magnitud y fase (vector) de los parámetros de dispersión haciendo un barrido en frecuencia. Los VNA se suelen utilizar para probar componentes o dispositivos y verificar las simulaciones de los diseños con el fin de comprobar que los sistemas y sus componentes funcionan correctamente. Frecuentemente, los analizadores de redes se emplean para caracterizar redes de dos puertos, como amplificadores y filtros, pero se pueden usar en redes con cualquier número de puertos. También, a partir de los datos de los parámetros de dispersión, se pueden determinar las propiedades dieléctricas del medio de transmisión bajo estudio.

Por otra parte, las medidas vectoriales de un VNA pueden ser transformadas al dominio del tiempo, lo cual otorga más posibilidades a la hora de interpretar y procesar datos. Además, entre las razones por las que se prueban los dispositivos con analizadores de redes, se encuentran que: los dispositivos se pueden usar como componentes de otros sistemas de radiofrecuencia mayores, por lo que es necesario conocer si el componente funciona correctamente para un funcionamiento preciso del sistema; también garantiza que no haya distorsión en una señal de comunicación, teniendo en cuenta parámetros lineales y no lineales de la señal; y asegura una buena absorción y aprovechamiento de la potencia.

2.2.1. Origen y evolución del VNA

Los analizadores de redes de radiofrecuencia (RF) y microondas han permitido la evolución de los componentes de alta frecuencia y su diseño, y viceversa. La capacidad de medir las propiedades esenciales de circuitos y dispositivos (transmisión, reflexión e impedancia) permite a los ingenieros optimizar el rendimiento de sus componentes, como amplificadores, convertidores de frecuencia, separadores de señal y dispositivos de filtrado [31].

En la década de 1960, la tecnología de semiconductores estaba comenzando a afianzarse. Los muestreadores basados en diodos semiconductores se convirtieron en los componentes fundamentales de la instrumentación. Estos se utilizaron para muestrear formas de onda y permitir que se realizasen mediciones de amplitud y fase relativas en las señales. Además, las fuentes de señal basadas en osciladores de onda regresiva (BWO) permitieron tomar medidas en un amplio rango de frecuencias. De aquí, surgieron los primeros analizadores de redes vectoriales, y fue como consecuencia de la necesidad de realizar medidas precisas en el rango de la radiofrecuencia y las microondas. Un ejemplo de analizador capaz de realizar mediciones de barrido de fase y amplitud fue el analizador de redes de RF Hewlett-Packard 8407, que permitió la comparación de la amplitud y fase de dos formas de onda de hasta 110 MHz y, en 1967, HP presentó el analizador de redes 8410, que amplió la capacidad de barrido a 12 GHz, y fue un sistema de sobremesa basado en múltiples cajas integradas, como se puede observar en la Figura 2.8.



Figura 2.8: Analizador de redes de sobremesa HP 8410 [31].

Como consecuencia del desarrollo de los analizadores de redes, se desarrollaron los cables coaxiales de precisión como estándares de referencia para impedancias, usados para transportar señales eléctricas a altas frecuencias, empleando conductores de muy alta conductividad y un dieléctrico. También se desarrollaron nuevas técnicas para garantizar la efectividad de las medidas realizadas con los analizadores de redes vectoriales.

Al mismo tiempo, el concepto de parámetros S estaba comenzando a desarrollarse. Esto permitió situar la transmisión, la reflexión y la impedancia en una única representación bidimensional que podía medirse y visualizarse rápidamente. Esta revolución en el diseño de alta frecuencia permitió a los ingenieros utilizar los nuevos semiconductores de alta frecuencia que se estaban desarrollando.

En 1970, se estaban desarrollando ordenadores que podían expandir las capacidades de los instrumentos, y esto permitió la creación nuevos analizadores de redes que aportaron matemáticas de corrección de errores, mediciones por pulsos y otras capacidades. En la década de 1980, la unión de fuentes de banda ancha, muestreadores mejorados y microprocesadores más rápidos dio lugar al desarrollo de analizadores de redes vectoriales más avanzados, que permitieron establecer el estándar de metrología para mediciones de microondas e introdujeron muchas mejoras en el diseño de componentes. Además, permitían la corrección completa de errores y eran de menor tamaño. En la década de 1990, hubo un gran auge en el desarrollo de dispositivos inalámbricos. Este fue el primer mercado de consumo de alta frecuencia y el analizador de redes, que era una herramienta de I + D, se convirtió en un dispositivo de fabricación convencional, y la capacidad de proporcionar mediciones rápidas se volvió muy importante. En la década del 2000, el nivel de integración de los dispositivos de RF y microondas comenzó a expandirse rápidamente, y los analizadores de redes evolucionaron de instrumentos de dos puertos a instrumentos de cuatro puertos para aplicaciones de producción en masa, y también se desarrollaron analizadores de red con capacidad de hasta 67 GHz.



Figura 2.9: Analizador de redes vectorial de cuatro puertos [31].

Más tarde, se introdujeron analizadores de redes vectoriales que extendían el número de puertos que podían medir (sistemas de N puertos). Estos sistemas utilizan conmutadores y acopladores internos para integrar el equipo de prueba con el analizador, lo que ofrece un rendimiento que es comparable al de los sistemas de dos o cuatro puertos. Se desarrollaron analizadores de redes de 8, 12, 16 y 32 puertos, para determinar más características de las líneas de transmisión. También, se desarrollaron nuevas técnicas para acortar el proceso de calibración de los analizadores de redes sin comprometer la calidad de la medición.

Desde 2010, surge la necesidad de analizadores de redes portátiles de alto rendimiento, ya que cada vez más técnicos e ingenieros necesitan realizar mediciones precisas en condiciones adversas. Se han creado analizadores con este formato, que permiten realizar pruebas de cables y antenas, análisis de redes vectoriales, análisis de espectro, mediciones de potencia, análisis de interferencias y mediciones de voltaje vectorial.



Figura 2.10: Analizador de redes vectorial portátil.

2.2.1.1. VNA en la actualidad

Actualmente, las necesidades están cambiando para los VNA. Las tendencias principales son las necesidades de probar dispositivos multipuerto en mucho menos tiempo sin sacrificar la precisión, probar varios dispositivos en una sola estación de prueba y reducir el tamaño de las estaciones de prueba. Además, las pruebas deben poder abordar la creciente complejidad de las obleas de silicio, los dispositivos inalámbricos, los sistemas de radar avanzados y más dispositivos, que continúan incorporando más capacidad en menos espacio.

En conclusión, se puede observar que los avances y evolución de los analizadores de redes vectoriales y de los componentes de alta frecuencia son complementarios, permitiendo acelerar el progreso tecnológico. Principalmente, un VNA es un instrumento utilizado para determinar las características fundamentales de las redes eléctricas y circuitos de radiofrecuencia. Sin embargo, existen otros campos donde los VNA pueden ser utilizados, como caracterizar propiedades de los materiales a distintas escalas, lo cual lo hará una herramienta esencial durante muchos años.

2.2.1.2. VNA para medios dieléctricos

Partiendo de estas ideas, con este Trabajo Fin de Grado se pretende diseñar y construir un VNA de tamaño reducido, portátil y de bajo coste que ofrezca una buena calidad y precisión de medida, así como una velocidad rápida para la medición y la calibración. En concreto, este VNA se utilizará para la caracterización de medios dieléctricos, midiendo materiales como líquidos o el suelo, aunque sus aplicaciones pueden ser múltiples, como realizar la medida de cualquier línea de transmisión o red eléctrica, caracterizar un tejido para la detección de cáncer, etc.

Existen proyectos orientados a realizar analizadores de redes vectoriales con este formato. Un proyecto enfocado a esto tiene el nombre de NanoVNA, desarrollado por Tomohiro Takahashi [42], que se puede ver en la Figura 2.11, y que se ha tomado como referencia para la realización de este proyecto. Se trata de un analizador de redes vectorial de mano de pequeño tamaño, que posee batería, una pantalla LCD táctil y permite realizar el barrido de frecuencias hasta los 1,5 GHz, entre otras cosas.

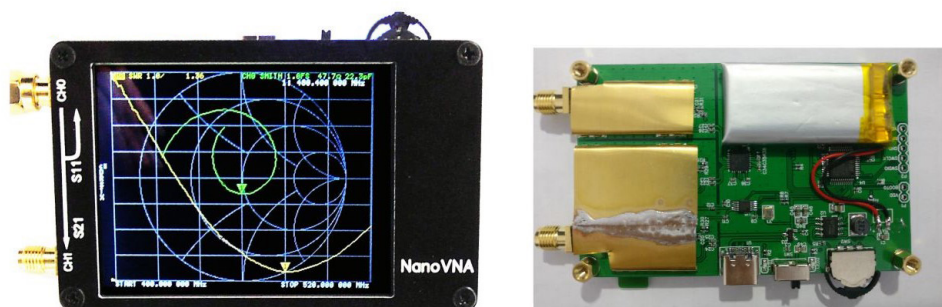


Figura 2.11: NanoVNA [42].

2.2.2. Tipos de analizadores de redes

Existen dos tipos de analizadores de redes que se pueden utilizar para analizar redes de radiofrecuencia. Estos tipos de analizadores de redes son diferentes, pero ambos pueden medir los parámetros de los componentes y dispositivos de RF de diferentes formas:

- **Analizador de Redes Vectorial (VNA)**. Mide propiedades de amplitud y fase. En concreto, mide la diferencia en amplitud y fase entre la señal de prueba y la respuesta del dispositivo. Se trata de los analizadores que poseen un precio más elevado, y también son complejos de diseñar y construir.
- **Analizador de Redes Escalar (SNA)**. Mide propiedades de amplitud, únicamente. Específicamente, mide la diferencia en amplitud entre la señal de prueba y la respuesta del dispositivo. Este tipo de analizadores son más simples y tienen un coste menor al de los analizadores de red vectoriales.

Los dos tipos de analizadores de redes son diferentes en su composición y en la forma en que pueden realizar mediciones. El analizador de redes escalar es el menos caro, pero también proporciona la menor cantidad de información. El analizador de redes vectorial proporciona mucha más información, pero también son considerablemente más caros.

Los modelos de analizadores de redes más comunes son los de dos puertos, pero también existen modelos de cuatro puertos y modelos que poseen otras mejoras como pantalla táctil, la posibilidad de conectar un ratón o teclado, plataforma en base Windows, etc. En el presente proyecto, tal y como se ha mencionado, se centrará la atención en los analizadores de redes vectoriales o VNA.

2.2.3. Funcionamiento del VNA

Un analizador de redes vectorial es un instrumento empleado para medir y analizar circuitos de radiofrecuencia. Los VNA son empleados para medir todo tipo de dispositivos, activos o pasivos, desde filtros sencillos hasta módulos complejos usados en comunicaciones de satélites. Para todo esto, emplea técnicas de barrido en frecuencia.

Para obtener las características de los dispositivos bajo prueba, el analizador de redes vectorial emite una señal senoidal de prueba a una frecuencia determinada que es aplicada al dispositivo, el cual proporciona como respuesta otra señal senoidal. El analizador mide la diferencia de amplitud y de fase entre ambas señales.

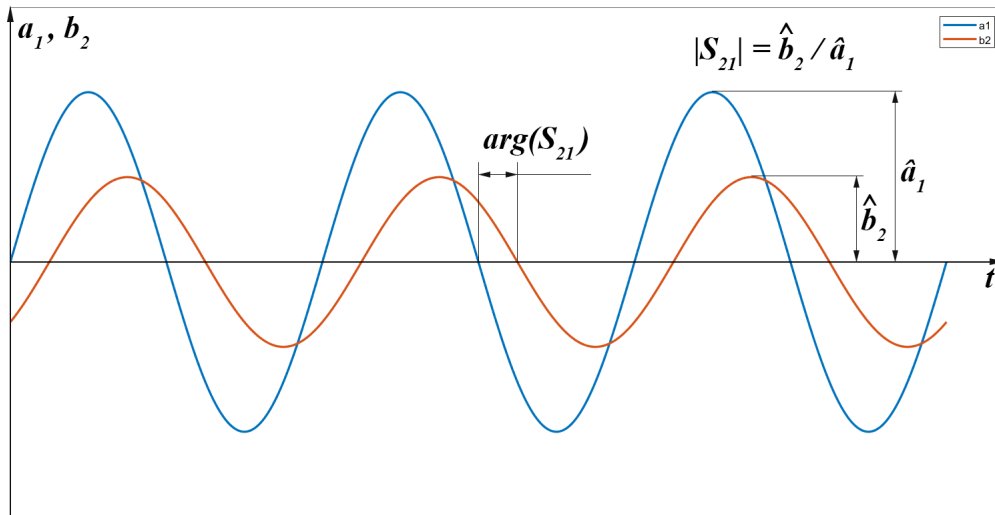


Figura 2.12: Diferencia entre fase y amplitud de la señal de prueba y la señal de respuesta del dispositivo.

Un VNA, tal y como se ha mencionado, es un instrumento capaz de analizar las propiedades de las redes eléctricas a altas frecuencias, especialmente los parámetros S . Mide la magnitud y la fase del vector que forman los parámetros S haciendo un barrido en frecuencia.

2.2.3.1. Arquitectura de un VNA

La arquitectura básica de un VNA incluye un generador de señales, separadores de señal, receptor de la señal y procesador y pantalla, tal y como se puede ver en la Figura 2.13.

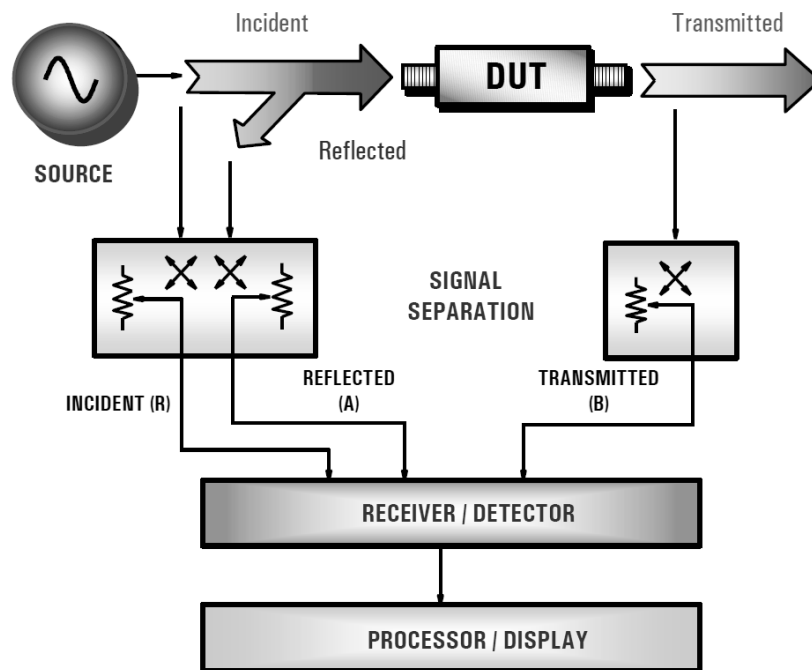


Figura 2.13: Arquitectura de un VNA [15].

- **Generador de señales**

El generador de señal es la fuente se encarga de proporcionar la señal de prueba que alimentará al DUT, y es capaz de realizar un barrido de frecuencias en el rango de la radiofrecuencia y las microondas.

■ Separadores de señal

El separador de señal se encarga de obtener la medida de la señal incidente como referencia. Esta función se puede realizar con divisores de tensión o atenuadores en general, normalmente resistivos, pero tienen la desventaja de que pueden tener pérdidas. También se puede realizar esta función con acopladores direccionales, que tienen pocas pérdidas y un buen aislamiento, y se suelen utilizar en altas frecuencias.

El separador de señal también es el responsable de separar la onda incidente de la onda reflejada a la entrada del dispositivo bajo prueba. Se puede efectuar esta función utilizando acopladores direccionales, con bajas pérdidas y alto aislamiento de la reflexión, aunque también se pueden utilizar puentes de resistencias para el puerto en cuestión, que trabajan en continua y tienen pérdidas.

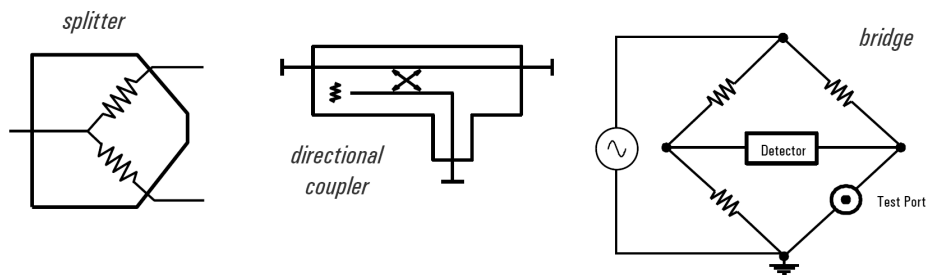


Figura 2.14: Separadores de señal [15].

■ Receptor de la señal

Los receptores realizan las mediciones. Existen dos formas principales para proporcionar una señal de detección en el analizador de redes: mediante un diodo receptor o mediante un receptor sintonizado.

Los diodos detectores convierten la señal de radiofrecuencia a un nivel proporcional de continua. Hacen una detección únicamente escalar, por lo que se pierde la información de fase.

El receptor sintonizado está constituido por un mezclador de frecuencias, que recibe la señal de RF y una señal de un oscilador local, y un filtro. La salida contiene la información de la señal de entrada trasladada a la frecuencia intermedia. Con esto, obtenemos información tanto de la magnitud como de la fase de la señal. El analizador de red utiliza un conversor analógico/digital y un procesador de señal digital para obtener el valor del módulo y la fase de la señal intermedia.

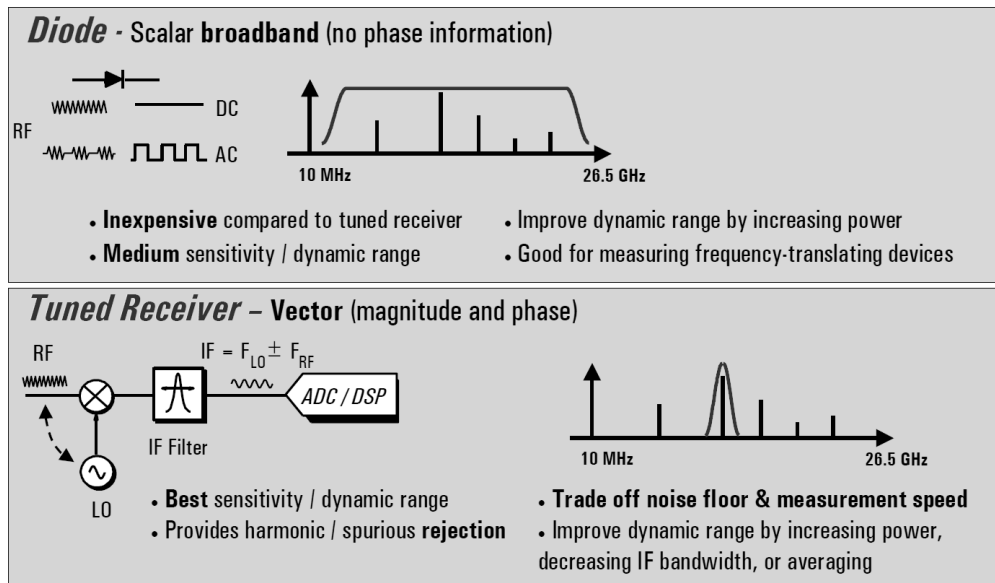


Figura 2.15: Receptores de señal [15].

■ Procesador y pantalla

A partir de la señal procesada del receptor, es necesario mostrar dicha señal en un formato que se pueda interpretar. Realizando un procesamiento adecuado de la señal, se formatean los datos de reflexión y transmisión para permitir que la información se interprete lo más fácilmente posible. La mayoría de los analizadores de redes incluyen representaciones según barridos lineales y logarítmicos, diagramas polares o Carta de Smith.



Figura 2.16: VNA con pantalla e interfaz de usuario.

2.2.3.2. Medida de parámetros S con un VNA

El esquema básico de un VNA de dos puertos, que mide los parámetros de dispersión S_{11} , S_{12} , S_{21} , S_{22} , es el siguiente:

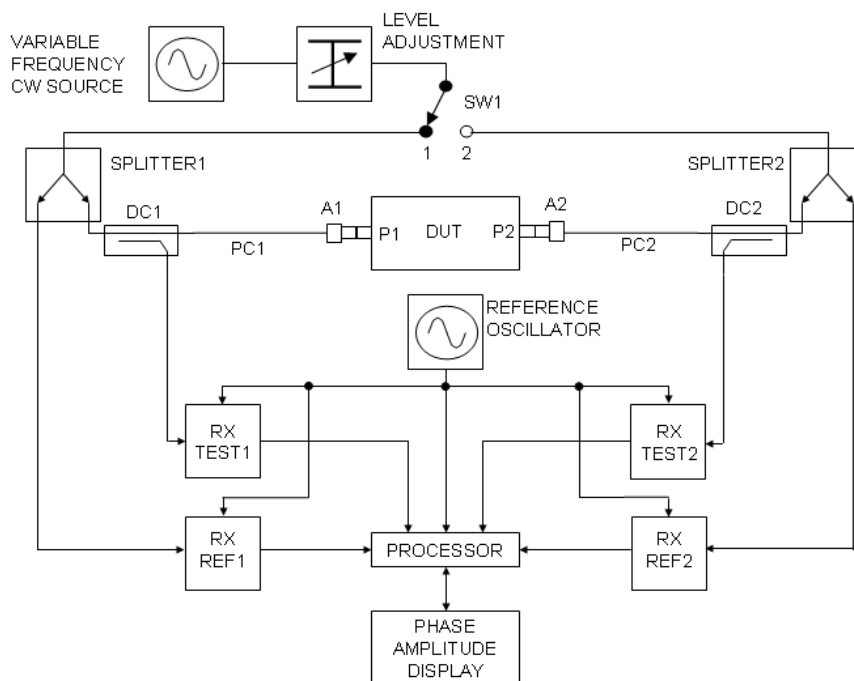


Figura 2.17: Medida de parámetros S y partes básicas de un VNA.

La posición del interruptor SW1 establece la dirección en la que la señal de prueba pasará a través del dispositivo bajo prueba. Con SW1 en la posición indicada (posición 1), la señal de prueba será incidente sobre el puerto P1, y el VNA medirá los parámetros S_{11} y S_{21} . Al cambiar de posición, la señal de prueba incidirá sobre el puerto P2, y medirá S_{22} y S_{12} .

Suponemos que SW1 se encuentra en la posición 1. El generador de barrido genera señales de prueba que varían entre dos frecuencias programadas. Posee un atenuador variable para ajustar su nivel de potencia. La señal de prueba incidente llega al separador de señal, que manda la señal, por una parte, al receptor de referencia 1 (RX REF1), que mide la potencia de la onda incidente y, por otra parte, al puerto P1 a través del acoplador direccional DC1. El acoplador direccional DC1 mide la potencia de la onda reflejada desde P1, y se la envía al receptor de prueba 1 (RX TEST1). De la misma forma, la señal transmitida a través del dispositivo y que sale del puerto P2 pasa a través del acoplador direccional DC2, que mide la potencia de dicha onda transmitida y se la envía al receptor de prueba 2 (RX TEST2). Todos los receptores comparten el mismo oscilador de referencia, y son capaces de medir la amplitud y la fase de la señal a cada frecuencia.

Con SW1 en la posición 1, tendremos S_{11} y S_{21} . De forma análoga, con SW1 en la posición 2, tendremos S_{22} y S_{12} , ya que las señales de prueba son aplicadas al puerto P2, de forma que la potencia de la onda incidente la mide el receptor de referencia 2 (RX REF2) la potencia de la onda reflejada la mide el receptor de prueba 2 (RX TEST2) a través del acoplador direccional DC2 y la potencia de la onda transmitida la mide el receptor de prueba 1 (RX TEST1) a través del acoplador direccional DC1.

Todas las señales de salida de los receptores se envían a un procesador que se encarga de realizar el procesamiento matemático y que nos devuelve el resultado de la magnitud y fase de los parámetros S correspondientes. Finalmente, muestra en pantalla los parámetros y el formato deseados.

La conexión de los puertos de prueba del VNA con los dos puertos (P1 y P2) del dispositivo bajo prueba (DUT) debe hacerse utilizando adaptadores de conector adecuados (A1 y A2) y cables de precisión (PC1 y PC2).

2.2.4. Corrección de errores

Existen tres fuentes de errores de medida básicas: errores sistemáticos, errores aleatorios y errores de deriva.

Los errores sistemáticos se pueden eliminar tras la calibración del instrumento, ya que son causados por imperfecciones en el analizador y son repetibles, predecibles e invariantes en el tiempo.

Los errores aleatorios no se pueden eliminar con la calibración del instrumento, ya que cambian con el tiempo de forma aleatoria y son impredecibles. El ruido del instrumento, como el ruido de fase de la fuente generadora o el ruido del muestreador y el ruido de alta frecuencia son las principales fuentes de error aleatorio.

Los errores de deriva son causados por el instrumento después de realizar la calibración. Son causados principalmente por la variación de temperatura y se pueden eliminar realizando más calibraciones.

2.2.4.1. Errores sistemáticos

Los principales errores sistemáticos asociados a las medidas de redes son los siguientes:

- Errores relacionados con la fuga de la señal: directividad y diafonía (crosstalk).
- Errores relacionados con la reflexión de la señal: adaptación de fuente y carga.
- Errores relacionados con la respuesta en frecuencia de los receptores: mediciones de reflexión y transmisión.

El modelo de errores completo para dos puertos incluye los seis términos mencionados para el sentido directo y para el sentido inverso, para un total de doce términos de error.

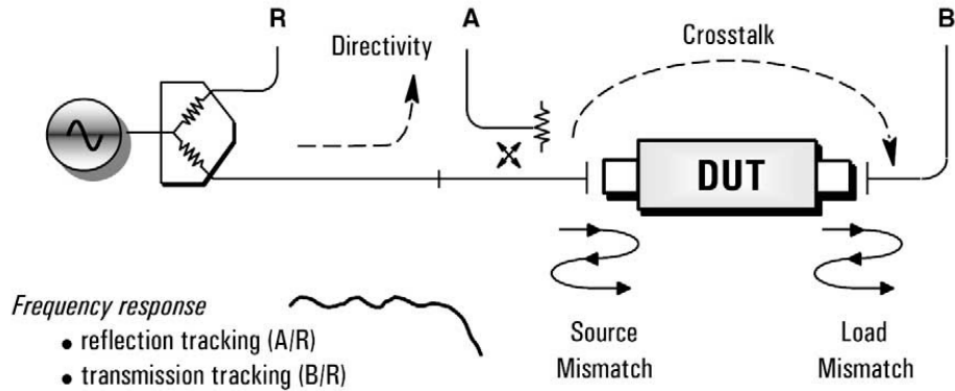


Figura 2.18: Términos de error [15].

Los dos tipos principales de corrección de errores que se puede realizar son corrección de respuesta (normalización) y corrección vectorial. La corrección de respuesta es simple de realizar, pero solo corrige algunos de los doce posibles términos de error sistemático (las mediciones de reflexión y transmisión). Por tanto, la precisión de medida es inferior comparada con la corrección vectorial. La calibración de respuesta es, básicamente, una medida normalizada donde se almacena una traza de referencia en memoria y los datos de medición posteriores se dividen por esta traza de referencia.

La corrección vectorial de errores requiere un analizador que pueda medir magnitud y fase, es decir, un analizador de redes vectorial. También necesita medidas de más estándares de calibración. Este método tiene en cuenta todos los términos principales de error sistemático y ofrece medidas muy precisas.

2.2.4.2. Corrección vectorial de errores

La corrección vectorial de errores es el proceso de caracterizar los términos de error sistemático midiendo estándares de calibración conocidos y, luego, eliminar los efectos de estos errores de medidas posteriores.

La calibración de un puerto se utiliza para medidas de reflexión y puede medir y eliminar tres términos de error sistemático: directividad, adaptación de fuente y mediciones de reflexión. La calibración completa de dos puertos se utiliza tanto para medidas de reflexión como para medidas de transmisión,

y los doce términos de error sistemático son medidos y eliminados. Por tanto, la calibración de dos puertos requiere doce medidas de cuatro estándares conocidos, *SHORT-OPEN-LOAD-THROUGH: SOLT* (cortocircuito, circuito abierto, carga, a través), y algunos estándares se miden varias veces, por ejemplo, el estándar *THROUGH* (o *THRU*) normalmente se mide cuatro veces.

La corrección de errores de dos puertos es la forma más precisa de corrección de errores, ya que tiene en cuenta todas las fuentes principales de error sistemático. El modelo de error para un dispositivo de dos puertos se muestra en la siguiente figura. Además, tras la figura, se muestran las ecuaciones para obtener los parámetros S reales (S_{xxa}) del dispositivo a partir de los parámetros S medidos (S_{xxm}), una vez que se han determinado los términos de error sistemático. Cada parámetro S real es función de los cuatro parámetros S medidos.

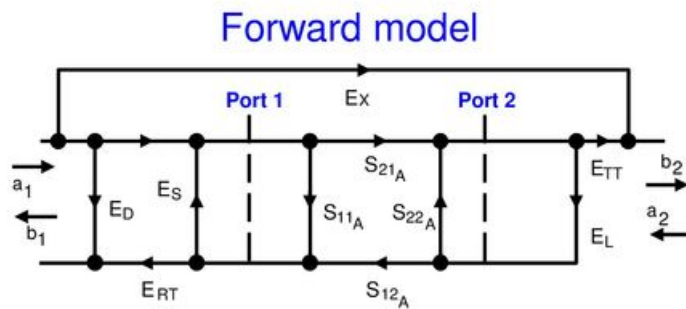


Figura 2.19: Modelo de error directo para un dispositivo de dos puertos [15].

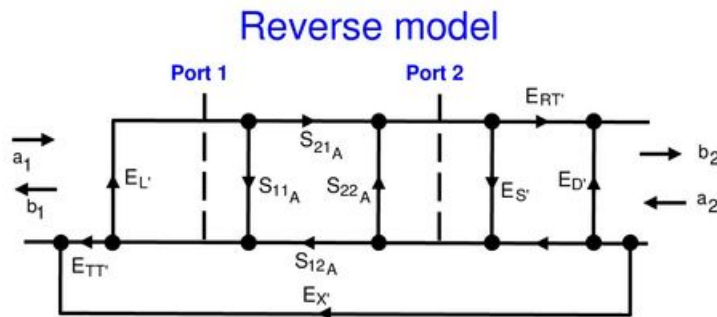


Figura 2.20: Modelo de error inverso para un dispositivo de dos puertos [15].

$$S_{11a} = \frac{\frac{S_{11m}-E_D}{E_{RT}} \left(1 + \frac{S_{22m}-E'_D}{E'_{RT}} E'_S\right) - E_L \frac{S_{21m}-E_X}{E_{TT}} \frac{S_{12m}-E'_X}{E'_{TT}}}{\left(1 + \frac{S_{11m}-E_D}{E_{RT}} E_S\right) \left(1 + \frac{S_{22m}-E'_D}{E'_{RT}} E'_S\right) - E'_L E_L \frac{S_{21m}-E_X}{E_{TT}} \frac{S_{12m}-E'_X}{E'_{TT}}} \quad (2.49)$$

$$S_{21a} = \frac{\frac{S_{21m}-E_X}{E_{TT}} \left(1 + \frac{S_{22m}-E'_D}{E'_{RT}} (E'_S - E_L)\right)}{\left(1 + \frac{S_{11m}-E_D}{E_{RT}} E_S\right) \left(1 + \frac{S_{22m}-E'_D}{E'_{RT}} E'_S\right) - E'_L E_L \frac{S_{21m}-E_X}{E_{TT}} \frac{S_{12m}-E'_X}{E'_{TT}}} \quad (2.50)$$

$$S_{12a} = \frac{\frac{S_{12m}-E'_X}{E'_{TT}} \left(1 + \frac{S_{11m}-E_D}{E_{RT}} (E_S - E'_L)\right)}{\left(1 + \frac{S_{11m}-E_D}{E_{RT}} E_S\right) \left(1 + \frac{S_{22m}-E'_D}{E'_{RT}} E'_S\right) - E'_L E_L \frac{S_{21m}-E_X}{E_{TT}} \frac{S_{12m}-E'_X}{E'_{TT}}} \quad (2.51)$$

$$S_{22a} = \frac{\frac{S_{22m}-E'_D}{E'_{RT}} \left(1 + \frac{S_{11m}-E_D}{E_{RT}} E_S\right) - E'_L \frac{S_{21m}-E_X}{E_{TT}} \frac{S_{12m}-E'_X}{E'_{TT}}}{\left(1 + \frac{S_{11m}-E_D}{E_{RT}} E_S\right) \left(1 + \frac{S_{22m}-E'_D}{E'_{RT}} E'_S\right) - E'_L E_L \frac{S_{21m}-E_X}{E_{TT}} \frac{S_{12m}-E'_X}{E'_{TT}}} \quad (2.52)$$

Los términos de error relacionados con la fuga de señal son E_D , E'_D (directividad) y E_X , E'_X (aislamiento). Los errores relacionados con la reflexión son E_S , E'_S (adaptación de fuente) y E_L , E'_L (adaptación de carga). Por último, los errores relacionados con la respuesta en frecuencia de los receptores son E_{RT} , E'_{RT} (mediciones de reflexión) y E_{TT} , E'_{TT} (mediciones de transmisión).

2.2.5. Calibración y proceso de medida del VNA

Para medir los parámetros S de una línea de transmisión con un VNA, primero se deben configurar las frecuencias entre las que hará el barrido en frecuencia. También, se debe configurar la potencia y el número de puntos. Después, se calibra el VNA, incluyendo todos sus puertos. La calibración de un analizador de redes es un proceso de alta precisión, donde se deben tener en cuenta tanto la impedancia en la que se está operando como las condiciones en las que está operando el equipo.

El estándar de calibración, como se ha mencionado en el apartado anterior, usa cuatro dispositivos de prueba, que se denominan *OPEN* (red abierta), *SHORT* (red en cortocircuito) y *LOAD* (red con carga) para calibrar la reflexión y *THRU* (red conectada) para calibrar la transmisión, que deben ser conectados a los puertos del analizador para que este pueda comparar y establecer la diferencia entre los diferentes modos. Los datos de calibración se podrán guardar en memoria en distintos registros del VNA.

Tras la calibración del VNA, se realiza la medida de los parámetros S sobre la línea de transmisión. Por último, el VNA presentará los resultados, los cuales se podrán guardar en memoria o exportar, normalmente en formato *SnP*, donde n indica el número de puertos empleados en la medida y, por tanto, el número de parámetros S guardados. En la Figura 2.21, se puede observar el contenido de un archivo tipo **.s1p*, donde HZ indica que la frecuencia se muestra en Hz, S señala que el archivo contiene parámetros S , RI indica que el archivo muestra la parte real e imaginaria de los parámetros S y R 50 muestra que la impedancia característica de la medida es 50Ω .

```
# HZ S RI R 50
10000 1.0032199753477187 -0.01557304777251817
15009900 0.9943592231497785 -0.10635142666315273
30009800 0.9771936572536339 -0.21200946470592713
45009700 0.9485899211488402 -0.31569270218004647
60009600 0.9118802077507263 -0.4119012747686779
75009500 0.8639333631929779 -0.5049221156028996
90009400 0.8010876758883214 -0.6009201407374561
105009300 0.7339780063617631 -0.6824093735020929
120009200 0.6575344064235786 -0.7534607833709694
135009100 0.575031245086454 -0.8162512588566079
150009000 0.4859509564674492 -0.87245918442889
165008900 0.39232860526534474 -0.917793638696625
180008800 0.29335799528005574 -0.9516249970806904
195008700 0.19472263375702487 -0.9728302516361341
210008600 0.09427183378925243 -0.9890746602210408
```

Figura 2.21: Contenido de un archivo **.s1p*.

2.2.6. Medidas del VNA

Los parámetros que se obtienen de un VNA son de reflexión y de transmisión, y pueden estar representados de distintas formas. Habitualmente, suelen estar representados según la Carta de Smith, un diagrama de magnitud y fase o un diagrama de parte real e imaginaria. Las siguientes figuras muestran un ejemplo de cada tipo de representación:

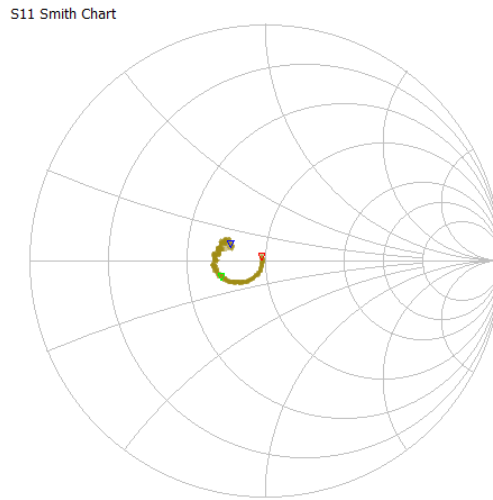


Figura 2.22: Representación en Carta de Smith.

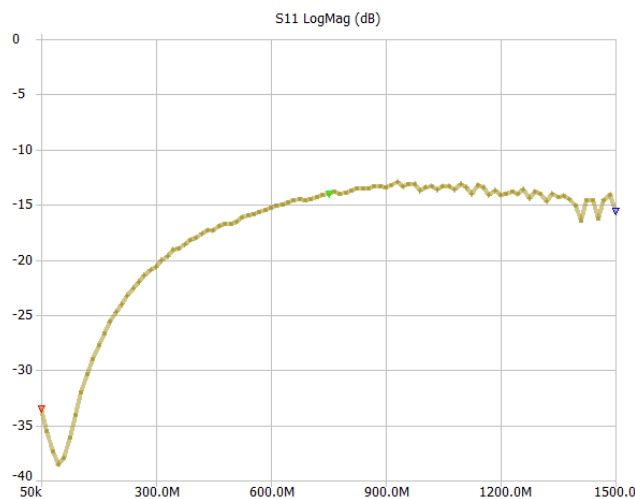


Figura 2.23: Representación en diagrama de magnitud (dB). El eje horizontal representa la frecuencia (Hz).

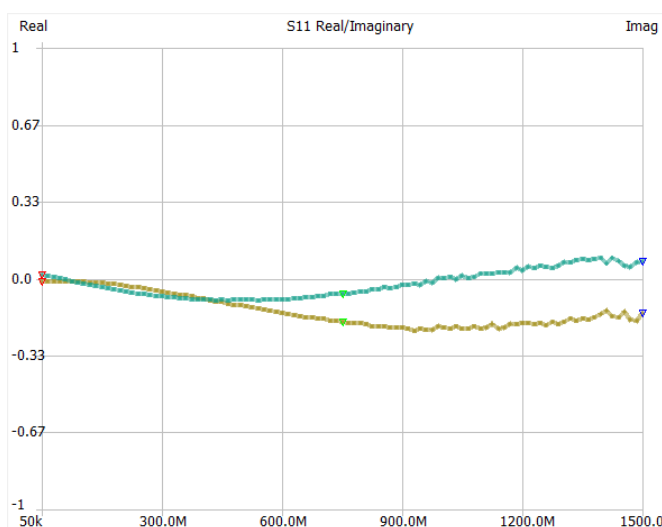


Figura 2.24: Representación en diagrama de parte real (marrón) e imaginaria (azul). El eje horizontal representa la frecuencia (Hz).

- Reflexión (S_{11} , S_{22}):
 - Carta de Smith: se obtienen los valores de la impedancia normalizada a distintas frecuencias. A partir de estos datos, se puede calcular el coeficiente de reflexión.
 - Magnitud y fase: representa la magnitud (en dB , normalmente) y la fase del coeficiente de reflexión en función de la frecuencia, que puede estar en escala logarítmica. De estos valores, se puede calcular la impedancia.
 - Parte real y parte imaginaria: representa la parte real e imaginaria del coeficiente de reflexión en función de la frecuencia.
- Transmisión (S_{21} , S_{12}):
 - Magnitud y fase: representa la magnitud y la fase del coeficiente de transmisión en función de la frecuencia.
 - Parte real y parte imaginaria: representa la parte real e imaginaria del coeficiente de transmisión en función de la frecuencia.

En un diagrama de magnitud y fase, la representación de la magnitud suele ser en decibelios (dB), lo cual se define como:

$$S_k(dB) = 20 \log |S_k| \quad (2.53)$$

Por tanto, se puede obtener la magnitud de la siguiente forma:

$$|S_k| = 10^{\frac{S_k(dB)}{20}} \quad (2.54)$$

Si, a esa frecuencia, su fase es ϕ_k , el valor del vector con magnitud y fase es:

$$S_k = |S_k|e^{j\phi_k} \quad (2.55)$$

De la misma manera, a partir del diagrama de parte real e imaginaria, se puede obtener el valor de la magnitud y la fase del vector de la siguiente forma:

$$|S_k| = \sqrt{\operatorname{Re}(S_k)^2 + \operatorname{Im}(S_k)^2} \quad (2.56)$$

$$\phi_k = \arctan \left(\frac{\operatorname{Im}(S_k)}{\operatorname{Re}(S_k)} \right) \quad (2.57)$$

2.3. Medios dieléctricos

Un medio material constituye el conjunto de puntos del espacio por donde se transmiten las ondas. Las propiedades electromagnéticas del medio determinarán su interacción con campos electromagnéticos y cómo se propagan las ondas electromagnéticas en el mismo. El comportamiento de un medio material ante la excitación con un campo electromagnético, caracterizada por las magnitudes vectoriales \mathbf{E} y \mathbf{H} , que representan el campo eléctrico y la excitación magnética, respectivamente, consiste en observar su respuesta ante dicha excitación, que puede caracterizarse mediante las magnitudes vectoriales \mathbf{D} , \mathbf{J} y \mathbf{B} , que representan el desplazamiento eléctrico, la densidad de corriente y la inducción magnética, respectivamente. Los parámetros que caracterizan cada medio, y que relacionan la excitación electromagnética con su respuesta en el medio, son ε , σ y μ , que representan, respectivamente, la permitividad eléctrica, la conductividad eléctrica y la permeabilidad magnética. Las relaciones son las siguientes:

$$\mathbf{D} = \varepsilon \mathbf{E} \quad (2.58)$$

$$\mathbf{J} = \sigma \mathbf{E} \quad (2.59)$$

$$\mathbf{B} = \mu \mathbf{H} \quad (2.60)$$

Las magnitudes anteriores no siempre están en fase, por lo que las magnitudes ε , σ y μ tienen una representación como magnitudes complejas:

$$\varepsilon = \varepsilon' - j\varepsilon'' \quad (2.61)$$

$$\sigma = \sigma' + j\sigma'' \quad (2.62)$$

$$\mu = \mu' - j\mu'' \quad (2.63)$$

Los parámetros ε , σ y μ permiten realizar una clasificación de materiales. De esta forma, se encuentran los siguientes materiales:

- Dieléctricos: materiales con una conductividad muy baja y una respuesta magnética débil. Estos materiales se caracterizan mediante la permitividad eléctrica.

- Conductores: materiales con una conductividad muy alta, con campos muy pequeños en su interior, con una respuesta magnética débil y con una respuesta dieléctrica inapreciable.
- Magnéticos: materiales con una respuesta magnética importante.

Centrándose en los medios dieléctricos, si se excita el material con un campo eléctrico, se produce una reordenación de cargas con la aparición de dipolos eléctricos, fenómeno que se conoce como polarización del dieléctrico, la cual está asociada con la permitividad ε , donde ε' está relacionada con la energía almacenada al formarse los dipolos y ε'' está relacionada con las pérdidas de energía durante este proceso. La polarización puede ser por distorsión, aplicando un campo eléctrico externo que provoca que las cargas negativas se desplacen con respecto a las positivas, apareciendo un dipolo inducido, la cual se denomina polarización electrónica o atómica, o también puede ser por orientación, denominada polarización dipolar, en la que algunos materiales presentan moléculas con un momento dipolar permanente y, al aplicar un campo eléctrico, se provoca un cambio en la orientación de los dipolos.

La polarización del dieléctrico se caracteriza mediante el vector de polarización \mathbf{P} , que depende del campo eléctrico aplicado:

$$\mathbf{P} = \varepsilon_0 \chi_e \mathbf{E} \quad (2.64)$$

Donde χ_e es la susceptibilidad eléctrica y ε_0 es la permitividad del vacío. Podemos establecer la relación entre la susceptibilidad eléctrica y la permitividad a partir de la definición del vector desplazamiento eléctrico:

$$\mathbf{D} = \varepsilon \mathbf{E} = \varepsilon_0 \mathbf{E} + \mathbf{P} = \varepsilon_0 (1 + \chi_e) \mathbf{E} \quad (2.65)$$

Por tanto:

$$\varepsilon = \varepsilon_0 (1 + \chi_e) \quad (2.66)$$

El hecho de que la permitividad sea compleja indica que la polarización no es instantánea, sino que tarda un tiempo en establecerse, de manera que hay un desfase entre el campo eléctrico aplicado y la polarización inducida. Si el campo eléctrico aplicado al dieléctrico es variable en el tiempo, los dipolos tratarán de seguir las variaciones del campo eléctrico con un tiempo de respuesta variable y, por tanto, a frecuencias distintas. Esto da lugar a una variación de la permitividad con la frecuencia, lo que se conoce como dispersión dieléctrica. Más concretamente, lo que produce la variación de la permitividad con la frecuencia son los diferentes fenómenos de polarización, los cuales dan lugar a fenómenos de relajación en el espectro dieléctrico. Dependiendo de las fuerzas de cohesión entre las moléculas y las interacciones moleculares, cada medio presenta determinadas frecuencias de relajación a lo largo del espectro en las cuales la reorientación de las cargas o polarización siguiendo el ritmo alternante del campo eléctrico aplicado marcado por su frecuencia deja de poder seguir la velocidad de alternación de dicho campo eléctrico, ya que las moléculas tardan un tiempo en reorientarse. Este tiempo de retraso se denomina tiempo de relajación. Esto puede suceder por diferentes fenómenos que dan lugar a los diferentes tipos de polarización, como pueden ser la dipolar, la atómica o la electrónica.

En el caso de la polarización dipolar, al aplicar un campo eléctrico alternante, las cargas del dieléctrico se van desplazando de un lado a otro de manera alternante a la velocidad marcada por la frecuencia del campo aplicado. Cuanto mayor es la frecuencia, más aumenta el número de choques entre las cargas al desplazarse. Esto hace que se produzcan dos tipos de pérdidas: por calor y porque en esos choques se pierden cargas por el camino que no acaban contribuyendo a la polarización. Estas pérdidas son las que recoge la parte imaginaria de la permitividad, y el máximo de la misma coincide con el punto de inflexión de la parte real, porque lo que pierde una lo gana la otra, aunque no en términos absolutos.

Por tanto, en un barrido de frecuencias, la parte real de la permitividad (ϵ') presenta escalones descendentes que representan la desaparición de contribuciones dipolares al aumentar la frecuencia, mientras que la parte imaginaria de la permitividad (ϵ'') presenta máximos en las frecuencias de esos escalones, que corresponden a un aumento de la energía transferida al material a través de las interacciones de los dipolos con el entorno, y que se opone a las variaciones de su orientación.

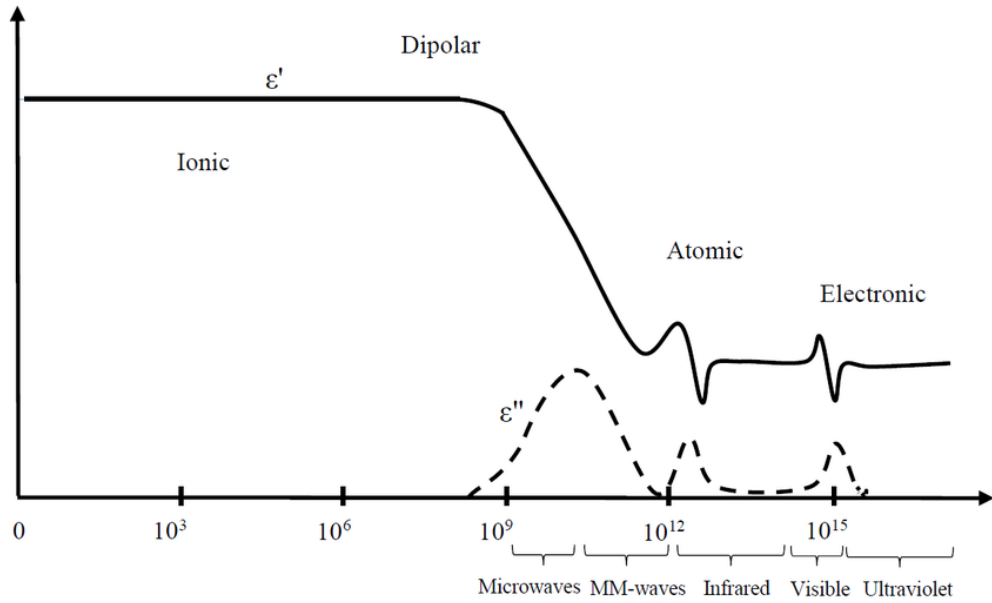


Figura 2.25: Dispersión dieléctrica. Permitividad en función de la frecuencia [13].

Por consiguiente, ε' está relacionada con el mecanismo de polarización y la energía almacenada al formarse los dipolos y ε'' está relacionada con las pérdidas de energía durante este proceso.

En conclusión, se puede afirmar que la permitividad eléctrica caracteriza completamente un material dieléctrico. Por otra parte, existen más parámetros que caracterizan medios dieléctricos, que son los siguientes parámetros derivados: la permitividad relativa (ε_r), la tangente de pérdidas ($\tan \delta$) y el índice de refracción (n). Estos parámetros se definen como:

$$\varepsilon_r = \frac{\varepsilon}{\varepsilon_0} \quad (2.67)$$

$$\tan \delta = \frac{\varepsilon''}{\varepsilon'} \quad (2.68)$$

$$n = \sqrt{\varepsilon_r} = \sqrt{\frac{\varepsilon}{\varepsilon_0}} \quad (2.69)$$

2.3.1. Caracterización de medios dieléctricos

La caracterización de medios dieléctricos consiste en utilizar métodos para determinar la permitividad eléctrica de los distintos materiales. Estos métodos se basan en la caracterización electromagnética del material en las bandas de frecuencias de microondas.

Fundamentalmente, existen dos grandes grupos en los que se dividen los métodos de caracterización de medios dieléctricos, según la forma de realizar la medida: métodos resonantes y métodos no resonantes. Para tener un conocimiento preciso de las propiedades dieléctricas de un material, se combina el método no resonante con el método resonante. Primero, se obtiene la información mediante el método no resonante para un rango de frecuencias y, posteriormente, se precisa esta información mediante el método resonante.

La resonancia describe el conjunto de fenómenos relacionados con los movimientos periódicos en los que se intensifica una oscilación al someter el sistema a oscilaciones de una frecuencia determinada, denominada frecuencia resonante.

2.3.1.1. Métodos no resonantes

Los métodos no resonantes se utilizan para tener una idea general de las propiedades electromagnéticas en un rango de frecuencias. Permiten realizar estudios de banda ancha. Las propiedades se obtendrán a partir de la impedancia y de la velocidad de onda de los materiales.

Si se consideran dos medios separados por una superficie, cuando una onda electromagnética se propaga por el primer medio e incide en esta superficie, se producirá una reflexión y una transmisión de la onda, a la vez que se refracta, lo cual se puede determinar mediante la Ley de Snell. La onda reflejada se propagará por el primer medio, mientras que la onda transmitida se propagará por el segundo medio. Este segundo medio tendrá unas características diferentes al primero, por lo que la velocidad de la onda y la impedancia del material variarán. La medida de la parte de la onda que se refleja o se transmite a través del material proporcionará información sobre la permitividad del mismo.

Dentro de los métodos no resonantes, se pueden diferenciar entre métodos de reflexión y métodos de transmisión/reflexión. Para poder dirigir la onda electromagnética hasta el material y poder medir la parte que se refleja y la que se transmite a través de él, se necesita una línea de transmisión, que podrá ser una sonda coaxial, una guía o el espacio libre.

▪ **Método de reflexión en una sonda coaxial**

En este método, una sonda coaxial acabada en abierto se pone en contacto directo con el material a medir, ya sea sólido, líquido o semisólido. La caracterización de materiales mediante métodos de reflexión consiste en observar el cambio en la impedancia de la línea de transmisión al introducir el material bajo estudio. Se calcularán las propiedades dieléctricas del material a partir de la medición del coeficiente de reflexión al final de la línea. El método de reflexión en una sonda coaxial también puede realizarse en cortocircuito.

Presenta las ventajas de que es un método no destructivo, se trata de una medida simple y cubre un gran rango de frecuencias, pero ofrece una precisión limitada y puede haber presencia de aire entre la sección final de la sonda coaxial y el plano del material bajo estudio, modificando el resultado de las mediciones. Se puede observar la realización del método en la Figuras 2.26 y 2.27.

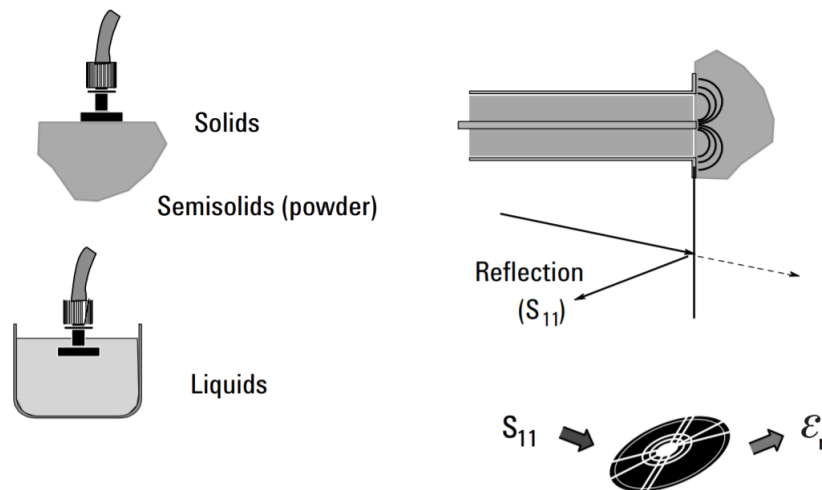


Figura 2.26: Método de reflexión en una sonda coaxial [16].

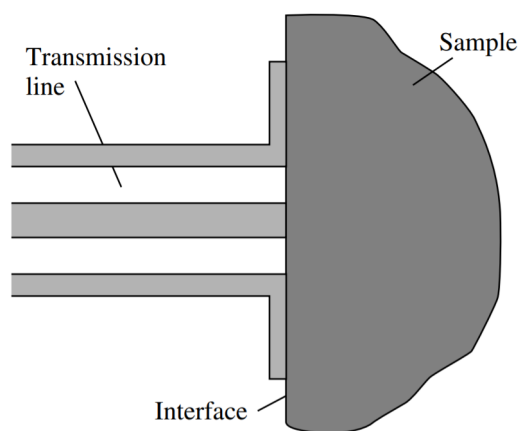


Figura 2.27: Método de reflexión en una sonda coaxial de final abierto. Detalle de la sonda en contacto con el material bajo estudio [13].

▪ Método de la guía de ondas

Este método emplea una guía de ondas y una muestra del material bajo estudio. Para caracterizar un material dieléctrico con este método, habrá que observar el cambio en la impedancia de la línea de transmisión al introducir una muestra del material, calculando sus propiedades dieléctricas a partir de los parámetros de reflexión y transmisión. El método de la guía de ondas puede ser de reflexión en circuito abierto o en cortocircuito (método de Robert Von Hippel) o de reflexión/transmisión.

Se trata de una técnica de banda ancha que permite medir materiales magnéticos, pero la muestra debe tener una forma y tamaño específicos. Se puede ver la aplicación del método en las Figuras 2.28 y 2.29.

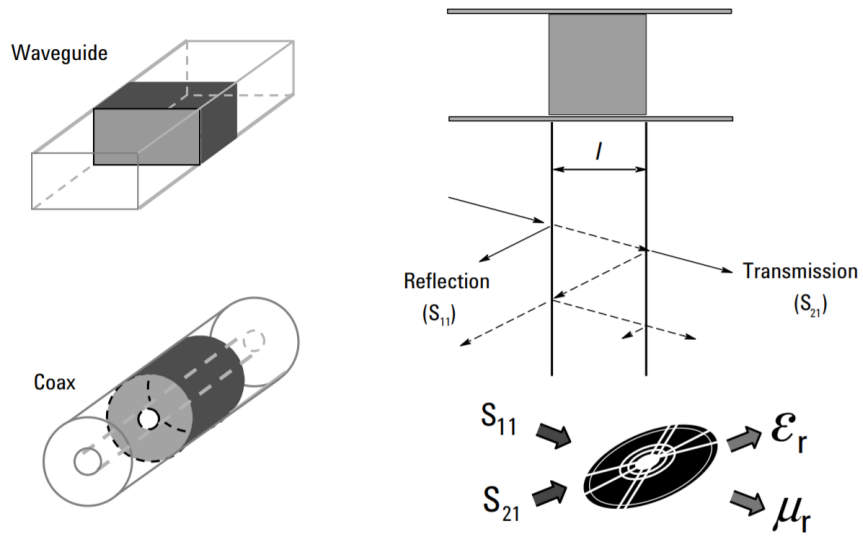


Figura 2.28: Método de reflexión/transmisión de la guía de ondas [16].

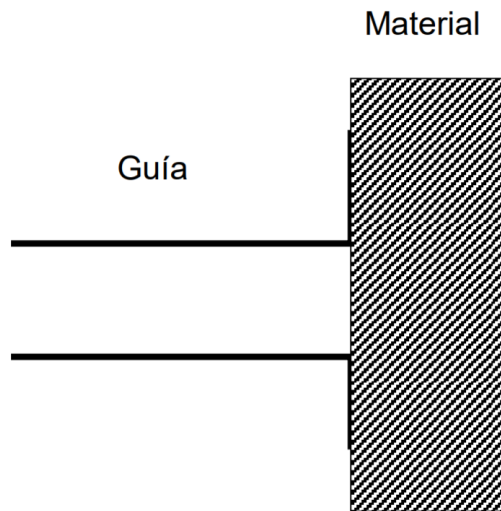


Figura 2.29: Método de reflexión de la guía de ondas [34].

■ Método del espacio libre

El método del espacio libre utiliza antenas para aplicar las ondas de microondas a través del espacio y analizar la interacción con el material, que se encontrará en un punto intermedio del espacio libre, midiendo la atenuación y el desfase de las señales. A partir de estos valores, mediante ecuaciones, se obtienen las propiedades electromagnéticas del material. Para que las medidas sean correctas, se debe asegurar que se está trabajando en un campo lejano, de forma que las ondas se puedan considerar como ondas planas. Además, se debe escoger un tamaño adecuado de la muestra, tal que sea mayor que la longitud de la onda electromagnética para evitar la difracción y otros efectos de los bordes, y el lugar donde se realizan las medidas debe evitar las reflexiones no deseadas, por ejemplo, una cámara anecoica. El método del espacio libre puede ser de reflexión o de reflexión/transmisión.

Como ventajas, presenta que no es destructivo ni intrusivo, no necesita contacto y no se requiere una preparación especial de la muestra. Sin embargo, ofrece una precisión limitada por la difracción en los bordes de la muestra y las múltiples reflexiones que pueden ocurrir durante la medición. El esquema del método del espacio libre se muestra en las Figuras 2.30 y 2.31.

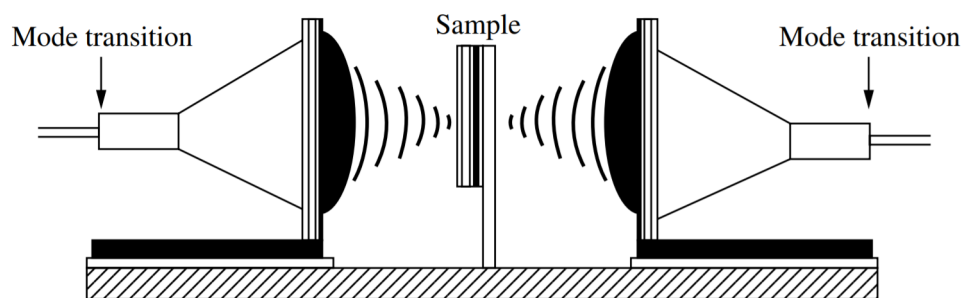


Figura 2.30: Método del espacio libre [13].

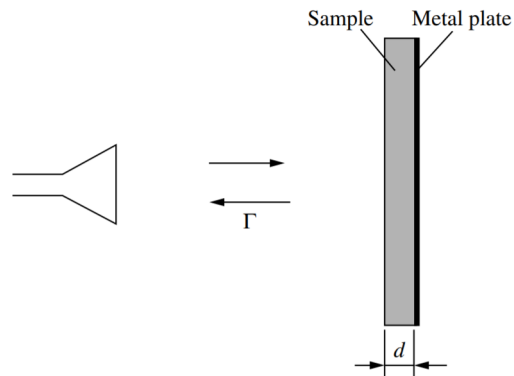


Figura 2.31: Método de reflexión del espacio libre [13].

2.3.1.2. Métodos resonantes

Los métodos resonantes se usan cuando se quiere información precisa de las propiedades dieléctricas de un material a una determinada frecuencia. Con este método, se pueden obtener las propiedades de un material para varias frecuencias discretas. Los métodos resonantes son mucho más precisos que los métodos no resonantes. Los métodos resonantes se dividen en: método resonador y método de perturbación resonante.

- **Método resonador**

El método resonador necesita conocer las dimensiones de un resonador dieléctrico. A partir de ello, se puede calcular la permitividad a partir de la frecuencia de resonancia y el factor de calidad de dicho resonador. Este método se utiliza para materiales que poseen una permitividad elevada. El método consiste en situar la muestra del material entre dos láminas conductoras para que funcione como resonador. En la Figura 2.32, se puede observar la geometría de la configuración de un resonador Courtney, que esencialmente consiste en una guía de ondas cilíndrica dieléctrica cortocircuitada por dos placas conductoras situadas en ambos extremos de la guía, transforman la línea de transmisión en un resonador.

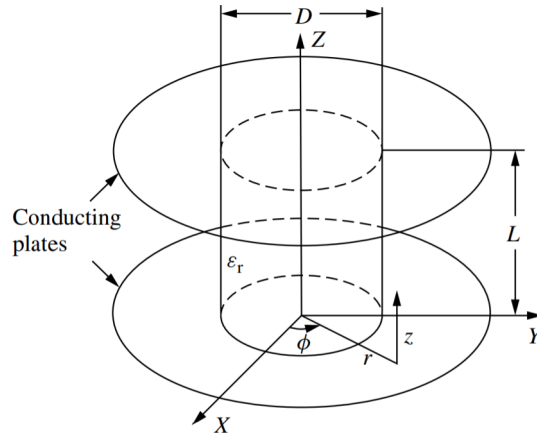


Figura 2.32: Configuración de un resonador Courtney [13].

- **Método de perturbación resonante**

Este método utiliza una estructura resonante en la que se introduce la muestra del material. Se podrá calcular la permitividad a partir de la frecuencia de resonancia y el factor de calidad, al igual que en el método resonador, pero ésta también dependerá de las condiciones de contorno, que varían según perturbaciones en la forma de la cavidad, en las pérdidas de las paredes del resonador o en el material. La estructura o cavidad resonante consiste en una guía de ondas cortocircuitada en ambos extremos, produciéndose ondas estacionarias en la dirección de propagación. En la cavidad, se introduce una pequeña muestra de material, lo cual provoca una variación de la frecuencia de resonancia y del factor de calidad. A partir de ello, se puede determinar la permitividad y permeabilidad del material. En la Figura 2.33, se muestra un esquema de la cavidad resonante con una muestra del material bajo estudio.

El método de perturbación resonante presenta las ventajas de rapidez y precisión en la medida, empleo de muestras de material de tamaño reducido y realización de medidas a temperaturas altas. Sin embargo, se trata de un método destructivo y es complicado fabricar la cavidad resonante con precisión.

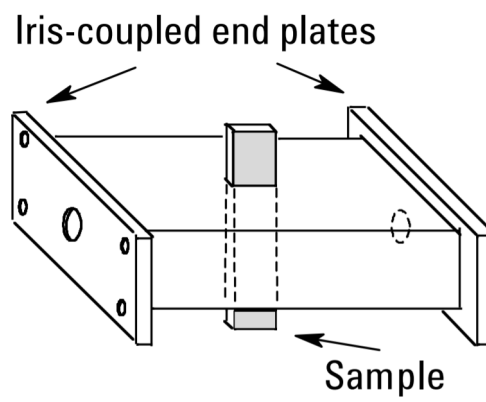


Figura 2.33: Método de perturbación resonante [16].

Capítulo 3

Diseño de la solución

En este capítulo, se ha desarrollado todo el proceso llevado a cabo para realizar el diseño del analizador de redes vectorial.

Una vez presentados los objetivos del presente proyecto y analizado el contexto en torno al mismo, se puede observar que la tecnología basada en la radiofrecuencia para la obtención de la permitividad de los materiales a partir de los parámetros S es una de las más utilizadas y de las más interesantes, debido a su precisión, alta velocidad para obtener los resultados y reducido coste, destacando sobre otras tecnologías. Además, se está desarrollando cada vez más una electrónica que hace posible el diseño de analizadores de redes vectoriales más precisos y rápidos a la hora de realizar las medidas y la calibración. Añadido a esto, se puede lograr el desarrollo de un VNA de tamaño reducido utilizando componentes pequeños, precisos y de bajo coste.

El diseño del analizador de redes vectorial del presente proyecto se basa en el diseño del NanoVNA llevado a cabo por Tomohiro Takahashi [42], que se trata de un proyecto *open source* (libre para usarlo y modificarlo). El objetivo consiste en adaptar el diseño a un VNA más simple de un solo puerto, logrando reducir su coste y su tamaño. Esta etapa consta de una fase de diseño del esquemático del circuito electrónico, una fase de diseño de la placa de circuito impreso (PCB, *Printed Circuit Board*), una fase de adquisición de los componentes necesarios de distintos fabricantes, una fase de montaje, donde se sueldan los distintos componentes electrónicos a la placa, y una fase de programación, en la que se programará el Firmware para el microcontrolador del VNA.

3.1. Diseño del esquemático

Para diseñar el analizador de redes vectorial, hay que tener en cuenta las distintas partes básicas de las que consta la arquitectura de este tipo de dispositivos. En primer lugar, dispondrá de la parte de alimentación, que se encargará de proporcionar energía a todo el sistema. También dispondrá de un generador de señales, que realizará el barrido en frecuencia y proporcionará la señal de prueba. Además, tendrá separadores de señal formados por divisores de tensión y un puente de Wheatstone para el puerto de reflexión. A todo lo anterior se le añade receptores de señales, formados por mezcladores de frecuencias y un códec, que se encargarán de recibir y procesar la señal y, por último, se tiene un procesador que procesará la señal procedente del receptor, así como puertos externos para poder acceder a ciertas partes del procesador desde el exterior.

3.1.1. Diagrama de bloques

A continuación, se muestra el diagrama de bloques correspondiente al diseño que se ha realizado para un VNA de 2 puertos y para un VNA de 1 puerto, mostrando finalmente el esquemático diseñado para cada uno a partir de su correspondiente diagrama de bloques.

En este proyecto, se centra la atención en el diseño e implementación del VNA de 1 puerto, para el que se realiza su diagrama de bloques, su esquemático, su PCB, se fabrica el prototipo físicamente y se realizan experimentos con el mismo. Pero se ha realizado el diseño de un VNA de 2 puertos (diagrama de bloques y esquemático) con más funcionalidades para futuras aplicaciones y trabajos futuros.

3.1.1.1. VNA de 2 puertos

El diagrama de bloques correspondiente al VNA de 2 puertos diseñado está formado por una parte de alimentación, un generador de señales, separadores de señal, receptores de señal, procesador y pantalla y puertos externos, tal y como se observa en la Figura 3.1.

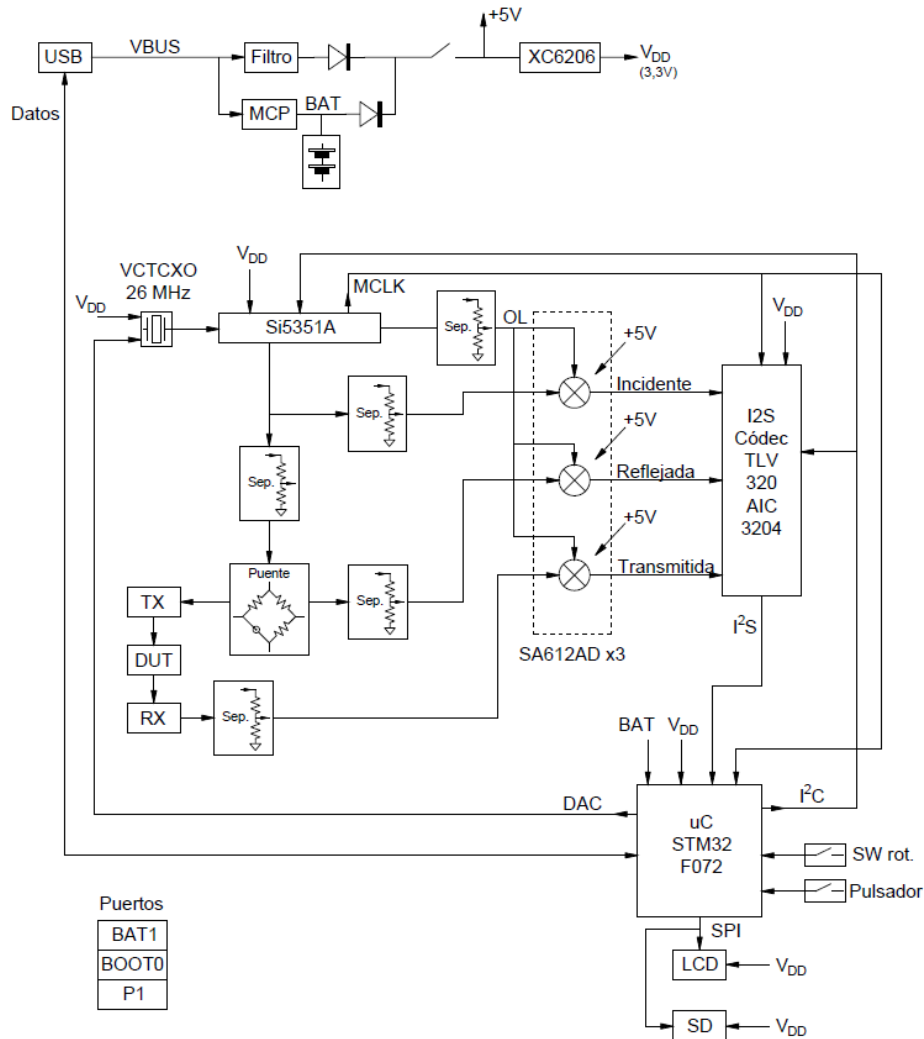


Figura 3.1: Diagrama de bloques del VNA de 2 puertos.

La alimentación parte del USB, cuya tensión pasa por un filtro y por un controlador de carga de batería MCP73831T que sirve para cargar una batería externa de Litio. Tras esto, pasa por el interruptor general y por un regulador de tensión lineal XC6206P331MR de forma que, antes del regulador, se obtienen +5 V y, después del regulador, se obtiene V_{DD} (3,3 V). La señal de V_{DD} alimenta al oscilador, al generador de señales Si5351A, al códec TLV320AIC3204, al microcontrolador STM32F072, a la pantalla LCD y a la tarjeta SD. La señal de +5 V alimenta a los mezcladores de frecuencias SA612AD. La batería también alimentará el microcontrolador.

El generador de señales Si5351A está alimentado por un oscilador VCTCXO de 26 MHz que, a su vez, está controlado por una señal DAC del microcontrolador. El Si5351A se comunica con el microcontrolador por I²C, y ofrece tres señales: una señal para el oscilador local de los mezcladores de frecuencias, la señal de prueba que hace el barrido en frecuencia y una señal de reloj MCLK que sincroniza el microcontrolador y el códec.

Tras el generador de señales, se encuentran los separadores de señales. La señal de oscilación local de los mezcladores de frecuencias y la señal incidente presentan un separador de señal en forma de divisor de tensión resistivo. La señal reflejada posee como separadores de señal un divisor de tensión, un puente de Wheatstone para el puerto de reflexión y un divisor de tensión a la salida de este último. Por último, la señal transmitida tiene un atenuador en forma de pi equilibrado como separador de señal.

Tras los separadores de señales, la señal llega a los receptores de señales. Las señales que proceden de los separadores de señal entran en los mezcladores de frecuencias SA612AD, tanto las señales incidente, reflejada y transmitida como la señal de oscilación local. Tras los mezcladores, se dispone de un filtro paso bajo y, tras ello, las distintas señales entran a los canales de entrada del códec TLV320AIC3204. El códec se comunica por I²C con el microcontrolador, y le manda por I²S el resultado del procesamiento digital de las señales entrantes.

Las señales procesadas llegan al procesador por I²S. El componente que se encarga del procesamiento es el microcontrolador STM32F072, que se comunica por I²C con el códec y el generador de señales, controla el oscilador de 26 MHz con una señal DAC, recibe señales de un interruptor giratorio de tres posiciones y de un pulsador, se comunica por SPI con la pantalla LCD y la tarjeta SD e intercambia datos con el USB. El procesador mostrará el resultado de los datos en la pantalla LCD y podrá exportar los datos en una tarjeta SD.

Por último, se dispone de puertos externos con los que se podrá acceder a distintas partes del procesador, que son el puerto BAT1, que permite conectar la batería externa de Litio, el puerto BOOT0, que permite puentear el pin BOOT0 del microcontrolador para actualizar el Firmware, y el puerto P1, que permite realizar la depuración y programación del Firmware a través de SWD.

CAPÍTULO 3. DISEÑO DE LA SOLUCIÓN

Tras el diseño y el análisis del diagrama de bloques para el VNA de 2 puertos, se ha procedido al desarrollo de su esquemático, que ofrece las funcionalidades descritas. Las distintas partes del esquemático se pueden ver en la Figuras 3.2, 3.3 y 3.4, aunque el esquemático completo se adjunta en el Anexo III.1 para su completa visualización.

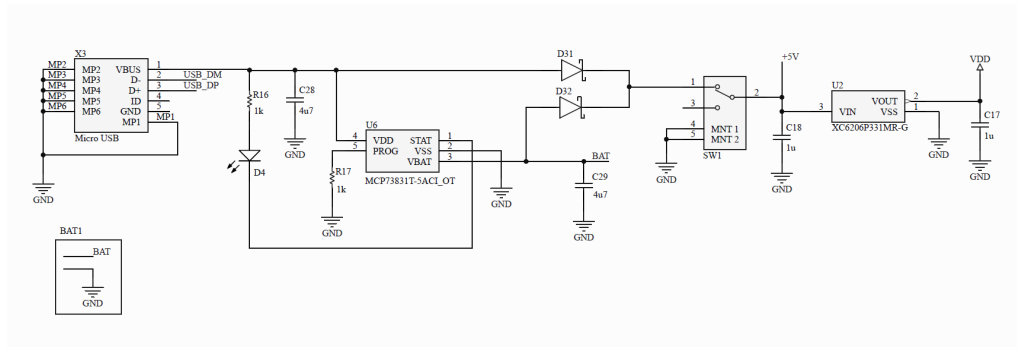


Figura 3.2: Esquemático del VNA de 2 puertos. USB, alimentación y puerto BAT1.

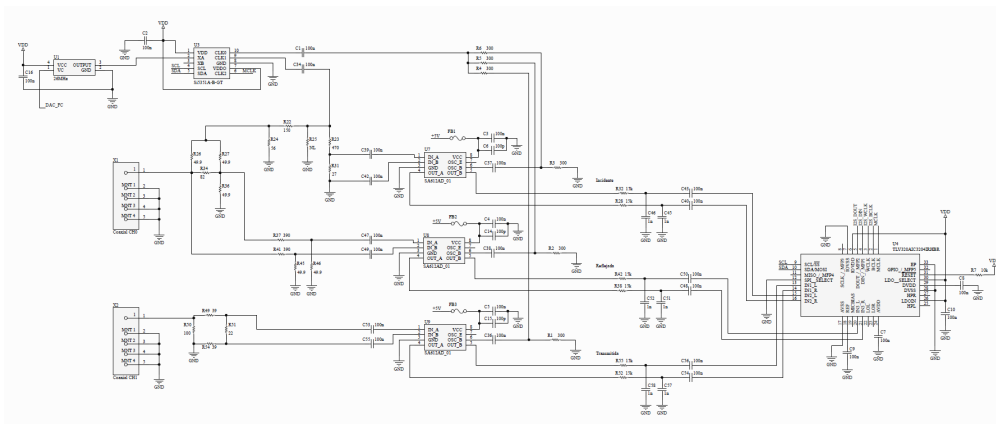


Figura 3.3: Esquemático del VNA de 2 puertos. Generador de señales, separadores de señales y receptores de señales.

CAPÍTULO 3. DISEÑO DE LA SOLUCIÓN

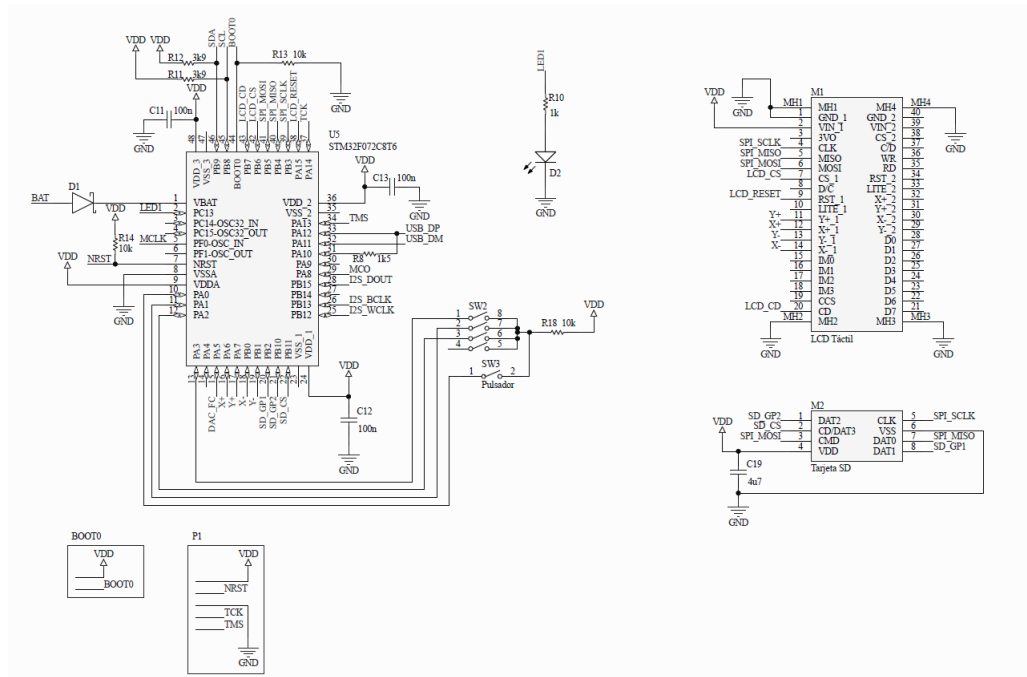


Figura 3.4: Esquemático del VNA de 2 puertos. Microcontrolador, pantalla LCD, tarjeta SD y puertos BOOT0 y P1.

3.1.1.2. VNA de 1 puerto

El diagrama de bloques correspondiente al diseño del VNA de 1 puerto está formado, de forma similar al VNA de 2 puertos, por una parte que se encarga de la alimentación del sistema, un generador de señales, separadores de señal, receptores de señal, procesador y puertos externos. Este es el VNA con el que se trabajará en este proyecto y, por tanto, los bloques por los que está formado se explicarán con más detalle en los siguientes apartados. El diagrama de bloques se puede ver en la Figura 3.5:

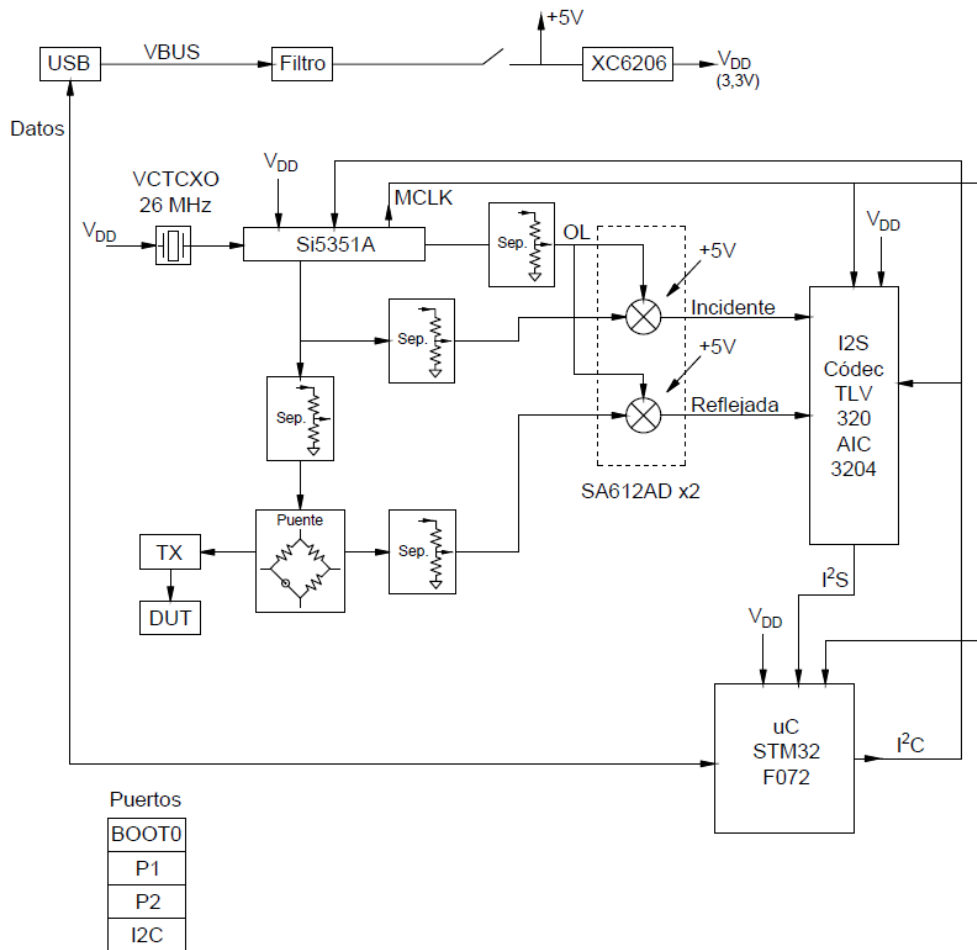


Figura 3.5: Diagrama de bloques del VNA de 1 puerto.

CAPÍTULO 3. DISEÑO DE LA SOLUCIÓN

El funcionamiento y la relación existente entre todos los bloques que componen el VNA de 1 puerto se corresponden con la explicación dada para el VNA de 2 puertos en el apartado anterior, salvo algunas diferencias. La versión del VNA de 1 puerto no presenta un cargador de batería ni una batería externa, el oscilador de 26 MHz no está controlado por el microcontrolador, no incorpora el puerto de transmisión ni el atenuador ni el mezclador de frecuencias SA612AD correspondiente a la onda transmitida, no tiene el interruptor giratorio ni el pulsador, tampoco incorpora la pantalla LCD ni la tarjeta SD y no tiene el puerto BAT1, añadiendo el puerto externo P2 que permite realizar la comunicación con el microcontrolador a través de UART. Además, las alimentaciones para todos los componentes están convenientemente filtradas, para reducir el ruido en todo el sistema.

Una vez diseñado y analizado el diagrama de bloques para el VNA de 1 puerto, que es el que se implementará en el proyecto, se ha realizado el diseño de su esquemático. Las distintas partes del esquemático se pueden ver en la Figuras 3.6, 3.7 y 3.8, aunque el esquemático completo se adjunta en el Anexo III.2 para su completa visualización.

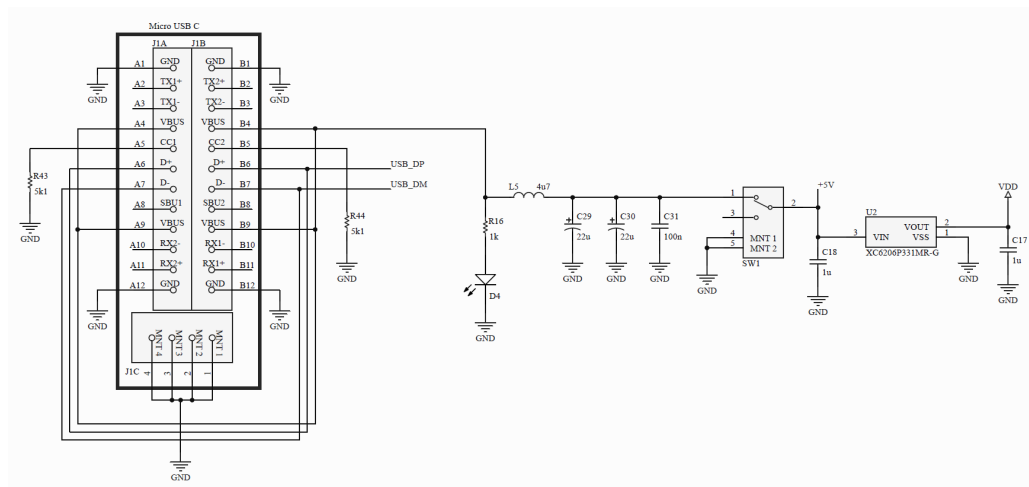


Figura 3.6: Esquemático del VNA de 1 puerto. USB y alimentación.

CAPÍTULO 3. DISEÑO DE LA SOLUCIÓN

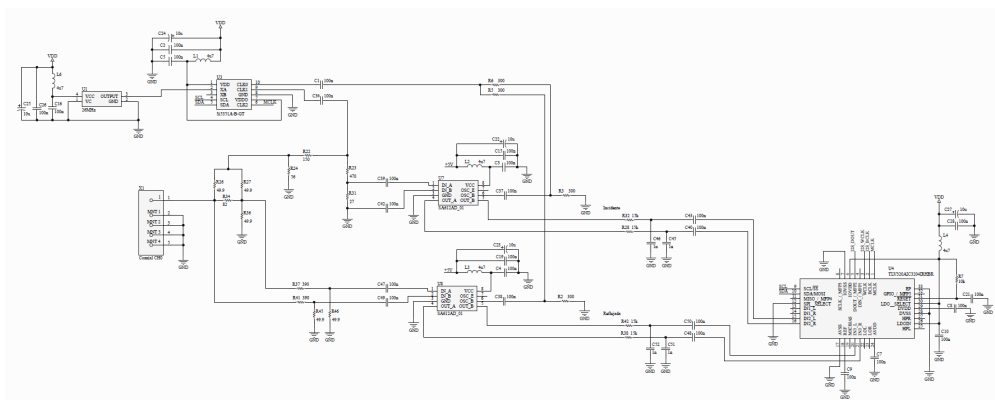


Figura 3.7: Esquemático del VNA de 1 puerto. Generador de señales, separadores de señales y receptores de señales.

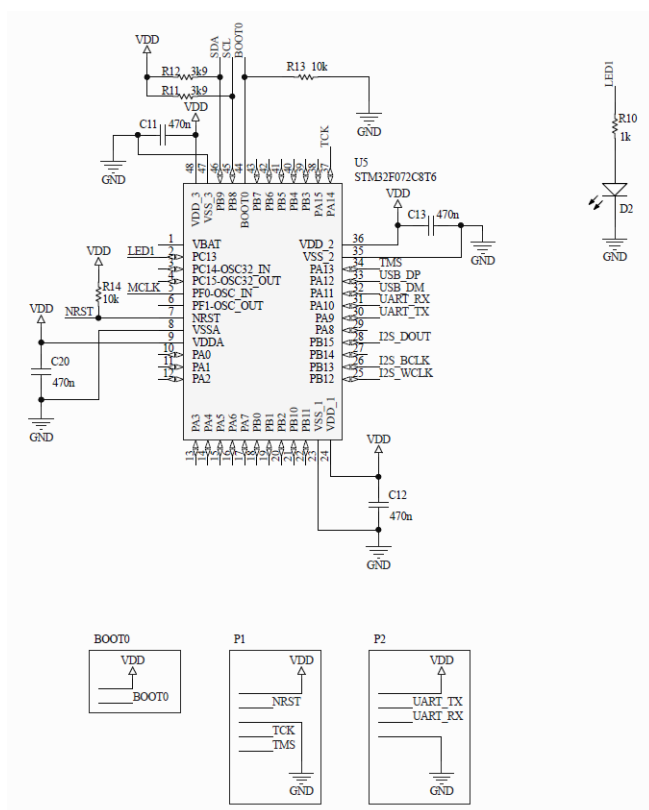


Figura 3.8: Esquemático del VNA de 1 puerto. Microcontrolador y puertos BOOT0, P1 y P2.

CAPÍTULO 3. DISEÑO DE LA SOLUCIÓN

También se ha realizado otra versión del VNA de 1 puerto. Los cambios incluidos en esta versión han sido cambiar el conector tipo micro-USB C por sus cuatro pines esenciales: dos pines de alimentación y dos pines de datos, para facilitar la soldadura ya que, en varias pruebas que se hicieron con el otro modelo, resultaba difícil corregir la soldadura en caso de que se produjeran uniones entre pads, y también se ha incluido un nuevo puerto I2C que permite realizar la comunicación con el microcontrolador de forma externa a través de I²C. El funcionamiento de esta versión sigue siendo el mismo. Cambiará, esencialmente, la PCB con esta versión, ya que su esquemático es prácticamente igual. Se pueden visualizar los cambios en el esquemático en las Figura 3.9, y el esquemático completo se adjunta en el Anexo III.3 para su completa visualización.

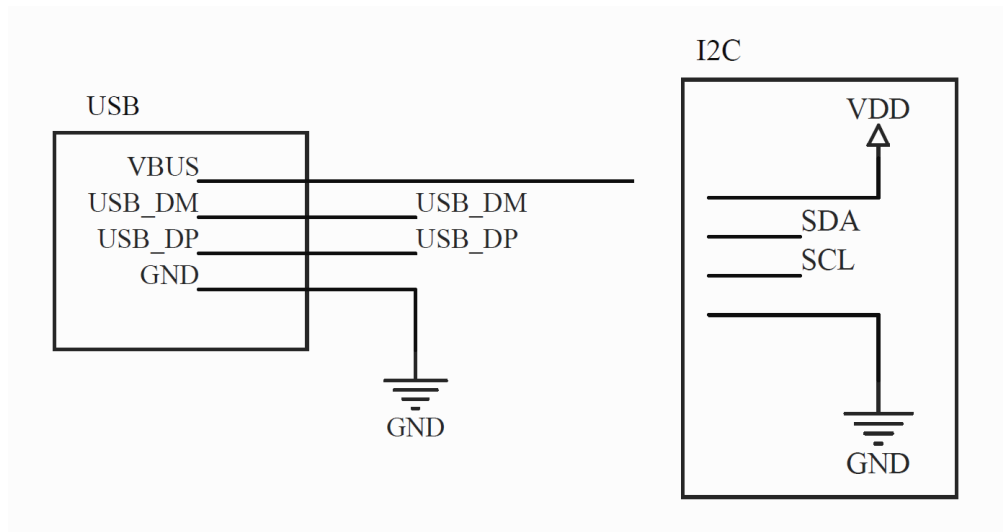


Figura 3.9: Cambios en la última versión del esquemático del VNA de 1 puerto. USB y puerto I2C.

3.1.2. Bloques detallados del esquemático

Como ya se ha mencionado, en este proyecto se realizará el diseño e implementación del VNA de 1 puerto. Por tanto, tras el análisis de su diagrama de bloques y la visualización de su esquemático, se realizará a continuación el análisis más detallado de cada uno de los bloques que componen su esquemático.

3.1.2.1. Alimentación

La alimentación comienza con el USB, que aporta la energía a todo el sistema a través de VBUS. La tensión proveniente de VBUS enciende un diodo LED para indicar que el USB está conectado, luego atraviesa una etapa de filtrado paso bajo para aumentar la estabilidad de la tensión, pasa por el interruptor general, que permitirá que la energía le llegue o no al resto del sistema y, tras el interruptor, la tensión llega al regulador de tensión lineal XC6206P331MR.

De esta forma, la alimentación obtenida para los componentes del VNA es de +5 V antes del regulador lineal y de V_{DD} (3,3 V) tras el regulador. La señal de V_{DD} alimenta al oscilador, al generador de señales Si5351A, al códec TLV320AIC3204 y al microcontrolador STM32F072. Por otra parte, la señal de +5 V alimenta a los mezcladores de frecuencias SA612AD. Estas alimentaciones están convenientemente filtradas para todos los componentes, para reducir el ruido en todo el sistema. Además, es importante señalar que se utilizarán los pines de datos USB_DP y USB_DM del USB para intercambiar datos con el microcontrolador. Se puede visualizar esta etapa en la Figura 3.10:

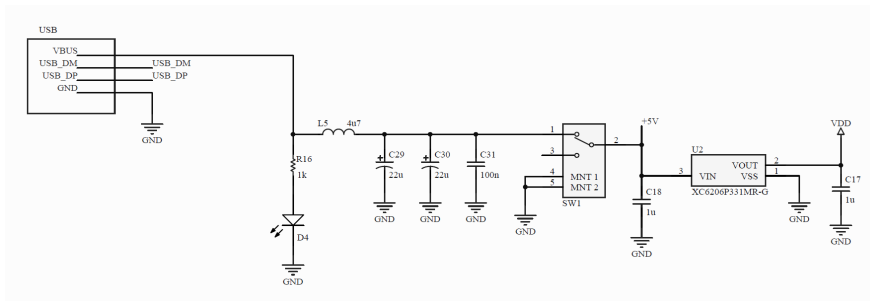


Figura 3.10: Bloque de alimentación.

3.1.2.2. Generador de señales

La generación de señales haciendo un barrido en frecuencia la realiza el componente Si5351A. A su vez, el generador de señales está alimentado por un oscilador VCTCXO (oscilador de cristal con compensación de temperatura y controlado por tensión) de 26 MHz, que ofrece una onda senoidal recortada. Como se puede observar, ambos componentes están alimentados con una tensión V_{DD} a la que se ha aplicado un filtro paso bajo para reducir el posible ruido.

El generador de señales Si5351A se comunica con el microcontrolador por I²C, correspondiente a las señales SCL y SDA, de forma que el microcontrolador le indica el barrido de frecuencias que tiene que realizar en cada momento. Ofrece a su salida tres señales distintas de oscilación, que consisten en una señal para el oscilador local de los mezcladores de frecuencias SA612AD, la señal de prueba para el dispositivo bajo prueba que hace el barrido en frecuencia y una señal de reloj MCLK que permite la sincronización del microcontrolador y el códec TLV320AIC3204. Las señales de oscilación local y la señal de prueba pasan por condensadores de acoplo para eliminar posibles componentes de continua presentes en las señales.

El protocolo I²C (Inter-Integrated Circuit) es un protocolo de comunicación serie síncrono. Utiliza dos líneas de señal: SDA (*Serial Data*), que es el flujo de datos, y SCL (*Serial Clock*), que es el reloj. Estas señales necesitan resistencias de pull-up, las cuales se pueden observar en el microcontrolador. En la Figura 3.11 se puede visualizar este bloque:

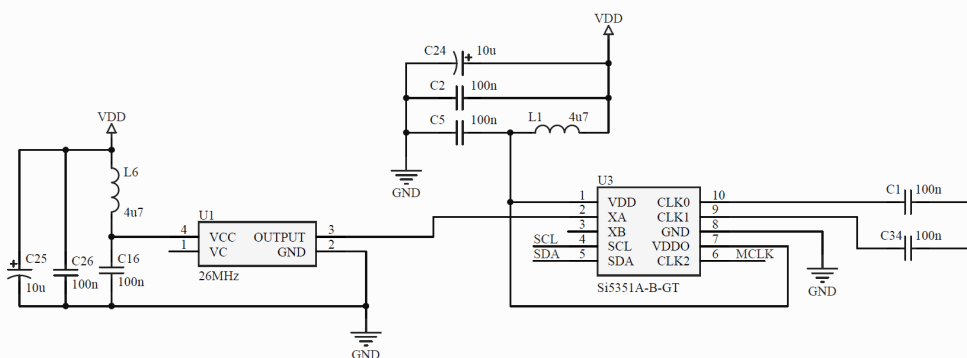


Figura 3.11: Bloque del generador de señales.

3.1.2.3. Separadores de señal

Después del generador de señales, se encuentran los separadores de señales, que se encargan de obtener la medida de la señal incidente como referencia y de separar la onda incidente de la onda reflejada a la entrada del dispositivo bajo prueba.

La señal de oscilación local de los mezcladores de frecuencias SA612AD y la señal incidente presentan un separador de señal en forma de divisor de tensión resistivo. Por su parte, la señal reflejada posee como separadores de señal un divisor de tensión, un puente de Wheatstone para el puerto de reflexión formado por resistencias de $49,9 \Omega$ para compararlas con la resistencia de la línea de transmisión conectada al puerto y dos divisores de tensión resistivos a la salida del puente. Se puede visualizar esta parte remarcada en la Figura 3.12:

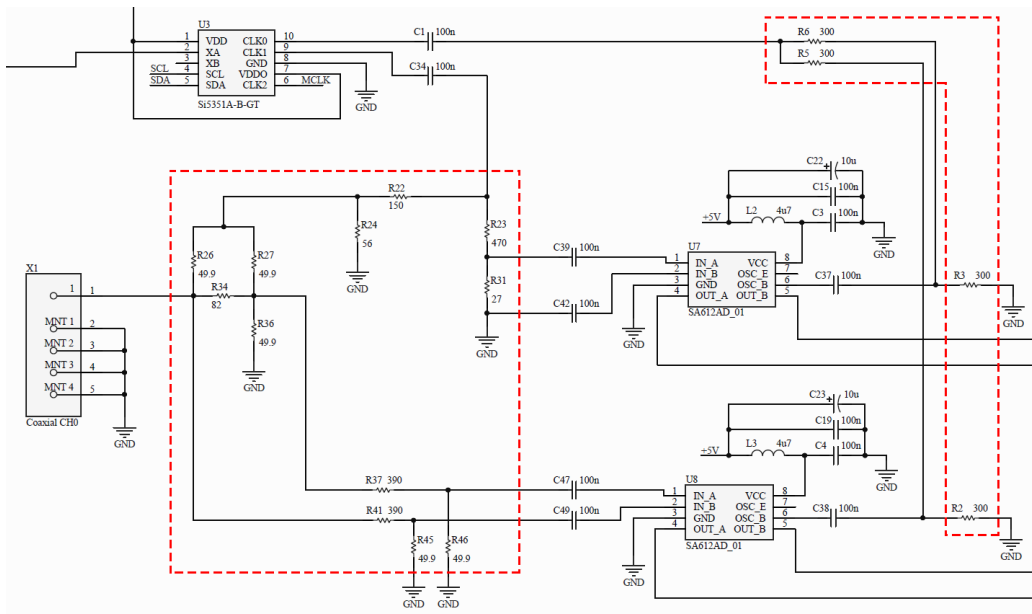


Figura 3.12: Bloque de los separadores de señal.

3.1.2.4. Receptores de la señal

Las señales, tras los separadores de señales, llegan a los receptores de señales, que se encargan de realizar las mediciones y el procesamiento de las mismas. Las señales procedentes de los separadores de señales entran en los mezcladores de frecuencias SA612AD, tanto las señales incidente y reflejada como la señal de oscilación local de cada uno, todas ellas pasando por condensadores de acoplo.

La alimentación de los mezcladores se realiza con +5 V, que son convenientemente filtrados con una etapa de filtro paso bajo en forma de pi para reducir el posible rizado de la señal. El primer mezclador toma la señal incidente y el segundo mezclador recibe la señal reflejada por el puerto de reflexión. Los mezcladores de frecuencias son circuitos que multiplican las dos señales de entrada, produciendo a su salida una señal que es la mezcla de las señales de entrada, con una ganancia. Se dispone de una señal de alta frecuencia en una de sus entradas y de un oscilador local en la otra entrada, de forma que a la salida se tendrá el producto de ambas, que será una señal a frecuencia intermedia, y que incluye la suma y la diferencia de las frecuencias de las señales de entrada. El mezclador de frecuencias SA612AD utiliza una célula de Gilbert para realizar la operación del producto de las señales entrantes.

Tras los mezcladores de frecuencias, se dispone de un filtro paso bajo para cada una de sus salidas y, tras el filtro, las distintas señales llegan a los canales de entrada del códec TLV320AIC3204 a través de condensadores de acoplo. El códec posee un ADC (convertor analógico/digital), se comunica por I²C con el microcontrolador y le manda por I²S el resultado del procesamiento digital de las señales entrantes. El códec también está alimentado convenientemente con la señal V_{DD} filtrada para aumentar su estabilidad.

El protocolo I²S (Inter-IC Sound, Integrated Interchip Sound) es un protocolo de comunicación serie síncrono usado para la transmisión de audio digital. Utiliza tres líneas de señal: BCLK (*Bit Clock*), que es el reloj de bits, WCLK (*Word Clock*) que es el reloj de palabras, y líneas de datos DIN (*Data in*) y DOUT (*Data out*).

El códec de audio TLV320AIC3204 incluye un conjunto de algoritmos que permiten codificar y decodificar las señales entrantes. Para ello, tras un ADC, comprime (codifica) la señal de audio, reduciendo su tamaño, y

CAPÍTULO 3. DISEÑO DE LA SOLUCIÓN

formando un flujo de bits codificado, llamado stream. Luego, descomprime (decodifica) dicho flujo de bits para poder reproducir la señal, en un formato más apropiado. Es decir, la parte del codificador comprime la señal en un flujo de bits codificado en binario y la parte del decodificador restaura la señal para que se pueda reproducir. El resultado final es reducir el tamaño de la señal transmitida manteniendo una alta calidad final. Finalmente, el códec TLV320AIC3204 realiza el procesamiento digital de la señal y da el resultado por I²S, que mandará al microcontrolador. Con esto, se obtiene información tanto de la magnitud como de la fase de la señal. La etapa de los receptores de señal se puede visualizar en la Figura 3.13:

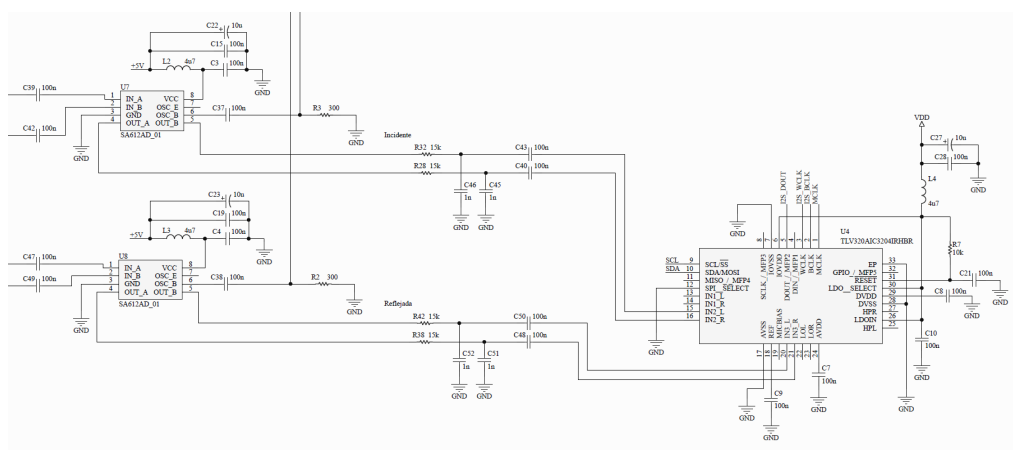


Figura 3.13: Bloque de los receptores de señal.

3.1.2.5. Procesador

Las señales procesadas por el códec TLV320AIC3204 llegan al procesador por I²S. El componente que realiza el procesamiento de dichas señales consiste en el microcontrolador STM32F072, que posee un núcleo ARM de 32 bits Cortex-M0, una frecuencia de 48 MHz, una memoria Flash de 64 KB y una memoria RAM de 16 KB. El microcontrolador se comunica por I²C con el códec y el generador de señales e intercambia datos con el USB a través de las señales USB_DP y USB_DM.

La alimentación del microcontrolador se realiza a través de V_{DD} , que se estabiliza con condensadores de 470 nF. Del procesador parten las señales SCL y SDA de I²C con sus resistencias de pull-up, la señal de BOOT0 con una resistencia de pull-down, la señal de reset NRST con una resistencia de pull-up, las señales TMS y TCK para la comunicación por SWD y las señales de UART_RX y UART_TX para la comunicación por UART. Además, recibe las señales de I²S del códec I2S_BCLK, I2S_WCLK e I2S_DOUT y la señal de reloj MCLK del generador de señales. Por último, ofrece una señal LED1 que activará el diodo LED conectado a ella. En la Figura 3.14 se puede ver el microcontrolador STM32F072 con todas sus conexiones:

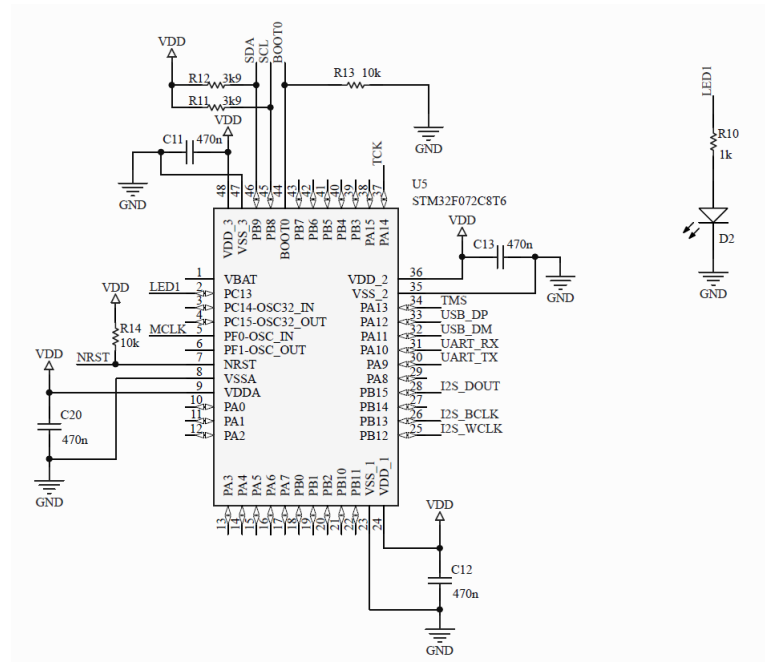


Figura 3.14: Bloque del microcontrolador.

3.1.2.6. Puertos externos

Finalmente, el sistema dispone de puertos externos que permiten acceder a distintas partes del microcontrolador STM32F072. Se trata del puerto BOOT0, formado por las señales BOOT0 y V_{DD} , que permite puentear el pin BOOT0 del microcontrolador con V_{DD} para actualizar el Firmware, el puerto P1, formado por las señales V_{DD} , NRST, GND, TCK y TMS, que permite realizar la depuración y programación del Firmware a través de SWD, el puerto P2, formado por las señales V_{DD} , UART_TX, UART_RX y GND, que permite realizar la comunicación con el microcontrolador a través de UART, y el puerto I2C, formado por las señales V_{DD} , SDA, SCL y GND, que posibilita la comunicación externa con el microcontrolador a través de I²C. En la Figura 3.15 se pueden ver todos los puertos externos:

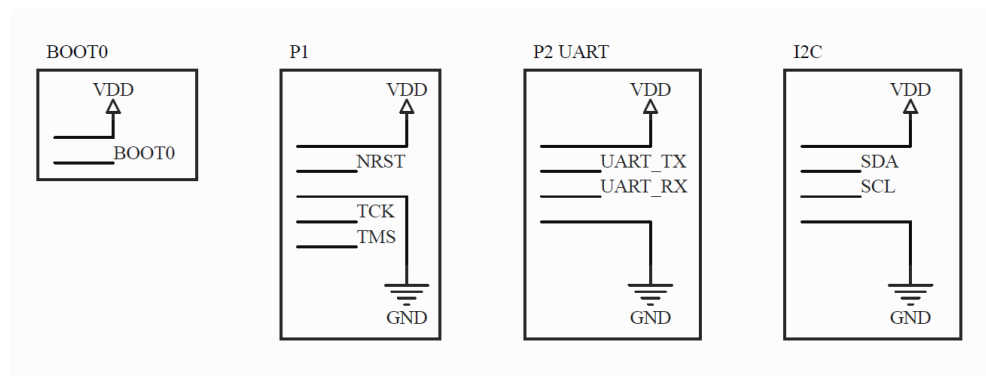


Figura 3.15: Bloque de los puertos externos.

3.2. Diseño de la PCB

Para el diseño del esquemático y de la PCB se ha utilizado el software de automatización de diseño electrónico y PCB para placas de circuito impreso Altium Designer. Se trata de un software de diseño de PCB que combina esquemáticos, diseño y todo lo necesario en un solo entorno para diseñar placas de circuito impreso.



Figura 3.16: Altium Designer. Software de diseño de PCB.

3.2.1. Elección de componentes

En primer lugar, a la hora de diseñar el esquemático, para luego convertirlo en la PCB, hay que hacer una elección de los componentes utilizados, buscándolos en las librerías de componentes de Altium o buscando los modelos en páginas web que los ofrecen, como *Component Search Engine*.

Los modelos de los componentes deben tener el símbolo del esquemático, la huella para la PCB y, opcionalmente, su modelo en 3D. Los componentes finalmente seleccionados y utilizados se han explicado en los apartados anteriores, y se realizará un listado de los mismos en la siguiente sección. En la Figura 3.17, se puede ver la búsqueda de componentes usando el buscador de Altium, el cual ofrece varias opciones para cada componente, información detallada del mismo y una vista previa del símbolo del esquemático, la huella para la PCB y el modelo en 3D.

CAPÍTULO 3. DISEÑO DE LA SOLUCIÓN

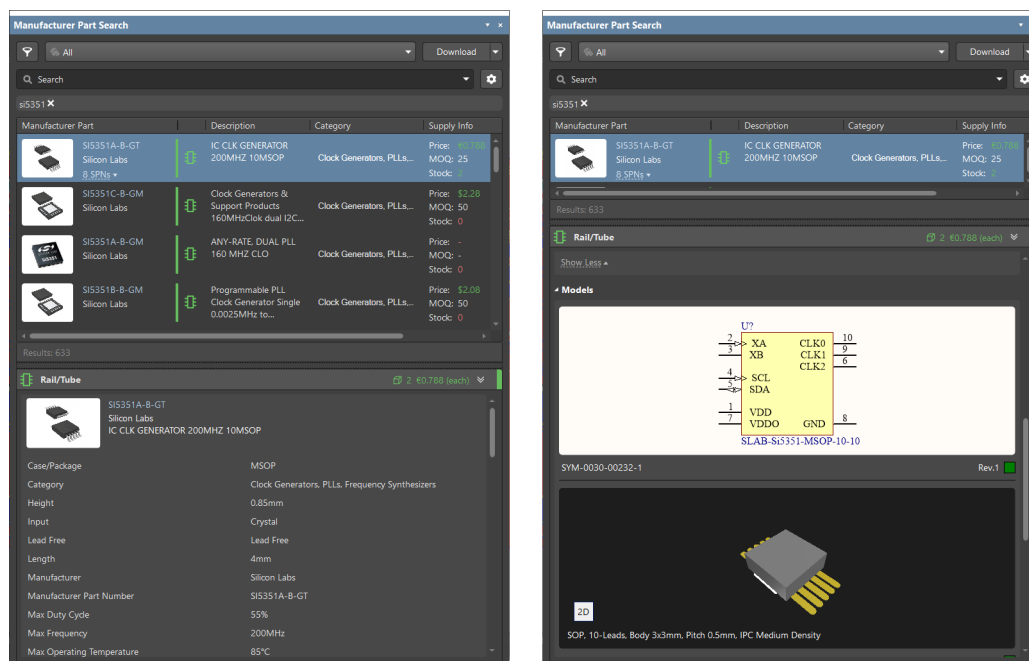


Figura 3.17: Búsqueda de componentes con Altium Designer.

3.2.2. Colocación de componentes y tamaño de la PCB

Una vez realizado el esquemático con todos los componentes conectados entre sí, se procede a la generación de la PCB. Para ello, se importan todos los componentes utilizados en el esquemático en la PCB, de forma que se visualizará la huella de cada componente en la misma. Altium permite alternar entre una vista 2D y una vista 3D de la PCB, en caso de que los componentes dispongan del modelo en 3D. Para la edición de la PCB, se utilizará la vista en 2D.

Tras incorporar todos los componentes en la PCB, se procede a la colocación de los mismos en la posición más óptima posible, de forma que se minimicen las longitudes de las pistas lo máximo posible, e intentando ocupar el menor espacio posible.

La posición del interruptor general, del USB y del puerto de reflexión con conector SMA deben estar en el borde de la placa, de forma que se pueda acceder desde el exterior a los mismos fácilmente. La parte de regulación de

tensión se sitúa cerca del interruptor general y del USB. El microcontrolador STM32F072 se coloca en una posición que le permite conectarse con el mayor número de componentes posible de una forma sencilla. Tras este último, se encuentran el generador de señales Si5351A junto con el oscilador VCTCXO de 26 MHz y el códec TLV320AIC3204. Por último, se encuentra la etapa de los mezcladores de frecuencias SA612AD y, tras ellos, se tiene el resto de componentes pasivos y el puerto de reflexión. Además, se debe dejar un espacio en las esquinas para incluir orificios que permitan atornillar la placa y se ha dejado un espacio en la parte izquierda para incluir los puertos externos.

Al finalizar la colocación final de los componentes, se procede a delimitar el tamaño que tendrá la placa físicamente, indicando los bordes de la misma. Se puede ver en la Figura 3.18 los componentes convenientemente colocados, según lo indicado, y la forma de la PCB ya definida.

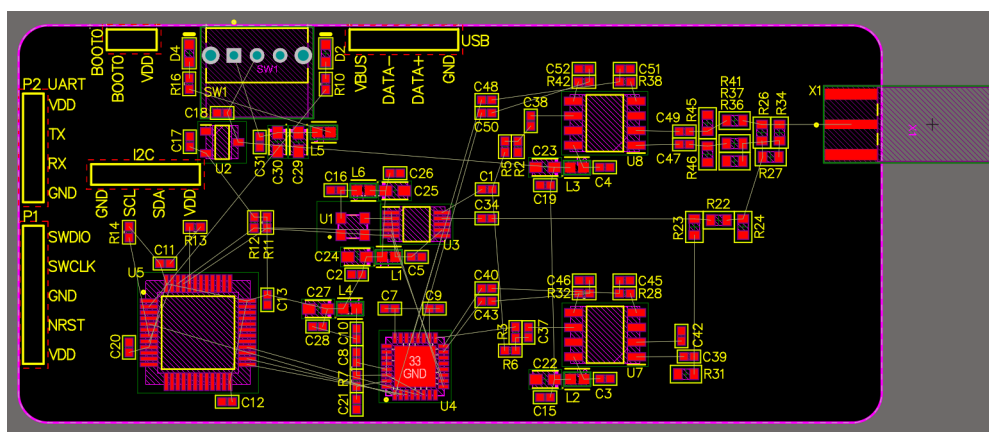


Figura 3.18: Colocación de los componentes y definición de la PCB.

3.2.3. Trazado de las pistas y finalización

Teniendo todos los componentes convenientemente colocados en la PCB, falta realizar el trazado de las pistas que conectará los componentes de la placa entre sí. Durante la edición de la PCB, se observan unas líneas indicadoras que unen los pads de los distintos componentes. Estas líneas indican la conexión que tienen los componentes entre sí, correspondientes a las conexiones realizadas en el esquemático entre dichos componentes. Por tanto, se deben realizar todas las conexiones indicadas por esas líneas mediante pistas en la PCB. Se pueden observar dichas líneas en la anterior Figura 3.18.

CAPÍTULO 3. DISEÑO DE LA SOLUCIÓN

Antes de proceder al trazado de las pistas, se colocan los orificios donde se podrá atornillar la placa, los cuales irán conectados a la red de GND, y se colocan los pads correspondientes a cada una de las señales que forman los distintos puertos externos, los cuales están conectados a sus respectivas señales.

El tamaño de las pistas utilizado ha sido de 0,5 mm para la parte de potencia, 0,2 mm para las conexiones con las patillas del microcontrolador y 0,3 mm para el resto de pistas. Estos tamaños se recogen en la siguiente tabla, en la que también se especifican, además del tamaño preferido de la pista, el tamaño mínimo y máximo que puede tener para casos puntuales en los que se requiera:

Tabla 3.1: Tamaño de las pistas de la PCB.

| Pista | Preferido | Mínimo | Máximo |
|------------------|-----------|--------|--------|
| Potencia | 0,5 mm | 0,3 mm | 0,8 mm |
| Microcontrolador | 0,2 mm | 0,2 mm | 0,2 mm |
| General | 0,3 mm | 0,2 mm | 0,5 mm |

Se puede visualizar la realización de esta configuración en el programa en la Figura 3.19:

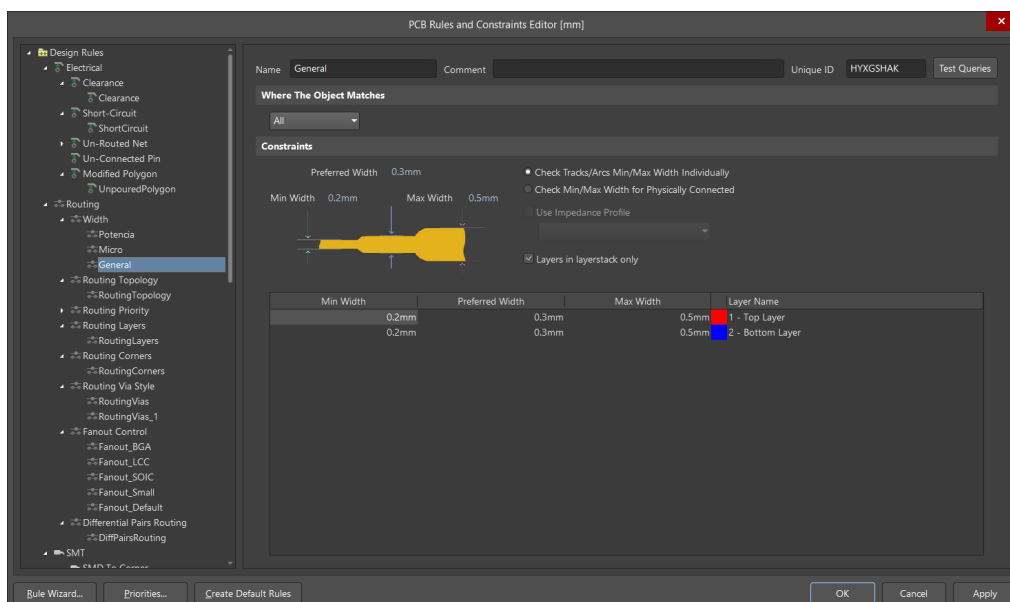


Figura 3.19: Configuración del tamaño de las pistas.

CAPÍTULO 3. DISEÑO DE LA SOLUCIÓN

Una vez trazadas todas las pistas necesarias que conectan todos los componentes y los pads añadidos entre sí, utilizando tanto la capa superior como la capa inferior, se realiza un paso final, que consiste en hacer un *pour* de la red GND. Esto consiste en rellenar toda la placa de cobre de forma que las pistas conectadas a la red GND se funden con ese relleno y las pistas que son distintas quedan separadas del relleno. Este relleno se realiza tanto en la capa superior como en la capa inferior.

Para favorecer la disipación y aumentar la conectividad entre las dos capas de la PCB, se ha realizado una serie de vías en toda la PCB, de forma que el relleno de GND queda unido en muchos puntos en las dos capas. Además, se ha quitado una parte del relleno en la zona que se sitúa entre el generador de señales y los mezcladores de frecuencias. La colocación de los componentes, el tamaño de las pistas, el trazado de las pistas, el relleno de GND, las vías entre las dos capas de la PCB y la eliminación de la parte indicada del relleno de GND permiten reducir al máximo posible la presencia de ruido y aumentar la estabilidad y precisión del sistema.

Finalmente, solo queda colocar los nombres de cada uno de los componentes y de los pads de forma que se vean correctamente, en su capa correspondiente. Además, se ha añadido una serie de indicaciones en esta última capa, que son el logo de la UPCT, el nombre del autor, el nombre del dispositivo, el símbolo que representa la función del puerto de reflexión (S11) y el código al que pertenece el proyecto. En la Figura 3.20, se puede ver la PCB completamente terminada:

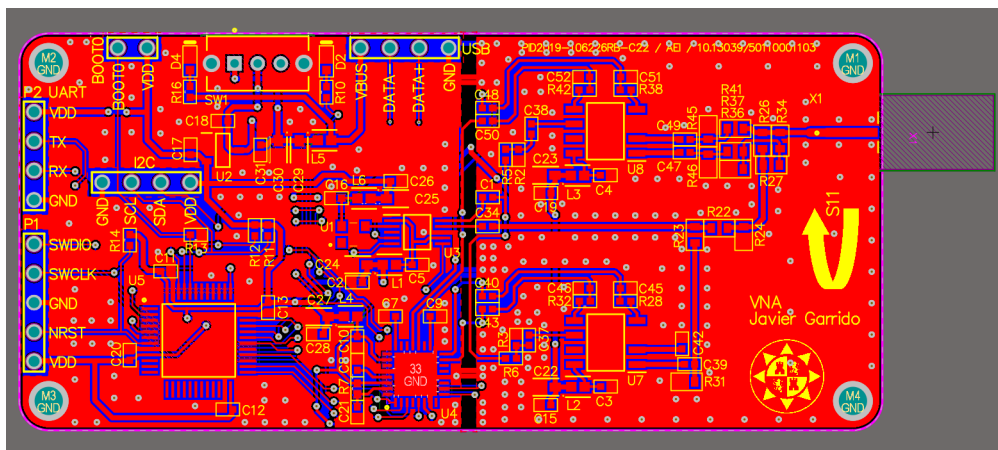


Figura 3.20: PCB del VNA terminada.

En las Figuras 3.21 y 3.22 se pueden visualizar las pistas de la parte superior e inferior de la PCB, las cuales se adjuntan en el Anexo IV.2.

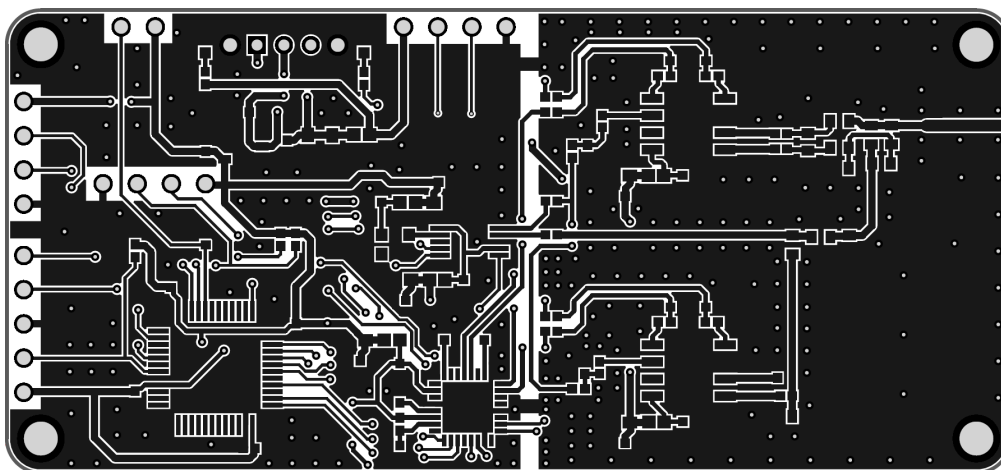


Figura 3.21: Pistas de la PCB. Parte superior.

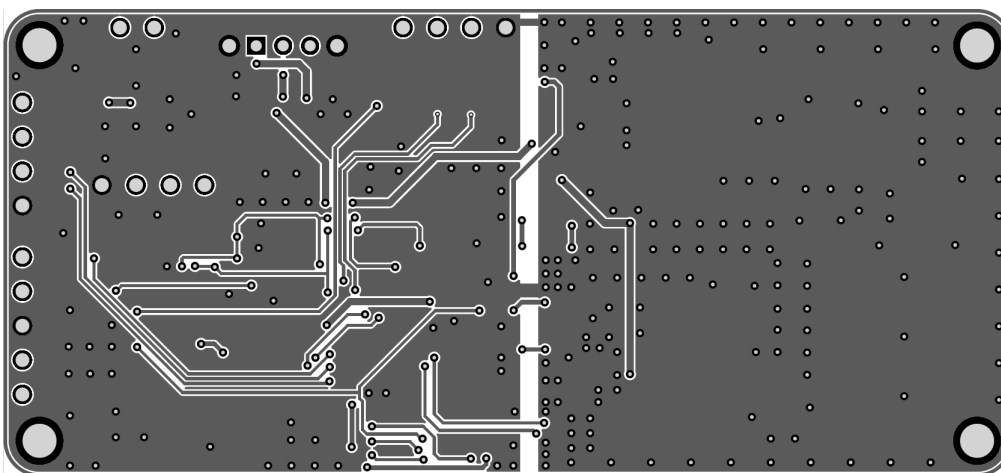


Figura 3.22: Pistas de la PCB. Parte inferior.

CAPÍTULO 3. DISEÑO DE LA SOLUCIÓN

Además, en las Figuras 3.23 y 3.24 se puede visualizar una vista en 3D de la PCB terminada con todos los componentes, tanto de la parte superior como de la parte inferior de la misma.

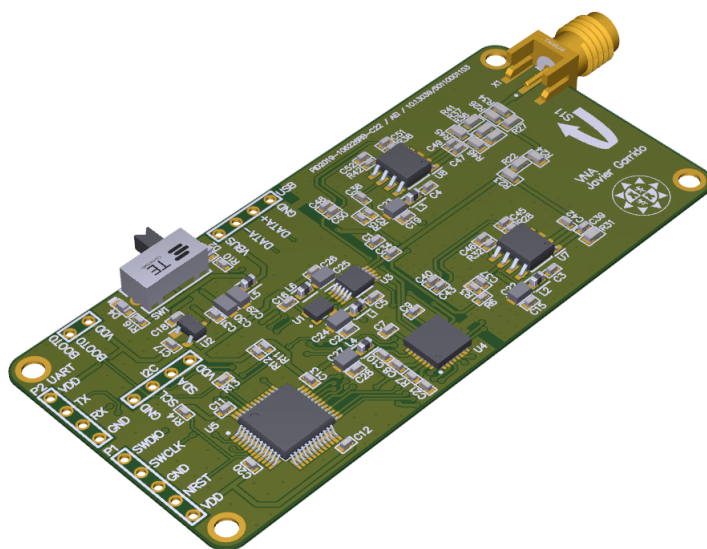


Figura 3.23: Vista 3D superior de la PCB.

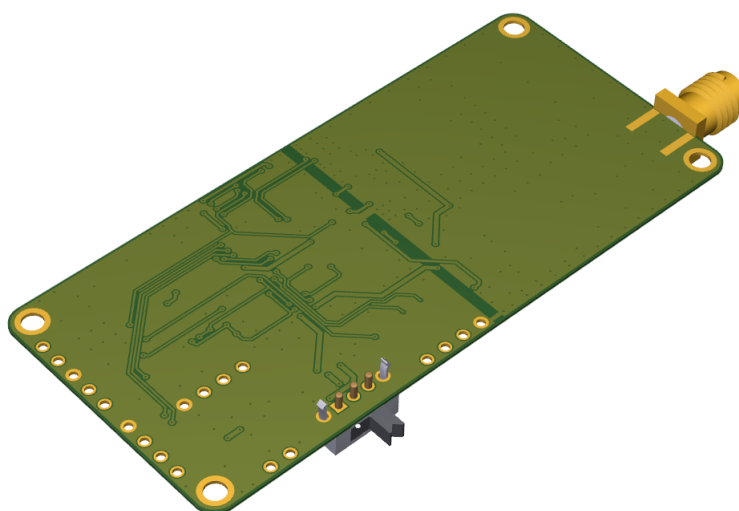


Figura 3.24: Vista 3D inferior de la PCB.

3.2.4. Archivos Gerber

Tras el diseño completo de la PCB, se procede a la generación de los archivos Gerber desde el programa de diseño electrónico Altium Designer, incluyendo la información de los taladros.

Gerber es un formato de archivo que contiene la información necesaria para la fabricación de la PCB, y se utilizará para realizar el pedido de la misma. El formato de estos archivos está diseñado para el control de las impresoras de transparencias (fotolito), que son máquinas de Control Numérico Computarizado (CNC) que se mueven en un plano y realizan la fabricación de la PCB. El estándar utilizado ha sido Gerber X2. En la Figura 3.25, se puede observar la generación de estos archivos desde el programa.

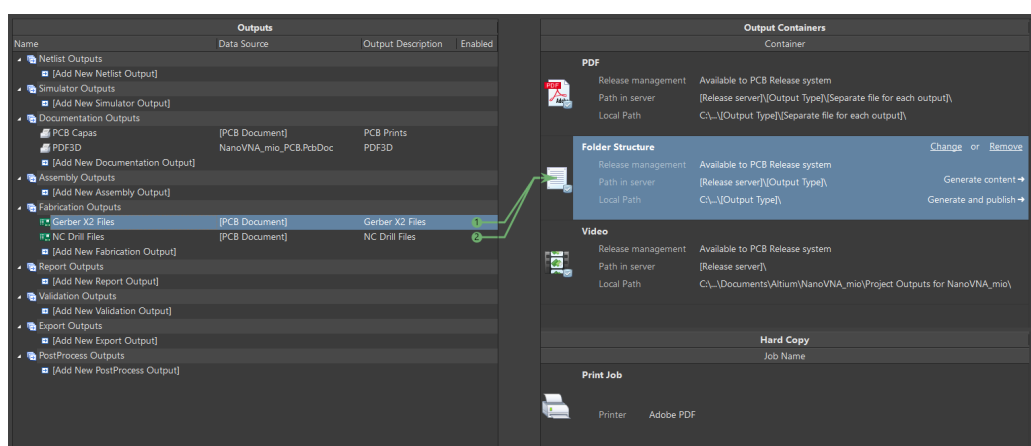


Figura 3.25: Generación de los archivos Gerber.

3.3. Adquisición de los componentes electrónicos

Tras el diseño del esquemático y la PCB, donde se concretan los componentes necesarios para el funcionamiento y montaje del VNA, se procede a la adquisición de dichos componentes electrónicos. Los proveedores elegidos para adquirir los componentes han sido TME, MOUSER y Aliexpress. En la siguiente tabla, se muestra un resumen de los componentes pedidos para construir el VNA, junto con el proveedor:

Tabla 3.2: Listado de componentes electrónicos.

| Componente | Valor | Cantidad | Fabricante | Proveedor |
|--------------------------|----------------|----------|------------|-----------|
| Resistencia 0402 | 300 Ω | 4 | ROYAL OHM | TME |
| Resistencia 0402 | 1 k Ω | 2 | VISHAY | TME |
| Resistencia 0402 | 3,9 k Ω | 2 | ROYAL OHM | TME |
| Resistencia 0402 | 5,1 k Ω | 2 | YAGEO | TME |
| Resistencia 0402 | 10 k Ω | 3 | YAGEO | TME |
| Resistencia 0402 | 15 k Ω | 4 | ROYAL OHM | TME |
| Resistencia 0603 | 27 Ω | 1 | ROYAL OHM | TME |
| Resistencia 0603 | 49,9 Ω | 5 | ROYAL OHM | TME |
| Resistencia 0603 | 56 Ω | 1 | VISHAY | TME |
| Resistencia 0603 | 82 Ω | 1 | VISHAY | TME |
| Resistencia 0603 | 150 Ω | 1 | YAGEO | TME |
| Resistencia 0603 | 390 Ω | 2 | ROYAL OHM | TME |
| Resistencia 0603 | 470 Ω | 1 | YAGEO | TME |
| Condensador 0402 | 1 nF | 4 | AVX | TME |
| Condensador 0402 | 100 nF | 27 | KEMET | TME |
| Condensador 0402 | 470 nF | 4 | WALSIN | TME |
| Condensador 0402 | 1 μ F | 2 | AVX | TME |
| Condensador Tántalo 0805 | 10 μ F | 5 | AVX | MOUSER |
| Condensador Tántalo 0805 | 22 μ F | 2 | AVX | TME |
| Bobina 0603 | 4,7 μ H | 6 | KEMET | MOUSER |

| | | | | |
|--------------------------|--------------------|---|---------------------|------------|
| Diodo LED 0603 | Blanco | 2 | LUCKYLIGHT | TME |
| Oscilador | 26 MHz | 1 | NDK America | Aliexpress |
| Regulador de tensión | XC6206P331MR-G | 1 | Torex Semiconductor | MOUSER |
| Generador de señales | Si5351A-B-GT | 1 | Silicon Labs | Aliexpress |
| Códec de audio | TLV320AIC3204IRHBR | 1 | Texas Instruments | Aliexpress |
| Mezclador de frecuencias | SA612AD | 2 | NXP Semiconductors | MOUSER |
| Microcontrolador | STM32F072C8T6 | 1 | STMicroelectronics | Aliexpress |
| Conector SMA | Hembra | 1 | Amphenol ICC | TME |
| Interruptor deslizante | - | 1 | C&K Switches | Aliexpress |
| Micro USB C | - | 1 | Molex | MOUSER |

3.3.1. Precio del VNA

A continuación, se recoge de forma resumida el precio de todos los componentes que conforman la última versión del VNA diseñado en la Tabla 3.3, de forma que se puede observar un precio total para el VNA inferior a 17 €.

Tabla 3.3: Precio de los componentes electrónicos.

| Componente | Precio |
|------------------------|----------------|
| STM32F072C8T6 | 1,55 € |
| TLV320AIC3204IRHBR | 2,20 € |
| Si5351A-B-GT | 0,79 € |
| SA612AD | 1,64 € × 2 |
| XC6206P331MR-G | 0,19 € |
| Oscilador 26 MHz | 1,99 € |
| Conector SMA | 2,36 € |
| Interruptor deslizante | 0,20 € |
| Pasivos | 4,36 € |
| Total | 16,92 € |

3.4. Montaje de la PCB

Utilizando los archivos Gerber generados previamente con Altium Designer, se ha realizado el pedido de la PCB a la empresa de prototipado de PCB JLCPCB. Con los archivos Gerber ya se indican las características de la placa, señalando que posee dos capas de cobre (superior e inferior) y unas dimensiones de 75×35 mm. Además, se realiza el pedido de una stencil, que consiste en una plantilla de acero inoxidable con agujeros que se coloca sobre la PCB para aplicar la pasta de soldadura de forma homogénea en los lugares requeridos. Teniendo en cuenta el tamaño de los pads de los componentes, se ha escogido un grosor de stencil de 0,1 mm, para lograr un mejor reparto de la pasta de soldadura. Una vez realizado el pedido, se obtiene la PCB y la stencil, que se pueden ver en la siguiente figura:

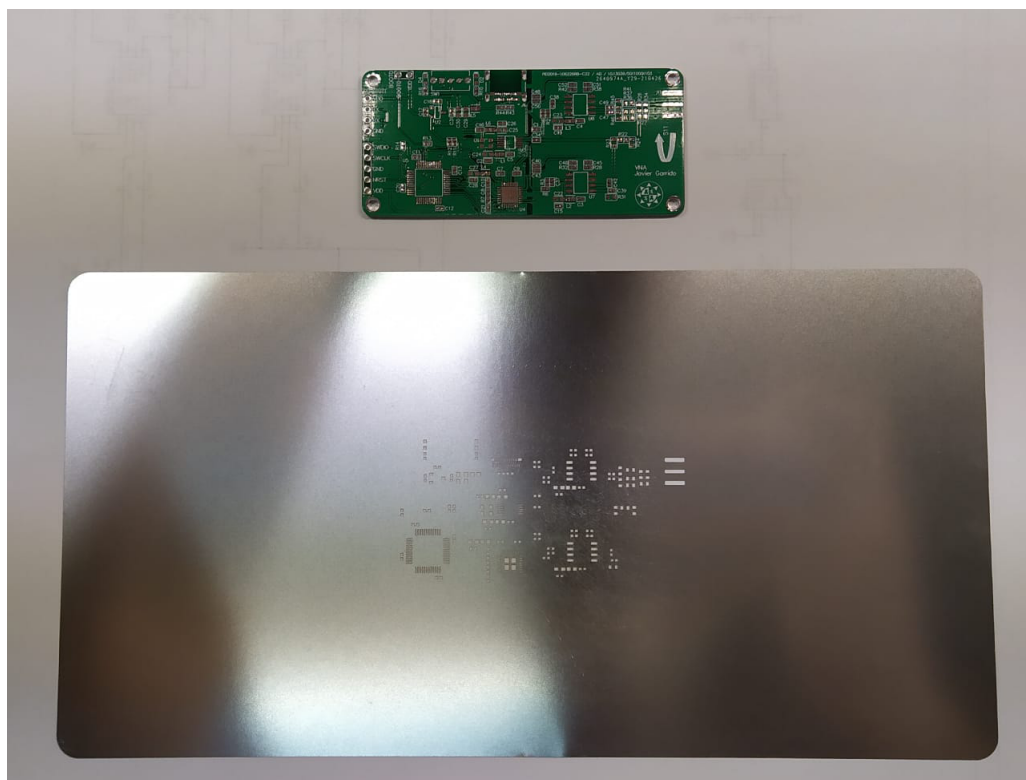


Figura 3.26: PCB y stencil.

CAPÍTULO 3. DISEÑO DE LA SOLUCIÓN

En primer lugar, se coloca la stencil sobre la PCB haciendo coincidir los agujeros de la stencil con los pads de la PCB. Tras ello, se aplica la pasta de soldadura con una espátula cubriendo toda la zona de agujeros de la stencil, de forma que la pasta quedará aplicada de manera homogénea sobre los pads de la PCB. Después, se colocan los componentes sobre la PCB de forma minuciosa, siguiendo un cierto orden para facilitar el trabajo. Se comienza con los componentes más pequeños, como son las resistencias, condensadores, bobinas, diodos LED y el oscilador, y se termina colocando los de mayor tamaño, que son el regulador de tensión, el generador de señales, el códec de audio, el mezclador de frecuencias, el microcontrolador, el conector SMA, el interruptor deslizante y el USB.

Después de colocar todos los componentes electrónicos, se introduce la PCB en un horno especial para soldadura SMD (*Surface-Mount Device*, dispositivo de montaje superficial), que calienta la pasta de soldadura de forma progresiva según un perfil de temperatura predeterminado. Cuando termina el proceso, todos los componentes quedan soldados en su correspondiente lugar. Tras el proceso del horno, la placa alcanza una temperatura elevada, por lo que hay que esperar un tiempo hasta que la placa alcance la temperatura ambiente para poder manipularla. Finalmente, se colocan y se sueldan los pines de agujero pasante de los puertos externos de forma manual con una estación de soldadura. En las siguientes figuras se pueden ver las dos versiones de la PCB completamente soldadas.

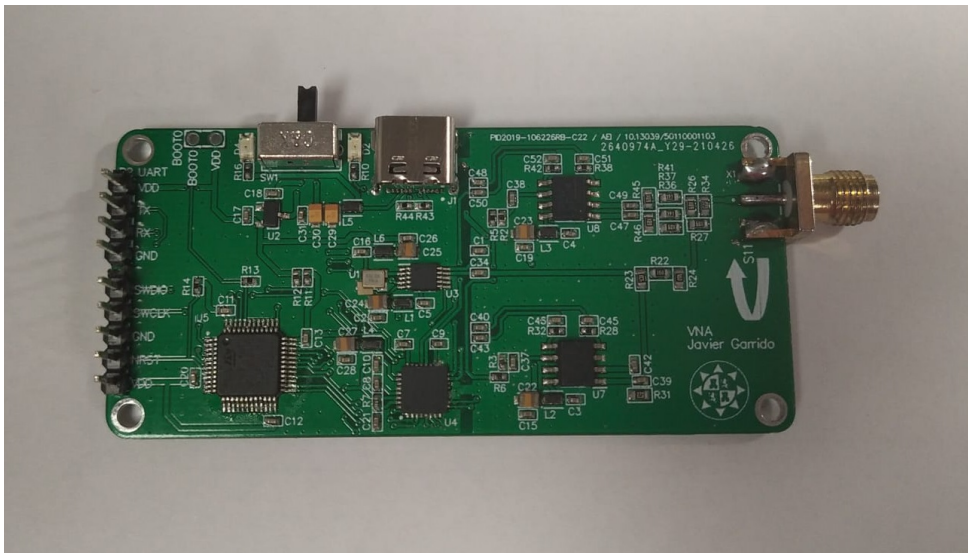


Figura 3.27: PCB soldada. Primera versión.

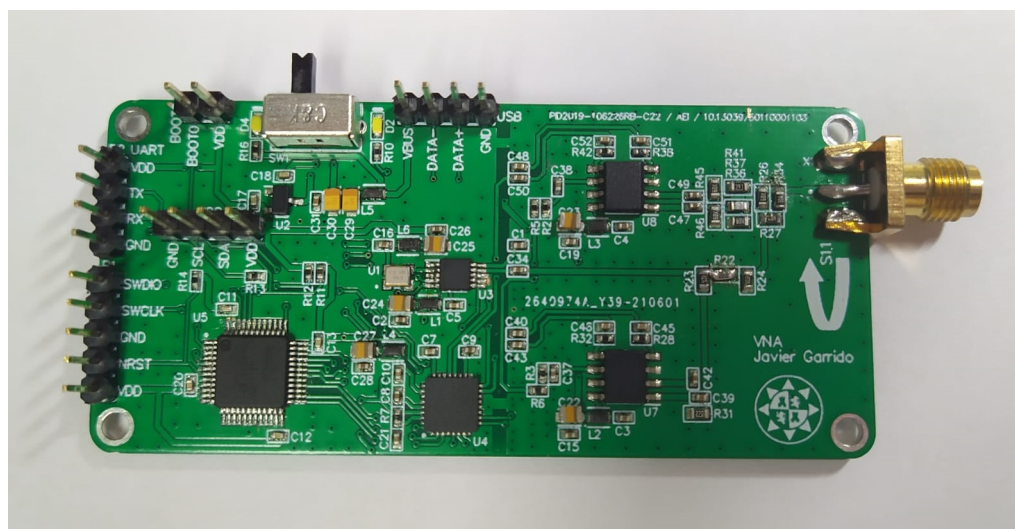


Figura 3.28: PCB soldada. Última versión.

Una vez realizado el montaje, se comprueba detalladamente, de forma visual, si hay uniones de pads tras la soldadura en el horno por un exceso de pasta de soldadura, por ejemplo, en el códec o en el microcontrolador. Esto se soluciona retirando parte del estaño manualmente con un soldador con una malla de cobre para desoldar, y volviendo a aplicar estaño si es necesario.

Luego, se comprueba la conductividad entre las pistas, para comprobar el correcto conexionado entre los distintos componentes y para evitar cortocircuitos que puedan dañar componentes, como podría ser el cortocircuito entre V_{DD} y GND. Tras determinar que no hay fallos aparentes, se procede a alimentar la placa y verificar que funciona correctamente. Las dimensiones del VNA diseñado, que se pueden ver en el Anexo IV.4 son muy reducidas, lo cual era uno de los objetivos del proyecto.

3.5. Programación del microcontrolador

Para realizar la programación del Firmware del microcontrolador STM32F072 se ha utilizado el sistema operativo en tiempo real ChibiOS, que ofrece una solución completa para dispositivos embebidos. Posee un kernel ChibiOS/RT que está diseñado para aplicaciones integradas en microcontroladores de 8, 16 y 32 bits, el cual es utilizado para programar microcontroladores STM32 con núcleo ARM de 32 bits Cortex-M. Además, incluye ChibiOS/HAL, una capa de abstracción de hardware (HAL, *Hardware Abstraction Layer*) compatible con ChibiOS/RT, que ofrece controladores de dispositivos hardware (drivers) como I²C, I²S, UART o USB y funciona como una interfaz entre el hardware y el software del sistema. La programación se ha realizado con el lenguaje de programación C en el entorno *Eclipse IDE for C/C++ Developers*, realizando toda la programación en el sistema operativo Ubuntu, una distribución de Linux.

Se puede ver el código implementado *main.c* en el Anexo V.1. Además, en la Figura 3.29, se muestra un flujograma que resume el funcionamiento del programa del microcontrolador, el cual gestiona todo el sistema del VNA. Se puede visualizar completamente este flujograma en el Anexo II.3. Para la implementación del código, se ha tomado como referencia el código diseñado para el NanoVNA de Tomohiro Takahashi [42].

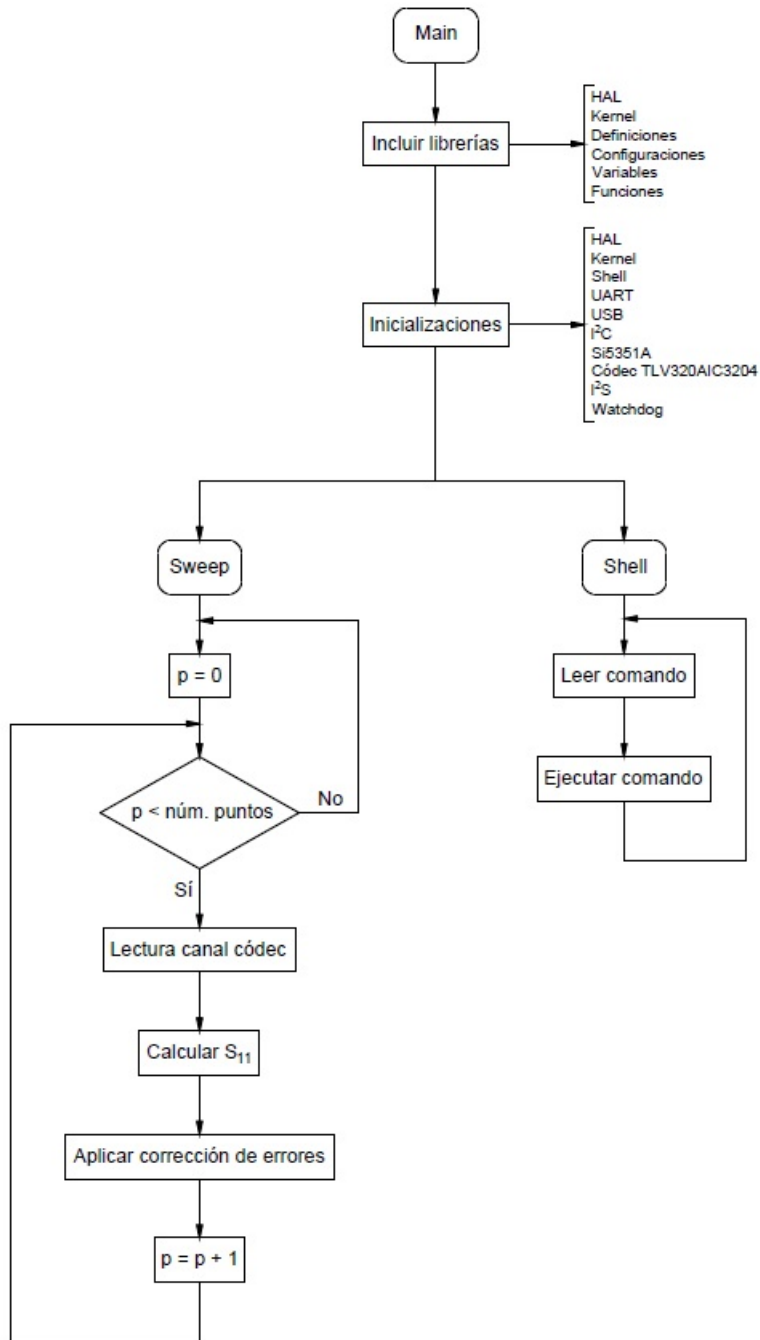


Figura 3.29: Flujograma del código del microcontrolador.

3.5.1. Código fuente

En primer lugar, se incluyen las librerías necesarias que poseen las definiciones, configuraciones, variables y funciones que se utilizarán en el desarrollo del programa, incluyendo las del sistema ChibiOS, así como librerías que permiten controlar el generador de señales Si5351A y el códec TLV320AIC3204.

El funcionamiento del programa consiste en, básicamente, el funcionamiento de dos hilos de forma concurrente. Uno de los hilos realizará constantemente el barrido en frecuencia que permitirá obtener el valor del coeficiente de reflexión medido y el otro hilo se ejecuta directamente en el *main*, realizando la lectura y ejecución de comandos a través de la Shell del sistema. Además de esto, el programa posee una serie de funciones y variables que se utilizarán para establecer y leer valores en el códec y el generador de señales, actualizar y calcular variables, definir configuraciones, realizar la medida de reflexión, realizar la corrección de error de las variables medidas por el VNA y una serie de funciones que hacen funcionar la Shell del sistema, la cual permite cambiar configuraciones o pedir datos para visualizarlos. También, se inicia la comunicación con la UART y el USB.

En la función principal *main*, se inicializan las librerías del HAL y el kernel, se carga la configuración por defecto, se inicializa la conexión con la Shell, se inicia la comunicación I²C, se inicia la comunicación con el generador de señales y el códec, se inicia la comunicación I²S y se inicia el Watchdog, con sus respectivas configuraciones. Tras ello, el hilo que se encarga de hacer el barrido de frecuencias comienza su ejecución y, concurrentemente, en el propio *main*, se realiza la lectura y ejecución de comandos por la Shell. El hilo que realiza el barrido de frecuencias calcula, para un total de 101 puntos, el coeficiente de reflexión para cada frecuencia a partir de los valores leídos del códec y, tras ello, aplica la corrección de error a cada punto medido. Al mismo tiempo, hace parpadear un LED para comprobar que la lectura se está realizando. En la Tabla 3.4, se recogen los distintos comandos que interpreta la Shell del VNA y su función.

Tabla 3.4: Listado de comandos de la Shell del VNA.

| Comando | Función |
|-------------|---|
| scan | Hace un barrido entre dos frecuencias y envía los datos formateados |
| scan_bin | Hace un barrido entre dos frecuencias y envía los datos en forma de bytes |
| data | Devuelve los datos del último barrido |
| frequencies | Muestra las frecuencias actuales de los puntos del barrido |
| freq | Establece la frecuencia del Si5351A-B-GT |
| sweep | Configura las frecuencias de barrido del VNA |
| power | Establece la potencia del Si5351A-B-GT |
| bandwidth | Establece el ancho de banda |
| saveconfig | Guarda la configuración actual en la memoria flash |
| clearconfig | Borra la configuración almacenada en la memoria flash |
| pause | Detiene el barrido |
| resume | Reanuda el barrido |
| cal | Realiza la calibración del VNA indicando el estándar conectado |
| save | Guarda la calibración en la memoria flash |
| recall | Carga la configuración indicada en el comando |
| edelay | Establece un delay para corregir el desfase de la señal |
| reset | Reinicia el VNA |
| usart_cfg | Configura la comunicación UART |
| usart | Escribe el buffer almacenado en la UART |
| usart_data | Habilita el envío de los datos medidos a través de la UART |
| transform | Establece el dominio de los datos |
| threshold | Establece el umbral de frecuencia para el Si5351A-B-GT |
| help | Muestra todos los comandos de la Shell |

3.5.2. Compilación y programación

Una vez realizada la programación, se utilizará el comando `make` desde una terminal de Ubuntu para generar el programa que se subirá al microcontrolador STM32F072. El comando `make` es una herramienta de gestión de las dependencias que existen entre los archivos que componen el código fuente de un programa que determina qué partes deben ser recompiladas para generar el programa. Para ello, lee las instrucciones para generar el programa del fichero *Makefile*. Por tanto, en primer lugar, se genera el archivo *Makefile* desde Eclipse, indicando las dependencias entre los archivos del programa y las especificaciones del microcontrolador. Se trata de un fichero de texto que utiliza `make` para llevar a cabo la gestión de la compilación de los programas, informando sobre las dependencias entre las diferentes partes del proyecto.

Para realizar la compilación y generación del programa, en primer lugar, se descargan las herramientas de compilación de ARM y se añaden esas herramientas al PATH del sistema, una variable de entorno del sistema operativo en la que se especifican las rutas donde el intérprete de comandos busca los programas a ejecutar. Después, se instala la herramienta DFU (*Device Firmware Update*, actualización del Firmware del dispositivo), que permitirá actualizar el Firmware del microcontrolador a través del USB. Todo esto se realiza escribiendo los siguientes comandos en la terminal de Ubuntu:

```
$ wget https://developer.arm.com/-/media/Files/downloads/gnu-rm/8-2018q4/gcc-arm-none-eabi-8-2018-q4-major-linux.tar.bz2
```

```
$ sudo tar xvfj -C /usr/local gcc-arm-none-eabi-8-2018-q4-major-linux.tar.bz2
```

```
$ PATH=/usr/local/gcc-arm-none-eabi-8-2018-q4-major/bin:$PATH
```

```
$ sudo apt install -y dfu-util
```

Luego, desde la terminal de Ubuntu, estando en la carpeta que contiene el *Makefile* y el resto de ficheros del programa, se realiza la compilación del Firmware ejecutando el comando:

```
$ make
```

Finalmente, se hace que el microcontrolador entre en modo DFU conectando el puente que une BOOT0 con V_{DD} , se conecta el microcontrolador al ordenador con Ubuntu a través del USB y se ejecuta el siguiente comando en la terminal para actualizar el Firmware a través del USB:

```
$ dfu-util -d 0483:df11 -a 0 -s 0x08000000 -D build/ch.bin
```

Igualmente, se puede acceder a la orden `flash` que existe en el *Makefile* y que llama al mismo comando, escribiendo:

```
$ make flash
```

Con estos pasos, el microcontrolador del VNA contiene el Firmware programado y ya está listo para realizar las mediciones necesarias.

3.6. Datalogger con ESP32 en MicroPython

Para realizar la comunicación y recogida de datos con el VNA diseñado, se ha implementado un Datalogger en MicroPython con una ESP32 usando el IDE para MicroPython *Thonny*, cuyo código se puede ver en el Anexo V.2. La ESP32 se comunica con el VNA por UART enviándole comandos que la Shell del sistema del VNA interpretará y ejecutará, realizando las acciones pertinentes.

Los comandos enviados por UART por la ESP32 sirven para calibrar el VNA con el estándar OSL (*Open-Short-Load*) y para recoger los datos del coeficiente de reflexión de un barrido de frecuencias. Además, el código almacena los datos en ficheros de texto para luego procesarlos más fácilmente. En la Figura 3.30 se puede ver la ESP32 utilizada para realizar las pruebas de esta tarea.

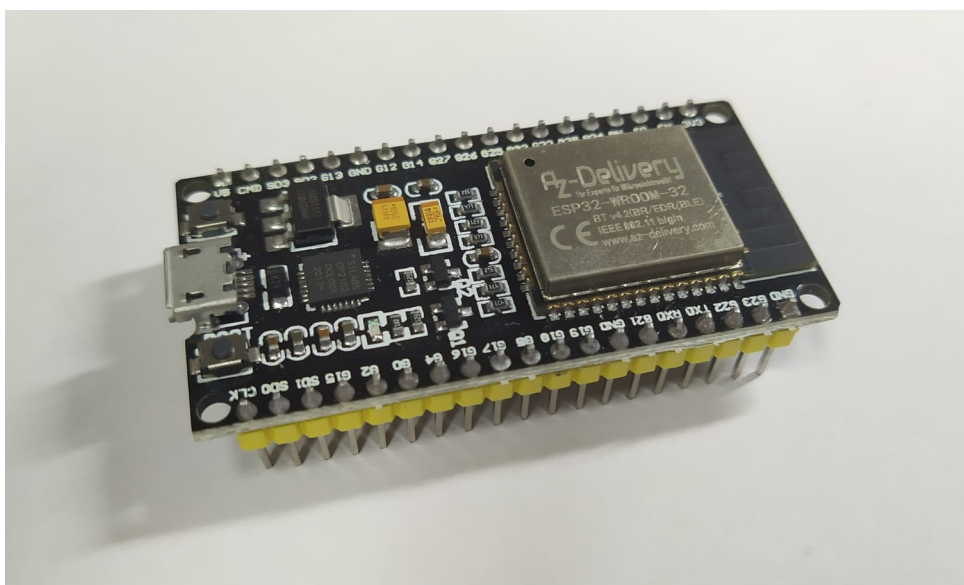


Figura 3.30: ESP32 utilizada para realizar las pruebas del Datalogger.

3.6.1. Protocolo SDI-12

Además de las funcionalidades indicadas anteriormente, se ha implementado en la ESP32 un protocolo de comunicación SDI-12 en MicroPython para el envío de los datos medidos a un datalogger que utilice el mismo protocolo. Es decir, la ESP32 funciona como sensor SDI-12, y envía la información de las mediciones al maestro SDI-12.

El protocolo SDI-12 (*Serial Digital Interface at 1200 baud*, interfaz digital serie a 1200 baudios) es un protocolo de comunicación serie asíncrono entre un maestro, datalogger o *data recorder* (registrador de datos) y los esclavos o sensores basados en microprocesadores. El protocolo sigue una configuración maestro-esclavo donde un datalogger solicita datos de los sensores, cada uno identificado con una dirección única. Permite la conexión de hasta 62 sensores.

La comunicación se realiza en una sola línea y es half-duplex. Solo el sensor con la dirección escogida responderá al maestro, mientras que el resto de sensores permanecerán en modo de bajo consumo hasta que se llamen. Este protocolo se emplea especialmente cuando se requiere un bajo consumo, un coste reducido y el uso de un simple datalogger con múltiples sensores empleando un solo cable. El protocolo SDI-12 emplea tres líneas de señal: línea de datos de 0 V - 5 V, línea de alimentación de 12 V y línea de tierra. Es decir, solo se necesita una línea para transmitir datos por SDI-12. El esquema de conexión del datalogger con los distintos sensores sigue la estructura de la Figura 3.31.

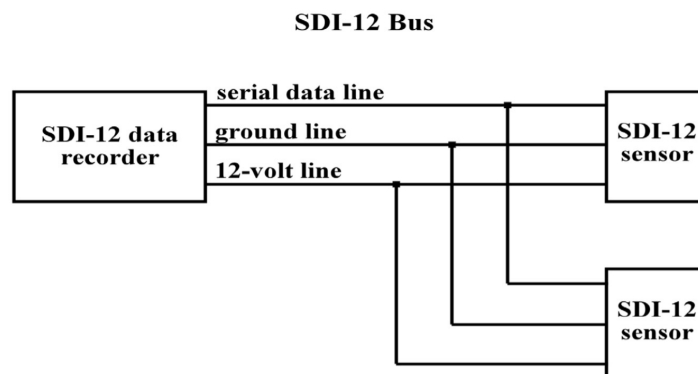


Figura 3.31: Esquema de conexión SDI-12 [36].

Para el funcionamiento del protocolo, el sensor debe tener una dirección, que se suele designar por “a”. Después, existen una serie de comandos que el datalogger le envía al sensor, cuya estructura consiste en una cadena de caracteres que comienza con la dirección del sensor y termina con el carácter ‘!’. Tras el envío del comando, el sensor responde con otra cadena que comienza también con su dirección y que concluye con los caracteres <CR><LF> seguidos, que se corresponden con un retorno de carro y un salto de línea, respectivamente. Algunos de los comandos más relevantes y sus respuestas se muestran en la Tabla 3.5.

Tabla 3.5: Comandos relevantes en el protocolo SDI-12.

| Definición | Comando | Respuesta |
|-----------------------|---------|-------------------------------------|
| Consulta de dirección | ?! | a<CR><LF> |
| Confirmación activo | a! | a<CR><LF> |
| Enviar identificación | aI! | alcccccccmmmmmmvvwx...x <CR><LF> |
| Cambiar dirección | aAb! | b<CR><LF> |
| Comenzar medida | aM! | atttn<CR><LF> |
| Enviar datos | aD0! | a<valores><CR><LF> |

Normalmente, el procedimiento seguido para realizar la comunicación SDI-12 entre los sensores y el datalogger para obtener una medida consiste en que el datalogger despierta a todos los sensores del bus con un *break*, envía un comando a un sensor específico para que tome una medida (aM!), el sensor responde devolviendo el tiempo máximo en el que las medidas estarán listas y el número de valores a devolver, el datalogger le pide las medidas al sensor (aD0!) y el sensor devuelve las medidas realizadas, tras lo cual se pone en modo de bajo consumo.

Para conseguir implementar este protocolo en la ESP32, se ha programado una UART a 1200 baudios que permite la comunicación en ambos sentidos. Para conseguir una sola línea de datos de 0 V - 5 V a partir de la UART, se ha diseñado el circuito de la Figura 3.32, empleando como referencia el artículo descrito en [37].

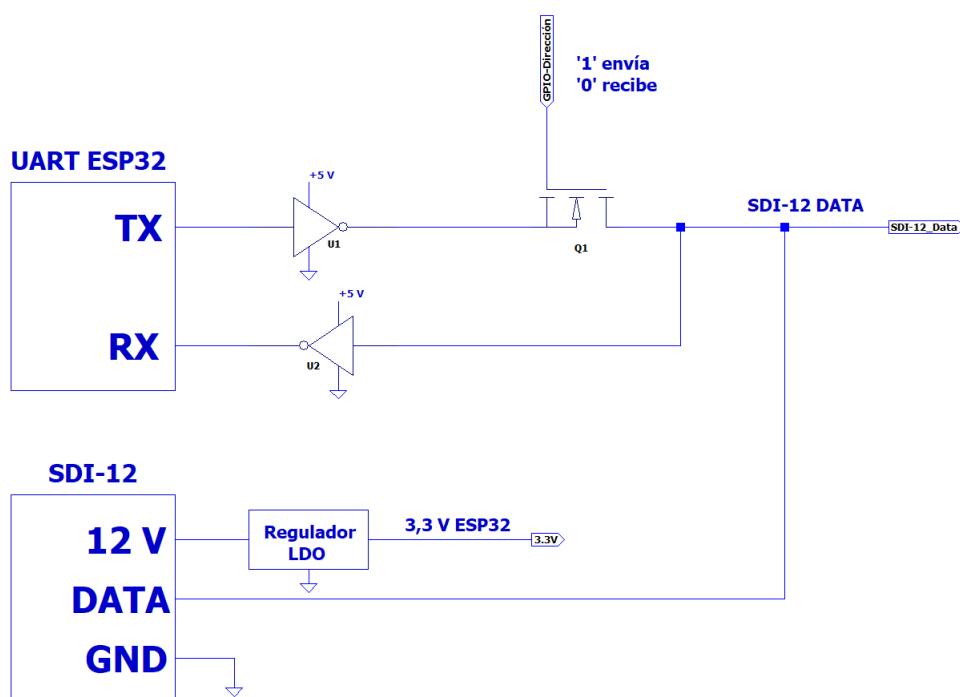


Figura 3.32: Circuito de adaptación UART/SDI-12.

En este circuito, el MOSFET está controlado por una GPIO (*General Purpose Input/Output*, entrada/salida de propósito general) de la ESP32, indicando la dirección de los datos. Cuando la UART está en modo de transmisión, envía la señal desde el pin TX a través de un inversor alimentado a 5 V. Esto invierte la señal y la convierte a niveles de 0 V - 5 V. A continuación, el GPIO activa la puerta del MOSFET para permitir que la transmisión invertida pase a través de la línea de datos SDI-12. Una vez que la transmisión se ha completado, el GPIO desactiva la puerta del MOSFET, permitiendo que lleguen señales de la línea de datos SDI-12 a un segundo inversor donde se invierten y se envían al pin RX. Además, para completar el estándar de los pines SDI-12, la ESP32 se alimenta a través de los 12 V del maestro después de pasar por un regulador de tensión, que los transforma a 3,3 V. El componente utilizado para los inversores es el inversor Schmitt doble de Texas Instruments SN74LVC2G14, para el MOSFET es el FDV303N de Fairchild y para el regulador LDO (*Low-dropout*, baja caída) se ha empleado el REG102 a 3,3 V de Texas Instruments.

El código implementado en MicroPython para realizar esta función forma parte del código previamente introducido, que se puede ver en el Anexo V.2. La ESP32 es capaz de responder a los comandos básicos de ?!, a!, aI!, aAb!, aM!, aD0! y aD1!. Por defecto, la ESP32 toma una dirección de '1', y tras los comandos aD0! y aD1! envía los datos correspondientes a las medidas del coeficiente de reflexión y al cálculo de la permitividad compleja, respectivamente. La parte del cálculo de la permitividad se detalla en el siguiente capítulo.

3.6.2. Diseño de la PCB del Datalogger

Para integrar todas las partes del Datalogger, se ha diseñado una PCB que incluye todos los elementos necesarios para su funcionamiento. Para ello, primero, se ha diseñado el esquemático y, en segundo lugar, la PCB.

3.6.2.1. Esquemático del Datalogger

Mediante el uso de Altium, en primer lugar, se ha diseñado el esquemático, el cual se puede ver en la Figura 3.33, y además se adjunta en el Anexo III.4 para su completa visualización:

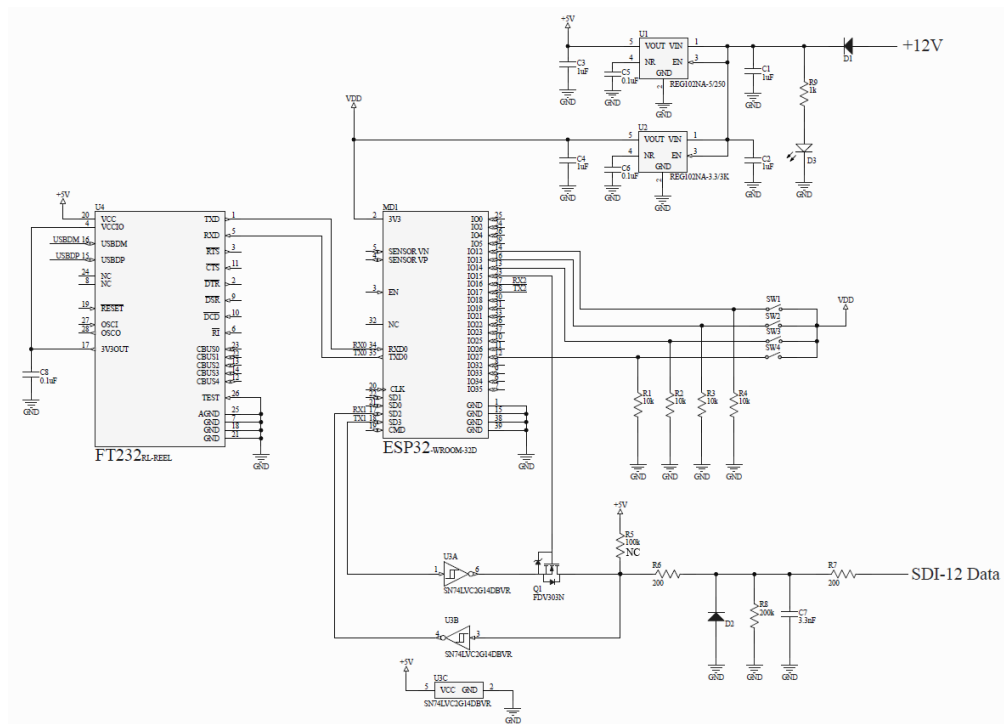


Figura 3.33: Esquemático del Datalogger basado en una ESP32.

En primer lugar, se ha incluido una parte de alimentación que parte de los +12 V del maestro SDI-12 y, tras pasar por dos reguladores de tensión U1 y U2, se obtienen tensiones de +5 V y +3,3 V (VDD), respectivamente. La tensión de +5 V servirá para alimentar los inversores del circuito, y la tensión

VDD permitirá alimentar la ESP32. Además hay un diodo LED que indica que el Datalogger está conectado al maestro. Para realizar la comunicación y programación de la ESP32, se ha añadido una pasarela de USB a UART, el FT232RL, el cual se alimenta también a partir de los +5 V. Los datos parten del USB a través de los pines USBDP y USBDM y, a la salida del FT232RL, las señales de RXD y TXD se conectan con la UART0 de la ESP32, formada por los pines RX0 y TX0.

Tras estas etapas, se encuentra la ESP32, que gestiona todo el sistema del Datalogger. Primero, dispone de cuatro interruptores SW1, SW2, SW3 y SW4 que permiten al Datalogger realizar las acciones de efectuar las mediciones desde el VNA y guardar un barrido de frecuencia, hacer la calibración *Load*, hacer la calibración *Open* y hacer la calibración *Short*, respectivamente. Finalmente, se encuentra la etapa de adaptación UART/SDI-12 que se ha descrito en el apartado anterior, alimentada a +5 V y formada por dos inversores con histéresis y un MOSFET controlado por la ESP32 que gestiona la dirección del flujo de datos. Tras esto, se ha añadido una red de protección de la línea de datos SDI-12.

3.6.2.2. PCB del Datalogger

Una vez que se ha diseñado el esquemático del Datalogger, se procede al diseño de su PCB siguiendo la estrategia indicada en el apartado del diseño de la PCB del VNA 3.2. En primer lugar, se seleccionan y se colocan los componentes convenientemente en la PCB, de forma que se minimicen las longitudes de las pistas en la medida de lo posible, e intentando ocupar el menor espacio para el conjunto de la PCB. La posición de la ESP32 se encuentra en la zona central superior, para que sea accesible por todos los componentes, el FT232RL y la conexión USB se encuentran en el borde derecho, la etapa de alimentación y las conexiones con SDI-12 y la UART del VNA se posicionan en el borde izquierdo y, por último, los interruptores y la parte que gestiona la adaptación UART/SDI-12 se encuentran en la parte inferior.

Una vez colocados los componentes, se delimita el tamaño y forma de la PCB. Después, se realiza el trazado de las pistas, que conectará los distintos componentes de la placa entre sí. Antes de realizar el trazado de las pistas, se colocan en las cuatro esquinas los orificios donde se podrá atornillar la placa, y estarán conectados a la red de GND. Además, se colocan los pads

CAPÍTULO 3. DISEÑO DE LA SOLUCIÓN

de las señales de los puertos externos indicados anteriormente. El tamaño de las pistas, que se recoge resumidamente en la Tabla 3.6, ha sido de 0,4 mm para la parte de potencia y de 0,25 mm para el resto de pistas.

Tabla 3.6: Tamaño de las pistas de la PCB del Datalogger.

| Pista | Preferido | Mínimo | Máximo |
|----------|-----------|---------|---------|
| Potencia | 0,25 mm | 0,25 mm | 0,25 mm |
| General | 0,4 mm | 0,3 mm | 0,5 mm |

Justo a continuación del trazado de las pistas, se ha realizado un *pour* o relleno de la red GND, tanto en la capa superior como en la capa inferior. Además, para aumentar la disipación se ha realizado una serie de vías a lo largo de la PCB que conectan ambas capas en la red de GND. Por último, se ha colocado el nombre de los componentes y puertos, y también se ha añadido el logo de la UPCT, el nombre del autor y el nombre del dispositivo. Se puede ver en la Figura 3.34 la PCB terminada en Altium.

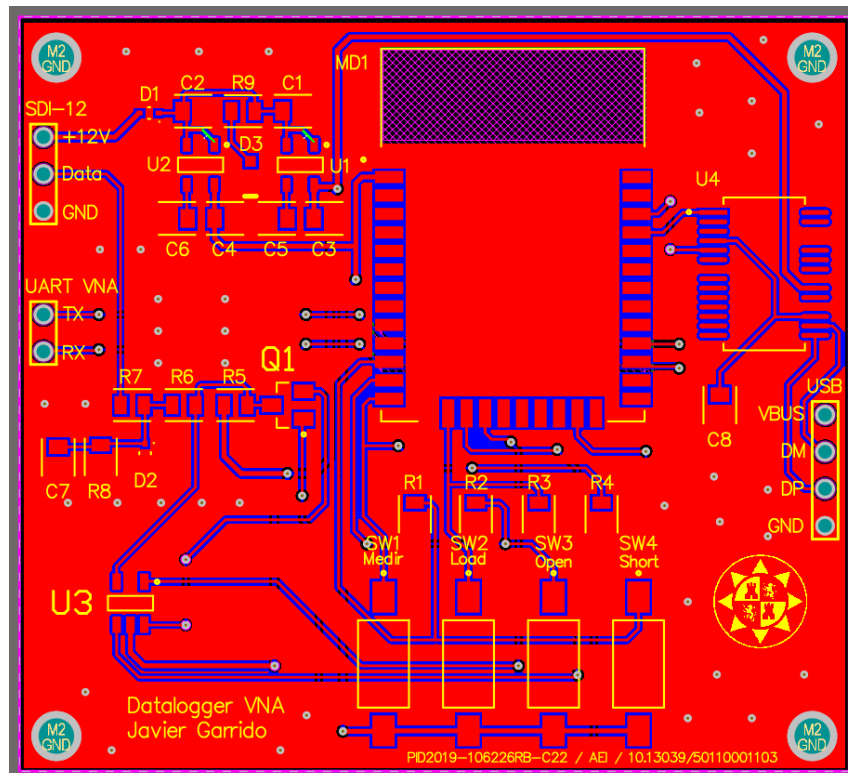


Figura 3.34: PCB del Datalogger terminada.

En las Figuras 3.35 y 3.36, se pueden visualizar las pistas de las capas superior e inferior de la PCB, y también se adjuntan en el Anexo IV.3.

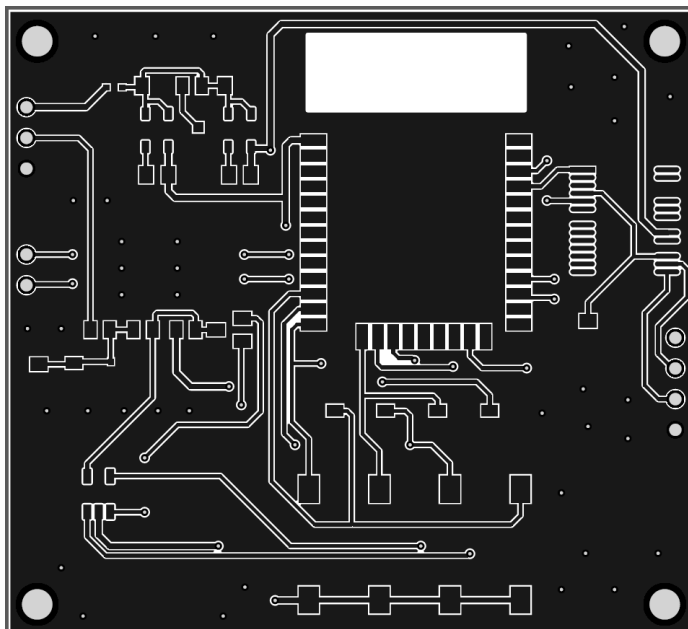


Figura 3.35: Pistas de la PCB del Datalogger. Parte superior.

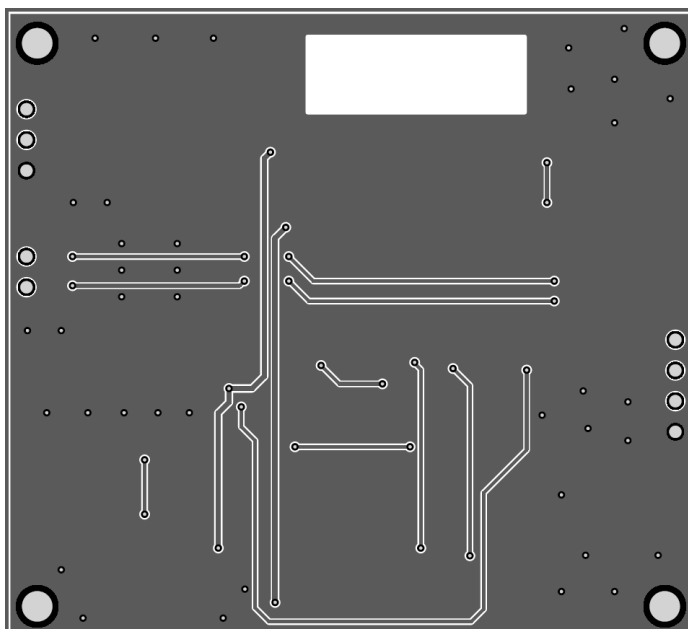


Figura 3.36: Pistas de la PCB del Datalogger. Parte inferior.

CAPÍTULO 3. DISEÑO DE LA SOLUCIÓN

Añadido a esto, en las Figuras 3.37 y 3.38 se puede contemplar una vista en 3D de la parte superior e inferior de la PCB terminada con todos los componentes.

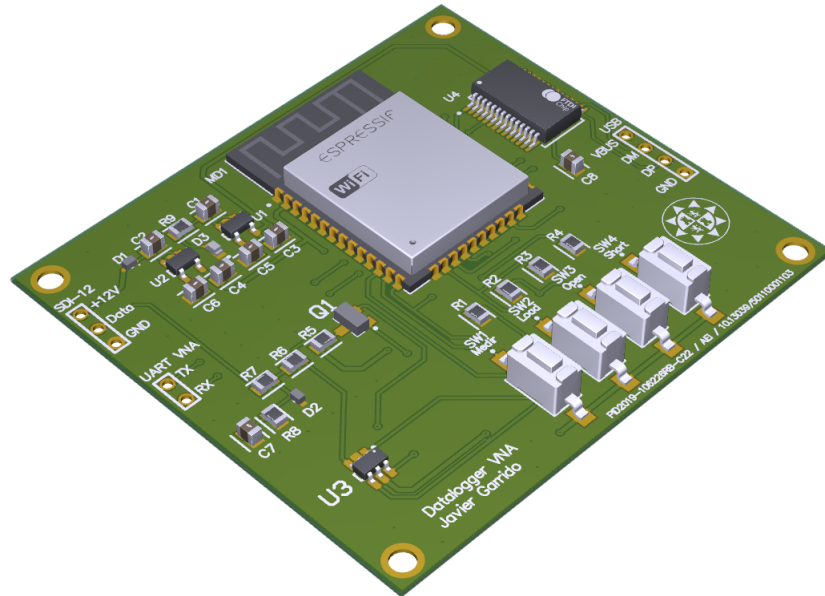


Figura 3.37: Vista 3D superior de la PCB del Datalogger.

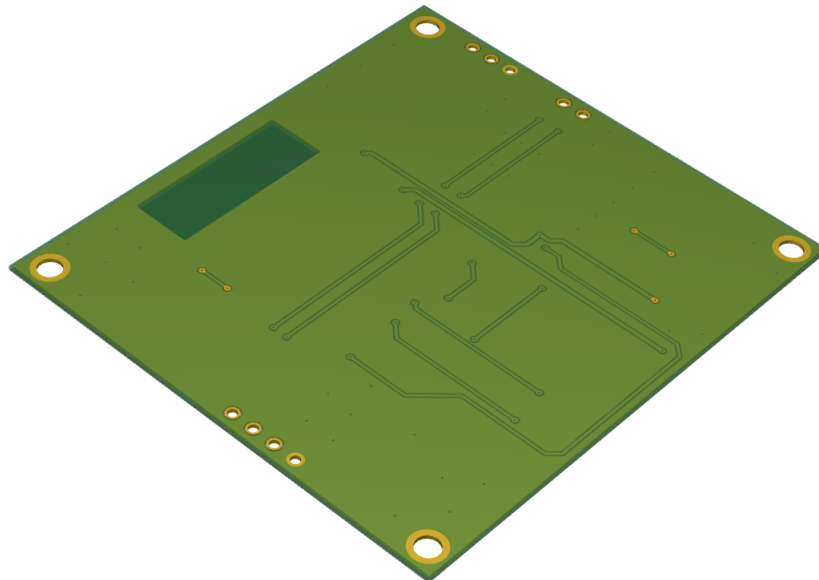


Figura 3.38: Vista 3D inferior de la PCB del Datalogger.

Finalmente, por falta de tiempo a la hora de hacer el pedido de la PCB y los componentes no se ha podido realizar la fabricación de la PCB de forma física. No obstante, sí se ha logrado probar el funcionamiento del diseño realizando el mismo montaje sobre una placa de prototipado rápido, obteniéndose los resultados esperados, lo cual permitirá la obtención de los datos del VNA diseñado en la fase de experimentación. En la Figura 3.39 se puede observar el correcto funcionamiento del protocolo implementado en el Datalogger, donde se ha hecho una prueba con un maestro SDI-12 a través de un terminal, y el Datalogger ha respondido correctamente.

```
>> ?!  
1  
>> 1!  
1  
>> 1I!  
114jgarrido0000001001VNA  
>> 1M!  
10011  
>> 1D0!  
1+1.0-0.0+0.9-0.1+0.9-0.2+0.9-0.3+0.8-0.4  
>> 1D1!  
1-26.2+22.7+20.5-0.4+20.5-0.8+20.3-1.3+20.2-1.8  
>> 1A5!  
5  
>> 5!  
5
```

Figura 3.39: Funcionamiento del SDI-12 implementado en el Datalogger.

Capítulo 4

Estudio experimental

En la fase experimental del proyecto, se ha realizado la medida de la permitividad de distintos líquidos y el aire utilizando el VNA diseñado. Las mediciones se han realizado utilizando el método de reflexión en una sonda coaxial y, para ello, ha sido necesario acoplar una sonda coaxial acabada en abierto al VNA. También será preciso tomar unos medios de referencia para saber lo que se está midiendo, mediante la calibración del VNA con la sonda coaxial tras las mediciones.

4.1. Pruebas preliminares del VNA diseñado

Antes de comenzar con la fase de experimentación, se procede a validar que la PCB del VNA diseñado está correctamente soldada, y también que realiza la calibración y las mediciones del estándar OSL de forma correcta, ofreciendo resultados razonables, y comparándolos con los del VNA de referencia [42]. En primer lugar, aunque ya se realizó tras la finalización del montaje de la PCB, se vuelve a comprobar exhaustivamente la conductividad entre las distintas pistas y los distintos pines de los circuitos integrados, para comprobar que están correctamente conectados y para evitar cortocircuitos no deseados. Tras realizar estas comprobaciones sobre la PCB del VNA diseñado, no se ha encontrado ningún fallo aparente al respecto. Además, de forma visual, se comprueba también que todos los pines están soldados adecuadamente, de forma aparente, aunque no se puede ver la totalidad de los

mismos, por ejemplo, en el códec, ya que dispone sus pines debajo del integrado donde, además, hay una conexión a tierra que puede dar problemas.

Seguidamente, se ha realizado la medición en el osciloscopio de distintos puntos del circuito: la señal generada por el oscilador de 26 MHz, la señal que proporciona el generador de señales controlado por el microcontrolador, donde se pudo comprobar que realizaba el barrido de frecuencias correctamente, las señales entrantes y salientes de los mezcladores de frecuencias y la onda estacionaria que se forma en el puerto de reflexión. Todos estos resultados, visualmente en el osciloscopio, incluyendo sus frecuencias, eran razonables y aparentemente correctos.

Una vez realizadas todas estas comprobaciones sobre la PCB, se procede a realizar las mediciones indicadas con el estándar OSL, y los resultados registrados no se corresponden con medidas razonables para el coeficiente de reflexión, incluso tras la calibración. Por tanto, tras la realización de muchas pruebas, se concluyó que, a pesar de que el diseño del VNA es correcto y de que se realizara el montaje completo de la PCB, no se disponía de los medios y la tecnología suficientes para realizar correctamente las soldaduras y manipulación de los distintos componentes que forman la PCB, ya que tenían un tamaño muy reducido y se puede haber ocasionado la destrucción de algún componente por electricidad estática en el cuerpo o por sobrecalentamiento al intentar corregir las soldaduras, como puede ser el caso del códec, un componente difícil de comprobar y muy sensible. Esta situación era esperable tras el montaje de la PCB con los medios disponibles.

Para completar la parte final del proyecto, que consiste en experimentar con el VNA diseñado para obtener modelos que proporcionan el cálculo de la permitividad a partir del coeficiente de reflexión, se ha procedido a utilizar el VNA de referencia [42] desoldando las partes asociadas con el puerto de transmisión, la pantalla y la batería, de forma que la PCB contiene prácticamente el mismo diseño que se ha realizado en el presente proyecto, y esto permitirá validar el funcionamiento del mismo. De aquí en adelante, se seguirá haciendo referencia al VNA de referencia modificado como VNA diseñado, ya que mantiene el mismo diseño. Además, el código del microcontrolador y la parte del Datalogger con la ESP32 son perfectamente aplicables a esto.

4.2. Experimentación

En primer lugar, se ha realizado una serie de mediciones sobre distintos líquidos con el VNA diseñado para comprobar su correcto funcionamiento, comparando sus resultados con el NanoVNA diseñado por Tomohiro Takahashi [42], tomado como modelo de referencia por su semejanza física y en cuanto al principio de funcionamiento.

El VNA diseñado ofrece como salida el coeficiente de reflexión S_{11} del medio dieléctrico medido en función de la frecuencia. Se ha realizado la medida de cinco líquidos de referencia distintos y del aire con los dos analizadores, que se recogen en las Tablas 4.1 y 4.2, junto con la temperatura a la que se realizó cada medición.

Tabla 4.1: Listado de materiales medidos con el NanoVNA y su temperatura.

| Material | Temperatura |
|----------------|-------------|
| Aire | 26,4 °C |
| Agua destilada | 26,0 °C |
| Acetona | 25,9 °C |
| Isopropanol | 25,8 °C |
| Metanol | 25,8 °C |
| Etilenglicol | 26,5 °C |

Tabla 4.2: Listado de materiales medidos con el VNA diseñado y su temperatura.

| Material | Temperatura |
|----------------|-------------|
| Aire | 26,2 °C |
| Agua destilada | 25,9 °C |
| Acetona | 26,2 °C |
| Isopropanol | 26,2 °C |
| Metanol | 25,9 °C |
| Etilenglicol | 26,5 °C |

Para cada uno, la medida se ha realizado tres veces para obtener el valor medio reduciendo, así, el posible error en la medida, y para descartar una de las tres medidas en caso de que sea muy distinta de las otras dos, dando por hecho que no es un resultado correcto. Esto último no ha ocurrido en los ensayos. El diagrama de bloques correspondiente al montaje realizado para hacer los ensayos se puede ver en la Figura 4.1 y en el Anexo II.4, donde el VNA, que se programa a través del USB desde el PC, realiza las mediciones sobre el material bajo estudio (MUT, *Material Under Test*) a través de la sonda acabada en abierto, y el Datalogger, que se comunica también a través del USB con el PC, le pide los datos de las mediciones realizadas al VNA por UART, compartiendo dicha información a través del protocolo SDI-12 con un maestro SDI-12 si estuviera conectado.

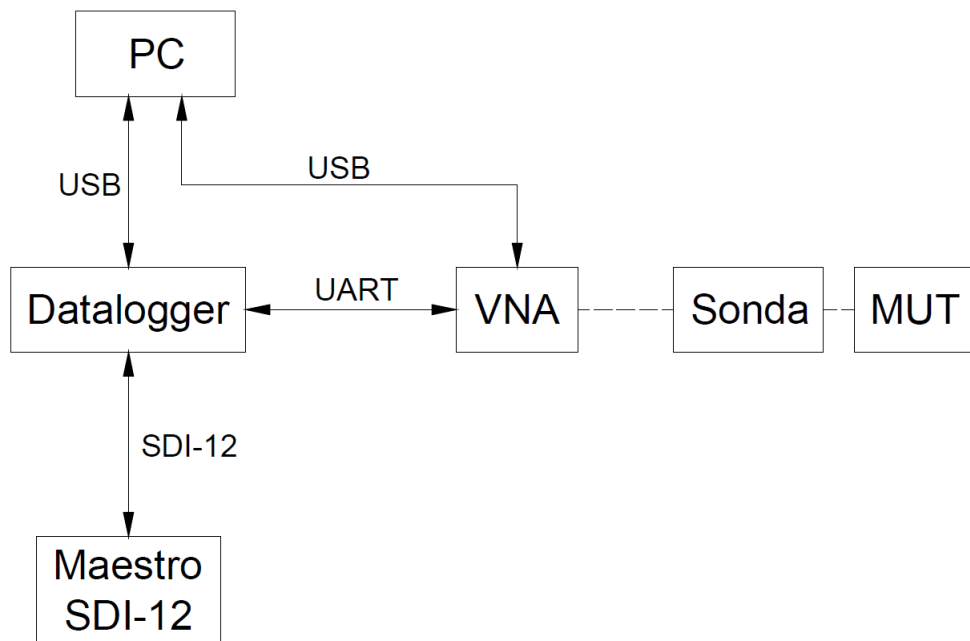


Figura 4.1: Diagrama de bloques para la realización de ensayos.

4.2.1. Materiales

Los materiales utilizados para realizar las mediciones sobre los distintos líquidos han sido los siguientes:

- **Vaso de precipitado**

Se ha utilizado un vaso de precipitado Pyrex de 600 ml de capacidad para contener la muestra de todos los líquidos sobre los que se ha realizado la medida del coeficiente de reflexión. El vaso de precipitado debe quedar limpio entre medición y medición para evitar la contaminación de las muestras de líquidos. Se puede visualizar el vaso de precipitado en la Figura 4.2.

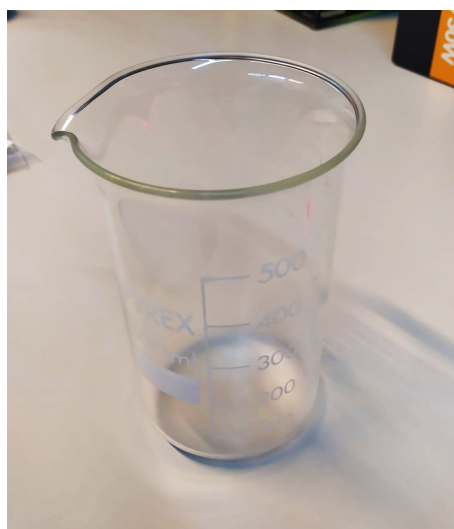


Figura 4.2: Vaso de precipitado de 600 ml.

- **Cable coaxial SMA**

La conexión directa de la sonda coaxial de final abierto con la que se ha realizado la medición con el conector SMA situado en la PCB del VNA dificultaba la realización de las medidas sobre los líquidos contenidos en el vaso de precipitado. Para solventarlo, se conectó un cable coaxial SMA con el objetivo de alargar este conector, para conectar en su extremo la sonda que realizó las mediciones y facilitar su contacto con el líquido medido.



Figura 4.3: Cable coaxial SMA conectado a la sonda coaxial de final abierto.

- **Sonda coaxial de latón y teflón de final abierto**

Para realizar las mediciones del coeficiente de reflexión de todos los materiales, se ha utilizado una sonda coaxial de latón y teflón de final abierto basada en el diseño realizado en el artículo [3]. Las medidas de sus diámetros son, de dentro hacia fuera: 12,5 mm, 40 mm y 45 mm, que quedan recogidas en la Tabla 4.3. Se puede observar la sonda coaxial en la Figura 4.4.



Figura 4.4: Sonda coaxial de latón y teflón de final abierto.

Tabla 4.3: Dimensiones de la sonda coaxial de final abierto.

| Diámetro | Medida |
|------------|---------|
| Interior | 12,5 mm |
| Intermedio | 40 mm |
| Exterior | 45 mm |

■ Termopar

Para saber la temperatura a la que se estaban realizando las mediciones sobre los distintos materiales, se ha utilizado el termopar de Comark C28 tipo K, que tiene un fondo de escala de $800\text{ }^{\circ}\text{C}$ con un rango de $-200\text{ }^{\circ}\text{C}$ a $600\text{ }^{\circ}\text{C}$, una precisión del $0,1\% \pm 0,2\text{ }^{\circ}\text{C}$ y una resolución de $0,1\text{ }^{\circ}\text{C}$ si la temperatura es superior a $-100\text{ }^{\circ}\text{C}$, mientras que la resolución baja a $1\text{ }^{\circ}\text{C}$ si la temperatura desciende por debajo de $-100\text{ }^{\circ}\text{C}$. Se puede visualizar en la Figura 4.5.

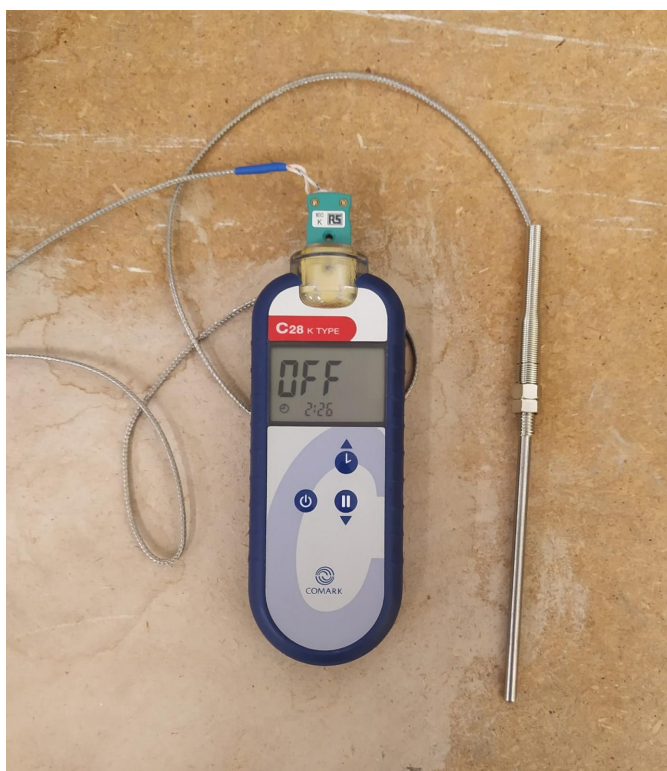


Figura 4.5: Termopar Comark C28 tipo K.

4.2.2. Procedimiento

En primer lugar, se fija el VNA en un sitio firme a una determinada altura para que no se mueva y pueda realizar las mediciones correctamente sobre el vaso de precipitado con la sonda coaxial de final abierto conectada en el extremo del cable coaxial SMA.

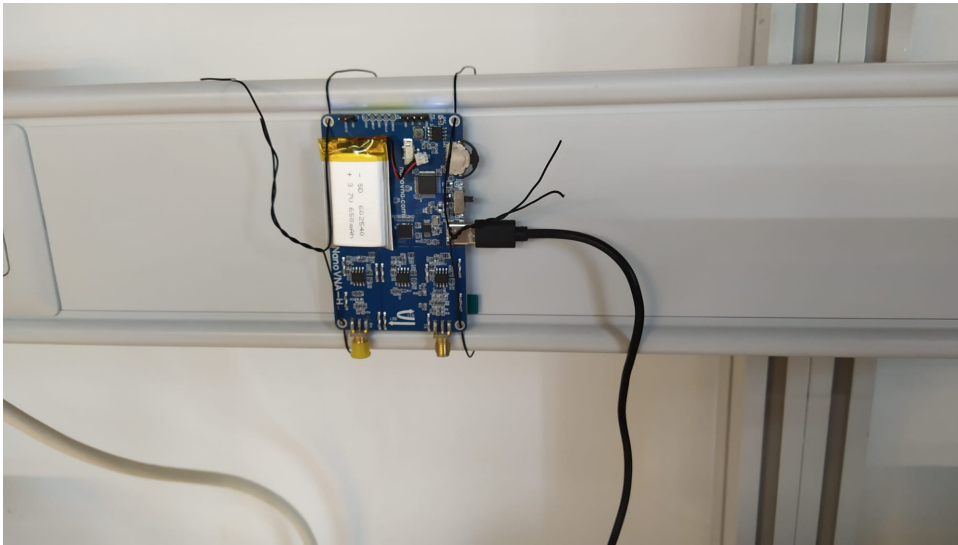


Figura 4.6: VNA firmemente fijado.

Seguidamente, se conecta el cable coaxial SMA para alargar la distancia de medida. Tras esto, se calibra el VNA en la punta del cable, para que realice correctamente las mediciones. Con la calibración hecha, se conecta en el extremo la sonda coaxial con la que se realizarán las mediciones sobre los distintos líquidos, de forma que queda colgando en un plano paralelo a la superficie de la mesa.

Con todo conectado, se realiza una primera medición sin vaso de precipitado, para obtener la medida del aire. Con esta medida registrada, se procede a realizar la medición sobre los cinco líquidos restantes, que se hace de la misma forma en todos los casos. Primero, se llena el vaso de precipitado con un volumen del líquido ligeramente superior a 100 ml, y se mide su temperatura con el termopar. Después, se introduce la sonda coaxial de final abierto en el interior del vaso de precipitado, de forma que el plano inferior de la sonda queda sumergido en el líquido. Antes de proceder a registrar la medida del coeficiente de reflexión del líquido, se debe asegurar

CAPÍTULO 4. ESTUDIO EXPERIMENTAL

que no se ha formado ninguna microburbuja entre el plano de la sonda y el líquido, ya que esto variará la capacidad que estamos midiendo y, por tanto, alterará los resultados del coeficiente de reflexión obtenidos. Con esto comprobado, se realiza la medida del líquido en cuestión, y se repite este procedimiento descrito para los cinco líquidos mencionados. Entre medida y medida, se ha realizado la limpieza completa del vaso de precipitado, del termopar y de la sonda coaxial de final abierto para evitar la contaminación de las muestras. Por último, se ha realizado también la calibración de la sonda coaxial, cuyo procedimiento se explica en el siguiente apartado. Las medidas del coeficiente de reflexión S_{11} para todos los materiales se ha realizado entre una frecuencia de 10 kHz y una frecuencia de 1,5 GHz. La forma en la que se han realizado las medidas se puede ver en la Figura 4.7.

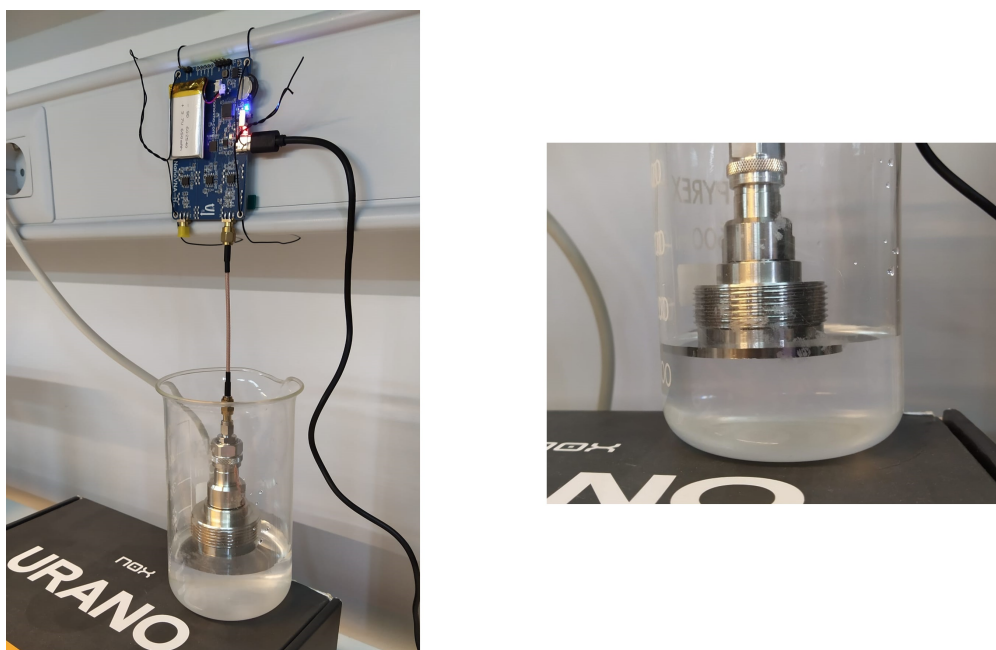


Figura 4.7: Cable coaxial y sonda coaxial de final abierto conectados al VNA. Sonda coaxial sumergida en el líquido medido.

CAPÍTULO 4. ESTUDIO EXPERIMENTAL

Para registrar las medidas del coeficiente de reflexión de los distintos materiales con el NanoVNA, se ha utilizado el programa de código abierto *NanoVNA Saver*, que está programado en Python y permite realizar tanto la calibración desde el propio programa, guardando dicha calibración, como las mediciones entre dos frecuencias programadas y exportar las mismas en formato *.s1p* (medidas de 1 puerto) o *.s2p* (medidas de 2 puertos). En este caso, las medidas son de 1 puerto. Además, el propio programa permite realizar la representación de las mediciones en distintos formatos, como la Carta de Smith, parte real e imaginaria o representación de magnitud logarítmica, entre otros. Se puede ver la interfaz del programa en la siguiente Figura 4.8.

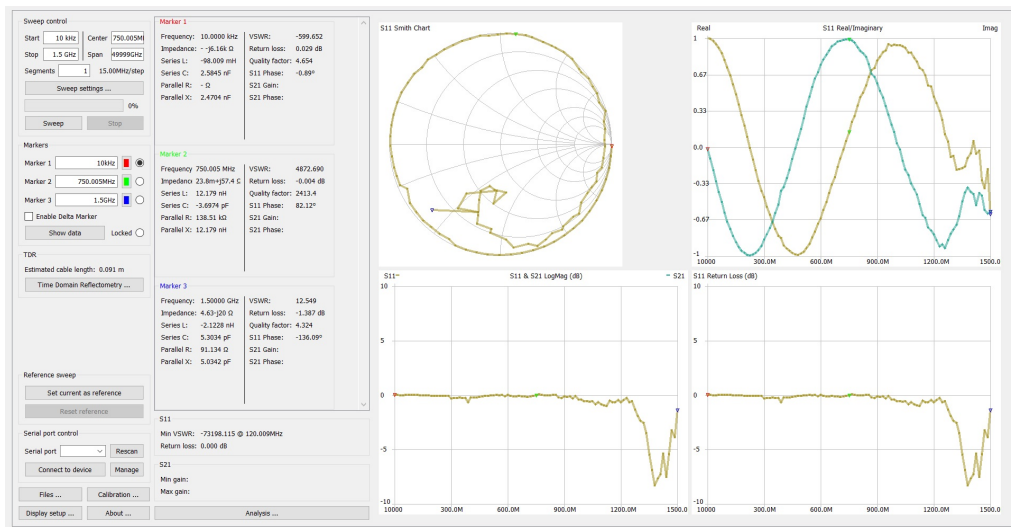


Figura 4.8: NanoVNA Saver.

Para el registro de los datos del coeficiente de reflexión medido con el VNA diseñado, se ha utilizado el Datalogger formado por la ESP32, que recoge los datos mediante la comunicación por UART con el VNA, tal y como se ha explicado en la sección 3.6 y se ha introducido al comienzo de esta sección, a la hora de explicar el diagrama de bloques utilizado durante la realización de los ensayos.

4.3. Calibración del VNA

La calibración del VNA se ha realizado en dos partes. En primer lugar, se ha efectuado la calibración en la punta del cable coaxial SMA mediante la conexión del estándar de calibración *Open-Short-Load* (50Ω) en dicho extremo. Este estándar se puede ver en la Figura 4.9.



Figura 4.9: Estándar *Open-Short-Load*.

4.3.1. Calibración OWL

En segundo lugar, a partir de las medidas realizadas con el VNA diseñado y el NanoVNA de referencia en el apartado anterior, se procede a la calibración del VNA con la sonda coaxial de final abierto, conectada en el extremo del cable coaxial SMA. Para ello, se ha realizado la calibración de Circuito abierto-Agua-Líquido (OWL, *Open-Water-Liquid*) descrita en el artículo científico de Norman Wagner et al. [2], para calcular la permitividad compleja ε_r^* a partir del coeficiente de reflexión complejo S_{11} medido con el VNA.

Para valores del coeficiente de reflexión y permitividad del aire (*Open*, Circuito abierto) de S_{11}^O y $\varepsilon_{r,O}$, respectivamente, del coeficiente de reflexión y permitividad del agua destilada (*Water*, Agua) de S_{11}^W y $\varepsilon_{r,W}$, respectivamente y de los coeficientes de reflexión y permitividades de los líquidos medidos (*Liquid*, Líquido) de $S_{11}^{L,i}$ y $\varepsilon_{r,L,i}$, respectivamente, la calibración OWL consiste en determinar el valor de las constantes c_1 , c_2 y c_3 para cada frecuencia resolviendo el siguiente sistema de ecuaciones:

$$\begin{aligned}
 S_{11}^O c_1 - c_2 - \varepsilon_{r,O} c_3 &= -\varepsilon_{r,O} S_{11}^O \\
 S_{11}^W c_1 - c_2 - \varepsilon_{r,W} c_3 &= -\varepsilon_{r,W} S_{11}^W \\
 S_{11}^{L,1} c_1 - c_2 - \varepsilon_{r,L,1} c_3 &= -\varepsilon_{r,L,1} S_{11}^{L,1} \\
 &\vdots \\
 S_{11}^{L,n} c_1 - c_2 - \varepsilon_{r,L,n} c_3 &= -\varepsilon_{r,L,n} S_{11}^{L,n}
 \end{aligned} \tag{4.1}$$

O, en forma matricial:

$$\begin{pmatrix} S_{11}^O & -1 & -\varepsilon_{r,O} \\ S_{11}^W & -1 & -\varepsilon_{r,W} \\ S_{11}^{L,1} & -1 & -\varepsilon_{r,L,1} \\ \vdots & & \\ S_{11}^{L,n} & -1 & -\varepsilon_{r,L,n} \end{pmatrix} \begin{pmatrix} c_1 \\ c_2 \\ c_3 \end{pmatrix} = \begin{pmatrix} -\varepsilon_{r,O} S_{11}^O \\ -\varepsilon_{r,W} S_{11}^W \\ -\varepsilon_{r,L,1} S_{11}^{L,1} \\ \vdots \\ -\varepsilon_{r,L,n} S_{11}^{L,n} \end{pmatrix} \tag{4.2}$$

En forma compacta, esta relación se puede expresar como:

$$\mathbf{M} \cdot \mathbf{c} = \mathbf{e} \tag{4.3}$$

En el caso de utilizar tres medidas (aire, agua y un líquido), el sistema se puede resolver fácilmente mediante:

$$\mathbf{c} = \mathbf{M}^{-1} \cdot \mathbf{e} \tag{4.4}$$

Con el valor de las constantes c_1 , c_2 y c_3 para cada frecuencia, ya se puede calcular el valor de la permitividad compleja ε_r^* del líquido desconocido a partir del coeficiente de reflexión S_{11} medido para ese líquido, mediante la expresión (4.5):

$$\varepsilon_r^* = \frac{c_1 S_{11} - c_2}{c_3 - S_{11}} \tag{4.5}$$

Esta calibración se ha realizado utilizando aire, agua y un líquido, el cual ha ido cambiando entre metanol, isopropanol, acetona y etilenglicol. Realizando esto, se ha obtenido el valor de c_1 , c_2 y c_3 para todas las frecuencias cuatro veces distintas, rotando el líquido utilizado, de manera que los líquidos no utilizados para calibrar en cada caso se han empleado en validar la calibración. De esta forma, los valores de c_1 , c_2 y c_3 seleccionados se corresponden con la calibración que menor error ha generado.

Para poder aplicar la calibración OWL, es necesario conocer el valor de la permitividad de los distintos materiales en el espectro de frecuencias $(\varepsilon_{r,O}, \varepsilon_{r,W}, \varepsilon_{r,L,i})$. Para tal fin, se han utilizado valores de referencia encontrados en la bibliografía, basados en modelos de dispersión dieléctrica, descritos en la siguiente sección. Estos valores de referencia se han utilizado para aplicarlos en el método de calibración OWL, así como para calcular el error cometido en la estimación de la permitividad de los líquidos no usados en la misma. El indicador de error utilizado es el error cuadrático medio *RMSE* (*Root Mean Square Error*), que se define como:

$$RMSE = \sqrt{\frac{\sum_{i=1}^n (\hat{y}_i - y_i)^2}{n}} \quad (4.6)$$

Aplicado a la calibración realizada, se calcula el *RMSE* sobre los tres líquidos desconocidos no utilizados en la calibración y de los que se ha estimado el valor de su permitividad:

$$RMSE = \sqrt{\frac{\sum_{k=1}^3 \sum_{i=1}^n (\varepsilon_{r,L,k,i}^* - \varepsilon_{r,L,k,i})^2}{3n}} \quad (4.7)$$

Donde n es el número de muestras medidas con el VNA. Para la realización del proceso completo de calibración OWL con todos los líquidos, se ha implementado un código en MATLAB, que realiza todo lo descrito, y que se puede ver en el Anexo V.3.

CAPÍTULO 4. ESTUDIO EXPERIMENTAL

El código comienza con una limpieza de todas las variables que pudieran existir antes de la ejecución del mismo. Seguidamente, carga el *Workspace*, es decir, el espacio de trabajo, donde se encuentran todos los datos del coeficiente de reflexión de los distintos materiales. Para que esto se pueda realizar, hay que preparar los datos en una tabla recogida dentro de un archivo **.mat*. Para ello, se introducen en una hoja de cálculo *MEDIDAS_VNA.xlsx* todos los datos correspondientes a los distintos coeficientes de reflexión (parte real e imaginaria) y, tras ello, se genera el archivo **.mat* ejecutando lo siguiente desde MATLAB:

```
[num, txt, raw] = xlsread('MEDIDAS_VNA.xlsx');  
  
VNArawS11_2021 = cell2table(raw(2:end, :));  
  
VNArawS11_2021.Properties.VariableNames = raw(1, :);  
  
save VNArawS11_2021.mat VNArawS11_2021
```

Con esto ya listo, se cargan los datos de reflexión preparados y se definen las temperaturas de trabajo para cada material. Seguidamente, se realiza una interpolación para normalizar las frecuencias de los datos del S_{11} del VNA. Luego, se definen los modelos ideales para la permitividad de los distintos materiales y, finalmente, se obtiene la permitividad a partir del coeficiente de reflexión medido por el VNA, mediante la calibración OWL. Paralelamente, se calcula el error obtenido tras la realización de la calibración con cada líquido.

4.3.2. Modelos dieléctricos de dispersión

Para determinar las permitividades complejas teóricas de los distintos materiales medidos en función de la frecuencia y la temperatura a la que se han realizado las mediciones, se ha empleado una serie de modelos que ofrecen ecuaciones de relajación de la permitividad, y son los modelos de Debye, Cole-Cole y Davidson-Cole, cuyas ecuaciones y tablas de parámetros empleadas para estos materiales están incluidas en la bibliografía [4], [5], [6]. Estos modelos se explican a continuación, y obtienen una curva en el espectro de frecuencias para la permitividad compleja que presenta el resultado de la Figura 4.10 para la parte real e imaginaria de la permitividad.

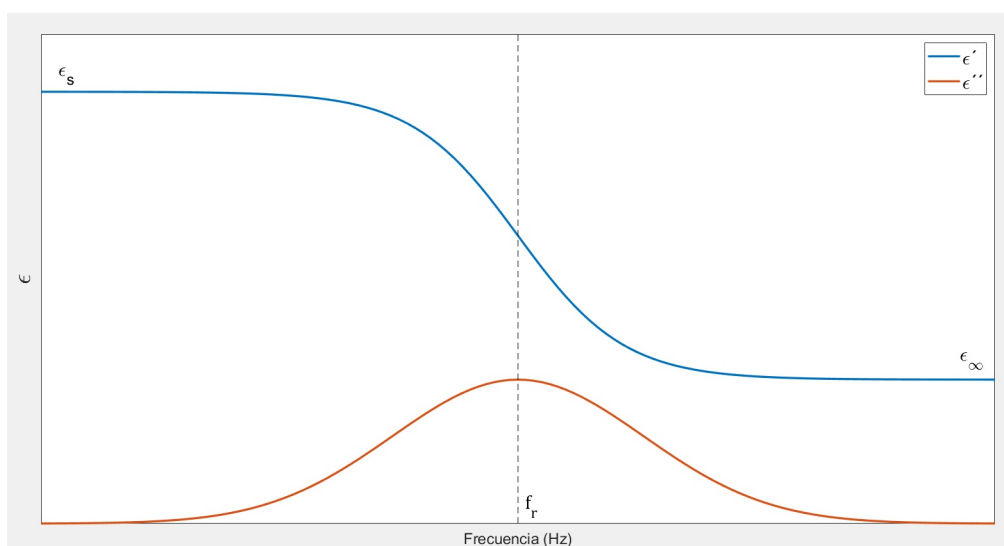


Figura 4.10: Modelo para la permitividad compleja.

Los materiales medidos han empleado los siguientes modelos para determinar su permitividad compleja: para el agua destilada y el metanol se ha empleado el modelo de Debye, para el isopropanol se ha utilizado el modelo de Double Debye, para la acetona se ha usado el modelo de Cole-Cole y para el etilenglicol se ha empleado el modelo de Davidson-Cole. Por último, para el aire, se ha tomado su permitividad relativa como constante en todo el rango de frecuencias: $\epsilon_{r,0} = 1$. Esto queda recogido en la siguiente tabla resumen para todos los materiales.

Tabla 4.4: Modelos utilizados para la permitividad de los distintos materiales.

| Material | Modelo |
|----------------|-------------------------|
| Agua destilada | Debye |
| Metanol | Debye |
| Isopropanol | Double Debye |
| Acetona | Cole-Cole |
| Etilenglicol | Davidson-Cole |
| Aire | $\varepsilon_{r,0} = 1$ |

4.3.2.1. Modelo de Debye

El modelo de la ecuación de relajación de Debye para la permitividad compleja ε_r^* en función de la frecuencia f depende del valor de la permitividad estática ε_s , que es la permitividad a una frecuencia de 0 Hz, del valor de la permitividad en el infinito o a alta frecuencia ε_∞ , que es la permitividad a una frecuencia mucho mayor que la frecuencia de relajación, y del tiempo (τ) o frecuencia (f_r) de relajación:

$$\varepsilon_r^* = \varepsilon_\infty + \frac{\varepsilon_s - \varepsilon_\infty}{1 + j\omega\tau} = \varepsilon_\infty + \frac{\varepsilon_s - \varepsilon_\infty}{1 + j\frac{f}{f_r}} \quad (4.8)$$

4.3.2.2. Modelo de Double Debye

El modelo de Double Debye para la permitividad compleja ε_r^* en función de la frecuencia f emplea dos relajaciones dieléctricas, y depende del valor de la permitividad estática ε_s , del valor de la permitividad de alta frecuencia de la relajación de la frecuencia más baja ε_h , del valor de la permitividad en el infinito ε_∞ y de los tiempos (τ_1, τ_2) o frecuencias (f_{r1}, f_{r2}) de relajación:

$$\varepsilon_r^* = \varepsilon_\infty + \frac{\varepsilon_s - \varepsilon_h}{1 + j\omega\tau_1} + \frac{\varepsilon_h - \varepsilon_\infty}{1 + j\omega\tau_2} = \varepsilon_\infty + \frac{\varepsilon_s - \varepsilon_h}{1 + j\frac{f}{f_{r1}}} + \frac{\varepsilon_h - \varepsilon_\infty}{1 + j\frac{f}{f_{r2}}} \quad (4.9)$$

4.3.2.3. Modelo de Cole-Cole

El modelo de la ecuación de Cole-Cole para la permitividad compleja ε_r^* en función de la frecuencia f depende del valor de la permitividad estática ε_s , del valor de la permitividad en el infinito ε_∞ , del tiempo (τ) o frecuencia (f_r) de relajación y de un parámetro β que caracteriza la distribución de relajación:

$$\varepsilon_r^* = \varepsilon_\infty + \frac{\varepsilon_s - \varepsilon_\infty}{1 + (j\omega\tau)^\beta} = \varepsilon_\infty + \frac{\varepsilon_s - \varepsilon_\infty}{1 + \left(j\frac{f}{f_r}\right)^\beta} \quad (4.10)$$

4.3.2.4. Modelo de Davidson-Cole

El modelo de Davidson-Cole para la permitividad compleja ε_r^* en función de la frecuencia f , al igual que el modelo anterior, depende del valor de la permitividad estática ε_s , del valor de la permitividad en el infinito ε_∞ , del tiempo (τ) o frecuencia (f_r) de relajación y de un parámetro β que proporciona información acerca de la distribución y simetría de los tiempos de relajación:

$$\varepsilon_r^* = \varepsilon_\infty + \frac{\varepsilon_s - \varepsilon_\infty}{(1 + j\omega\tau)^\beta} = \varepsilon_\infty + \frac{\varepsilon_s - \varepsilon_\infty}{\left(1 + j\frac{f}{f_r}\right)^\beta} \quad (4.11)$$

4.3.2.5. Representación gráfica de los modelos para la permitividad

Estos modelos para la permitividad compleja proporcionan una curva ideal para el espectro de la misma en función del tipo de material. Si se realiza la representación gráfica de la permitividad para los materiales medidos según el modelo utilizado, el cual se indica en la Tabla 4.4 para cada material, se obtienen las siguientes curvas para sus permitividades:

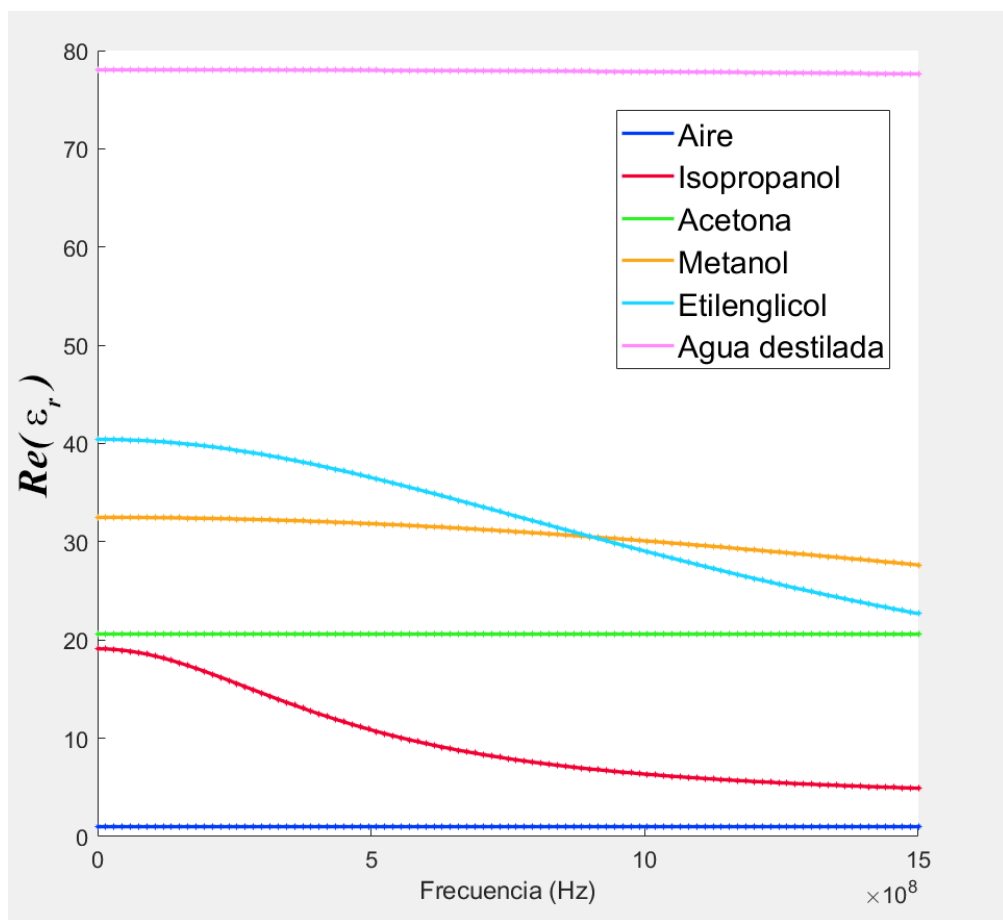


Figura 4.11: Representación gráfica de los modelos para la permitividad de los distintos materiales. Parte real.

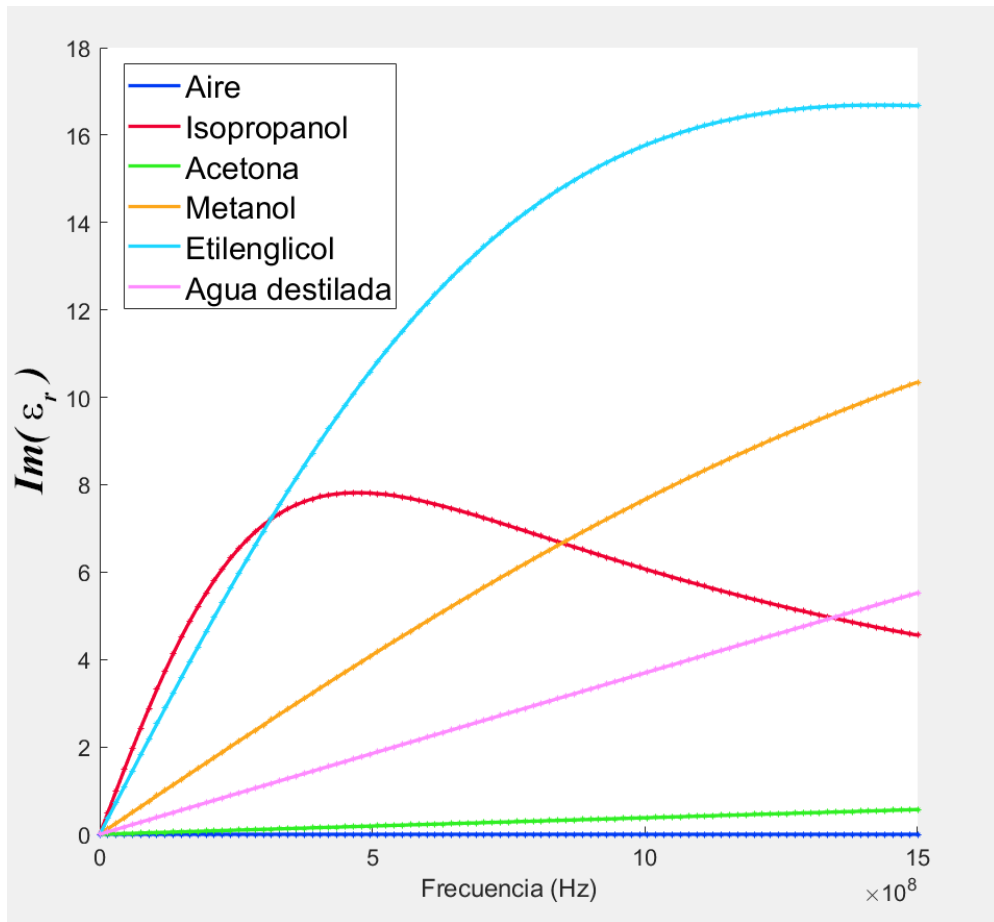


Figura 4.12: Representación gráfica de los modelos para la permitividad de los distintos materiales. Parte imaginaria.

Capítulo 5

Resultados

En este capítulo, se exponen los resultados obtenidos tras realizar las mediciones con el VNA diseñado, comparándolos con el de referencia. Se presentan, en primer lugar, los resultados obtenidos de la medición del parámetro S_{11} a distintas frecuencias para los diferentes materiales. Luego, se muestran y analizan los resultados obtenidos tras la calibración del VNA para obtener la permitividad de dichos materiales, a partir del código desarrollado en MATLAB. Por último, tras haber determinado la calibración más exacta, se han introducido las constantes en el Datalogger y se ha ampliado el código del mismo para aplicar la ecuación que permite obtener el valor de la permitividad compleja a partir del coeficiente de reflexión, que se corresponde con la expresión (4.5). Los resultados del coeficiente de reflexión y de la permitividad, tal y como se ha mencionado, se guardan en ficheros de texto para poder exportarlos y procesarlos fácilmente.

5.1. Coeficiente de reflexión

En esta sección, se observan los resultados obtenidos del coeficiente de reflexión tras la realización de las mediciones por parte de ambos analizadores de redes, comparándolos para validar el funcionamiento del diseño del VNA del presente proyecto.

5.1.1. Coeficiente de reflexión con el VNA de referencia

Los resultados relativos al coeficiente de reflexión del VNA de referencia se pueden visualizar en la Figura 5.1, en formato de parte real e imaginaria. Se puede observar que la parte real del coeficiente de reflexión, a baja frecuencia, toma el valor de 1, mientras que la parte imaginaria comienza con un valor de 0. También se aprecia que, en alta frecuencia, el coeficiente de reflexión medido empieza a describir un cierto rizado, tanto en la parte real como en la imaginaria en todos los materiales. Se ha empleado línea continua para la parte real y línea discontinua para la parte imaginaria.

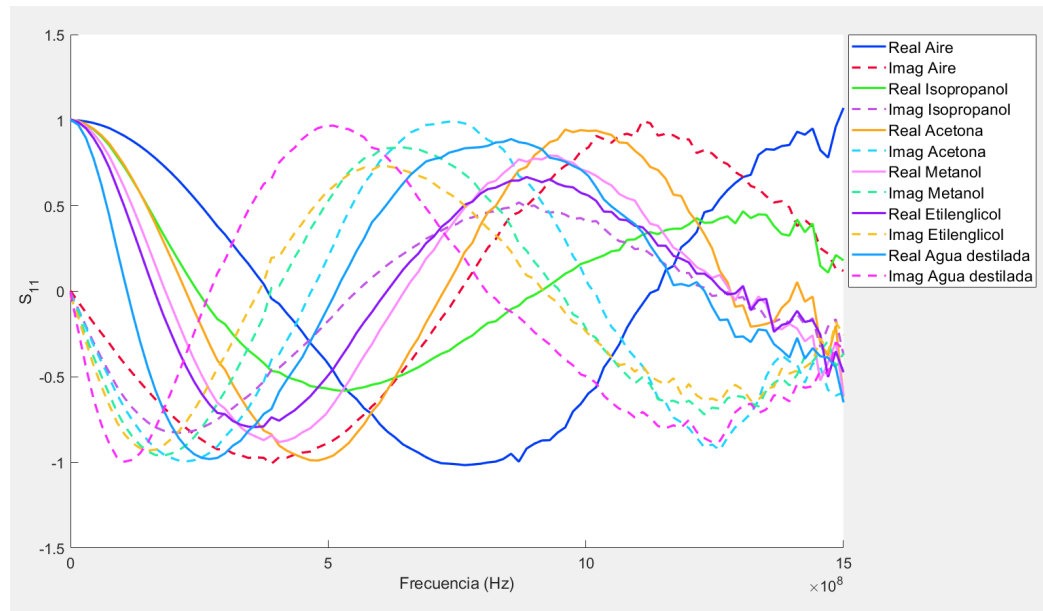


Figura 5.1: Coeficiente S_{11} medido sobre los distintos materiales con el VNA de referencia.

5.1.2. Coeficiente de reflexión con el VNA diseñado

De la misma forma, en la Figura 5.2 se pueden ver las curvas obtenidas para coeficiente de reflexión con el VNA diseñado, en el mismo formato. La forma de estas curvas es muy similar al caso anterior. Además, se puede observar que, a alta frecuencia, las curvas reducen su rizado y se enderezan ligeramente en comparación con los resultados anteriores. Esto último se puede comprobar en la Figura 5.3, donde se ha escogido el coeficiente de reflexión de la acetona de ambos analizadores. La mayor diferencia ocurre a alta frecuencia, donde el VNA diseñado (colores rojo y verde oscuro) presenta una curva para el S_{11} más suave, mientras que el VNA de referencia (colores naranja y verde claro) presenta esos picos al final. También se verifica que los resultados con ambos analizadores son prácticamente iguales.

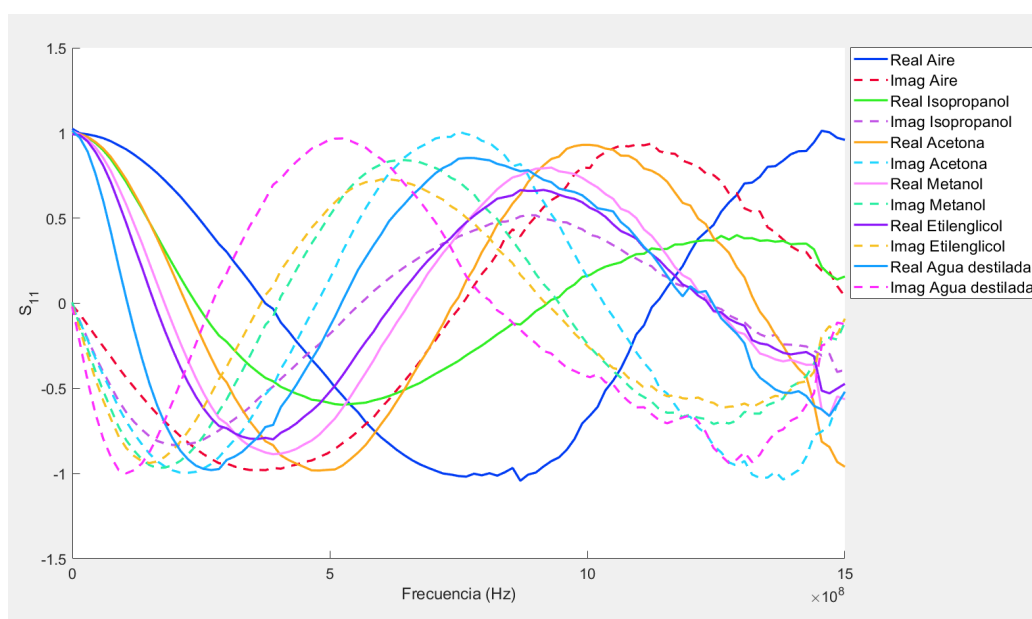


Figura 5.2: Coeficiente S_{11} medido sobre los distintos materiales con el VNA diseñado.

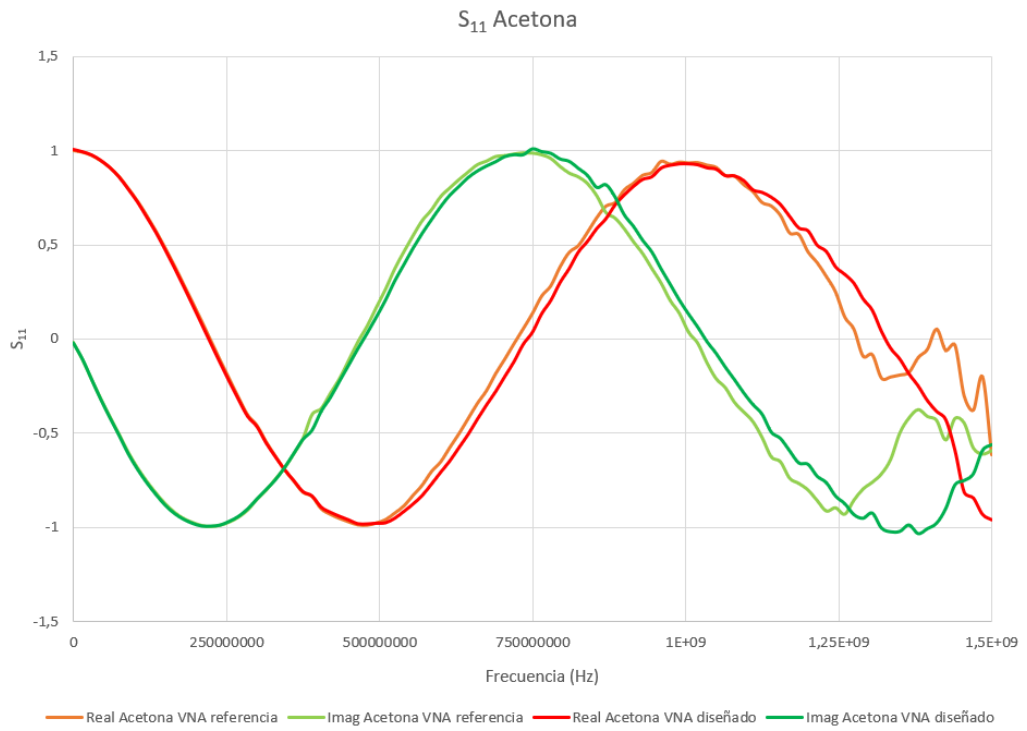


Figura 5.3: Comparativa del coeficiente de reflexión de la acetona de ambos analizadores de redes.

5.2. Permitividad compleja

Con los datos medidos del coeficiente de reflexión para ambos analizadores de redes, se procede a realizar la calibración OWL mediante el código implementado en MATLAB. Tal y como se ha explicado en la fase experimental, se ha realizado la calibración con aire, agua y un líquido que ha ido rotando entre metanol, isopropanol, acetona y etilenglicol, de manera que los líquidos no empleados para la calibración en cada caso se han utilizado para validarla. De esta forma, se ha obtenido el valor para las constantes c_1 , c_2 y c_3 cuatro veces distintas, seleccionando aquellas que se corresponden con la calibración que menor error $RMSE$ ha generado. Se guardarán las constantes correspondientes a los resultados con menor error del VNA diseñado, para introducirlas en el Datalogger con el objetivo de que sea capaz de calcular la permitividad a partir de los datos del coeficiente de reflexión.

5.2.1. Calibración OWL del VNA de referencia

Los datos obtenidos tras la realización de la calibración OWL con los distintos líquidos con el VNA de referencia se pueden visualizar en las Figuras 5.4, 5.5, 5.6 y 5.7, correspondientes a la calibración realizada con metanol, isopropanol, acetona y etilenglicol, respectivamente. Se representa con una línea continua el modelo dieléctrico de dispersión ideal para cada permitividad, según lo indicado en la Tabla 4.4 y, con asteriscos, los valores correspondientes al cálculo de la permitividad tras aplicar la calibración. El líquido empleado para la calibración en cada caso se indica en el título de la gráfica correspondiente. Se puede observar un aumento de la dispersión cuando se alcanza la alta frecuencia, alrededor de 1 GHz, donde los cálculos comienzan a diferir de los modelos para las permitividades.

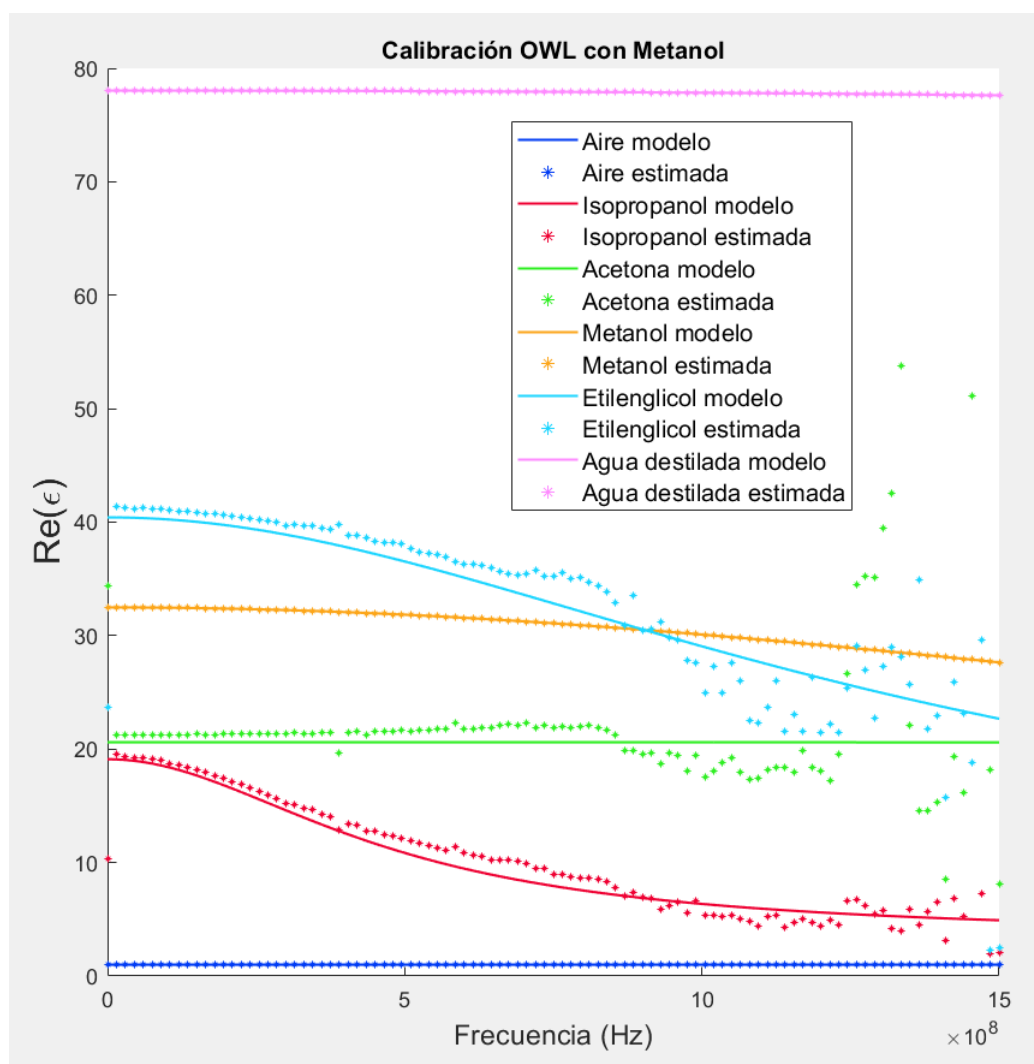


Figura 5.4: Calibración OWL con metanol. VNA de referencia.

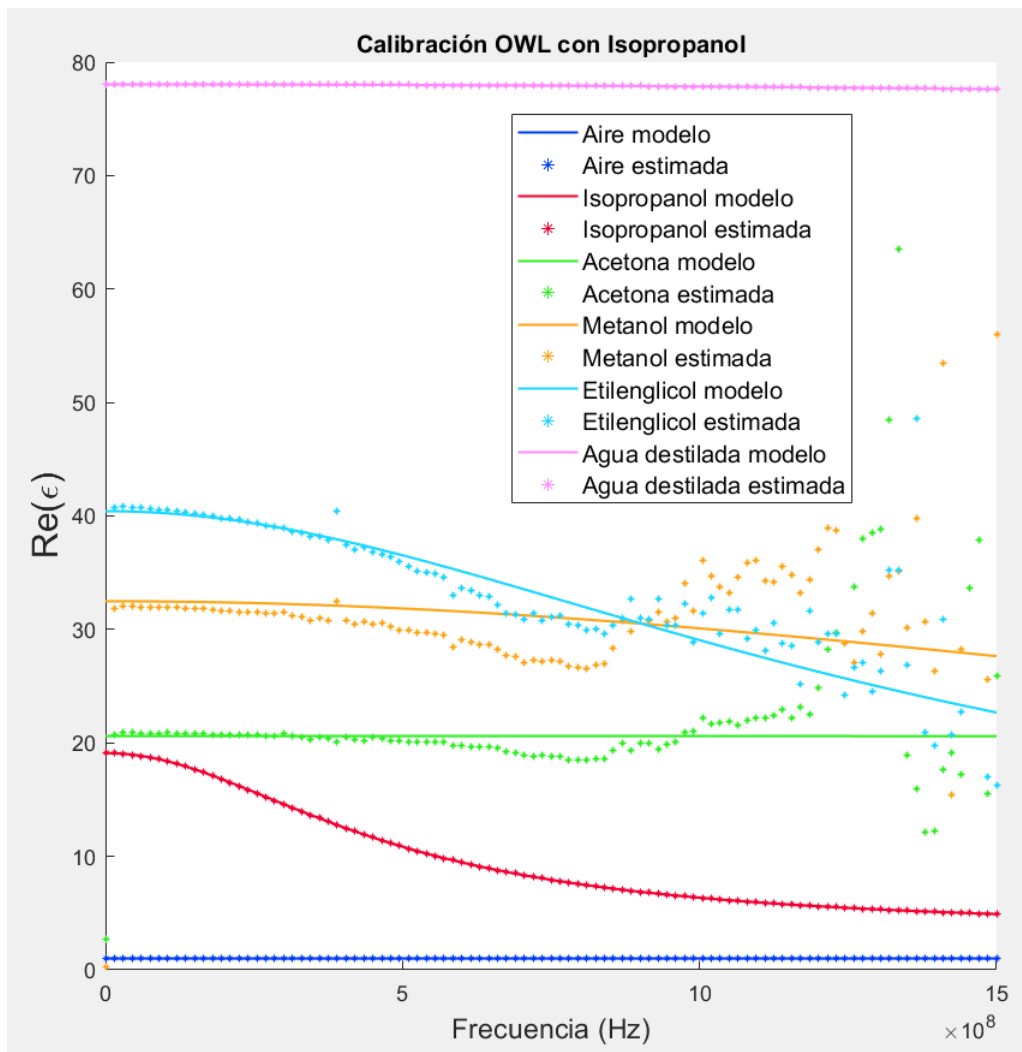


Figura 5.5: Calibración OWL con isopropanol. VNA de referencia.

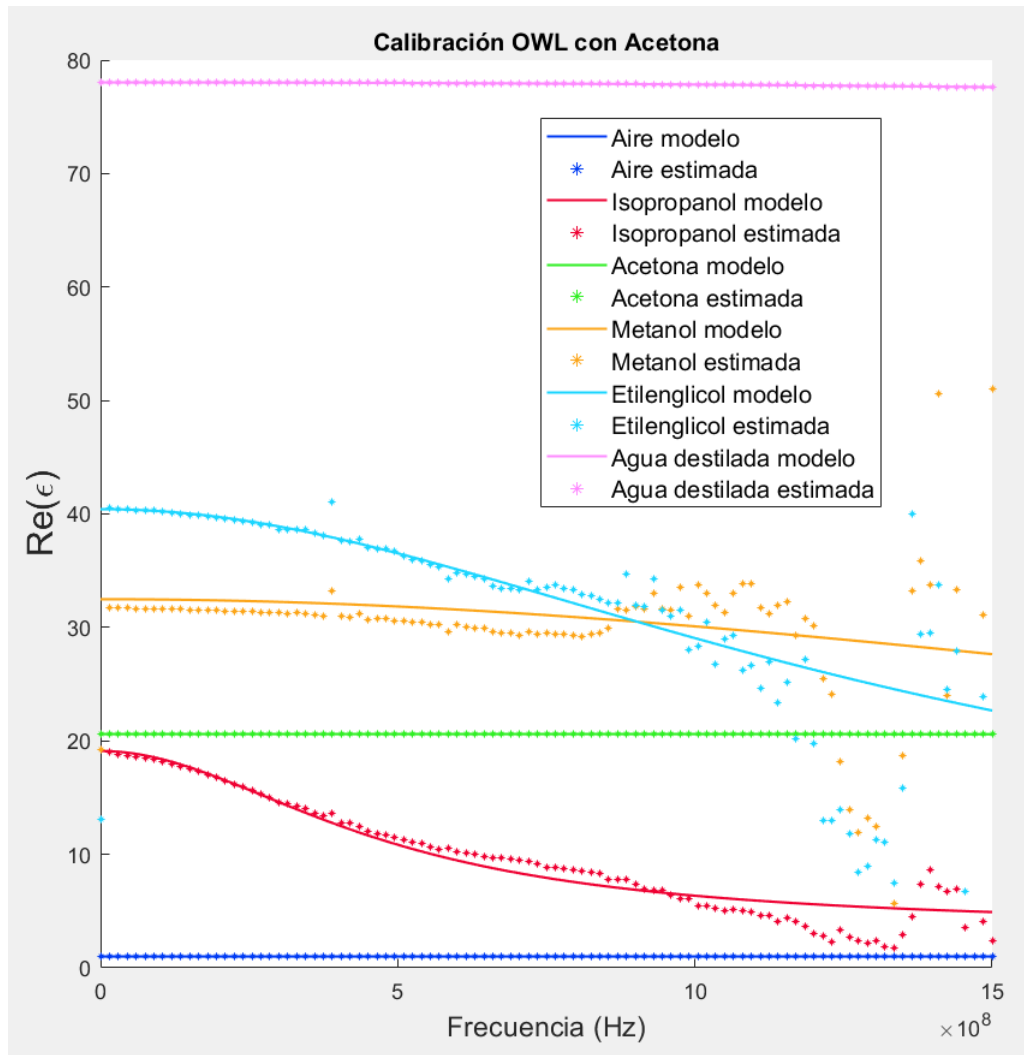


Figura 5.6: Calibración OWL con acetona. VNA de referencia.

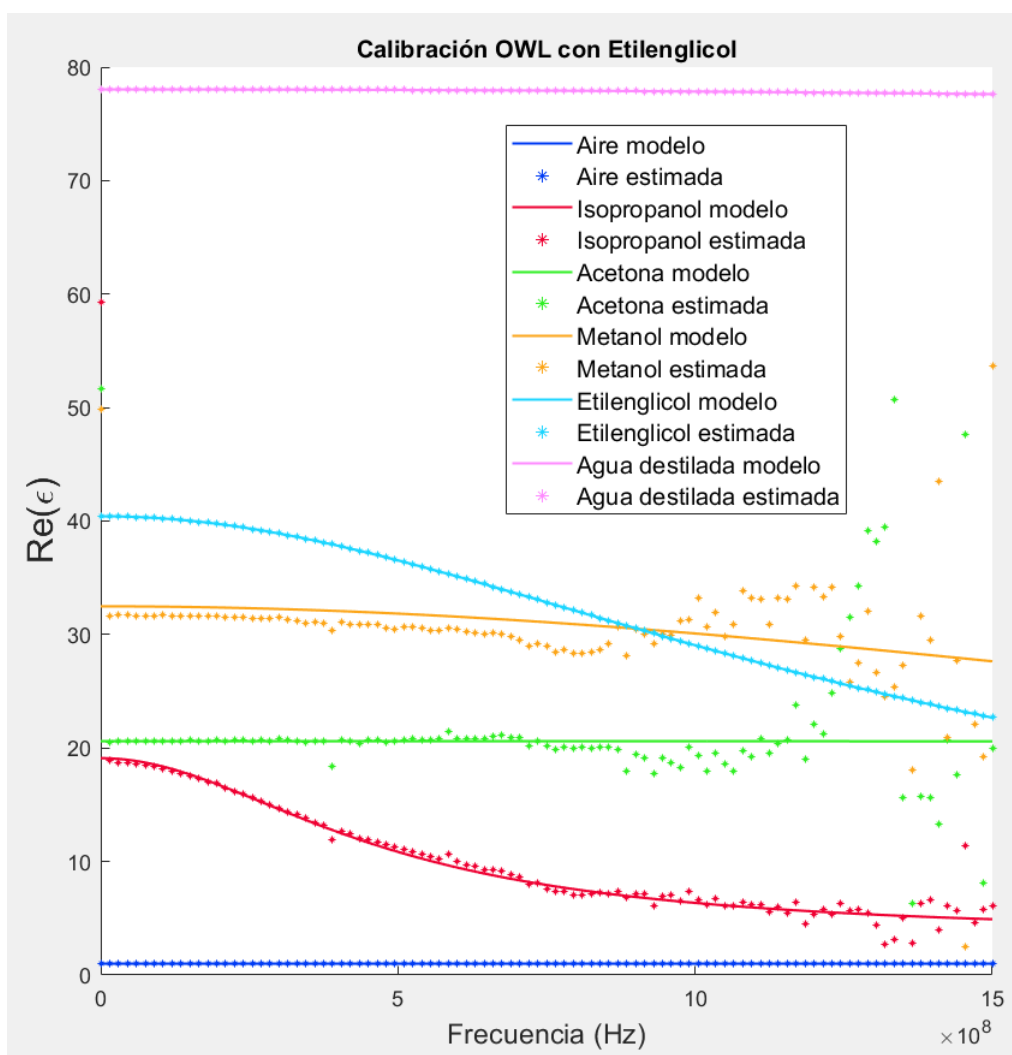


Figura 5.7: Calibración OWL con etilenglicol. VNA de referencia.

Como ya se ha mencionado, la precisión obtenida empleando la calibración OWL es alta hasta una frecuencia de 1 GHz, aproximadamente. Esto puede ser debido a una limitación de frecuencia del algoritmo o a la capacidad del VNA de proporcionar una mejor precisión a partir de esas frecuencias. Si, por ejemplo, se seleccionan los datos obtenidos tras la calibración con acetona hasta 1 GHz, los cálculos se aproximan bastante a los modelos de la permitividad, tal y como se observa en la Figura 5.8.

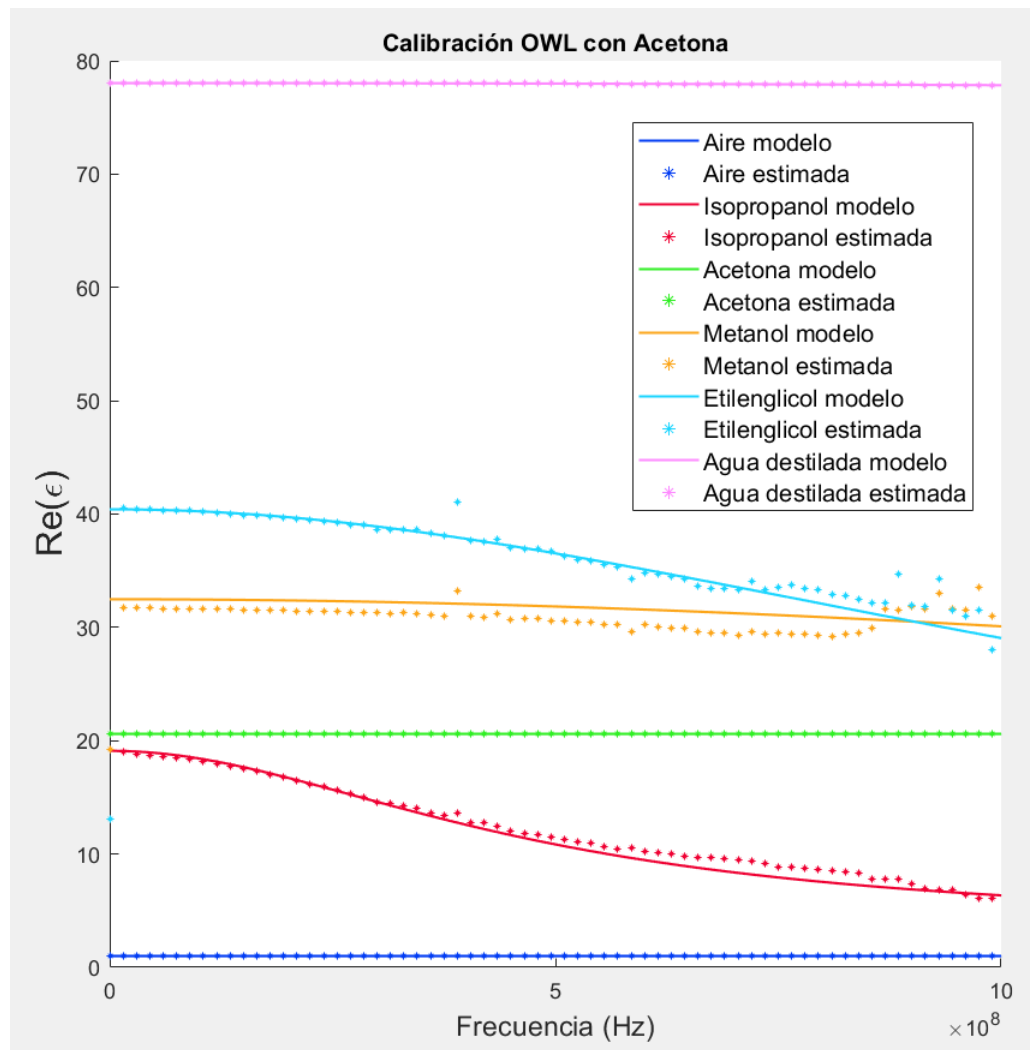


Figura 5.8: Calibración OWL con acetona hasta 1 GHz. VNA de referencia.

5.2.1.1. Error en la calibración OWL del VNA de referencia

Una vez realizada la calibración OWL con metanol, isopropanol, acetona y etilenglicol, se procede a evaluar cuál ha sido la calibración que menor error ha generado, observando el valor calculado del error $RMSE$ para cada una, que se recoge en la Tabla 5.1. Se puede observar en dicha tabla que la calibración que se corresponde con el menor error generado ha sido la calibración con acetona, por lo que se usarían las constantes c_1 , c_2 y c_3 obtenidas durante su calibración. El error se ha calculado teniendo en cuenta todo el ancho de banda, desde los 10 kHz hasta los 1,5 GHz. Por otra parte, si se selecciona el ancho de banda hasta 1 GHz, el líquido óptimo puede cambiar.

Tabla 5.1: Errores $RMSE$ durante la calibración OWL con los distintos líquidos para el VNA de referencia.

| Líquido empleado para la calibración OWL | RMSE |
|--|--------|
| Metanol | 12,397 |
| Isopropanol | 9,263 |
| Acetona | 6,378 |
| Etilenglicol | 27,804 |

5.2.2. Calibración OWL del VNA diseñado

De igual forma, los datos obtenidos tras la realización de la calibración OWL con los distintos líquidos con el VNA diseñado se pueden ver en las Figuras 5.9, 5.10, 5.11 y 5.12, correspondientes a la calibración realizada con metanol, isopropanol, acetona y etilenglicol, respectivamente. Como ya se ha adelantado en la anterior calibración, se puede observar un aumento de la dispersión a altas frecuencias, sobre 1 GHz, y los cálculos empiezan a diferir de los modelos ideales para las permitividades.

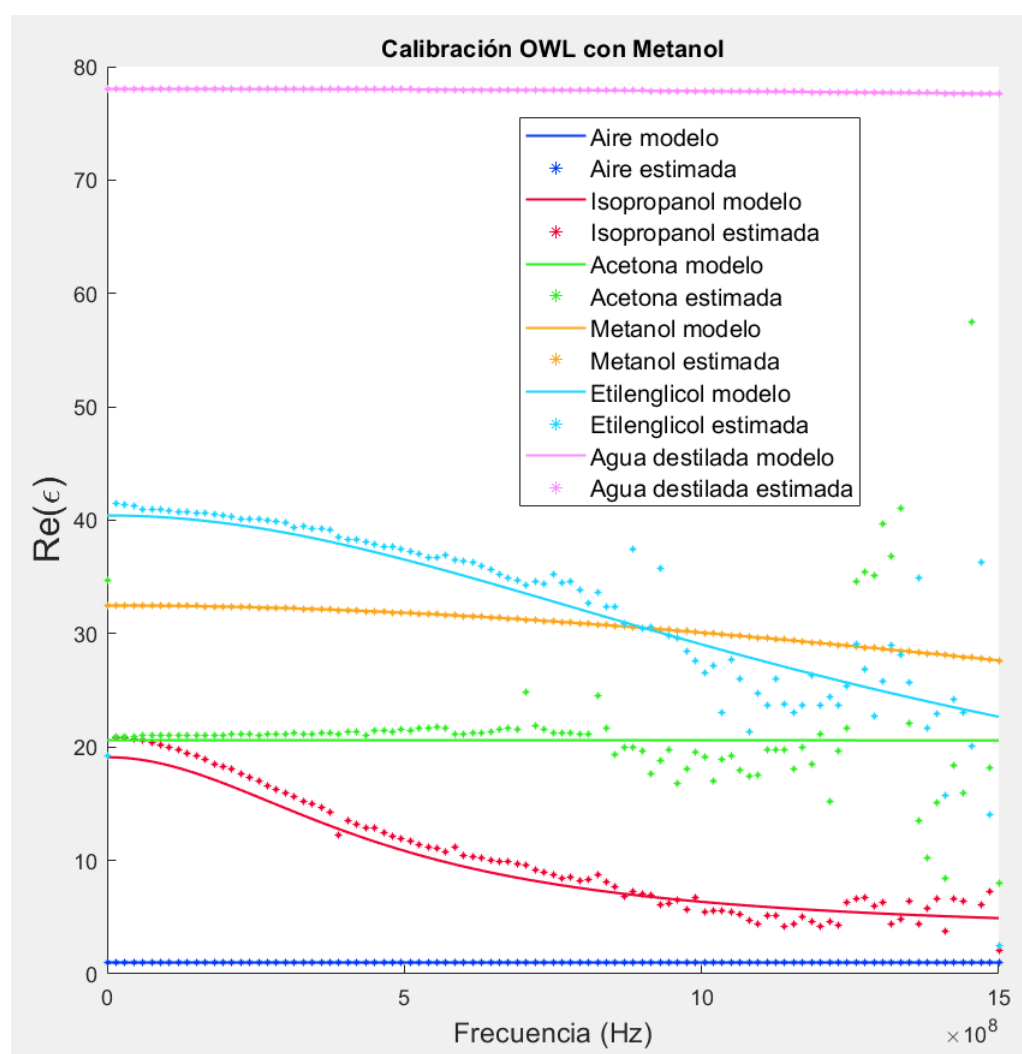


Figura 5.9: Calibración OWL con metanol. VNA diseñado.

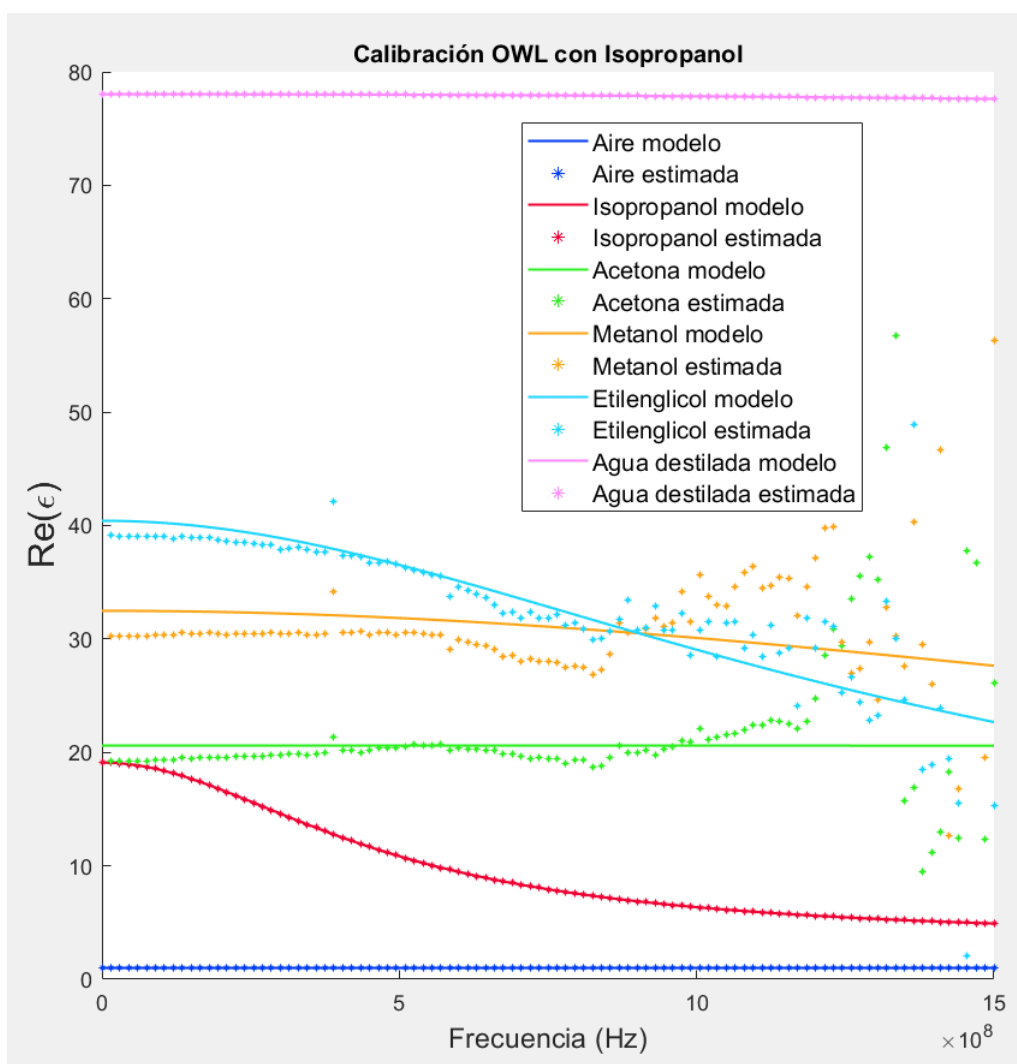


Figura 5.10: Calibración OWL con isopropanol. VNA diseñado.

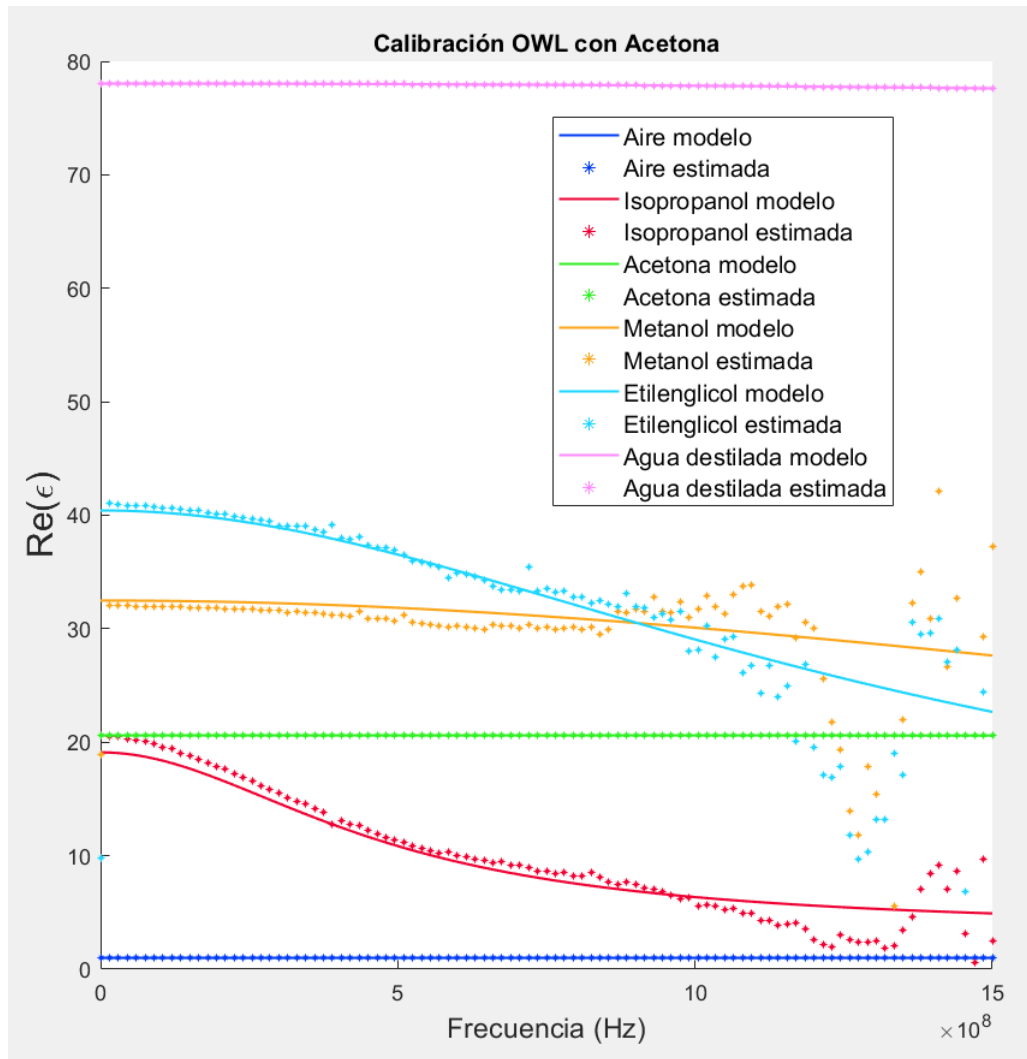


Figura 5.11: Calibración OWL con acetona. VNA diseñado.

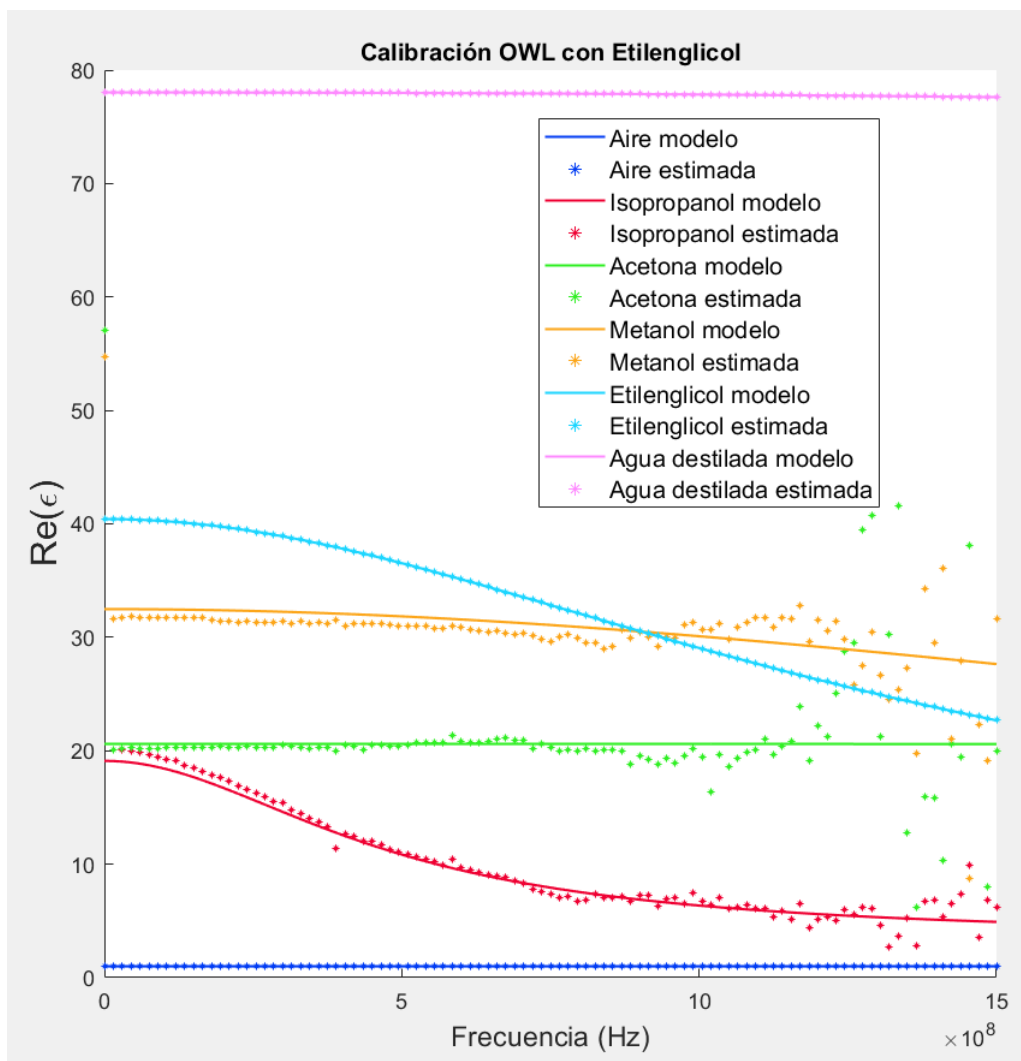


Figura 5.12: Calibración OWL con etilenglicol. VNA diseñado.

La precisión obtenida empleando la calibración OWL, al igual que el caso anterior, es alta hasta una frecuencia de 1 GHz, aproximadamente y, de la misma manera, esto puede ser debido a una limitación de frecuencia del algoritmo o a la capacidad del VNA diseñado de proporcionar una mejor precisión a partir de esas frecuencias. También puede ser debido a la longitud eléctrica equivalente de la sonda, que podría dar lugar a resonancias en ese ancho de banda. Si se seleccionan los datos obtenidos tras la calibración con acetona hasta 1 GHz, los cálculos se aproximan bastante a los modelos de la permitividad. Esto se puede observar gráficamente en la Figura 5.13.

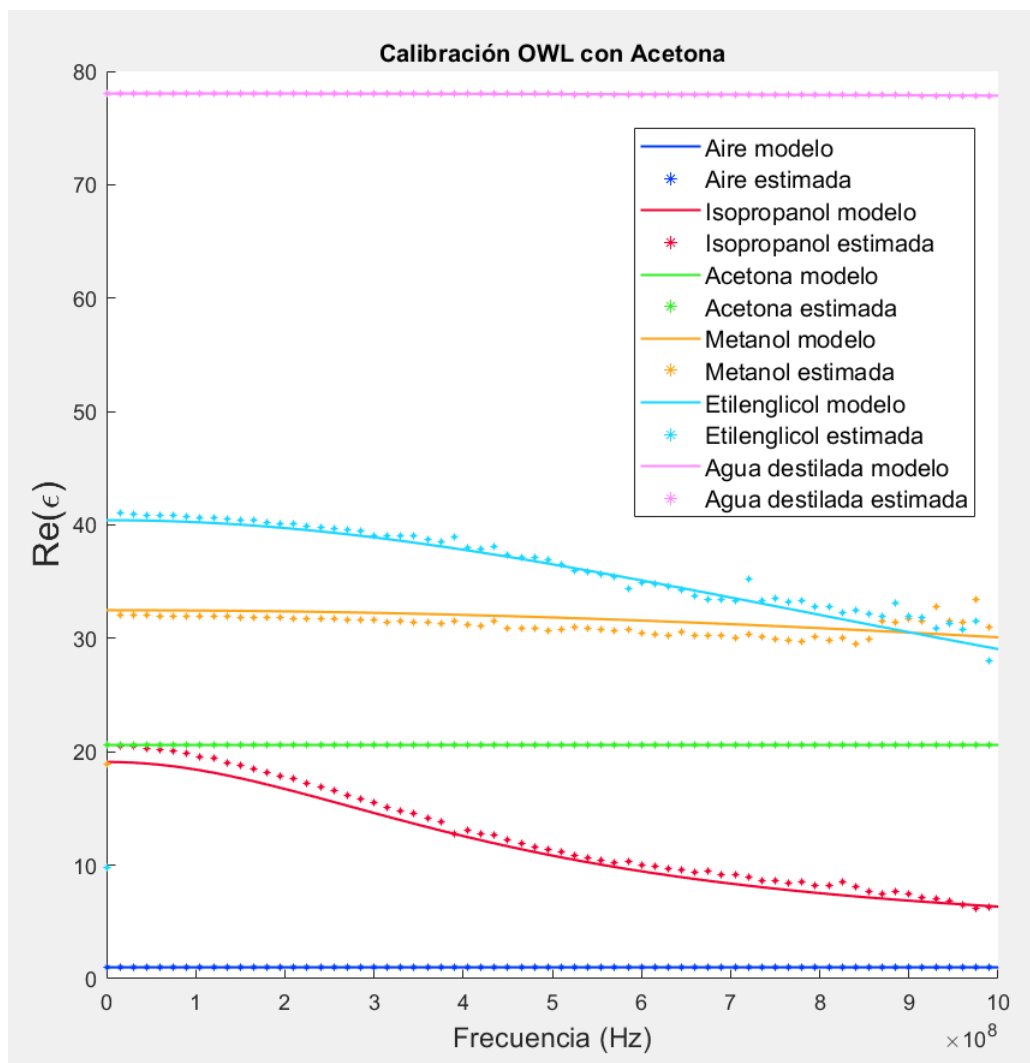


Figura 5.13: Calibración OWL con acetona hasta 1 GHz. VNA diseñado.

5.2.2.1. Error en la calibración OWL del VNA diseñado

Después de haber realizado la calibración OWL con metanol, isopropanol, acetona y etilenglicol, se comprueba cuál ha sido la calibración que menor error ha generado, considerando el valor calculado del error $RMSE$, el cual se recoge en la Tabla 5.2 para cada calibración realizada. En la tabla se puede observar que la calibración que se corresponde con el menor error generado ha sido la calibración con acetona, al igual que el caso anterior, por lo que se usarán las constantes c_1 , c_2 y c_3 obtenidas durante su calibración para ampliar el código del Datalogger, de forma que pueda calcular la permitividad a partir del coeficiente de reflexión. Igualmente, el error se ha calculado teniendo en cuenta todo el ancho de banda, desde los 10 kHz hasta los 1,5 GHz.

Tabla 5.2: Errores $RMSE$ durante la calibración OWL con los distintos líquidos para el VNA diseñado.

| Líquido empleado para la calibración OWL | RMSE |
|--|--------|
| Metanol | 11,883 |
| Isopropanol | 10,977 |
| Acetona | 6,888 |
| Etilenglicol | 23,340 |

5.3. Ampliación del código del Datalogger

Partiendo de los resultados del apartado anterior, para el VNA diseñado, se ha obtenido el menor error $RMSE$ mediante la calibración OWL con acetona. Por tanto, se ha realizado la ampliación del código en MicroPython del Datalogger incluyendo el valor de las constantes c_1 , c_2 y c_3 obtenidas durante esta calibración para todas las frecuencias, desde los 10 kHz hasta los 1,5 GHz. De esta manera, el Datalogger podrá calcular la permitividad a partir del coeficiente de reflexión medido por el VNA diseñado mediante el uso de la ecuación (4.5). El valor de las constantes complejas c_1 , c_2 y c_3 se recoge en la Tabla 5.3, y el código del Datalogger completo está adjunto en el Anexo V.2, como ya se indicó.

Tabla 5.3: Constantes c_1 , c_2 y c_3 introducidas en el código del Datalogger para el cálculo de la permitividad.

| c_1 | c_2 | c_3 |
|--|---|---|
| -1,69278558689803 -7,32078856888990j | -1,79085140212646 -7,48797144948293j | 1,00218193003791 -0,007325145329137j |
| -83,9288077320716 -867,505945311766j | -137,771022786579 -860,574782924139j | -0,847010053224312 +0,227391504204256j |
| 13,1600190538397 -460,703512871530j | -44,0544740727128 -458,847313400280j | -1,00080374975980 +0,0712928648190214j |
| 17,0348682903276 -313,725220028775j | -41,4303752298404 -311,760363036411j | -1,06318919128172 +0,108987050480106j |
| 2,08772092627441 -234,079430155553j | -55,3592985558708 -228,007336455912j | -0,988830310605097 +0,250557380212901j |
| -1,69952238096380 -183,185725497395j | -57,2007744251372 -174,370160022090j | -0,921080530784791 +0,315997159945976j |
| 0,921849703809841 -153,684611145884j | -55,5016538184971 -143,639039986244j | -0,952853228451252 +0,365242607474260j |
| 1,61288519498791 -131,259635536709j | -54,2301539199865 -120,174161136474j | -0,925708243335361 +0,417460310500782j |
| 0,846658627160821 -114,665360563608j | -54,0930321376740 -101,543157312076j | -0,885675142180305 +0,480964079300289j |
| 0,0648585200422218 -102,543383588138j | -54,4031270590194 -87,2521798488465j | -0,848243994239404 +0,550268530116380j |
| -0,129280593973334 -92,0842708670848j | -53,8049284547317 -75,1347046006361j | -0,808778008325127 +0,603957730794162j |

CAPÍTULO 5. RESULTADOS

| | | |
|--|--|--|
| -0,508084848503870 -83,4768911975476j | -53,2103241540267 -64,7925995000244j | -0,757814587762305 +0,656218751846441j |
| -0,608686258688195 -75,8322365039702j | -51,7371803970695 -55,6130444021835j | -0,711955408739971 +0,692319892839584j |
| -0,489719025877385 -70,6280593023714j | -51,1418387345553 -48,7718426002589j | -0,668523306604103 +0,746520074703764j |
| -0,729642178889669 -65,6771672687686j | -50,4993522334090 -42,1850264321947j | -0,617619183044899 +0,789817797992800j |
| -1,13901728509071 -60,9778496622192j | -49,4080549290103 -35,6946493342460j | -0,560846594500899 +0,818425746393837j |
| -0,842473720520516 -57,3217004352436j | -48,4173917306460 -30,8081481456223j | -0,511777086774004 +0,858747688101709j |
| -1,03419161918396 -54,1134951362127j | -47,5459740168053 -25,9376570483382j | -0,450152112471841 +0,891203548138251j |
| -1,19290573074744 -50,8666063640035j | -46,2114510514759 -21,3419193039304j | -0,389823202417408 +0,912934190928087j |
| -0,999704785920748 -48,2459530520609j | -45,0064049950353 -17,7029251534522j | -0,330828820764208 +0,940992654938144j |
| 0,135235119198668 -46,7173140167968j | -43,3413366175389 -16,1000832931407j | -0,294148748025757 +0,966586335526108j |
| -0,930940181155162 -43,5596343921505j | -41,5361027919905 -11,4356689358676j | -0,209107691738486 +0,944278761804964j |
| -0,850572186287369 -41,5944940245335j | -40,2246299895751 -8,71430710867175j | -0,152909970475220 +0,967843928381929j |
| -1,94004904549613 -39,4588741924704j | -38,6884845663263 -4,92083368625007j | -0,0690855541823011 +0,950016974332349j |
| -1,59353649746416 -38,0230158486680j | -37,2343744485437 -2,71197283657359j | -0,0211239657041125 +0,965791923087891j |
| -1,66718751648925 -36,2231078244920j | -35,5411912601769 -0,260760125395848j | 0,0388465691492020 +0,963146181204751j |
| 2,04308632648365 -32,0083156925058j | -31,0217593731586 -2,88916400055098j | -0,0449750409705570 +1,00525075710192j |
| -2,19845335248838 -33,3353407578179j | -32,4190743573485 +3,98764531188858j | 0,163808283583220 +0,945237612906646j |
| -2,61787299763066 -32,2043515252994j | -30,7799626733388 +5,94059060799104j | 0,223969651603002 +0,926211186633641j |
| -2,58660850009014 -31,3473795472861j | -29,6410740648150 +7,60975406782565j | 0,280369838998358 +0,909425706816795j |

CAPÍTULO 5. RESULTADOS

| | | |
|---|--|---|
| -2,29470244506033 -30,1973134420441 <i>j</i> | -28,1243939246566 +8,63721565141450 <i>j</i> | 0,331212162000316 +0,917417602384866 <i>j</i> |
| -2,57002592907881 -28,8188486264782 <i>j</i> | -26,4813240505565 +10,1150955526356 <i>j</i> | 0,396019539360332 +0,890697417229885 <i>j</i> |
| -3,05036823952861 -28,2068961641553 <i>j</i> | -25,1444429745730 +11,7606304994880 <i>j</i> | 0,467807758252665 +0,856192810849891 <i>j</i> |
| -3,00018114777014 -27,0119114953472 <i>j</i> | -23,4955645498995 +12,6972207148635 <i>j</i> | 0,522205952303857 +0,823663515338345 <i>j</i> |
| -3,12857697680783 -25,9750581840515 <i>j</i> | -21,7491432924869 +13,8545660944021 <i>j</i> | 0,572599285630087 +0,777551997155809 <i>j</i> |
| -3,39573712879821 -24,5206575298782 <i>j</i> | -19,4558813558729 +14,5683862724584 <i>j</i> | 0,614291763525577 +0,721066354861456 <i>j</i> |
| -3,42058416467723 -23,6595966954278 <i>j</i> | -17,8893425439124 +15,3254986409336 <i>j</i> | 0,661568500782271 +0,678237908842138 <i>j</i> |
| -3,48936156503186 -22,8288268150156 <i>j</i> | -16,2704368625024 +15,8751750928213 <i>j</i> | 0,710511409385768 +0,623335574351898 <i>j</i> |
| -3,43267605325420 -22,1946917913760 <i>j</i> | -14,7776813416331 +16,6666728405710 <i>j</i> | 0,751424874631388 +0,569091494928307 <i>j</i> |
| -3,70083331479136 -21,7685053610642 <i>j</i> | -13,3563339635757 +17,5505255313216 <i>j</i> | 0,799758961560533 +0,472859910185284 <i>j</i> |
| -3,62139055766100 -21,2693105439848 <i>j</i> | -11,8094393570063 +17,9313653401593 <i>j</i> | 0,821781188905111 +0,444756829564047 <i>j</i> |
| -3,48914316509254 -20,6632108036201 <i>j</i> | -10,4557652581060 +18,0519652602817 <i>j</i> | 0,841222048528141 +0,386057328286968 <i>j</i> |
| -3,50117003939603 -20,2896333074339 <i>j</i> | -9,05418773291735 +18,4256668242790 <i>j</i> | 0,864976874270084 +0,321317206683485 <i>j</i> |
| -3,53441698654052 -19,7614967374633 <i>j</i> | -7,64816476291221 +18,5426422645816 <i>j</i> | 0,882227364826000 +0,257096711234196 <i>j</i> |
| -3,82053253082305 -19,2449022121610 <i>j</i> | -6,01074040618900 +18,6948287605092 <i>j</i> | 0,889559016737744 +0,182643895165642 <i>j</i> |
| -4,15371797704654 -19,0998365417229 <i>j</i> | -4,43402108658460 +19,0473949030269 <i>j</i> | 0,885856120704003 +0,0994822058361545 <i>j</i> |
| -4,17688292268593 -18,5829880274276 <i>j</i> | -2,95668123910334 +18,7750595758736 <i>j</i> | 0,885919031837848 +0,0417915535295876 <i>j</i> |
| -4,14455325653577 -18,0266385829330 <i>j</i> | -1,70440523178456 +18,4176205876028 <i>j</i> | 0,865760933377515 -0,009665839628095 <i>j</i> |
| -4,35216415002429 -17,3915511886543 <i>j</i> | -0,157348320236487 +17,9697596074150 <i>j</i> | 0,834836249543764 -0,0643887683129762 <i>j</i> |

CAPÍTULO 5. RESULTADOS

| | | |
|---|--|--|
| −4,55154612181866 −17,2104034010992 <i>j</i> | 1,21183565468842 +17,7582825407304 <i>j</i> | 0,827854462683665 −0,125831375076595 <i>j</i> |
| −4,57359873691478 −16,6186684272123 <i>j</i> | 2,25189783972764 +17,1492416009997 <i>j</i> | 0,811799087135023 −0,163168385440999 <i>j</i> |
| −4,57830427880674 −16,0452783351733 <i>j</i> | 3,32006291244287 +16,4381661149146 <i>j</i> | 0,797614386691524 −0,205210181476714 <i>j</i> |
| −4,86210082312007 −16,3660126992123 <i>j</i> | 4,79312604881478 +16,2558057486157 <i>j</i> | 0,765466026494276 −0,272990539596616 <i>j</i> |
| −4,59701376772005 −15,6513601701636 <i>j</i> | 5,56850596106113 +15,5275764148532 <i>j</i> | 0,744389674842561 −0,326129798082031 <i>j</i> |
| −4,56983106302158 −15,3352257916183 <i>j</i> | 6,26436414147366 +14,8848679517384 <i>j</i> | 0,731561792833551 −0,374341925648769 <i>j</i> |
| −3,95921229051848 −15,5256273777522 <i>j</i> | 6,75707528997580 +15,2784867035983 <i>j</i> | 0,744227013368981 −0,415675967078150 <i>j</i> |
| −3,69340661851199 −15,4072189121726 <i>j</i> | 7,81284462024118 +14,7234142317781 <i>j</i> | 0,726822369383678 −0,458640297567145 <i>j</i> |
| −2,91297635764923 −14,5204164196263 <i>j</i> | 7,40583910672447 +13,6767858828403 <i>j</i> | 0,752450738337823 −0,461857981757774 <i>j</i> |
| −2,65628643130253 −12,3594752798833 <i>j</i> | 5,83709213386472 +12,6868024938611 <i>j</i> | 0,755087509807581 −0,452220738057148 <i>j</i> |
| −2,50544843370877 −12,7110109655656 <i>j</i> | 6,61900558981561 +12,5936300680111 <i>j</i> | 0,732872242274808 −0,493531057379066 <i>j</i> |
| −2,74985178116037 −12,0001085445240 <i>j</i> | 7,15293437890742 +11,5568669364562 <i>j</i> | 0,701482220802574 −0,515730036140174 <i>j</i> |
| −2,56466804674436 −11,5435070129712 <i>j</i> | 7,32579351673043 +10,7144454485984 <i>j</i> | 0,678509683638261 −0,533185555919474 <i>j</i> |
| −3,09575838531658 −10,9376500288324 <i>j</i> | 7,94905180920610 +9,41130828988079 <i>j</i> | 0,613571831483808 −0,536355895024802 <i>j</i> |
| −2,73403302456613 −10,6035611457968 <i>j</i> | 7,66881986886830 +9,07520647391573 <i>j</i> | 0,606765893026886 −0,574912503232810 <i>j</i> |
| −2,95696802706124 −10,0107052048201 <i>j</i> | 7,98668405014531 +7,85850574712893 <i>j</i> | 0,583127551255861 −0,590300597654352 <i>j</i> |
| −2,21633975796519 −9,60179176520526 <i>j</i> | 7,67568375049459 +7,35069957478452 <i>j</i> | 0,568323052238377 −0,612422689721290 <i>j</i> |
| −2,07525240197926 −9,79878603448475 <i>j</i> | 8,03525605710823 +6,71780137321238 <i>j</i> | 0,536724011147663 −0,656632379062454 <i>j</i> |
| −2,21380628510467 −8,81827645042891 <i>j</i> | 7,29456570625680 +5,49767578904770 <i>j</i> | 0,510982024876819 −0,641849701861813 <i>j</i> |

CAPÍTULO 5. RESULTADOS

| | | |
|--|---|--|
| -2,60140294613383 -8,83499007985952 <i>j</i> | 8,12332212024471 +4,66121375754579 <i>j</i> | 0,428946372653173 -0,656380146188602 <i>j</i> |
| -2,75484527512829 -9,05799531582912 <i>j</i> | 8,58918125613724 +3,78982118573992 <i>j</i> | 0,340953079786751 -0,709670538155653 <i>j</i> |
| -2,76908614204341 -8,79028921987965 <i>j</i> | 8,49460323381956 +3,12382213748046 <i>j</i> | 0,299053530116777 -0,734001100660474 <i>j</i> |
| -2,17963118949383 -8,95593862825690 <i>j</i> | 8,48697047822142 +3,10919001107698 <i>j</i> | 0,264132908265298 -0,770102589934800 <i>j</i> |
| -2,52776958985582 -8,63029512993491 <i>j</i> | 8,15845008878802 +1,86249543487744 <i>j</i> | 0,232396705932837 -0,759622573272546 <i>j</i> |
| -1,80051359881780 -8,79288928864775 <i>j</i> | 8,13342423159763 +1,66218420541451 <i>j</i> | 0,198767003372969 -0,795901706311812 <i>j</i> |
| -2,31975270367181 -8,12244268927813 <i>j</i> | 7,54094322540710 +0,562119784805327 <i>j</i> | 0,164170772865714 -0,736820578129763 <i>j</i> |
| -2,20889919308858 -8,04152387895250 <i>j</i> | 7,48390841817735 -0,187153980538412 <i>j</i> | 0,0867139243766885 -0,752705631906620 <i>j</i> |
| -2,90258373966401 -8,10055027812730 <i>j</i> | 7,16098309872426 -1,12868641738120 <i>j</i> | 0,0185777129216143 -0,774145387980639 <i>j</i> |
| -2,67246570396692 -8,43729021459523 <i>j</i> | 7,32299173191656 -1,48555932482908 <i>j</i> | -0,0467194351780270 -0,778261948097659 <i>j</i> |
| -3,26421853263738 -7,92178706366832 <i>j</i> | 6,73165206394902 -2,50507274248062 <i>j</i> | -0,135272038459249 -0,731298736645041 <i>j</i> |
| -3,12849231347870 -7,85064393454400 <i>j</i> | 6,23436990534521 -2,74988028106882 <i>j</i> | -0,122723369373488 -0,742487735720120 <i>j</i> |
| -3,11286969327294 -6,58130084355369 <i>j</i> | 4,86327565417353 -3,03358965332426 <i>j</i> | -0,0999846854755972 -0,692838065325815 <i>j</i> |
| -2,10995157942624 -5,46721147074420 <i>j</i> | 4,03095291194681 -2,17784394175509 <i>j</i> | -0,0596487525019280 -0,781140515546858 <i>j</i> |
| -1,97987275893466 -5,12480229837866 <i>j</i> | 3,60095136231878 -2,08156701744526 <i>j</i> | -0,102879244145643 -0,815845275574224 <i>j</i> |
| -0,972071648164580 -5,44682747032566 <i>j</i> | 4,31992248703115 -1,63461338399662 <i>j</i> | -0,208392296760385 -0,850196055773570 <i>j</i> |
| -1,02458494017768 -4,54368563507561 <i>j</i> | 3,50306710924899 -1,62444240500234 <i>j</i> | -0,264534471678079 -0,838481463954136 <i>j</i> |
| -0,811108502609516 -3,71020806548881 <i>j</i> | 2,74331533757694 -1,30069091742669 <i>j</i> | -0,238437517951559 -0,773561645689788 <i>j</i> |
| -1,16746653171871 -3,21731005524726 <i>j</i> | 2,29462951118920 -1,48526738029115 <i>j</i> | -0,324035622738556 -0,668797092583347 <i>j</i> |

CAPÍTULO 5. RESULTADOS

| | | |
|--|---|---|
| -0,917917387629233 -3,49397930733674j | 2,32894291103622 -1,78159315860355j | -0,323265022050557 -0,630458390208569j |
| -0,951579202382344 -1,80960147707951j | 1,33370677980865 -0,620260571891096j | -0,326806817422356 -0,635964979406297j |
| 0,270979695232162 +0,512216772069746j | 0,896765955217786 +1,80472882986470j | -0,228890561605064 -0,739025267251832j |
| 2,17117139466353 +2,33030321702346j | 1,73243484656967 +4,05119206927465j | -0,231920869400852 -0,768995003860186j |
| 3,85553571064121 +1,31810602717587j | 3,71771640963222 +3,77547553677974j | -0,355793975367884 -0,694401164770779j |
| 7,38641548746293 +0,858374378784431j | 7,15747774850470 +4,60341178261907j | -0,454874416142366 -0,743768120804538j |
| 9,17673882914708 -0,804142711257435j | 9,72866650966487 +3,47252620664509j | -0,556902898240804 -0,771306683033608j |
| 7,12259099819431 -3,84859357100227j | 8,87222839679363 -0,346111145338551j | -0,435195681309770 -0,585282637072333j |
| 4,75610496236057 -4,82176979065465j | 7,14160627798468 -2,02392877214963j | -0,545842336636727 -0,557922432682316j |
| 7,00112486563618 -1,61098788969930j | 8,42512137762821 +1,00714799754689j | -0,478216242036665 -0,621475949755697j |
| 0,460337111042593 -0,262072502754800j | 1,93651308294160 +0,492026137174233j | -0,407277782390163 -0,476794901446108j |
| -1,65093631707250 -1,43272540349731j | 0,00174465230759679 -1,10708328106067j | -0,391041621120480 -0,451118657101884j |
| -0,907112515505215 -7,67023640399875j | 1,36662694849404 -7,28219172009737j | -0,497216865479225 -0,162197271982651j |
| -2,18787357371833 -3,73221677781250j | -0,344652550226041 -3,37381324421837j | -0,648533024664051 -0,254126510220367j |

5.4. Ensayo con el sistema completo

Con todo el sistema completo, se ha procedido a realizar la medición del coeficiente de reflexión del isopropanol con el VNA diseñado, a la vez que se registraban los datos del S_{11} en el Datalogger. Tras el procesamiento del mismo, se han obtenido los valores del coeficiente de reflexión y de la permitividad del isopropanol en ficheros de texto, tal y como se observa en la Figura 5.14. Finalmente, se ha procedido a graficar los datos, y se pueden ver los resultados en las Figuras 5.15 y 5.16, los cuales son curvas que se asemejan mucho a los valores correspondientes para dicho líquido. En el caso de la permitividad, como ya se ha mencionado, aparece una desviación a muy alta frecuencia, pero el sistema es bastante preciso hasta más de 1 GHz.

| Archivo | Edición | Formato | Ver | Ayuda |
|--------------|--------------|---------|-----|-------|
| 1,000821456 | -0,002200694 | | | |
| 0,993465516 | -0,106038185 | | | |
| 0,974057994 | -0,210688822 | | | |
| 0,941347219 | -0,311303227 | | | |
| 0,899552072 | -0,402583928 | | | |
| 0,845604821 | -0,48734359 | | | |
| 0,77942806 | -0,5730724 | | | |
| 0,710424452 | -0,640725144 | | | |
| 0,632800729 | -0,696375626 | | | |
| 0,556944537 | -0,74161362 | | | |
| 0,474618278 | -0,781366763 | | | |
| 0,392243603 | -0,808347528 | | | |
| 0,309761226 | -0,823980062 | | | |
| 0,229702028 | -0,8321149 | | | |
| 0,15085604 | -0,834318373 | | | |
| 0,074307156 | -0,827084419 | | | |
| 0,001547244 | -0,817250296 | | | |
| -0,067010125 | -0,799261767 | | | |
| -0,131656325 | -0,774523582 | | | |
| -0,189871421 | -0,746415281 | | | |
| -0,226721495 | -0,712464831 | | | |
| -0,277349945 | -0,680596397 | | | |
| -0,324205904 | -0,646788124 | | | |
| -0,366908628 | -0,609055305 | | | |
| -0,403490995 | -0,564008545 | | | |
| -0,43847339 | -0,522101571 | | | |
| -0,458107066 | -0,489324287 | | | |

| Archivo | Edición | Formato | Ver | Ayuda |
|-------------|--------------|---------|-----|-------|
| 20,51264519 | -0,124151713 | | | |
| 20,50717289 | -0,434398488 | | | |
| 20,46402495 | -0,785991593 | | | |
| 20,32430112 | -1,292510284 | | | |
| 20,21527178 | -1,798781947 | | | |
| 20,04688866 | -2,372350105 | | | |
| 19,85526306 | -2,709816068 | | | |
| 19,59488959 | -3,15112786 | | | |
| 19,42809024 | -3,63507859 | | | |
| 19,00376948 | -3,944290644 | | | |
| 18,80096137 | -4,274135661 | | | |
| 18,50799739 | -4,655280226 | | | |
| 18,13959352 | -5,010820245 | | | |
| 17,87834952 | -5,268776746 | | | |
| 17,59323419 | -5,611338928 | | | |
| 17,20773902 | -5,967236563 | | | |
| 16,87040096 | -6,103765596 | | | |
| 16,54258727 | -6,331148738 | | | |
| 16,15342526 | -6,602475038 | | | |
| 15,79724372 | -6,762705035 | | | |
| 15,5747172 | -6,596816861 | | | |
| 15,1502664 | -6,83983654 | | | |
| 14,81633947 | -6,849602072 | | | |
| 14,55221234 | -7,077083078 | | | |
| 14,18740589 | -7,195219384 | | | |
| 13,78769079 | -7,257325992 | | | |
| 12,76723502 | -6,121343458 | | | |

Figura 5.14: Ficheros de texto con el valor de la parte real e imaginaria del coeficiente de reflexión y de la permitividad, generados por el Datalogger.

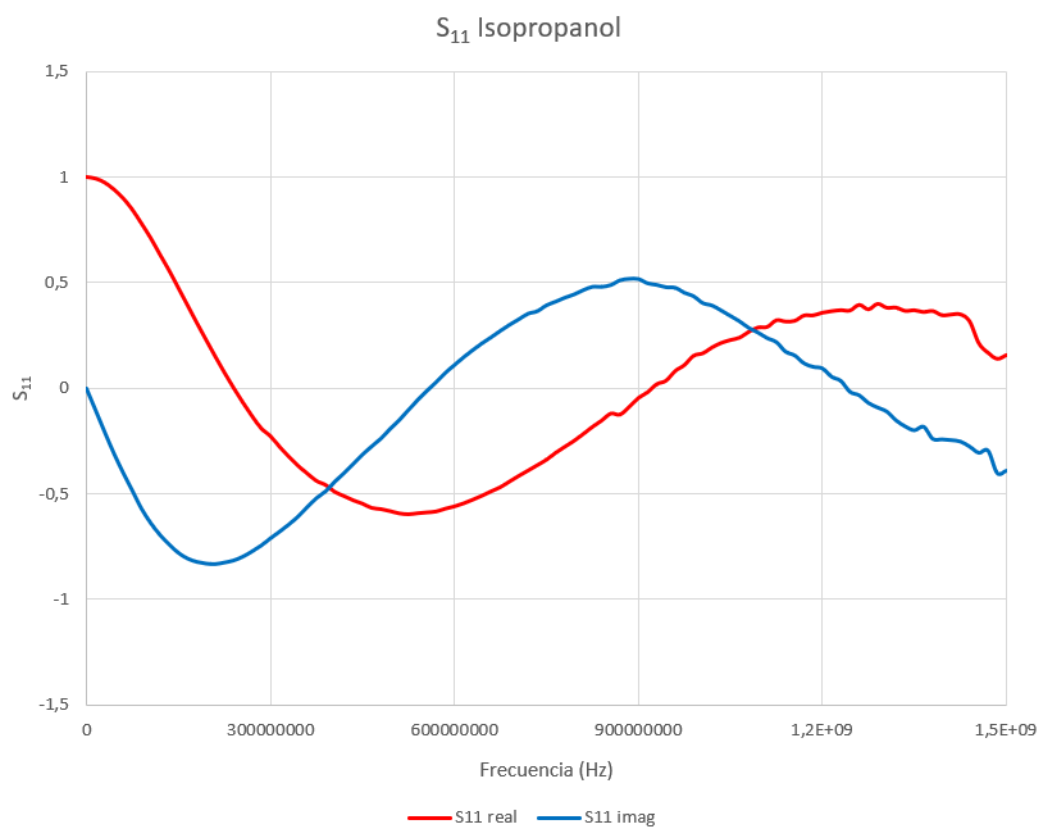


Figura 5.15: Coeficiente de reflexión del isopropanol con los datos del fichero de texto del Datalogger.

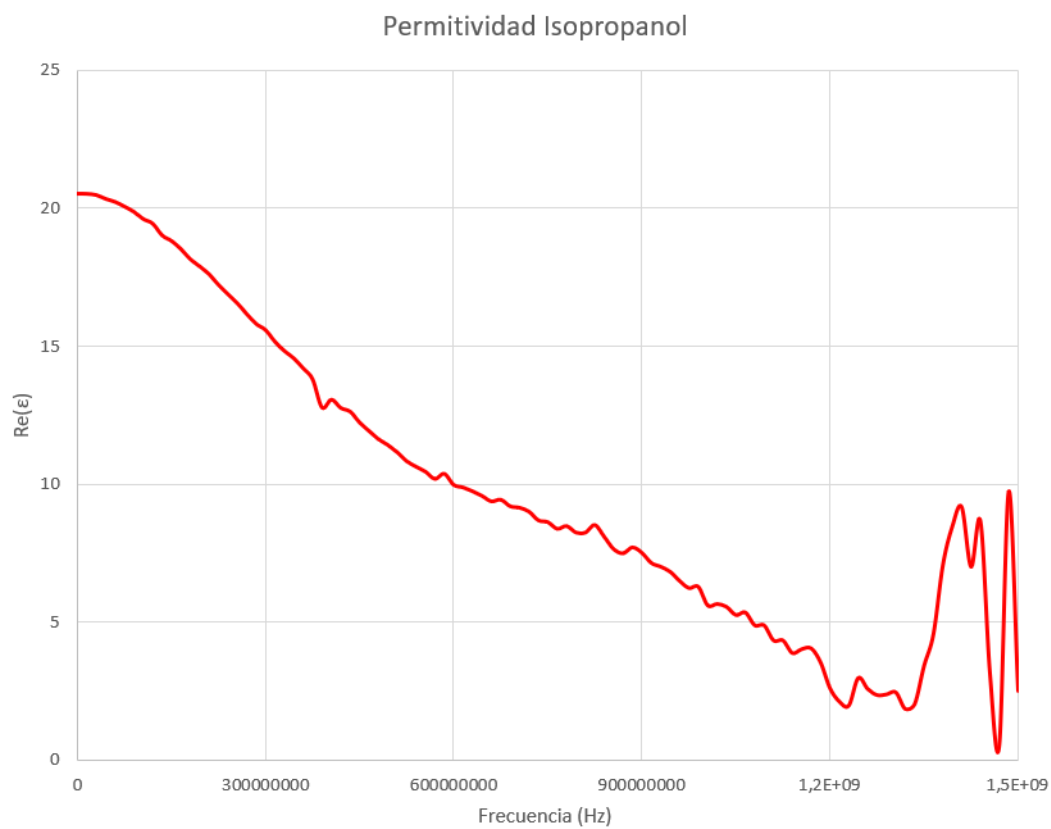


Figura 5.16: Permitividad del isopropanol con los datos del fichero de texto del Datalogger.

Capítulo 6

Conclusiones y trabajos futuros

Los objetivos principales del presente proyecto eran realizar el diseño y la fabricación de un analizador de redes vectorial con un tamaño y coste reducidos que ofreciera una buena calidad y precisión en la medida, así como la capacidad de realizar su calibración. Además, este VNA se utilizaría para la caracterización de medios dieléctricos, obteniendo la permitividad de los mismos a partir de su coeficiente de reflexión. Como objetivos particulares, se establecían realizar un estudio de la arquitectura y funcionamiento de un analizador de redes vectorial, desarrollar el diseño electrónico del VNA utilizando herramientas de diseño de PCB, así como la programación de su microcontrolador, realizar el diseño y fabricación de un Datalogger basado en una ESP32 que registre los datos medidos por el VNA a través de UART, implementar un sistema de comunicación SDI-12 para el intercambio de datos con este protocolo, adquirir todos los componentes electrónicos para la fabricación del prototipo y realizar ensayos con el VNA diseñado para validar su funcionamiento en la medida de la permitividad, extendiendo su calibración a distintos líquidos.

En este sentido, el diseño de un analizador de redes vectorial de tamaño reducido que ofrece alta precisión de medida se ha realizado. Su coste, teniendo en cuenta todos los componentes que lo forman, es inferior a 17 €, lo cual se trata de un precio muy reducido considerando el precio de VNA comerciales, como el modelo Agilent 4395A, que realiza las mediciones hasta 500 MHz y tiene un coste de alrededor de 5.000 €. Por otra parte, a pesar no haber dispuesto de la tecnología suficiente para realizar el montaje de la PCB correctamente, sí se ha podido comprobar el diseño completo durante

los ensayos llevados a cabo, partiendo de un NanoVNA [42] que se ha reducido hasta dejarlo a la mínima expresión, obteniendo el diseño aquí realizado, y todos los bloques que lo componen funcionan correctamente en conjunto, haciendo que el sistema que forma el VNA diseñado efectúe adecuadamente las mediciones a la hora de realizar la calibración y a la hora de realizar las medidas sobre los distintos materiales de los ensayos. De esta forma, se cumple con los objetivos principales del trabajo.

Del mismo modo, antes de comenzar con el diseño del VNA, se ha realizado un estudio previo acerca de la arquitectura y funcionamiento de un VNA, con el objetivo de lograr hacer un diseño que redujera al máximo el número de componentes necesario para lograr su correcto funcionamiento. Además, a la hora de realizar el diseño, se ha utilizado la herramienta de diseño de PCB Altium Designer, que ha permitido diseñar el esquemático y, a partir de ahí, construir la PCB, incluyendo todos los componentes fundamentales para su funcionamiento. Asimismo, se ha realizado la programación del microcontrolador STM32F072 en lenguaje C, empleando el sistema operativo en tiempo real ChibiOS, de forma que gestiona todo el sistema para que el VNA funcione de forma correcta.

Adicionalmente, se ha realizado el diseño del esquemático y la PCB de un Datalogger basado en una ESP32 mediante el uso de Altium Designer, incluyendo la posibilidad de poder registrar los datos medidos por el VNA en un barrido de frecuencias y de poder realizar la calibración OSL, todo esto mediante una comunicación UART con el VNA. También se ha incluido un adaptador USB/UART para realizar la comunicación fácilmente desde un ordenador y un circuito adaptador UART/SDI-12 para exportar los datos desde la ESP32 hacia un maestro SDI-12 que emplee este mismo estándar. Para que todo esto funcione, se ha programado la ESP32 en MicroPython, incluyendo la parte de comunicación con el VNA y de comunicación a través de SDI-12. No obstante, como ya se ha indicado en su correspondiente apartado, por falta de tiempo a la hora de pedir los componentes y la PCB física, no se ha podido construir profesionalmente, pero sí se ha probado el diseño funcional mediante el montaje del circuito en una placa de prototipado rápido, corroborando que su funcionamiento es correcto.

Por último, a la hora de realizar los ensayos, se ha puesto en práctica el procedimiento para obtener la permitividad del método de la sonda coaxial de final abierto, obteniendo los datos del coeficiente de reflexión de los distintos materiales a través de las medidas del VNA efectuadas en la punta de dicha sonda. Una vez registrados todos los datos, se ha empleado un código

en MATLAB para realizar la calibración OWL, obteniendo unas constantes que permiten calcular la permitividad del material a partir de su coeficiente de reflexión. Con estos datos ya calculados, se ha incluido una última parte en el código en MicroPython de la ESP32 que realiza estos cálculos, según lo indicado en su correspondiente apartado. De esta forma, el Datalogger registra los datos relativos al coeficiente de reflexión y la permitividad compleja del material bajo estudio, y los exporta en formato de texto para su posterior procesamiento. De este modo, se logra cumplir todos los objetivos propuestos en el presente proyecto.

6.1. Trabajos futuros

Partiendo de las conclusiones que se han obtenido, en esta sección se plantean recomendaciones y líneas de actuación para el desarrollo de trabajos futuros a partir del VNA diseñado en el presente proyecto.

En primer lugar, tras comprobar que los resultados obtenidos después de realizar las mediciones son precisos, queda pendiente el envío del diseño a fabricar con los medios oportunos para poder validar con total certeza el funcionamiento del equipo diseñado. Por otra parte, una línea interesante a desarrollar es la ampliación del rango de frecuencias que es capaz de medir el VNA. Debido a su reducido tamaño y al objetivo de intentar conseguir un coste reducido para lograr una mayor accesibilidad del mismo, los componentes utilizados hacen que la banda de frecuencias y la potencia utilizadas se vean limitadas. Sería interesante lograr mediciones en un rango de frecuencias superior para obtener más características del medio bajo estudio a altas frecuencias y para poder caracterizar otro tipo de materiales, así como los distintos tipos de polarización existentes. También, queda abierta la posibilidad de utilizar la comunicación I²C a través del puerto I2C incluido en el diseño del VNA para realizar la comunicación con cualquier otro dispositivo para el intercambio de datos, así como el uso del puerto P1 para la programación y depuración del microcontrolador a través de SWD. A su vez, queda pendiente el diseño y definición de un encapsulado y sistema de aislamiento con impresión 3D para proteger la circuitería del VNA y mejorar su portabilidad. Además, tras haber obtenido una buena precisión en las mediciones y los resultados y haber incluido en el código del Datalogger la forma de obtener la permitividad directamente a partir de la medida realizada del coeficiente de reflexión, se pretende llevar a cabo su validación en

campo, generando un gran número de medidas y tomando como referencia analizadores de redes vectoriales comerciales. De la misma forma, queda pendiente el uso más exhaustivo de la comunicación SDI-12 implementada con distintos maestros SDI-12 para validar su funcionamiento.

Asimismo, queda abierta la posibilidad de aplicar el VNA diseñado en laboratorios de biomedicina, con el objetivo de realizar el estudio de las propiedades dieléctricas de los tejidos para la detección de enfermedades como el cáncer, dada la gran comodidad de su uso en laboratorio por su reducido tamaño, además de su coste. Adicionalmente, se plantea la posibilidad de ampliar las funcionalidades del Datalogger, permitiendo que realice una conexión Wi-Fi con la finalidad de que pueda compartir los datos registrados con cualquier parte del mundo a través de Internet. Además, la ESP32 que contiene el Datalogger diseñado ya está preparada para realizar dicha conexión Wi-Fi.

Por último, con el avance reciente de la inteligencia artificial y del *Machine Learning* debido a la alta capacidad de computación actual, se podría realizar el entrenamiento de una red neuronal artificial, con el objetivo de lograr la clasificación del medio bajo estudio a partir de los datos del espectro de su permitividad compleja. Para ello, sería necesario utilizar una gran cantidad de datos de entrada o *dataset*, para lo cual será necesario realizar muchas mediciones de muchos materiales distintos, con el objetivo de que la red aprenda entrenándose con ese conjunto de datos. El entrenamiento se llevaría a cabo en un ordenador que tuviera una alta potencia computacional y que precisara de una GPU (*Graphics Processing Unit*, unidad de procesamiento gráfico) de gran capacidad, utilizando las librerías de TensorFlow y realizando la programación en Python. Tras ello, se exportaría el modelo entrenado para después importarlo en un microcontrolador, siendo necesario el uso de TensorFlow Lite para microcontroladores, y teniendo en cuenta los microcontroladores compatibles con dicha librería.

Anexos

Anexo I

Hojas de características

I.1. VNA

I.1.1. STM32F072C8T6



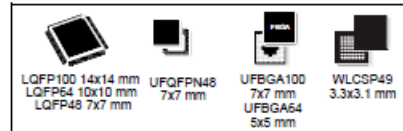
STM32F072x8 STM32F072xB

ARM[®]-based 32-bit MCU, up to 128 KB Flash, crystal-less USB FS 2.0, CAN, 12 timers, ADC, DAC & comm. interfaces, 2.0 - 3.6 V

Datasheet - production data

Features

- Core: ARM[®] 32-bit Cortex[®]-M0 CPU, frequency up to 48 MHz
- Memories
 - 64 to 128 Kbytes of Flash memory
 - 16 Kbytes of SRAM with HW parity
- CRC calculation unit
- Reset and power management
 - Digital and I/O supply: $V_{DD} = 2.0\text{ V to }3.6\text{ V}$
 - Analog supply: $V_{DDA} = V_{DD}$ to 3.6 V
 - Selected I/Os: $V_{DDIO2} = 1.65\text{ V to }3.6\text{ V}$
 - Power-on/Power down reset (POR/PDR)
 - Programmable voltage detector (PVD)
 - Low power modes: Sleep, Stop, Standby
 - V_{BAT} supply for RTC and backup registers
- Clock management
 - 4 to 32 MHz crystal oscillator
 - 32 kHz oscillator for RTC with calibration
 - Internal 8 MHz RC with x6 PLL option
 - Internal 40 kHz RC oscillator
 - Internal 48 MHz oscillator with automatic trimming based on ext. synchronization
- Up to 87 fast I/Os
 - All mappable on external interrupt vectors
 - Up to 68 I/Os with 5V tolerant capability and 19 with independent supply V_{DDIO2}
- Seven-channel DMA controller
- One 12-bit, 1.0 μs ADC (up to 16 channels)
 - Conversion range: 0 to 3.6 V
 - Separate analog supply: 2.4 V to 3.6 V
- One 12-bit D/A converter (with 2 channels)
- Two fast low-power analog comparators with programmable input and output
- Up to 24 capacitive sensing channels for touchkey, linear and rotary touch sensors

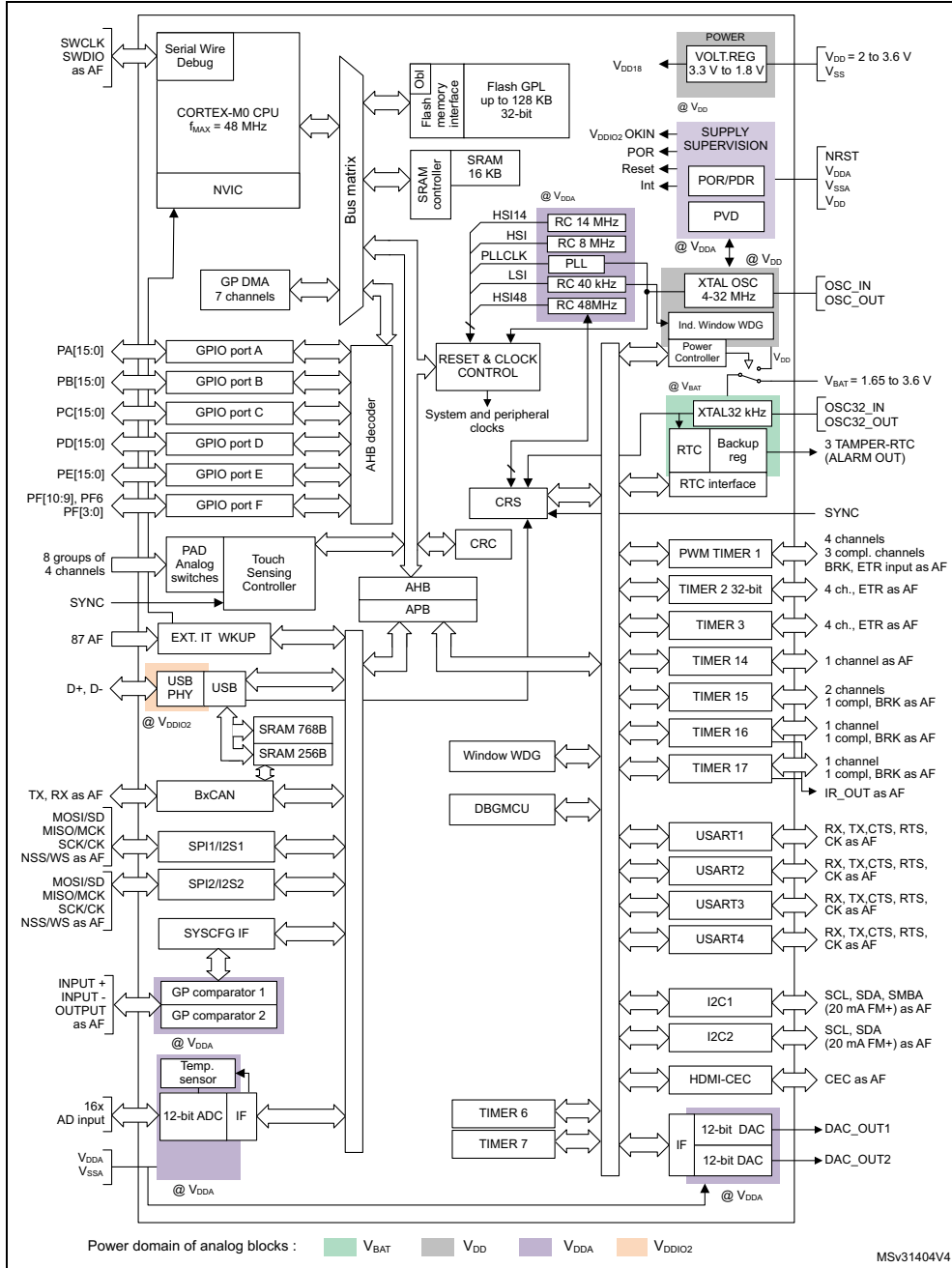


- Calendar RTC with alarm and periodic wakeup from Stop/Standby
- 12 timers
 - One 16-bit advanced-control timer for six-channel PWM output
 - One 32-bit and seven 16-bit timers, with up to four IC/OC, OCN, usable for IR control decoding or DAC control
 - Independent and system watchdog timers
 - SysTick timer
- Communication interfaces
 - Two I²C interfaces supporting Fast Mode Plus (1 Mbit/s) with 20 mA current sink, one supporting SMBus/PMBus and wakeup
 - Four USARTs supporting master synchronous SPI and modem control, two with ISO7816 interface, LIN, IrDA, auto baud rate detection and wakeup feature
 - Two SPIs (18 Mbit/s) with 4 to 16 programmable bit frames, and with I²S interface multiplexed
 - CAN interface
 - USB 2.0 full-speed interface, able to run from internal 48 MHz oscillator and with BCD and LPM support
- HDMI CEC wakeup on header reception
- Serial wire debug (SWD)
- 96-bit unique ID
- All packages ECOPACK[®]2

Table 1. Device summary

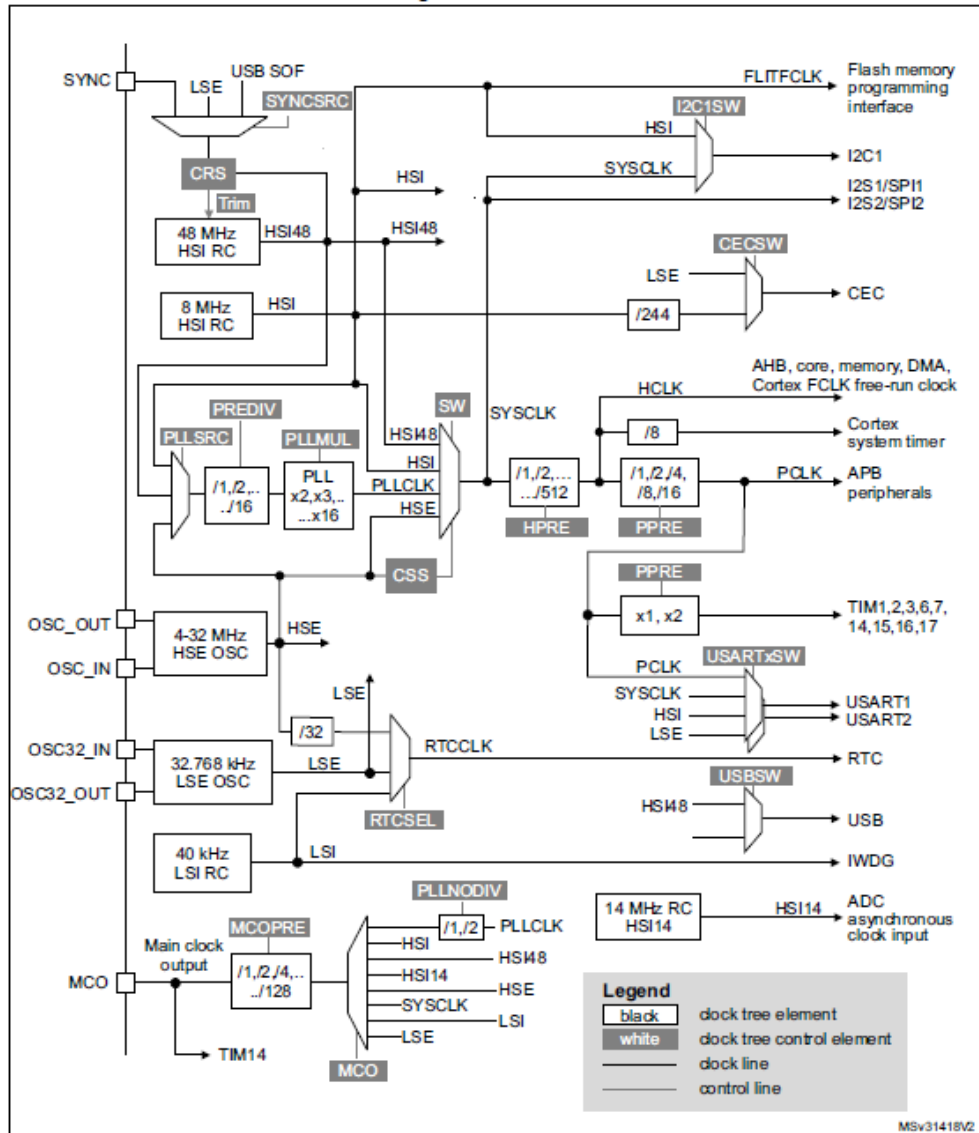
| Reference | Part number |
|----------------------------|---|
| STM32F072x8 STM32F072xB | STM32F072C8, STM32F072R8, STM32F072V8, STM32F072CB, STM32F072RB, STM32F072VB |

Figure 1. Block diagram



back to the internal RC oscillator. A software interrupt is generated if enabled. Similarly, full interrupt management of the PLL clock entry is available when necessary (for example on failure of an indirectly used external crystal, resonator or oscillator).

Figure 2. Clock tree



Several prescalers allow the application to configure the frequency of the AHB and the APB domains. The maximum frequency of the AHB and the APB domains is 48 MHz.

Figure 6. LQFP64 package pinout

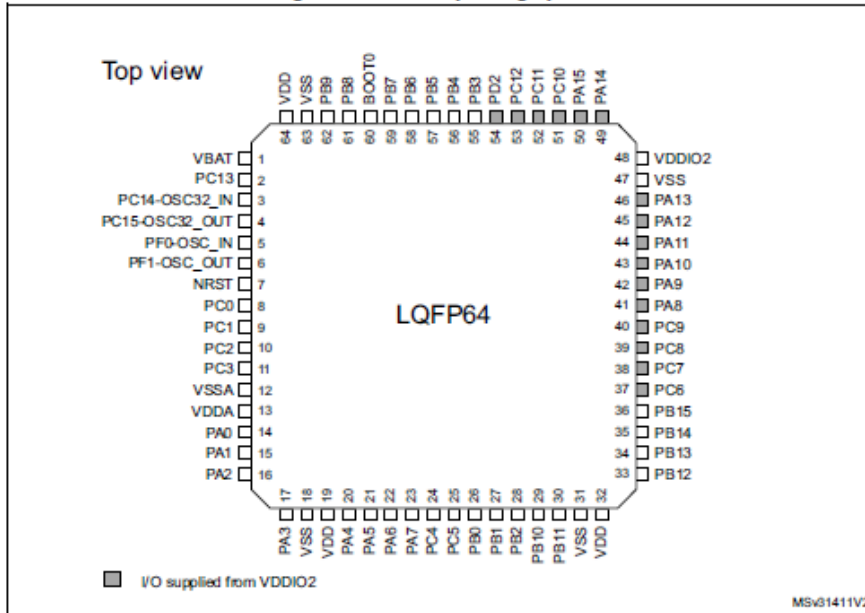
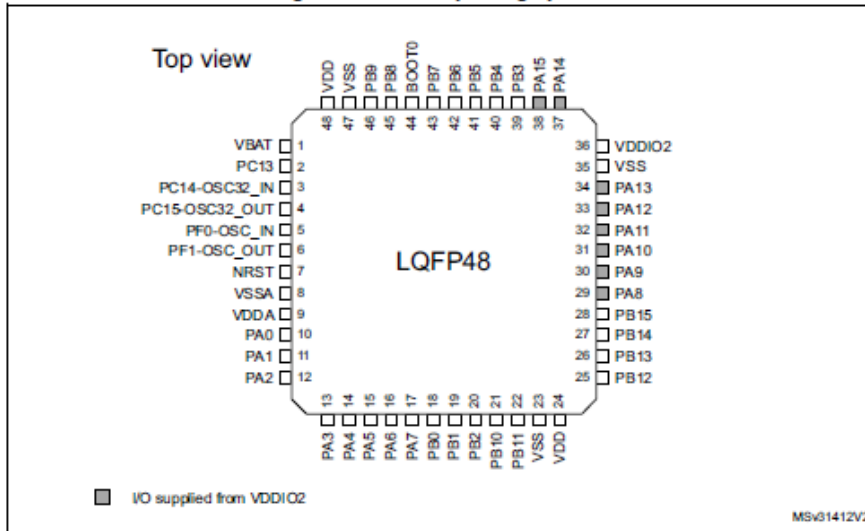
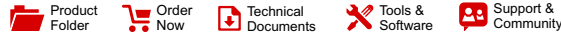


Figure 7. LQFP48 package pinout



I.1.2. Códec TLV320AIC3204



TLV320AIC3204

SLOS602E – SEPTEMBER 2008 – REVISED SEPTEMBER 2019

TLV320AIC3204 Ultra Low Power Stereo Audio Codec

1 Features

- Stereo Audio DAC with 100dB SNR
- 4.1mW Stereo 48ksps DAC Playback
- Stereo Audio ADC with 93dB SNR
- 6.1mW Stereo 48ksps ADC Record
- PowerTune™
- Extensive Signal Processing Options
- Six Single-Ended or 3 Fully-Differential Analog Inputs
- Stereo Analog and Digital Microphone Inputs
- Stereo Headphone Outputs
- Stereo Line Outputs
- Very Low-Noise PGA
- Low Power Analog Bypass Mode
- Programmable Microphone Bias
- Programmable PLL
- Integrated LDO
- 5-mm x 5-mm, 32-Pin VQFN Package

2 Applications

- Portable Navigation Devices (PND)
- Portable Media Player (PMP)
- Mobile Handsets
- Communication
- Portable Computing

3 Description

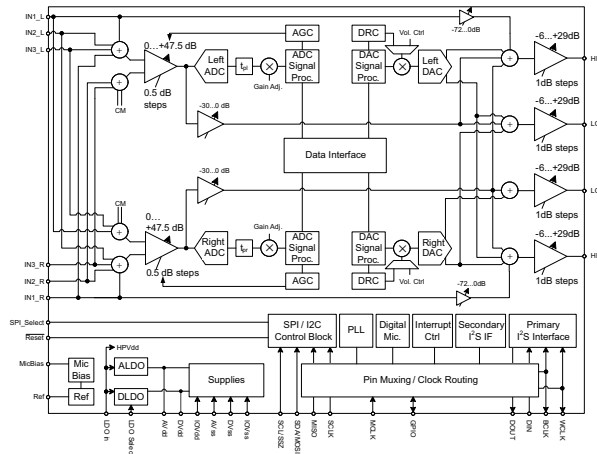
The TLV320AIC3204 (also called the AIC3204) is a flexible, low-power, low-voltage stereo audio codec with programmable inputs and outputs, PowerTune capabilities, fixed predefined and parameterizable signal-processing blocks, integrated PLL, integrated LDOs and flexible digital interfaces.

Device Information⁽¹⁾

| PART NUMBER | PACKAGE | BODY SIZE (NOM) |
|---------------|-----------|-------------------|
| TLV320AIC3204 | VQFN (32) | 5.00 mm x 5.00 mm |

(1) For all available packages, see the orderable addendum at the end of the datasheet.

Simplified Block Diagram



An IMPORTANT NOTICE at the end of this data sheet addresses availability, warranty, changes, use in safety-critical applications, intellectual property matters and other important disclaimers. PRODUCTION DATA.

I.1.3. Si5351A-B-GT



SILICON LABS

Si5351A/B/C-B

I²C-PROGRAMMABLE ANY-FREQUENCY CMOS CLOCK GENERATOR + VCXO

Features

- www.silabs.com/custom-timing
- Generates up to 8 non-integer-related frequencies from 2.5 kHz to 200 MHz
- I²C user definable configuration
- Exact frequency synthesis at each output (0 ppm error)
- Highly linear VCXO
- Optional clock input (CLKIN)
- Low output period jitter: < 70 ps pp, typ
- Configurable spread spectrum selectable at each output
- Operates from a low-cost, fixed frequency crystal: 25 or 27 MHz
- Supports static phase offset
- Programmable rise/fall time control
- Glitchless frequency changes
- Separate voltage supply pins provide level translation:
 - Core VDD: 2.5 or 3.3 V
 - Output VDDO: 1.8, 2.5, or 3.3 V
- Excellent PSRR eliminates external power supply filtering
- Very low power consumption
- Adjustable output delay
- Available in 2 packages types:
 - 10-MSOP: 3 outputs
 - 20-QFN (4x4 mm): 8 outputs
- PCIe Gen 1 compatible
- Supports HCSL compatible swing

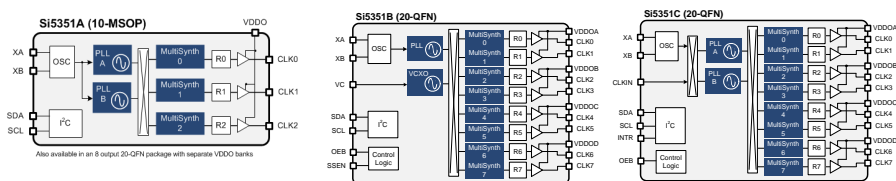
Applications

- HDTV, DVD/Blu-ray, set-top box
- Audio/video equipment, gaming
- Printers, scanners, projectors
- Handheld Instrumentation
- Residential gateways
- Networking/communication
- Servers, storage
- XO replacement

Description

The Si5351 is an I²C configurable clock generator that is ideally suited for replacing crystals, crystal oscillators, VCXOs, phase-locked loops (PLLs), and fanout buffers in cost-sensitive applications. Based on a PLL/VCXO + high resolution MultiSynth fractional divider architecture, the Si5351 can generate any frequency up to 200 MHz on each of its outputs with 0 ppm error. Three versions of the Si5351 are available to meet a wide variety of applications. The Si5351A generates up to 8 free-running clocks using an internal oscillator for replacing crystals and crystal oscillators. The Si5351B adds an internal VCXO and provides the flexibility to replace both free-running clocks and synchronous clocks. It eliminates the need for higher cost, custom pullable crystals while providing reliable operation over a wide tuning range. The Si5351C offers the same flexibility but synchronizes to an external reference clock (CLKIN).

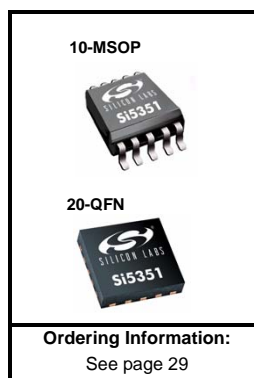
Functional Block Diagram



Rev. 1.0 4/15

Copyright © 2015 by Silicon Laboratories

Si5351A/B/C-B



I.1.4. SA612AD

SA612A

Double-balanced mixer and oscillator

Rev. 3 — 4 June 2014

Product data sheet

1. General description

The SA612A is a low-power VHF monolithic double-balanced mixer with on-board oscillator and voltage regulator. It is intended for low cost, low-power communication systems with signal frequencies to 500 MHz and local oscillator frequencies as high as 200 MHz. The mixer is a 'Gilbert cell' multiplier configuration that provides gain of 14 dB or more at 45 MHz.

The oscillator can be configured for a crystal, a tuned tank operation, or as a buffer for an external LO. Noise figure at 45 MHz is typically below 6 dB and makes the device well-suited for high-performance cordless phone/cellular radio. The low power consumption makes the SA612A excellent for battery-operated equipment. Networking and other communications products can benefit from very low radiated energy levels within systems. The SA612A is available in an 8-lead SO (surface-mounted miniature package).

2. Features and benefits

- Low current consumption
- Low cost
- Operation to 500 MHz
- Low radiated energy
- Low external parts count; suitable for crystal/ceramic filter
- Excellent sensitivity, gain, and noise figure

3. Applications

- Cordless telephone
- Portable radio
- VHF transceivers
- RF data links
- Sonobuoys
- Communications receivers
- Broadband LANs
- HF and VHF frequency conversion
- Cellular radio mixer/oscillator



4. Ordering information

Table 1. Ordering information

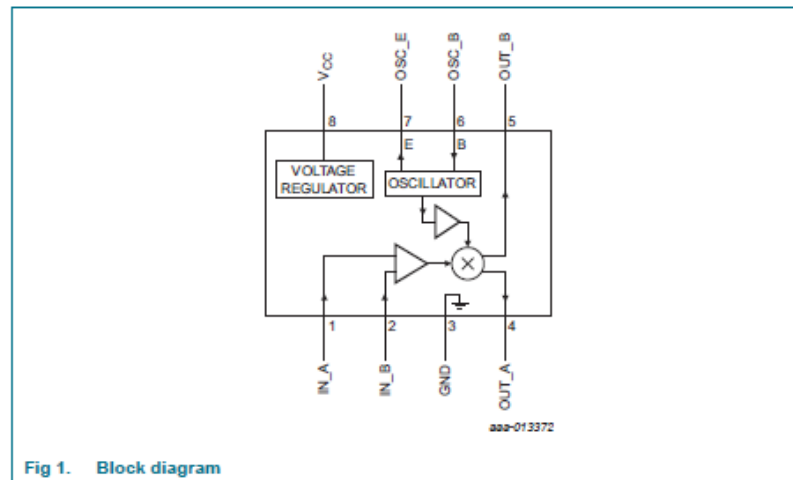
| Type number | Topside marking | Package | | Version |
|-------------|-----------------|---------|---|---------|
| | | Name | Description | |
| SA612AD/01 | SA612A | SO8 | plastic small outline package; 8 leads; body width 3.9 mm | SOT96-1 |

4.1 Ordering options

Table 2. Ordering options

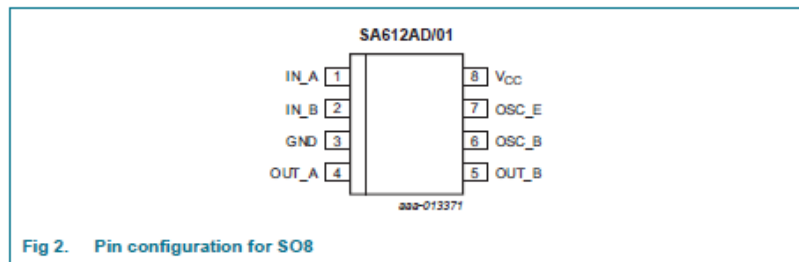
| Type number | Orderable part number | Package | Packing method | Minimum order quantity | Temperature |
|-------------|-----------------------|---------|--|------------------------|-------------------------------------|
| SA612AD/01 | SA612AD/01,112 | SO8 | Standard marking *IC's tube - DSC bulk pack | 2000 | T _{amb} = -40 °C to +85 °C |
| | SA612AD/01,118 | SO8 | Reel 13" Q1/T1 *Standard mark SMD | 2500 | T _{amb} = -40 °C to +85 °C |

5. Block diagram



6. Pinning information

6.1 Pinning



6.2 Pin description

Table 3. Pin description

| Symbol | Pin | Description |
|--------|-----|-----------------------------|
| IN_A | 1 | RF input A |
| IN_B | 2 | RF input B |
| GND | 3 | ground |
| OUT_A | 4 | mixer output A |
| OUT_B | 5 | mixer output B |
| OSC_B | 6 | oscillator input (base) |
| OSC_E | 7 | oscillator output (emitter) |
| Vcc | 8 | supply voltage |

7. Functional description

The SA612A is a Gilbert cell, an oscillator/buffer, and a temperature-compensated bias network as shown in [Figure 3](#). The Gilbert cell is a differential amplifier (IN_A and IN_B pins) that drives a balanced switching cell. The differential input stage provides gain and determines the noise figure and signal handling performance of the system.

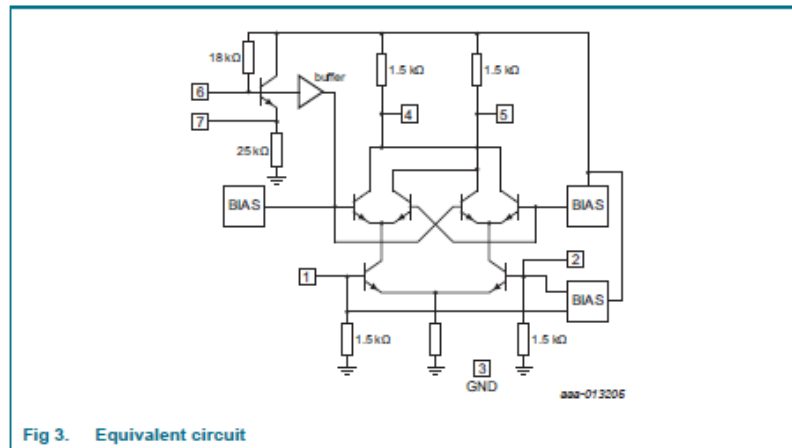


Fig 3. Equivalent circuit

The SA612A is designed for optimum low-power performance. When used with the SA614A as a 45 MHz cordless phone/cellular radio second IF and demodulator, the SA612A is capable of receiving -119 dBm signals with a 12 dB S/N ratio. Third-order intercept is typically -15 dBm (that is approximately $+5$ dBm output intercept because of the RF gain). The system designer must be cognizant of this large signal limitation. When designing LANs or other closed systems where transmission levels are high, and small-signal or signal-to-noise issues are not critical, the input to the SA612A should be appropriately scaled.

Besides excellent low-power performance well into VHF, the SA612A is flexible. The input, output and oscillator ports support various configurations provided the designer understands certain constraints, which are explained here.

The RF inputs (IN_A and IN_B pins) are biased internally. They are symmetrical. The equivalent AC input impedance is approximately $1.5 \text{ k}\Omega \parallel 3 \text{ pF}$ through 50 MHz. IN_A and IN_B pins can be used interchangeably, but they should not be DC biased externally. [Figure 4](#) shows three typical input configurations.

I.1.5. Oscilador VCTCXO de 26 MHz



TX Type 3.2 x 2.5 mm SMD Voltage Controlled Temperature Compensated Crystal Oscillator

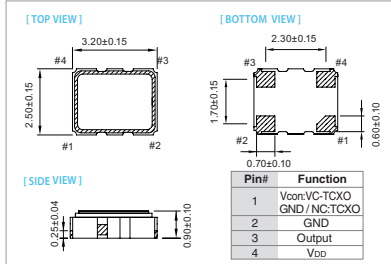
- FEATURE**
- Typical 3.2 x 2.5 x 0.9 mm SMD.
 - For automatic assembly.
 - Compactness and lightweight.
 - Low power consumption.
 - VCTCXO available.
 - Low thickness

- TYPICAL APPLICATION**
- GPS
 - WiMAX, WLAN
 - Mobile Phone

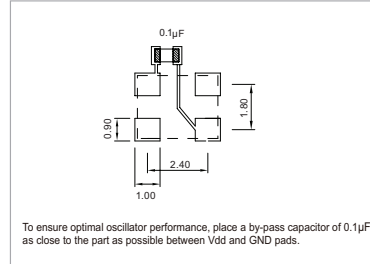


RoHS Compliant

DIMENSION (mm)



SOLDER PAD LAYOUT (mm)



ELECTRICAL SPECIFICATION

| Parameter | 3.3 / 3.0 / 2.8 V | | 2.5 V | | 1.8 V | | Unit |
|---|---|-------|-----------|-------|-----------|------|------------------|
| | Min. | Max. | Min. | Max. | Min. | Max. | |
| Supply Voltage Variation (V _{DD}) | 2.66 | 3.465 | 2.375 | 2.625 | 1.71 | 1.89 | V |
| Frequency Range | 10 | 52 | 10 | 52 | 10 | 52 | MHz |
| Standard Frequency | 10, 12.8, 13, 16.367667, 16.368, 16.369, 19.2, 19.44, 20, 25, 26, 27, 30, 30.72, 32, 38.4 | | | | | | |
| Frequency Tolerance* | - | ±2.0 | - | ±2.0 | - | ±2.0 | ppm |
| Frequency stability | Vs Supply Voltage (±5%) change | | | | | | |
| | - | ±0.2 | - | ±0.2 | - | ±0.2 | ppm |
| | Vs Load (±10%) change | | | | | | |
| | - | ±0.2 | - | ±0.2 | - | ±0.2 | ppm |
| | Vs Aging (@ 1st year) | | | | | | |
| | - | ±1.0 | - | ±1.0 | - | ±1.0 | ppm |
| Supply Current | 10 MHz ≤ F _o ≤ 26 MHz | | | | | | |
| | - | 1.5 | - | 1.5 | - | 1.5 | mA |
| | 26 MHz < F _o ≤ 52 MHz | | | | | | |
| | - | 2.0 | - | 2.0 | - | 2.0 | mA |
| Output Level (Clipped sine wave) | 0.8 | | 0.8 | | 0.8 | | V _{p-p} |
| Load | 10KΩ/10pF | | 10KΩ/10pF | | 10KΩ/10pF | | |
| Control Voltage Range (VCTCXO) | 0.5 | 2.5 | 0.4 | 2.4 | 0.3 | 1.5 | V |
| Pulling Range (VCTCXO) | ±5.0 | - | ±5.0 | - | ±5.0 | - | ppm |
| V _c Input Impedance (VCTCXO) | 500 | - | 500 | - | 500 | - | kΩ |
| Phase Noise @ 19.2 MHz | 100 Hz | | -115 | | -115 | | dBc/Hz |
| | 1 kHz | | -135 | | -135 | | |
| | 10 kHz | | -148 | | -148 | | |
| Start time | - | 2 | - | 2 | - | 2 | mSec |
| Storage Temp. Range | -40 | 85 | -40 | 85 | -40 | 85 | °C |

Standard frequencies are frequencies which the crystal has been designed and does not imply a stock position.
* Frequency at 25°C, 1 hour after reflow.

FREQ. STABILITY vs. TEMP. RANGE

| Temp. (°C) | ppm | | | | | |
|------------|------|------|------|------|------|---|
| | ±0.5 | ±1.0 | ±1.5 | ±2.0 | ±2.5 | |
| -20 ~ +70 | ○ | ○ | ○ | ○ | ○ | ○ |
| -30 ~ +85 | ○ | ○ | ○ | ○ | ○ | ○ |
| -40 ~ +85 | ○ | ○ | ○ | ○ | ○ | ○ |

* ○: Available △: Conditional X: Not available

Note: not all combination of options are available. Other specifications may be available upon request.

Specifications subject to change without notice.

www.taitien.com
sales@taitien.com.tw

I.1.6. Regulador de tensión XC6206P331

TOREX

XC6206 Series

ETR0305_008

Low ESR Cap.Compatible Positive Voltage Regulators

■ GENERAL DESCRIPTION

The XC6206 series are highly precise, low power consumption, 3 terminal, positive voltage regulators manufactured using CMOS and laser trimming technologies. The series provides large currents with a significantly small dropout voltage. The XC6206 consists of a current limiter circuit, a driver transistor, a precision reference voltage and an error correction circuit. The series is compatible with low ESR ceramic capacitors. The current limiter's foldback circuit operates as a short circuit protection as well as the output current limiter for the output pin. Output voltages are internally by laser trimming technologies. It is selectable in 0.1V increments within a range of 1.2V to 5.0V. SOT-23, SOT-89 and USP-6B packages are available.

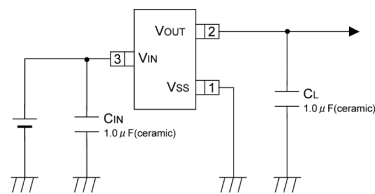
■ APPLICATIONS

- Smart phones / Mobile phones
- Portable game consoles
- Digital still cameras / Camcorders
- Digital audio equipments
- Reference voltage sources
- Multi-function power supplies

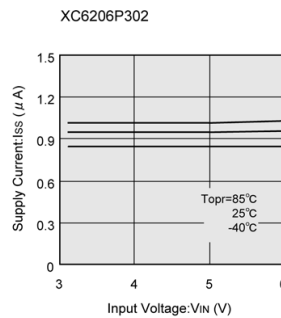
■ FEATURES

- Maximum Output Current** : 200mA (3.0V type)
- Dropout Voltage** : 250mV @ 100mA (3.0V type)
- Maximum Operating Voltage** : 6.0V
- Output Voltage Range** : 1.2V – 5.0V (0.1V increments)
- Highly Accurate** : $\pm 2\%$ @ $V_{OUT} \geq 1.5V$
 $\pm 30mV$ @ $V_{OUT} < 1.5V$
 $(\pm 1\%$ @ $V_{OUT} \geq 2.0V)$
- Low Power Consumption** : 1.0 μ A (TYP.)
- Low ESR Capacitor** : Ceramic capacitor compatible
- Protection** : Current Limit Circuit Built-in
- Operating Ambient Temperature** : -40°C ~ +85°C
- Packages** : SOT-23
 SOT-89
 USP-6B
- Environmentally Friendly** : EU RoHS Compliant, Pb Free

■ TYPICAL APPLICATION CIRCUIT

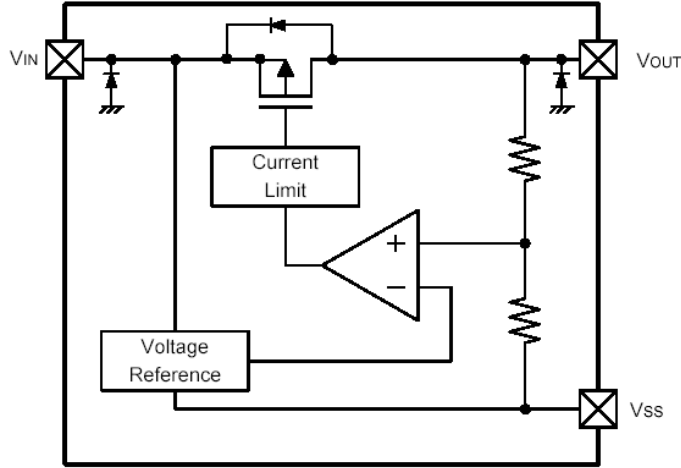


■ TYPICAL PERFORMANCE CHARACTERISTICS



1/15

■ BLOCK DIAGRAM



*Diodes inside the circuit are an ESD protection diode and a parasitic diode.

■ PRODUCT CLASSIFICATION

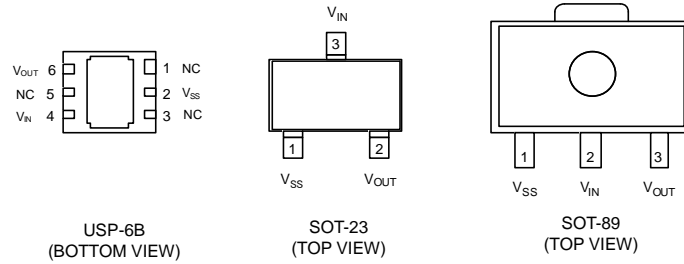
● Ordering Information

XC6206P①②③④⑤-⑥^(*)

| DESIGNATOR | ITEM | SYMBOL | DESCRIPTION |
|------------|--------------------------|--------|--|
| ①② | Output Voltage | 12-50 | e.g. V _{OUT} : 3.0V → ①=3, ②=0 |
| ③ | Accuracy | 2 | ±2% (V _{OUT} ≥ 1.5V), ±30mV (V _{OUT} < 1.5V) |
| | | 1 | ±1% (V _{OUT} ≥ 2.0V) |
| ④⑤-⑥ | Packages (Order Unit) | MR | SOT-23 (3,000pcs/Reel) |
| | | MR-G | SOT-23 (3,000pcs/Reel) |
| | | PR | SOT-89 (1,000pcs/Reel) |
| | | PR-G | SOT-89 (1,000pcs/Reel) |
| | | DR | USP-6B (3,000pcs/Reel) |
| | | DR-G | USP-6B (3,000pcs/Reel) |

^(*) The "-G" suffix denotes Halogen and Antimony free as well as being fully EU RoHS compliant.

■ PIN CONFIGURATION



*The dissipation pad for the USP-6B package should be solder-plated in recommended mount pattern and metal masking so as to enhance mounting strength and heat release.
If the pad needs to be connected to other pins, it should be connected to the pin number 4 (V_{IN}).

■ PIN ASSIGNMENT

| PIN NUMBER | | | PIN NAME | FUNCTIONS |
|------------|--------|---------|------------------|---------------|
| SOT-23 | SOT-89 | USP-6B | | |
| 1 | 1 | 2 | V _{SS} | Ground |
| 3 | 2 | 4 | V _{IN} | Power Input |
| 2 | 3 | 6 | V _{OUT} | Output |
| - | - | 1, 3, 5 | NC | No Connection |

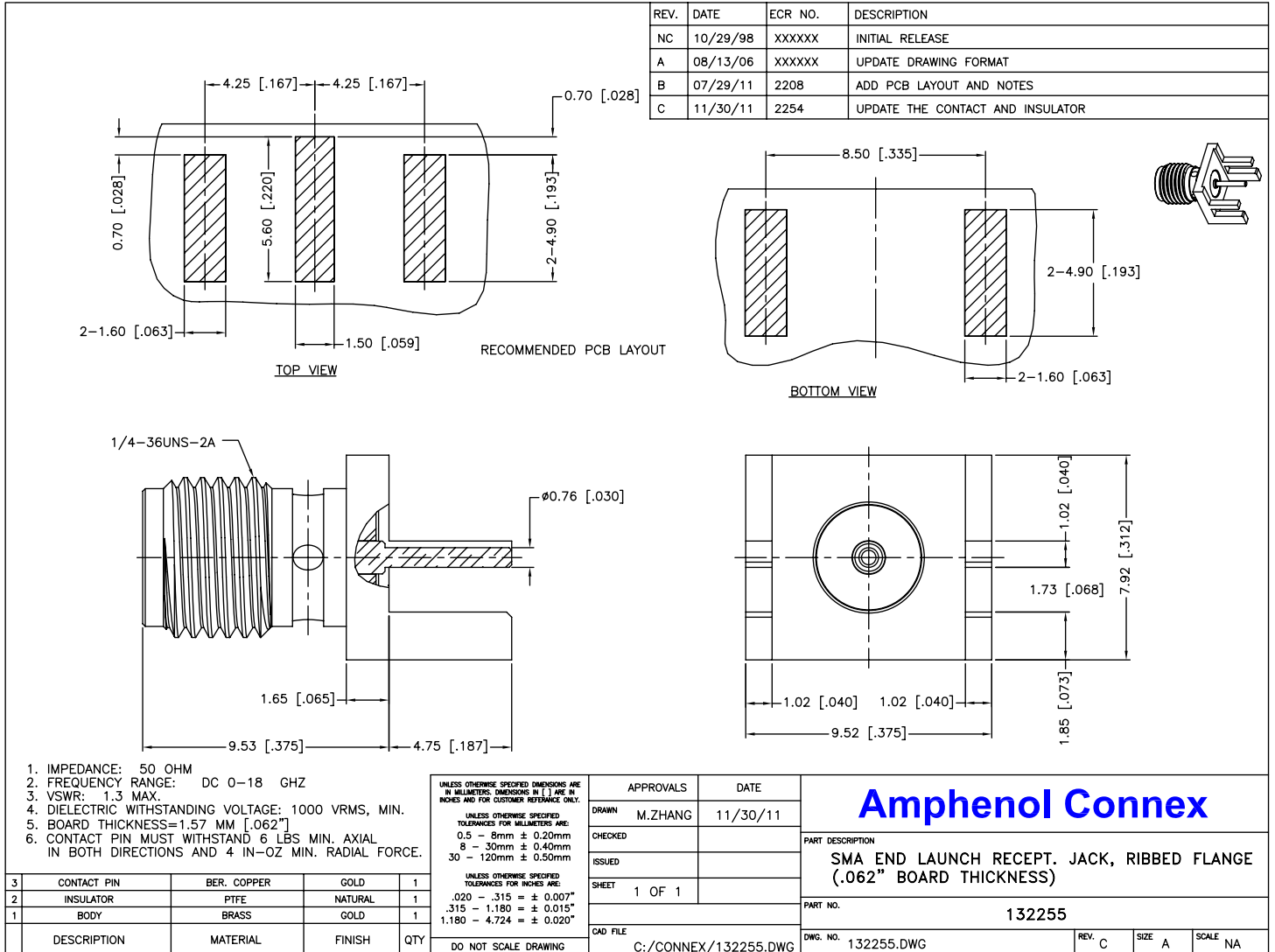
■ ABSOLUTE MAXIMUM RATINGS

| Ta=25°C | | | | |
|-------------------------------|------------------|------------------------------|---|----|
| PARAMETER | SYMBOL | RATINGS | UNITS | |
| Input Voltage | V _{IN} | -0.3~+7.0 | V | |
| Output Current | I _{OUT} | 500 ^(*) | mA | |
| Output Voltage | V _{OUT} | -0.3 ~ V _{IN} + 0.3 | V | |
| Power Dissipation | SOT-23 | Pd | 250 | mW |
| | | | 500(40mm x 40mm Standard board) ^(*) | |
| | | | 500 | |
| | | | 1000(40mm x 40mm Standard board) ^(*) | |
| Power Dissipation | SOT-89 | Pd | 120 | mW |
| | | | 1000(40mm x 40mm Standard board) ^(*) | |
| Power Dissipation | USP-6B | Pd | 120 | mW |
| Operating Ambient Temperature | Topr | - 40 ~ + 85 | °C | |
| Storage Temperature | Tstg | - 55 ~ + 125 | °C | |

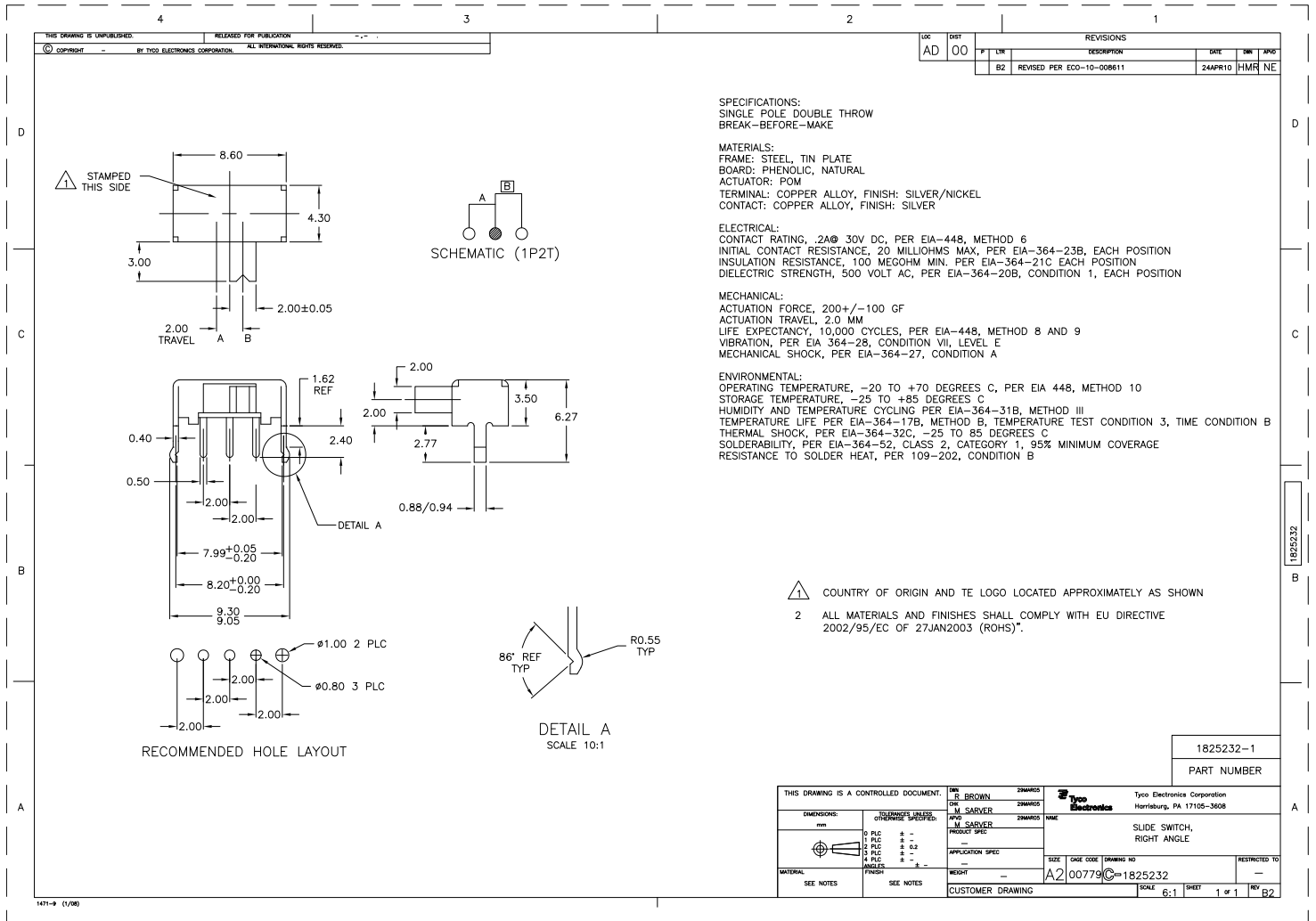
(*) I_{OUT} ≤ Pd / (V_{IN}-V_{OUT})

(*) The power dissipation figure shown is PCB mounted and is for reference only.
The mounting condition is please refer to PACKAGING INFORMATION.

I.1.7. Conector SMA hembra



I.1.8. Interruptor deslizante



I.2. Datalogger

I.2.1. ESP32

1 Overview

1 Overview

ESP32 is a single 2.4 GHz Wi-Fi-and-Bluetooth combo chip designed with the TSMC ultra-low-power 40 nm technology. It is designed to achieve the best power and RF performance, showing robustness, versatility and reliability in a wide variety of applications and power scenarios.

The ESP32 series of chips includes ESP32-D0WD-V3, ESP32-D0WDQ6-V3, ESP32-D0WD, ESP32-D0WDQ6, ESP32-D2WD, ESP32-S0WD, and ESP32-U4WDH, among which, ESP32-D0WD-V3, ESP32-D0WDQ6-V3, and ESP32-U4WDH are based on ECO V3 wafer.

For details on part numbers and ordering information, please refer to Section 7.

For details on ECO V3 instructions, please refer to [ESP32 ECO V3 User Guide](#).

1.1 Featured Solutions

1.1.1 Ultra-Low-Power Solution

ESP32 is designed for mobile, wearable electronics, and Internet-of-Things (IoT) applications. It features all the state-of-the-art characteristics of low-power chips, including fine-grained clock gating, multiple power modes, and dynamic power scaling. For instance, in a low-power IoT sensor hub application scenario, ESP32 is woken up periodically and only when a specified condition is detected. Low-duty cycle is used to minimize the amount of energy that the chip expends. The output of the power amplifier is also adjustable, thus contributing to an optimal trade-off between communication range, data rate and power consumption.

Note:

For more information, refer to Section 3.7 *RTC and Low-Power Management*.

1.1.2 Complete Integration Solution

ESP32 is a highly-integrated solution for Wi-Fi-and-Bluetooth IoT applications, with around 20 external components. ESP32 integrates an antenna switch, RF balun, power amplifier, low-noise receive amplifier, filters, and power management modules. As such, the entire solution occupies minimal Printed Circuit Board (PCB) area.

ESP32 uses CMOS for single-chip fully-integrated radio and baseband, while also integrating advanced calibration circuitries that allow the solution to remove external circuit imperfections or adjust to changes in external conditions. As such, the mass production of ESP32 solutions does not require expensive and specialized Wi-Fi testing equipment.

1 Overview

1.4 MCU and Advanced Features

1.4.1 CPU and Memory

- Xtensa[®] single-/dual-core 32-bit LX6 microprocessor(s), up to 600 MIPS (200 MIPS for ESP32-S0WD/ESP32-U4WDH, 400 MIPS for ESP32-D2WD)
- 448 KB ROM
- 520 KB SRAM
- 16 KB SRAM in RTC
- QSPI supports multiple flash/SRAM chips

1.4.2 Clocks and Timers

- Internal 8 MHz oscillator with calibration
- Internal RC oscillator with calibration
- External 2 MHz ~ 60 MHz crystal oscillator (40 MHz only for Wi-Fi/BT functionality)
- External 32 kHz crystal oscillator for RTC with calibration
- Two timer groups, including 2 × 64-bit timers and 1 × main watchdog in each group
- One RTC timer
- RTC watchdog

1.4.3 Advanced Peripheral Interfaces

- 34 × programmable GPIOs
- 12-bit SAR ADC up to 18 channels
- 2 × 8-bit DAC
- 10 × touch sensors
- 4 × SPI
- 2 × I²S
- 2 × I²C
- 3 × UART
- 1 host (SD/eMMC/SDIO)
- 1 slave (SDIO/SPI)
- Ethernet MAC interface with dedicated DMA and IEEE 1588 support
- Two-Wire Automotive Interface (TWA[®]), compatible with ISO11898-1
- IR (TX/RX)
- Motor PWM
- LED PWM up to 16 channels
- Hall sensor

1.4.4 Security

- Secure boot
- Flash encryption
- 1024-bit OTP, up to 768-bit for customers
- Cryptographic hardware acceleration:
 - RSA
 - AES
 - ECC
 - Hash (SHA-2)
 - Random Number Generator (RNG)

1.6 Block Diagram

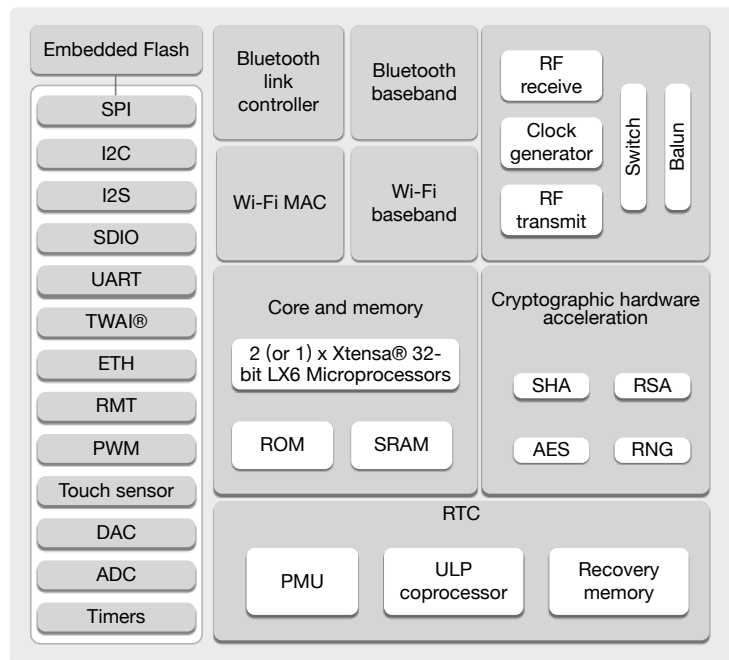


Figure 1: Functional Block Diagram

Note:

Products in the ESP32 series differ from each other in terms of their support for embedded flash and the number of CPUs they have. For details, please refer to Section 7 *Part Number and Ordering Information*.

2 Pin Definitions

2.1 Pin Layout

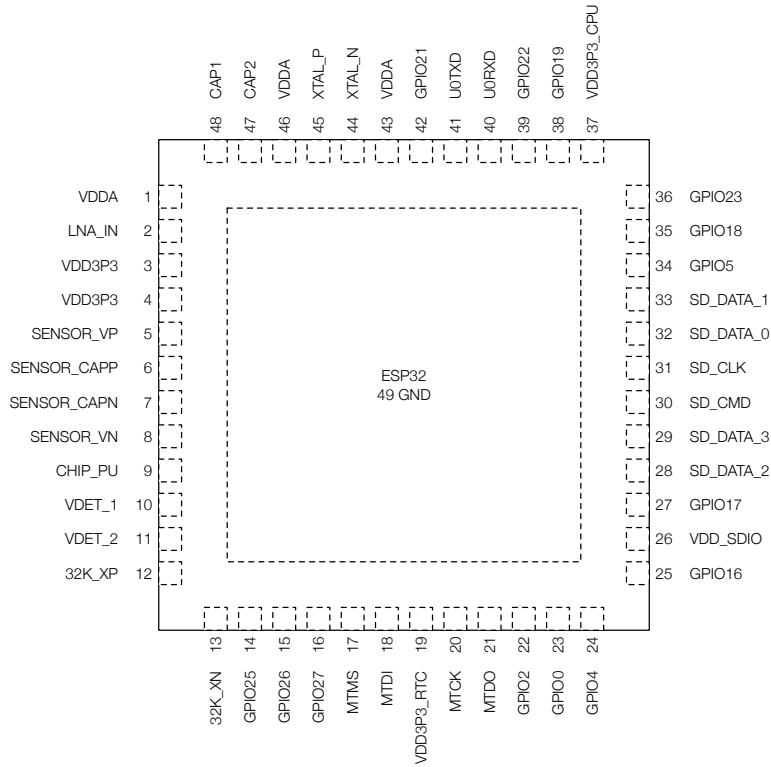


Figure 2: ESP32 Pin Layout (QFN 6*6, Top View)

I.2.2. FT232RL



FT232R USB UART IC Datasheet
Version 2.16

Document No.: FT_000053 Clearance No.: FTDI# 38

Future Technology Devices International Ltd. FT232R USB UART IC Datasheet



The FT232R is a USB to serial UART interface with the following advanced features:

- Single chip USB to asynchronous serial data transfer interface.
- Entire USB protocol handled on the chip. No USB specific firmware programming required.
- Fully integrated 1024 bit EEPROM storing device descriptors and CBUS I/O configuration.
- Fully integrated USB termination resistors.
- Fully integrated clock generation with no external crystal required plus optional clock output selection enabling a glue-less interface to external MCU or FPGA.
- Data transfer rates from 300 baud to 3 Mbaud (RS422, RS485, RS232) at TTL levels.
- 128 byte receive buffer and 256 byte transmit buffer utilising buffer smoothing technology to allow for high data throughput.
- FTDI's royalty-free Virtual Com Port (VCP) and Direct (D2XX) drivers eliminate the requirement for USB driver development in most cases.
- Unique USB FTDIChip-ID™ feature.
- Configurable CBUS I/O pins.
- Transmit and receive LED drive signals.
- UART interface support for 7 or 8 data bits, 1 or 2 stop bits and odd / even / mark / space / no parity
- FIFO receives and transmits buffers for high data throughput.
- Synchronous and asynchronous bit bang interface options with RD# and WR# strobes.
- Device supplied pre-programmed with unique USB serial number.
- Supports bus powered, self-powered and high-power bus powered USB configurations.
- Integrated +3.3V level converter for USB I/O.
- Integrated level converter on UART and CBUS for interfacing to between +1.8V and +5V logic.
- True 5V/3.3V/2.8V/1.8V CMOS drive output and TTL input.
- Configurable I/O pin output drive strength.
- Integrated power-on-reset circuit.
- Fully integrated AVCC supply filtering - no external filtering required.
- UART signal inversion option.
- +3.3V (using external oscillator) to +5.25V (internal oscillator) Single Supply Operation.
- Low operating and USB suspend current.
- Low USB bandwidth consumption.
- UHCI/OHCI/EHCI host controller compatible.
- USB 2.0 Full Speed compatible.
- -40°C to 85°C extended operating temperature range.
- Available in compact Pb-free 28 Pin SSOP and QFN-32 packages (both RoHS compliant).

Neither the whole nor any part of the information contained in, or the product described in this manual, may be adapted or reproduced in any material or electronic form without the prior written consent of the copyright holder. This product and its documentation are supplied on an as-is basis and no warranty as to their suitability for any particular purpose is either made or implied. Future Technology Devices International Ltd will not accept any claim for damages howsoever arising as a result of use or failure of this product. Your statutory rights are not affected. This product or any variant of it is not intended for use in any medical appliance, device or system in which the failure of the product might reasonably be expected to result in personal injury. This document provides preliminary information that may be subject to change without notice. No freedom to use patents or other intellectual property rights is implied by the publication of this document. Future Technology Devices International Ltd, Unit 1, 2 Seaward Place, Centurion Business Park, Glasgow G41 1HH United Kingdom. Scotland Registered Company Number: SC136640

2 FT232R Block Diagram

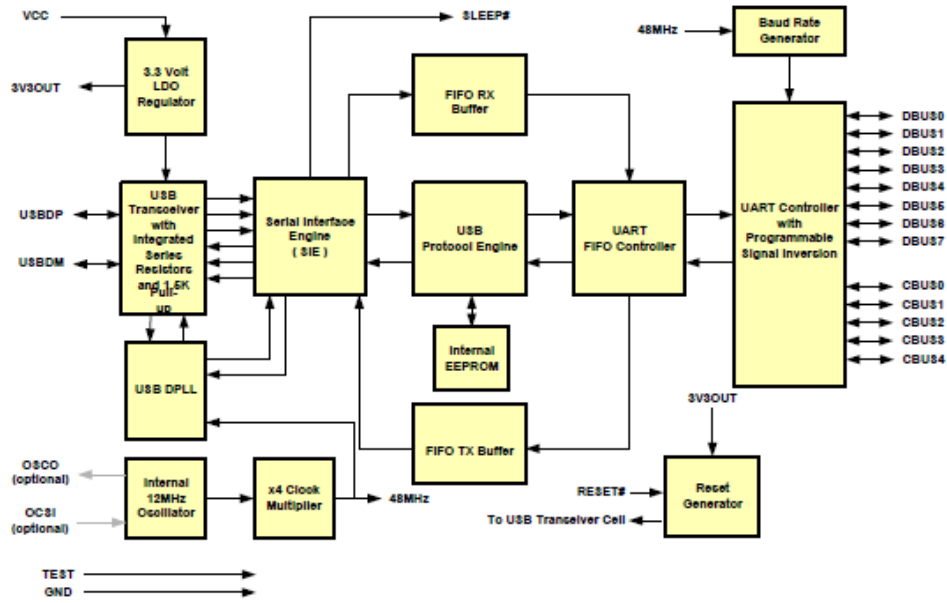


Figure 2.1 FT232R Block Diagram

For a description of each function please refer to Section 4.



3 Device Pin Out and Signal Description

3.1 28-LD SSOP Package

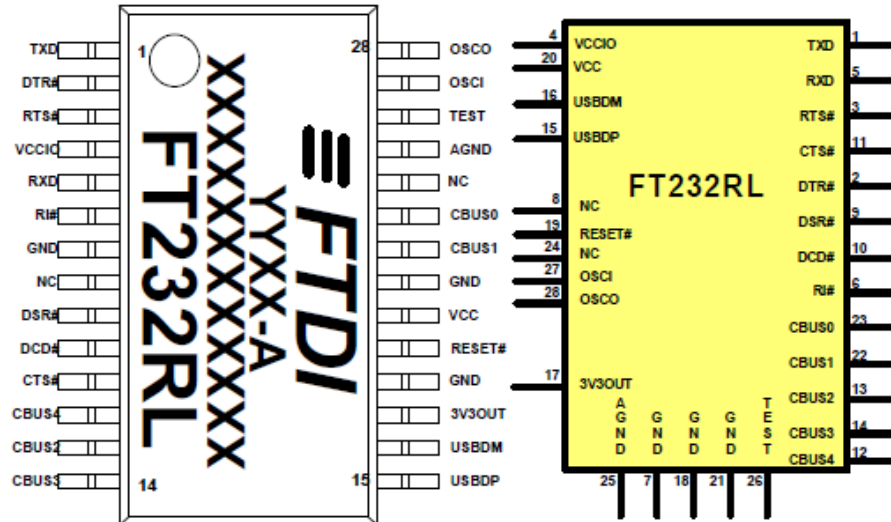


Figure 3.1 SSOP Package Pin Out and Schematic Symbol

3.2 SSOP Package Pin Out Description

Note: The convention used throughout this document for active low signals is the signal name followed by #

| Pin No. | Name | Type | Description |
|---------|-------|------|--|
| 15 | USBDP | I/O | USB Data Signal Plus, incorporating internal series resistor and 1.5kΩ pull up resistor to 3.3V. |
| 16 | USBDM | I/O | USB Data Signal Minus, incorporating internal series resistor. |

Table 3.1 USB Interface Group

| Pin No. | Name | Type | Description |
|-----------|--------|--------|--|
| 4 | VCCIO | PWR | +1.8V to +5.25V supply to the UART Interface and CBUS group pins (1...3, 5, 6, 9...14, 22, 23). In USB bus powered designs connect this pin to 3V3OUT pin to drive out at +3.3V levels, or connect to VCC to drive out at 5V CMOS level. This pin can also be supplied with an external +1.8V to +2.8V supply in order to drive outputs at lower levels. It should be noted that in this case this supply should originate from the same source as the supply to VCC. This means that in bus powered designs a regulator which is supplied by the +5V on the USB bus should be used. |
| 7, 18, 21 | GND | PWR | Device ground supply pins |
| 17 | 3V3OUT | Output | +3.3V output from integrated LDO regulator. This pin should be decoupled to ground using a 100nF capacitor. The main use of this pin is to provide the internal +3.3V supply to the USB transceiver cell and the internal 1.5kΩ pull up resistor on USBDP. Up to 50mA can be drawn from |



| Pin No. | Name | Type | Description |
|---------|------|------|--|
| | | | this pin to power external logic if required. This pin can also be used to supply the VCCIO pin. |
| 20 | VCC | PWR | +3.3V to +5.25V supply to the device core. (see Note 1) |
| 25 | AGND | PWR | Device analogue ground supply for internal clock multiplier |

Table 3.2 Power and Ground Group

| Pin No. | Name | Type | Description |
|---------|--------|--------|---|
| 8, 24 | NC | NC | No internal connection |
| 19 | RESET# | Input | Active low reset pin. This can be used by an external device to reset the FT232R. If not required can be left unconnected, or pulled up to VCC. |
| 26 | TEST | Input | Puts the device into IC test mode. Must be tied to GND for normal operation, otherwise the device will appear to fail. |
| 27 | OSCI | Input | Input 12MHz Oscillator Cell. Optional – Can be left unconnected for normal operation. (see Note 2) |
| 28 | OSCO | Output | Output from 12MHz Oscillator Cell. Optional – Can be left unconnected for normal operation if internal Oscillator is used. (see Note 2) |

Table 3.3 Miscellaneous Signal Group

| Pin No. | Name | Type | Description |
|---------|-------|--------|---|
| 1 | TXD | Output | Transmit Asynchronous Data Output. |
| 2 | DTR# | Output | Data Terminal Ready Control Output / Handshake Signal. |
| 3 | RTS# | Output | Request to Send Control Output / Handshake Signal. |
| 5 | RXD | Input | Receiving Asynchronous Data Input. |
| 6 | RI# | Input | Ring Indicator Control Input. When remote wake up is enabled in the internal EEPROM taking RI# low (20ms active low pulse) can be used to resume the PC USB host controller from suspend. |
| 9 | DSR# | Input | Data Set Ready Control Input / Handshake Signal. |
| 10 | DCD# | Input | Data Carrier Detect Control Input. |
| 11 | CTS# | Input | Clear To Send Control Input / Handshake Signal. |
| 12 | CBUS4 | I/O | Configurable CBUS output only Pin. Function of this pin is configured in the device internal EEPROM. Factory default configuration is SLEEP#. See CBUS Signal Options, Table 3.9. |
| 13 | CBUS2 | I/O | Configurable CBUS I/O Pin. Function of this pin is configured in the device internal EEPROM. Factory default configuration is TXDEN. See CBUS Signal Options, Table 3.9. |
| 14 | CBUS3 | I/O | Configurable CBUS I/O Pin. Function of this pin is configured in the device internal EEPROM. Factory default configuration is PWREN#. See CBUS Signal Options, Table 3.9. PWREN# should be used with a 10kΩ resistor pull up. |
| 22 | CBUS1 | I/O | Configurable CBUS I/O Pin. Function of this pin is configured in the device internal EEPROM. Factory default configuration is RXLED#. See CBUS Signal Options, Table 3.9. |
| 23 | CBUS0 | I/O | Configurable CBUS I/O Pin. Function of this pin is configured in the device internal EEPROM. Factory default configuration is TXLED#. See CBUS Signal Options, Table 3.9. |

Table 3.4 UART Interface and CUSB Group (see note 3)**Notes:**

1. The minimum operating voltage VCC must be +4.0V (could use VBUS=+5V) when using the internal clock generator. Operation at +3.3V is possible using an external crystal oscillator.
2. For details on how to use an external crystal, ceramic resonator, or oscillator with the FT232R, please refer Section 7.6
3. When used in Input Mode, the input pins are pulled to VCCIO via internal 200kΩ resistors. These pins can be programmed to gently pull low during USB suspend (PWREN# = "1") by setting an option in the internal EEPROM.

I.2.3. MOSFET FDV303N





July 2014

FDV303N Digital FET, N-Channel

General Description

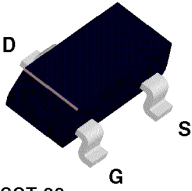
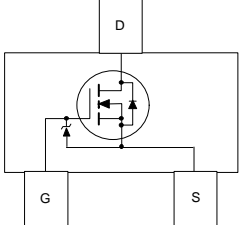
These N-Channel enhancement mode field effect transistors are produced using Fairchild's proprietary, high cell density, DMOS technology. This very high density process is tailored to minimize on-state resistance at low gate drive conditions. This device is designed especially for application in battery circuits using either one lithium or three cadmium or NMH cells. It can be used as an inverter or for high-efficiency miniature discrete DC/DC conversion in compact portable electronic devices like cellular phones and pagers. This device has excellent on-state resistance even at gate drive voltages as low as 2.5 volts.

Features

- 25 V, 0.68 A continuous, 2 A Peak.
 $R_{DS(ON)} = 0.45 \Omega @ V_{GS} = 4.5 V$
 $R_{DS(ON)} = 0.6 \Omega @ V_{GS} = 2.7 V.$
- Very low level gate drive requirements allowing direct operation in 3V circuits. $V_{GS(th)} < 1V.$
- Gate-Source Zener for ESD ruggedness.>6kV Human Body Model
- Compact industry standard SOT-23 surface mount package.
- Alternative to TN0200T and TN0201T.



Mark:303

| Absolute Maximum Ratings $T_A = 25^\circ C$ unless other wise noted | | | |
|---|---|--------------|--------------|
| Symbol | Parameter | FDV303N | Units |
| V_{DS} | Drain-Source Voltage, Power Supply Voltage | 25 | V |
| V_{GS} | Gate-Source Voltage, V_N | 8 | V |
| I_D | Drain/Output Current | - Continuous | 0.68 |
| | | - Pulsed | 2 |
| P_D | Maximum Power Dissipation | 0.35 | W |
| T_J, T_{STG} | Operating and Storage Temperature Range | -55 to 150 | $^\circ C$ |
| ESD | Electrostatic Discharge Rating MIL-STD-883D Human Body Model (100pf / 1500 Ohm) | 6.0 | kV |
| THERMAL CHARACTERISTICS | | | |
| $R_{\theta JA}$ | Thermal Resistance, Junction-to-Ambient | 357 | $^\circ C/W$ |

| Electrical Characteristics ($T_A = 25\text{ }^\circ\text{C}$ unless otherwise noted) | | | | | | |
|---|---|---|------|------|------|-----------------------|
| Symbol | Parameter | Conditions | Min | Typ | Max | Units |
| OFF CHARACTERISTICS | | | | | | |
| BV_{DSS} | Drain-Source Breakdown Voltage | $V_{GS} = 0\text{ V}, I_D = 250\text{ }\mu\text{A}$ | 25 | | | V |
| $\Delta BV_{DSS}/\Delta T_J$ | Breakdown Voltage Temp. Coefficient | $I_D = 250\text{ }\mu\text{A}$, Referenced to $25\text{ }^\circ\text{C}$ | | 26 | | mV / $^\circ\text{C}$ |
| I_{DSS} | Zero Gate Voltage Drain Current | $V_{DS} = 20\text{ V}, V_{GS} = 0\text{ V}$ | | | 1 | μA |
| | | $T_J = 55\text{ }^\circ\text{C}$ | | | 10 | μA |
| I_{GSS} | Gate - Body Leakage Current | $V_{GS} = 8\text{ V}, V_{DS} = 0\text{ V}$ | | | 100 | nA |
| ON CHARACTERISTICS (Note) | | | | | | |
| $\Delta V_{GS(th)}/\Delta T_J$ | Gate Threshold Voltage Temp. Coefficient | $I_D = 250\text{ }\mu\text{A}$, Referenced to $25\text{ }^\circ\text{C}$ | | -2.6 | | mV / $^\circ\text{C}$ |
| $V_{GS(th)}$ | Gate Threshold Voltage | $V_{DS} = V_{GS}, I_D = 250\text{ }\mu\text{A}$ | 0.65 | 0.8 | 1 | V |
| $R_{DS(on)}$ | Static Drain-Source On-Resistance | $V_{GS} = 4.5\text{ V}, I_D = 0.5\text{ A}$ | | 0.33 | 0.45 | Ω |
| | | $T_J = 125\text{ }^\circ\text{C}$ | | 0.52 | 0.8 | |
| | | $V_{GS} = 2.7\text{ V}, I_D = 0.2\text{ A}$ | | 0.44 | 0.6 | |
| $I_{D(on)}$ | On-State Drain Current | $V_{GS} = 2.7\text{ V}, V_{DS} = 5\text{ V}$ | 0.5 | | | A |
| g_{FS} | Forward Transconductance | $V_{DS} = 5\text{ V}, I_D = 0.5\text{ A}$ | | 1.45 | | S |
| DYNAMIC CHARACTERISTICS | | | | | | |
| C_{iss} | Input Capacitance | $V_{DS} = 10\text{ V}, V_{GS} = 0\text{ V},$ $f = 1.0\text{ MHz}$ | | 50 | | pF |
| C_{oss} | Output Capacitance | | | 28 | | pF |
| C_{rss} | Reverse Transfer Capacitance | | | 9 | | pF |
| SWITCHING CHARACTERISTICS (Note) | | | | | | |
| $t_{D(on)}$ | Turn - On Delay Time | $V_{DD} = 6\text{ V}, I_D = 0.5\text{ A},$ $V_{GS} = 4.5\text{ V}, R_{GEN} = 50\text{ }\Omega$ | | 3 | 6 | ns |
| t_r | Turn - On Rise Time | | | 8.5 | 18 | ns |
| $t_{D(off)}$ | Turn - Off Delay Time | | | 17 | 30 | ns |
| t_f | Turn - Off Fall Time | | | 13 | 25 | ns |
| Q_g | Total Gate Charge | $V_{DS} = 5\text{ V}, I_D = 0.5\text{ A},$ $V_{GS} = 4.5\text{ V}$ | | 1.64 | 2.3 | nC |
| Q_{gs} | Gate-Source Charge | | | 0.38 | | nC |
| Q_{gd} | Gate-Drain Charge | | | 0.45 | | nC |
| DRAIN-SOURCE DIODE CHARACTERISTICS AND MAXIMUM RATINGS | | | | | | |
| I_S | Maximum Continuous Drain-Source Diode Forward Current | | | | 0.3 | A |
| V_{SD} | Drain-Source Diode Forward Voltage | $V_{GS} = 0\text{ V}, I_S = 0.5\text{ A}$ (Note) | | 0.83 | 1.2 | V |
| Note: Pulse Test: Pulse Width $\leq 300\mu\text{s}$, Duty Cycle $\leq 2.0\%$. | | | | | | |

I.2.4. Inversor Schmitt doble SN74LVC2G14



SN74LVC2G14

www.ti.com

SCES200M – APRIL 1999 – REVISED NOVEMBER 2013

Dual Schmitt-Trigger Inverter

Check for Samples: [SN74LVC2G14](#)

FEATURES

- Available in the Texas Instruments NanoFree™ Package
- Supports 5-V V_{CC} Operation
- Inputs Accept Voltages to 5.5 V
- Max t_{pd} of 5.4 ns at 3.3 V
- Low Power Consumption, 10- μ A Max I_{CC}
- ± 24 -mA Output Drive at 3.3 V
- Typical V_{OLP} (Output Ground Bounce) < 0.8 V at $V_{CC} = 3.3$ V, $T_A = 25^\circ\text{C}$
- Typical V_{OHV} (Output V_{OH} Undershoot) > 2 V at $V_{CC} = 3.3$ V, $T_A = 25^\circ\text{C}$
- I_{off} Supports Live Insertion, Partial Power Down Mode, and Back Drive Protection
- Support Translation Down (5V to 3.3V; 3.3V to 1.8V)
- Latch-Up Performance Exceeds 100 mA Per JESD 78, Class II
- ESD Protection Exceeds JESD 22
 - 2000-V Human-Body Model (A114-A)
 - 1000-V Charged-Device Model (C101)

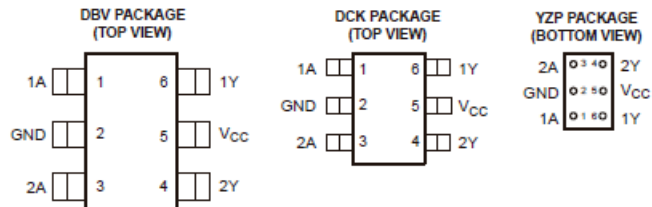
DESCRIPTION

This dual Schmitt-trigger inverter is designed for 1.65-V to 5.5-V V_{CC} operation.

NanoFree™ package technology is a major breakthrough in IC packaging concepts, using the die as the package.

The SN74LVC2G14 contains two inverters and performs the Boolean function $Y = \bar{A}$. The device functions as two independent inverters, but because of Schmitt action, it may have different input threshold levels for positive-going (V_{T+}) and negative-going (V_{T-}) signals.

This device is fully specified for partial-power-down applications using I_{off} . The I_{off} circuitry disables the outputs, preventing damaging current backflow through the device when it is powered down.



See mechanical drawings for dimensions.



Please be aware that an important notice concerning availability, standard warranty, and use in critical applications of Texas Instruments semiconductor products and disclaimers thereto appears at the end of this data sheet. NanoFree is a trademark of Texas Instruments.

PRODUCTION DATA information is current as of publication date. Products conform to specifications per the terms of the Texas Instruments standard warranty. Production processing does not necessarily include testing of all parameters.

Copyright © 1999–2013, Texas Instruments Incorporated

SN74LVC2G14



SCES200M—APRIL 1999—REVISED NOVEMBER 2013

www.ti.com

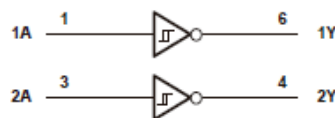


These devices have limited built-in ESD protection. The leads should be shorted together or the device placed in conductive foam during storage or handling to prevent electrostatic damage to the MOS gates.

Function Table
(Each Inverter)

| INPUT A | OUTPUT Y |
|------------|-------------|
| H | L |
| L | H |

Logic Diagram (Positive Logic)



Absolute Maximum Ratings⁽¹⁾

over operating free-air temperature range (unless otherwise noted)

| | MIN | MAX | UNIT |
|---|-------------|----------------|---------|
| V_{CC} Supply voltage range | -0.5 | 6.5 | V |
| V_I Input voltage range ⁽²⁾ | -0.5 | 6.5 | V |
| V_O Voltage range applied to any output in the high-impedance or power-off state ⁽²⁾ | -0.5 | 6.5 | V |
| V_O Voltage range applied to any output in the high or low state ^{(2) (3)} | -0.5 | $V_{CC} + 0.5$ | V |
| I_{IK} Input clamp current | | $V_I < 0$ | -50 mA |
| I_{OK} Output clamp current | | $V_O < 0$ | -50 mA |
| I_O Continuous output current | | | ±50 mA |
| Continuous current through V_{CC} or GND | | | ±100 mA |
| θ_{JA} Package thermal impedance ⁽⁴⁾ | DBV package | | 165 |
| | DCK package | | 259 |
| | YZP package | | 123 |
| T_{stg} Storage temperature range | -65 | 150 | °C |

(1) Stresses beyond those listed under "absolute maximum ratings" may cause permanent damage to the device. These are stress ratings only, and functional operation of the device at these or any other conditions beyond those indicated under "recommended operating conditions" is not implied. Exposure to absolute-maximum-rated conditions for extended periods may affect device reliability.

(2) The input negative-voltage and output voltage ratings may be exceeded if the input and output clamp-current ratings are observed.

(3) The value of V_{CC} is provided in the recommended operating conditions table.

(4) The package thermal impedance is calculated in accordance with JEDEC 51-7.

I.2.5. Reguladores LDO REG102



REG102

SEVS024F – NOVEMBER 2000 – REVISED SEPTEMBER 2005

DMOS 250mA Low-Dropout Regulator

FEATURES

- **NEW DMOS TOPOLOGY:**
Ultra Low Dropout Voltage:
150mV typ at 250mA
Output Capacitor *not* Required for Stability
- **FAST TRANSIENT RESPONSE**
- **VERY LOW NOISE:** 28 μ Vrms
- **HIGH ACCURACY:** \pm 1.5% max
- **HIGH EFFICIENCY:**
 $I_{GND} = 600\mu$ A at $I_{OUT} = 250$ mA
Not Enabled: $I_{GND} = 0.01\mu$ A
- **2.5V, 2.8V, 2.85V, 3.0V, 3.3V, AND 5.0V
ADJUSTABLE OUTPUT VERSIONS**
- **OTHER OUTPUT VOLTAGES AVAILABLE UPON
REQUEST**
- **FOLDBACK CURRENT LIMIT**
- **THERMAL PROTECTION**
- **SMALL SURFACE-MOUNT PACKAGES:**
SOT23-5, SOT223-5, and SO-8

APPLICATIONS

- PORTABLE COMMUNICATION DEVICES
- BATTERY-POWERED EQUIPMENT
- PERSONAL DIGITAL ASSISTANTS
- MODEMS
- BAR-CODE SCANNERS
- BACKUP POWER SUPPLIES

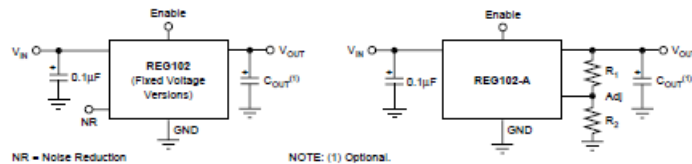
DESCRIPTION

The REG102 is a family of low-noise, low-dropout linear regulators with low ground pin current. The new DMOS topology provides significant improvement over previous designs, including low-dropout voltage (only 150mV typ at full load), and better transient performance. In addition, no output capacitor is required for stability, unlike conventional low-dropout regulators that are difficult to compensate and require expensive low ESR capacitors greater than 1 μ F.

Typical ground pin current is only 600 μ A (at $I_{OUT} = 250$ mA) and drops to 10nA when not enabled. Unlike regulators with PNP pass devices, quiescent current remains relatively constant over load variations and under dropout conditions.

The REG102 has very low output noise (typically 28 μ Vrms for $V_{OUT} = 3.3$ V with $C_{NR} = 0.01\mu$ F), making it ideal for use in portable communications equipment. On-chip trimming results in high output voltage accuracy. Accuracy is maintained over temperature, line, and load variations. Key parameters are tested over the specified temperature range (-40° C to $+85^{\circ}$ C).

The REG102 is well protected—internal circuitry provides a current limit that protects the load from damage; furthermore, thermal protection circuitry keeps the chip from being damaged by excessive temperature. The REG102 is available in SOT23-5, SOT223-5, and SO-8 packages.



Please be aware that an important notice concerning availability, standard warranty, and use in critical applications of Texas Instruments semiconductor products and disclaimers thereto appears at the end of this data sheet.

All trademarks are the property of their respective owners.

PRODUCTION DATA Information is current as of publication date. Products conform to specifications per the terms of Texas Instruments standard warranty. Production processing does not necessarily include testing of all parameters.

TEXAS
INSTRUMENTS
www.ti.com

Copyright © 2000-2005, Texas Instruments Incorporated

ABSOLUTE MAXIMUM RATINGS⁽¹⁾

| | |
|---|-------------------|
| Supply Input Voltage, V_{IN} | -0.3V to 12V |
| Enable Input Voltage, V_{EN} | -0.3V to V_{IN} |
| Feedback Voltage, V_{FB} | -0.3V to 6.0V |
| NR Pin Voltage, V_{NR} | -0.3V to 6.0V |
| Output Short-Circuit Duration | Indefinite |
| Operating Temperature Range (T_J) | -55°C to +125°C |
| Storage Temperature Range (T_A) | -65°C to +150°C |
| Lead Temperature (soldering, 3s) | +240°C |

NOTE: (1) Stresses above these ratings may cause permanent damage. Exposure to absolute maximum conditions for extended periods may degrade device reliability.



ELECTROSTATIC DISCHARGE SENSITIVITY

This integrated circuit can be damaged by ESD. Texas Instruments recommends that all integrated circuits be handled with appropriate precautions. Failure to observe proper handling and installation procedures can cause damage.

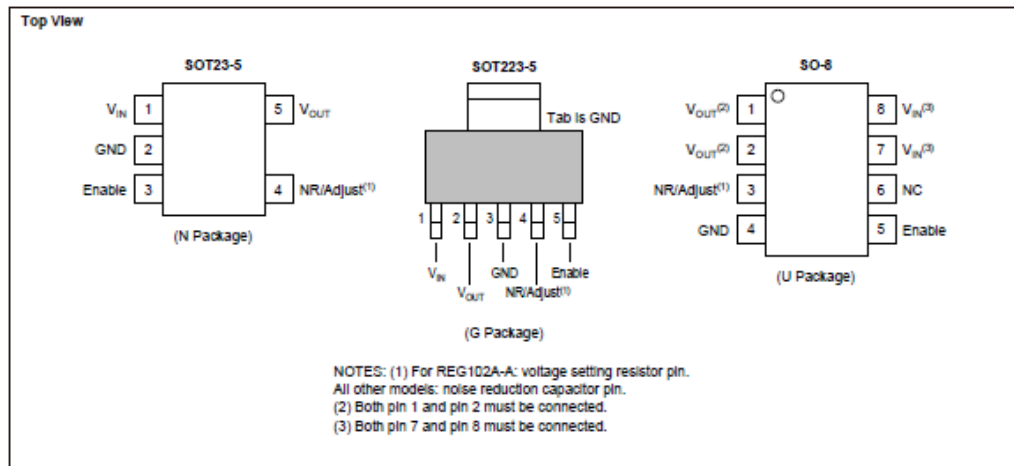
ESD damage can range from subtle performance degradation to complete device failure. Precision integrated circuits may be more susceptible to damage because very small parametric changes could cause the device not to meet its published specifications.

PACKAGE/ORDERING INFORMATION⁽¹⁾

| PRODUCT | V_{OUT} ⁽²⁾ |
|------------------|---|
| REG102xx-yyy/zzz | XX is package designator. Yyyy is typical output voltage (5 = 5.0V, 2.85 = 2.85V, A = Adjustable). ZZZ is package quantity. |

(1) For the most current package and ordering information, see the Package Option Addendum at the end of this document, or see the TI website at www.ti.com.
 (2) Output voltages from 2.5V to 5.1V in 50mV increments are available; minimum order quantities apply. Contact factory for details and availability.

PIN CONFIGURATIONS



ELECTRICAL CHARACTERISTICS

Boldface limits apply over the specified temperature range, $T_J = -40^\circ\text{C}$ to $+85^\circ\text{C}$.

At $T_J = +25^\circ\text{C}$, $V_{IN} = V_{OUT} + 1\text{V}$ ($V_{OUT} = 2.5\text{V}$ for REG102-A), $V_{ENABLE} = 1.8\text{V}$, $I_{OUT} = 5\text{mA}$, $C_{NR} = 0.01\mu\text{F}$, and $C_{OUT} = 0.1\mu\text{F}$ (1), unless otherwise noted.

| PARAMETER | CONDITION | REG102NA REG102GA REG102UA | | | UNITS | |
|--|---------------|---|---|--------------|---------------------------|----|
| | | MIN | TYP | MAX | | |
| OUTPUT VOLTAGE | | | | | | |
| Output Voltage Range | V_{OUT} | | 2.5 | | V | |
| REG102-2.5 | | | 2.8 | | V | |
| REG102-2.8 | | | 2.85 | | V | |
| REG102-2.85 | | | 3.0 | | V | |
| REG102-3.0 | | | 3.3 | | V | |
| REG102-3.3 | | | 5 | | V | |
| REG102-5 | | 2.5 | | 5.5 | V | |
| REG102-A | | | | | V | |
| Reference Voltage | V_{REF} | | 1.26 | | V | |
| Adjust Pin Current | I_{ADJ} | | 0.2 | 1 | μA | |
| Accuracy | | | ± 0.5 | ± 1.5 | % | |
| Over Temperature vs Temperature vs Line and Load | dV_{OUT}/dT | $I_{OUT} = 5\text{mA}$ to 250mA , $V_{IN} = (V_{OUT} + 0.4\text{V})$ to 10V $V_{IN} = (V_{OUT} + 0.6\text{V})$ to 10V | 50 | ± 2.0 | ppm/ $^\circ\text{C}$ | |
| Over Temperature | | | ± 0.8 | ± 2.8 | % | |
| DC DROPOUT VOLTAGE (2) | V_{DROD} | | 4 | 10 | mV | |
| For all models | | $I_{OUT} = 5\text{mA}$ | 150 | 220 | mV | |
| Over Temperature | | $I_{OUT} = 250\text{mA}$ | | 270 | mV | |
| | | $I_{OUT} = 250\text{mA}$ | | | mV | |
| VOLTAGE NOISE | V_n | | | | | |
| $f = 10\text{Hz}$ to 100kHz | | $C_{NR} = 0$, $C_{OUT} = 0$ | $23\mu\text{Vrms}/\text{V} \cdot V_{OUT}$ | | μVrms | |
| Without C_{NR} (all models) | | $C_{NR} = 0.01\mu\text{F}$, $C_{OUT} = 10\mu\text{F}$ | $7\mu\text{Vrms}/\text{V} \cdot V_{OUT}$ | | μVrms | |
| With C_{NR} (all fixed voltage models) | | | | | | |
| OUTPUT CURRENT | | | | | | |
| Current Limit(3) | I_{CL} | | 340 | 400 | 470 | mA |
| Over Temperature | | | 300 | 150 | 490 | mA |
| Short-Circuit Current Limit | I_{SC} | | | 150 | | mA |
| RIPPLE REJECTION | | | | | | |
| $f = 120\text{Hz}$ | | | | 65 | dB | |
| ENABLE CONTROL | | | | | | |
| V_{ENABLE} High (output enabled) | V_{ENABLE} | | 1.8 | | V_{IN} | |
| V_{ENABLE} Low (output disabled) | | | -0.2 | | 0.5 | |
| I_{ENABLE} High (output enabled) | I_{ENABLE} | $V_{ENABLE} = 1.8\text{V}$ to V_{IN} , $V_{IN} = 1.8\text{V}$ to 6.5 (4) | 1 | | 100 | |
| I_{ENABLE} Low (output disabled) | | $V_{ENABLE} = 0\text{V}$ to 0.5V | 2 | | 100 | |
| Output Disable Time | | $C_{OUT} = 1.0\mu\text{F}$, $R_{LOAD} = 13\Omega$ | 50 | | μs | |
| Output Enable Softstart Time | | $C_{OUT} = 1.0\mu\text{F}$, $R_{LOAD} = 13\Omega$ | 1.5 | | ms | |
| THERMAL SHUTDOWN | | | | | | |
| Junction Temperature | | | | 160 | $^\circ\text{C}$ | |
| Shutdown | | | | 140 | $^\circ\text{C}$ | |
| Reset from Shutdown | | | | | | |
| GROUND PIN CURRENT | | | | | | |
| Ground Pin Current | I_{GND} | $I_{OUT} = 5\text{mA}$ | | 400 | μA | |
| | | $I_{OUT} = 250\text{mA}$ | | 600 | μA | |
| Enable Pin Low | | $V_{ENABLE} \leq 0.5\text{V}$ | 0.01 | 0.2 | μA | |
| INPUT VOLTAGE | | | | | | |
| Operating Input Voltage Range(5) | V_{IN} | $V_{IN} > 1.8\text{V}$ | 1.8 | | 10 | |
| Specified Input Voltage Range | | $V_{IN} > 1.8\text{V}$ | $V_{OUT} + 0.4$ | | 10 | |
| Over Temperature | | | $V_{OUT} + 0.6$ | | 10 | |
| TEMPERATURE RANGE | | | | | | |
| Specified Range | T_J | | -40 | | $^\circ\text{C}$ | |
| Operating Range | T_J | | -55 | | $^\circ\text{C}$ | |
| Storage Range | T_A | | -65 | | $^\circ\text{C}$ | |
| Thermal Resistance | | | | | | |
| SOT23-5 Surface-Mount | θ_{JA} | Junction-to-Ambient | | 200 | $^\circ\text{C}/\text{W}$ | |
| SO-8 Surface-Mount | θ_{JA} | Junction-to-Ambient | | 150 | $^\circ\text{C}/\text{W}$ | |
| SOT23-5 Surface-Mount | θ_{JC} | Junction-to-Case | | 15 | $^\circ\text{C}/\text{W}$ | |
| | θ_{JA} | Junction-to-Ambient | | See Figure 8 | $^\circ\text{C}/\text{W}$ | |

NOTES: (1) The REG102 does not require a minimum output capacitor for stability, however, transient response can be improved with proper capacitor selection.

(2) Dropout voltage is defined as the input voltage minus the output voltage that produces a 2% change in the output voltage from the value at $V_{IN} = V_{OUT} + 1\text{V}$ at fixed load.

(3) Current limit is the output current that produces a 10% change in output voltage from $V_{IN} = V_{OUT} + 1\text{V}$ and $I_{OUT} = 5\text{mA}$.

(4) For $V_{ENABLE} > 6.5\text{V}$, see typical characteristic I_{ENABLE} vs V_{ENABLE} .

(5) The REG102 no longer regulates when $V_{IN} < V_{OUT} + V_{DROD(MAX)}$. In dropout, the impedance from V_{IN} to V_{OUT} is typically less than 1Ω at $T_J = +25^\circ\text{C}$.

I.2.6. Diodo BAS16XV2T1G

BAS16XV2T1G, BAS16XV2T5G, SBAS16XV2T1G

Switching Diode

Features

- High-Speed Switching Applications
- Lead Finish: 100% Matte Sn (Tin)
- Qualified Reflow Temperature: 260°C
- Extremely Small SOD-523 Package
- S Prefix for Automotive and Other Applications Requiring Unique Site and Control Change Requirements; AEC-Q101 Qualified and PPAP Capable
- These Devices are Pb-Free, Halogen Free/BFR Free and are RoHS Compliant

MAXIMUM RATINGS

| Rating | Symbol | Value | Unit |
|--|-----------------|-------|------|
| Continuous Reverse Voltage | V_R | 100 | V |
| Continuous Forward Current | I_F | 200 | mA |
| Peak Forward Surge Current | $I_{FM(surge)}$ | 500 | mA |
| Repetitive Peak Forward Current | I_{FRM} | 500 | mA |
| Non-Repetitive Peak Forward Current (Square Wave, $T_J = 25^\circ\text{C}$ prior to surge) | I_{FSM} | | A |
| $t = 1 \mu\text{s}$ | | 4.0 | |
| $t = 1 \text{ms}$ | | 1.0 | |
| $t = 1 \text{s}$ | | 0.5 | |

Stresses exceeding Maximum Ratings may damage the device. Maximum Ratings are stress ratings only. Functional operation above the Recommended Operating Conditions is not implied. Extended exposure to stresses above the Recommended Operating Conditions may affect device reliability.

THERMAL CHARACTERISTICS

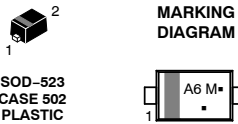
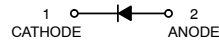
| Characteristic | Symbol | Max | Unit |
|---|-----------------|------------|-------|
| Total Device Dissipation, (Note 1) $T_A = 25^\circ\text{C}$ Derate above 25°C | P_D | 200 | mW |
| | | 1.57 | mW/°C |
| Thermal Resistance, Junction-to-Ambient | $R_{\theta JA}$ | 635 | °C/W |
| Junction and Storage Temperature | T_J, T_{stg} | -55 to 150 | °C |

1. FR-5 Minimum Pad.



ON Semiconductor®

<http://onsemi.com>



A6 = Specific Device Code
M = Date Code
■ = Pb-Free Package
(Note: Microdot may be in either location)

ORDERING INFORMATION

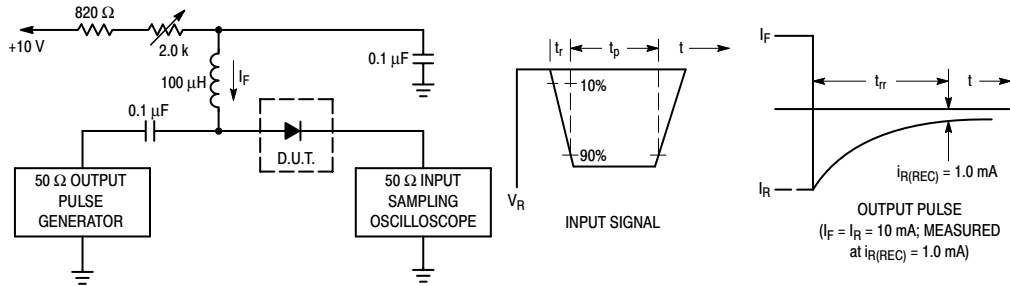
| Device | Package | Shipping† |
|--------------|-------------------|--------------------|
| BAS16XV2T1G | SOD-523 (Pb-Free) | 3000 / Tape & Reel |
| BAS16XV2T5G | SOD-523 (Pb-Free) | 8000 / Tape & Reel |
| SBAS16XV2T1G | SOD-523 (Pb-Free) | 3000 / Tape & Reel |

†For information on tape and reel specifications, including part orientation and tape sizes, please refer to our Tape and Reel Packaging Specifications Brochure, BRD8011/D.

BAS16XV2T1G, BAS16XV2T5G, SBAS16XV2T1G

ELECTRICAL CHARACTERISTICS ($T_A = 25^\circ\text{C}$ unless otherwise noted)

| Characteristic | Symbol | Min | Max | Unit |
|---|------------|-----|----------------------------|---------------|
| OFF CHARACTERISTICS | | | | |
| Reverse Voltage Leakage Current ($V_R = 100\text{ V}$) ($V_R = 75\text{ V}$, $T_J = 150^\circ\text{C}$) ($V_R = 25\text{ V}$, $T_J = 150^\circ\text{C}$) | I_R | - | 1.0 50 30 | μA |
| Reverse Breakdown Voltage ($I_{BR} = 100\ \mu\text{A}$) | $V_{(BR)}$ | 100 | - | V |
| Forward Voltage ($I_F = 1.0\text{ mA}$) ($I_F = 10\text{ mA}$) ($I_F = 50\text{ mA}$) ($I_F = 150\text{ mA}$) | V_F | - | 715 855 1000 1250 | mV |
| Diode Capacitance ($V_R = 0$, $f = 1.0\text{ MHz}$) | C_D | - | 2.0 | pF |
| Forward Recovery Voltage ($I_F = 10\text{ mA}$, $t_r = 20\text{ ns}$) | V_{FR} | - | 1.75 | V |
| Reverse Recovery Time ($I_F = I_R = 10\text{ mA}$, $R_L = 50\ \Omega$) | t_{rr} | - | 6.0 | ns |
| Stored Charge ($I_F = 10\text{ mA}$ to $V_R = 5.0\text{ V}$, $R_L = 500\ \Omega$) | Q_S | - | 45 | pC |



- Notes: 1. A 2.0 k Ω variable resistor adjusted for a Forward Current (I_F) of 10 mA.
 2. Input pulse is adjusted so $I_{R(\text{peak})}$ is equal to 10 mA.
 3. $t_p \gg t_{rr}$

Figure 1. Recovery Time Equivalent Test Circuit

I.2.7. Pulsador FSMSM



FSMSM/JM Series



Tactile Switches, .138 [3.5] x .236 [6], Surface Mount

MATERIAL SPECIFICATIONS:

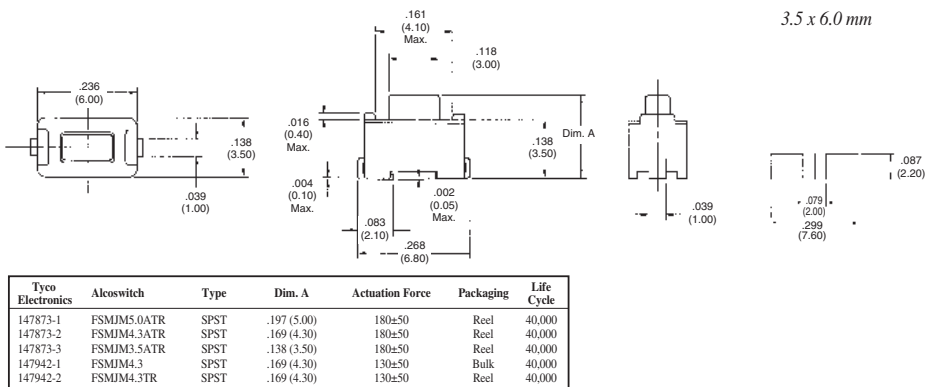
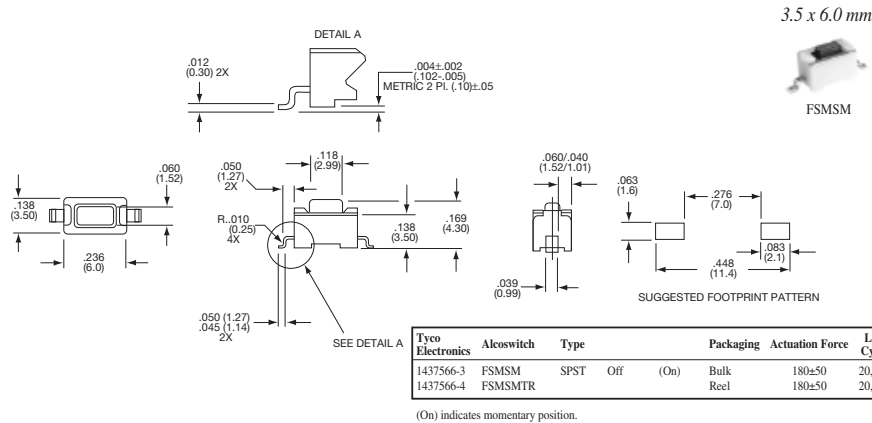
ContactsStainless steel, silver clad plate
 Case MaterialFSMSM: PPS
 Actuator MaterialFSMSM: Nylon
 FSJM: PPS
 TerminalsCopper alloy, silver plate or tin plate
 Cover.....Stainless steel

TYPICAL PERFORMANCE CHARACTERISTICS:

Contact Rating50 mA @ 12 VDC
 Initial Contact Resistance100 Milliohms max.
 Insulation Resistance100 Megohms min. @ 500 VDC
 Dielectric Strength500 VAC for 1 minute
 Actuator Travel......010"(.254)
 Life Expectancy20,000-40,000 Cycles

ENVIRONMENTAL SPECIFICATIONS:

Operating Temperature.....-40°F to +185°F (-40°C to +85°C)
 Storage Temperature.....-40°F to +185°F (-40°C to +85°C)
 Solder Heat ResistanceFSMSM IR Soldering EIA-364-56,
 Procedure 5 Level 1, 215° C
 FSJM IR Soldering per EIA 364-56
 Procedure 5, level 2, 464°F (240°C)



Catalog 1308390
 Issued 9-04
 www.tycoelectronics.com

Dimensions are in inches and millimeters unless otherwise specified. Values in parentheses or brackets are metric equivalents.

Dimensions are shown for reference purposes only. Specifications subject to change.

USA: 1-800-522-6752
 Canada: 1-905-470-4425
 Mexico: 01-800-733-8926
 C. America: 52-55-5-729-0425

South America: 55-11-3611-1514
 Hong Kong: 852-2735-1628
 Japan: 81-44-844-8013
 UK: 44-141-810-8967

E9

E
 FSMSM/JM Series

I.3. Termopar

Comark C20 Thermometers



Performance with Style

Stylish new case, waterproof to IP67 standards

Countdown timer

Exceptional battery life of up to 14000 hours

Permanent clock display

Choice of models for use with thermistor/type T thermocouple probes or type K thermocouple probes

°C or °F scales

Data hold function

Easy to use keypad and large LCD display

Auto switch-off

Built-in protective boot

Interactive cell-phone style menu for selection of

- Scales
- Clock adjustment
- Countdown timer
 - Can be stopped during countdown
 - Uses include monitoring how long probe is inserted to obtain accurate reading or monitoring cooking and cooling times
 - Bleeps to advise end of timed period



Selectable auto switch-off, with choice of time period before the instrument turns off

- 3 minutes
- 10 minutes
- 30 minutes

Comark is the leading manufacturer and supplier of a wide range of electronic measurement instruments for temperature, humidity, pressure and pH.

Click on www.comarkltd.com for more information

Comark C20 Thermometers



C20 Model Range

The two C20 models are: -

C22

- Use with wide range of Comark thermistor or type T thermocouple probes
- Automatic recognition of probe sensor type

C28 K Type

- For use with wide range of Comark type K thermocouple probes
- Measurement range covers food or industrial applications

C20 Model Planner

| Model | C22 | C28 K Type |
|---------------------|---------|---------------|
| Countdown Timer | Yes | Yes |
| Data Hold | Yes | Yes |
| Real Time Clock | Yes | Yes |
| Scales | °C/°F | °F/°C |
| Connector | Lumberg | Sub-miniature |
| Thermistor | Yes | No |
| Type T Thermocouple | Yes | No |
| Type K Thermocouple | No | Yes |
| Auto Off | Yes | Yes |
| IP67 | Yes | Yes |

C20 Thermometers with BioCote® Protection

BioCote® is a silver based anti-microbial agent that is impregnated into the instrument case during moulding. BioCote® effectively inhibits the function, growth and reproduction of a wide range of micro-organisms and its protection is increasingly accepted as part of HACCP, due diligence and health and safety procedures to reduce cross contamination. BioCote® protection lasts for the life of the instrument, because the agent is present throughout the case plastic and cannot rub off or be washed or leached out.

BioCote® active ingredients are registered with the US Environmental Protection Agency (EPA).

Although BioCote® inhibits the growth of micro-organisms on the instrument case, it does not protect individuals against such harmful organisms or remove the need to maintain the highest standards of personal and product hygiene and cleanliness.



Distributed by:

C159/2/EN © Comark Limited J36153/9/04

C20 SERIES TECHNICAL SPECIFICATIONS

| | | |
|--|---|-------------------------------------|
| Sensor Type | C22 | Thermistor/Type T thermocouple |
| | C28 K Type | Thermocouple Type K |
| Measurement Range | C22 | |
| | Thermistor | -50°C to +150°C, -58°F to +302°F |
| | Type T | -200°C to +400°C, -328°F to +752°F |
| | C28 K Type | -200°C to +600°C, -328°F to +1112°F |
| Scales | °C and °F | |
| Displayed Resolution | > -100° | 0.1° |
| | ≤ -100° | 1° |
| System Accuracy at +23°C/+73°F | between 0°C to +70°C, +32°F to +158°F | |
| | Thermistor | <±0.3°C/0.6°F |
| | Type T | ±0.5°C/0.9°F |
| | <i>Typical accuracy with a Comark probe</i> | |
| Instrument Accuracy at +23°C/+73°F, full range | Type K | 0.1% ± 0.2°C/0.4°F |
| Operating Temperature Range | -20°C to +50°C/-4°F to +122°F | |
| Display | 4 digit, 12.5mm LCD | |
| Countdown Timer Interval | 1 second to 24 hours | |
| Environmental Protection | IP67 BS EN 60529 IEC 529 | |
| Battery | 2 x Type I.E.C. LR6 Size AA | |
| Battery Life (continuous) | Using Thermocouple Probes | Up to 7000 hours |
| | Using Thermistor Probes | Up to 14000 hours |
| Dimensions | Length | 152mm/6 inches |
| | Width | 58mm/2.3 inches |
| | Depth | 22/27mm/0.9/1.1 inches |
| Weight | 178g/6.3 oz | |

WARRANTY

All Comark Instruments have a minimum one-year warranty unless otherwise stated. The warranty period for temperature probes is six months and all other probes and electrodes are unwarranted because the conditions of use are beyond our control.

The Comark warranty covers manufacturing defects and component failure and applies worldwide. The warranty does not affect your statutory rights.

In line with our policy of continuous development we reserve the right to alter any product specifications without notice.

All products are covered by our Quality Management System which is compliant with BS EN ISO 9001:2000 for the design, manufacture, supply, service, repair and recalibration of electronic measuring instruments and equipment.

Comark has an accredited UKAS calibration laboratory for temperature and humidity measurement and can offer full service and recalibration facilities.

Comark Limited Gunnels Wood Road,
Stevenage, Hertfordshire SG1 2TA England

Tel: 01438 (+44 1438) 367367
Fax: 01438 (+44 1438) 367400

Email enquiries UK and Ireland:
salesuk@comarkltd.com
Email enquiries International:
salesint@comarkltd.com

Comark Instruments Inc.
9710 SW Sunshine Court,
Beaverton, OR 97005, USA.

Tel: (503) 643 5204 Fax: (503) 644 5859
Email: sales@comarkUSA.com

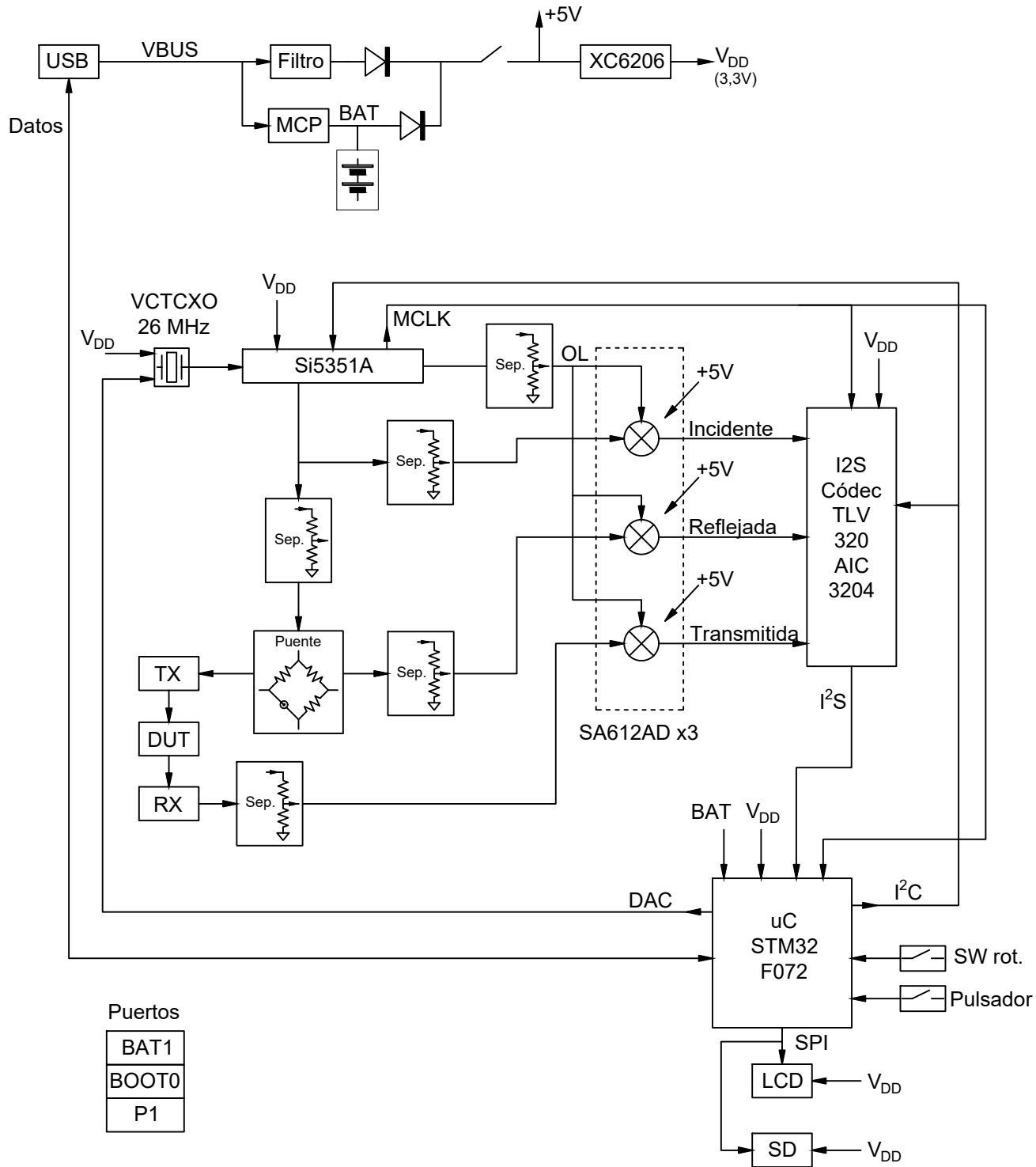


Click on www.comarkltd.com for more information

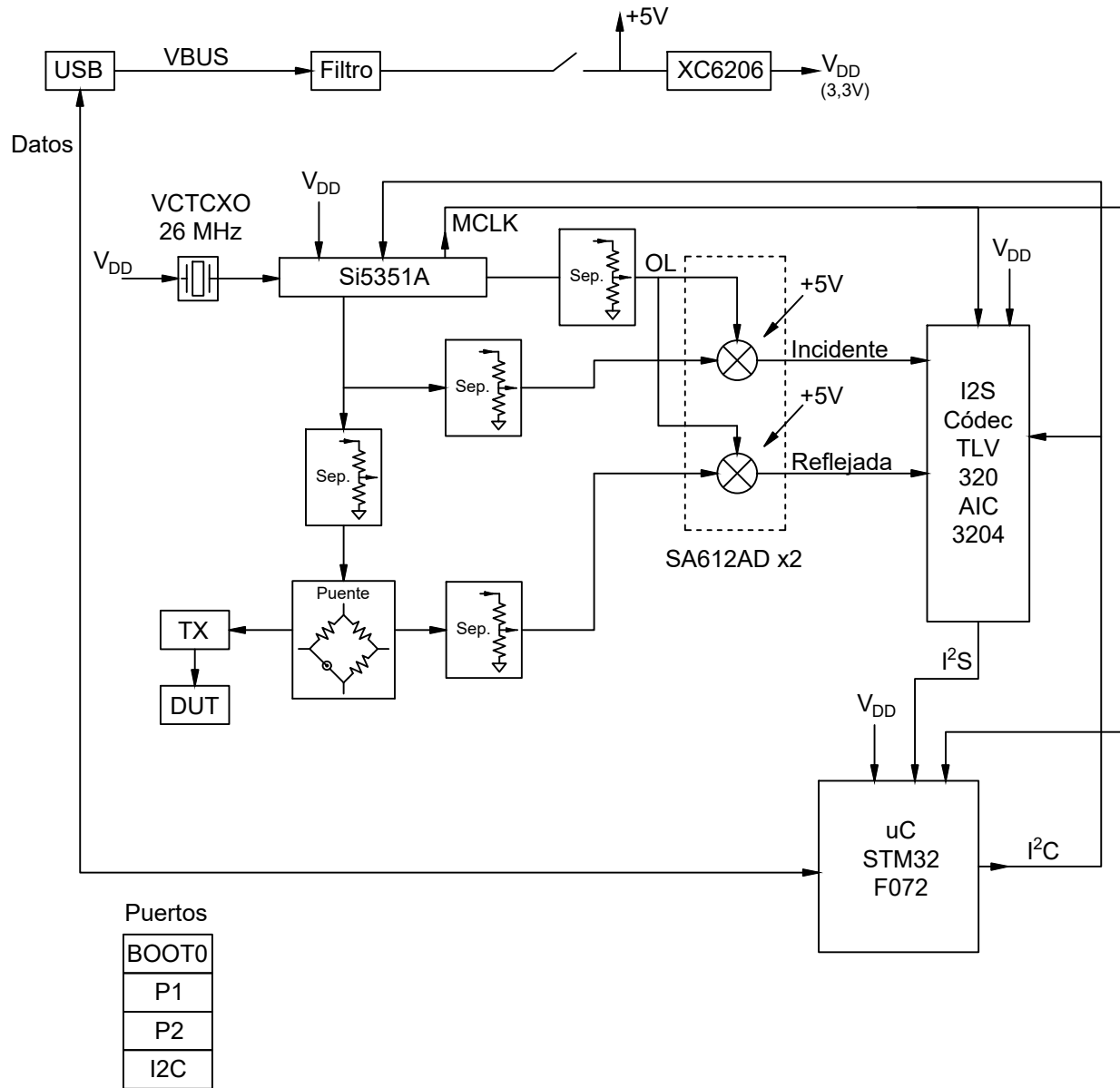
Anexo II

Diagramas de bloques

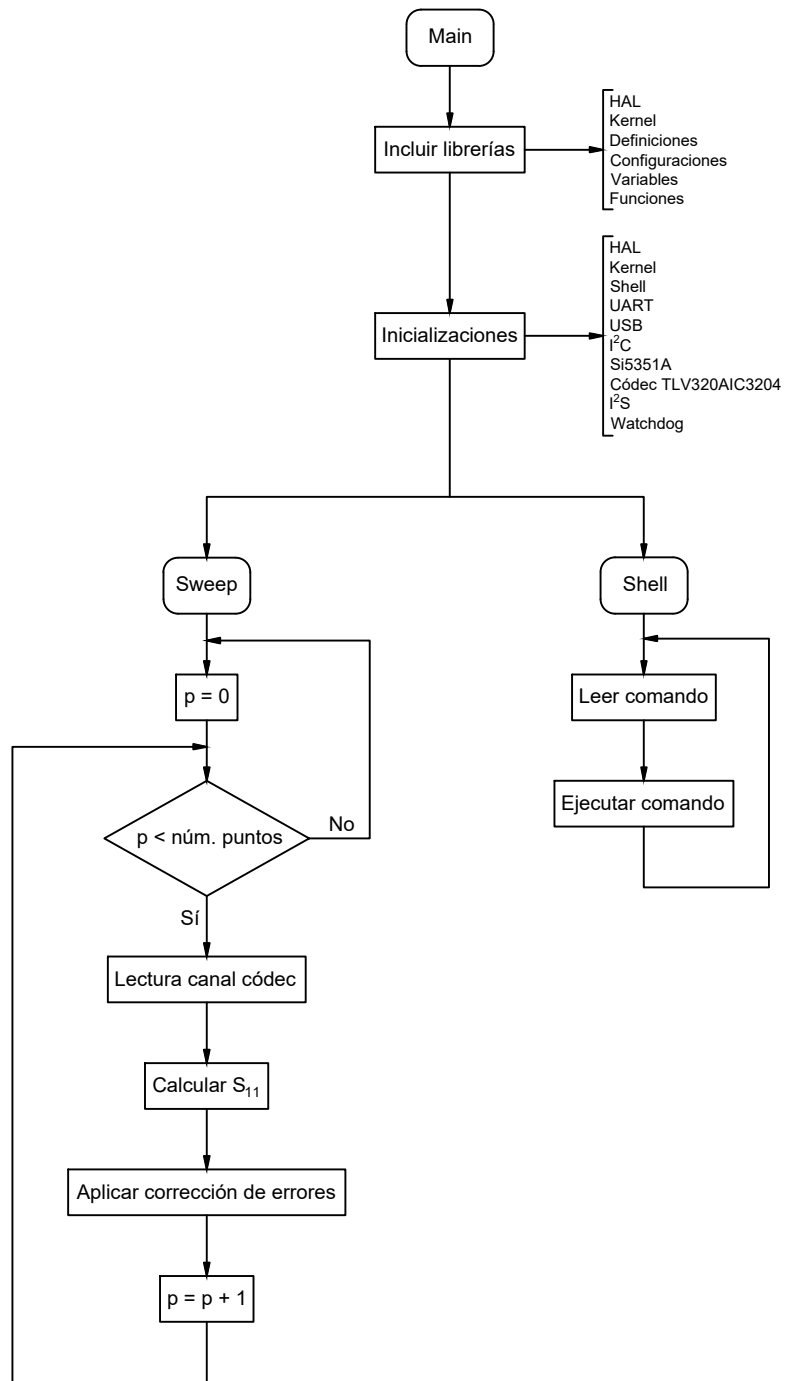
II.1. Diagrama de bloques del VNA de 2 puertos



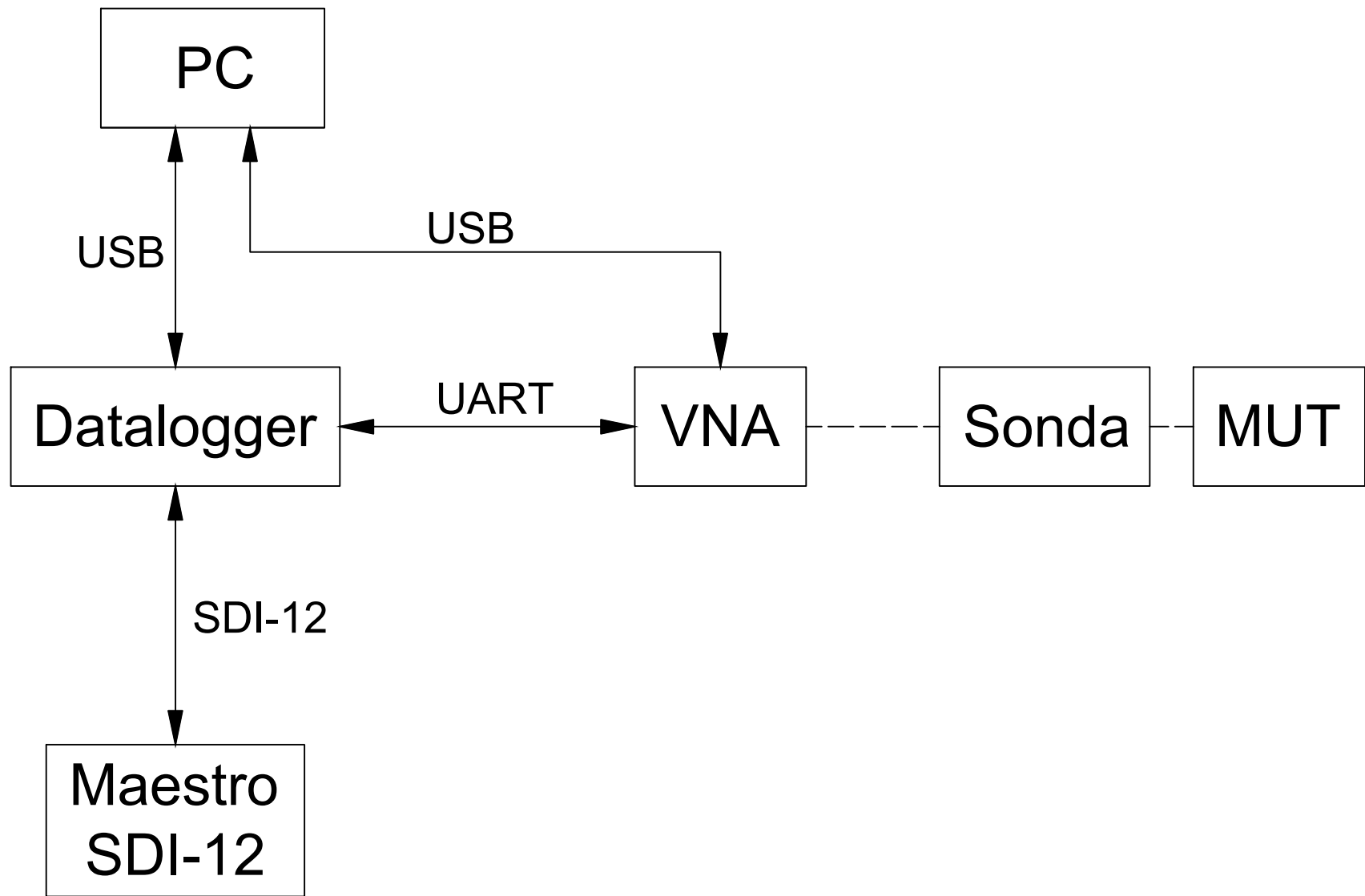
II.2. Diagrama de bloques del VNA de 1 puerto



II.3. Flujograma del código del microcontrolador del VNA



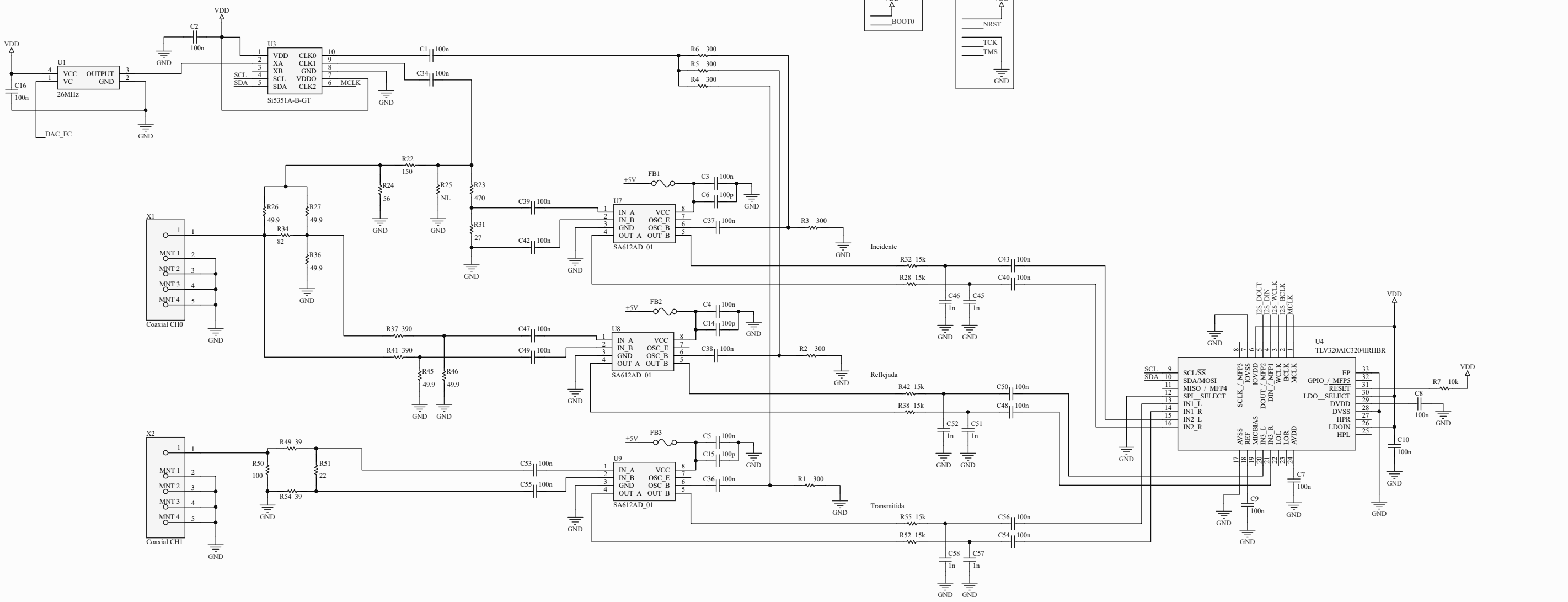
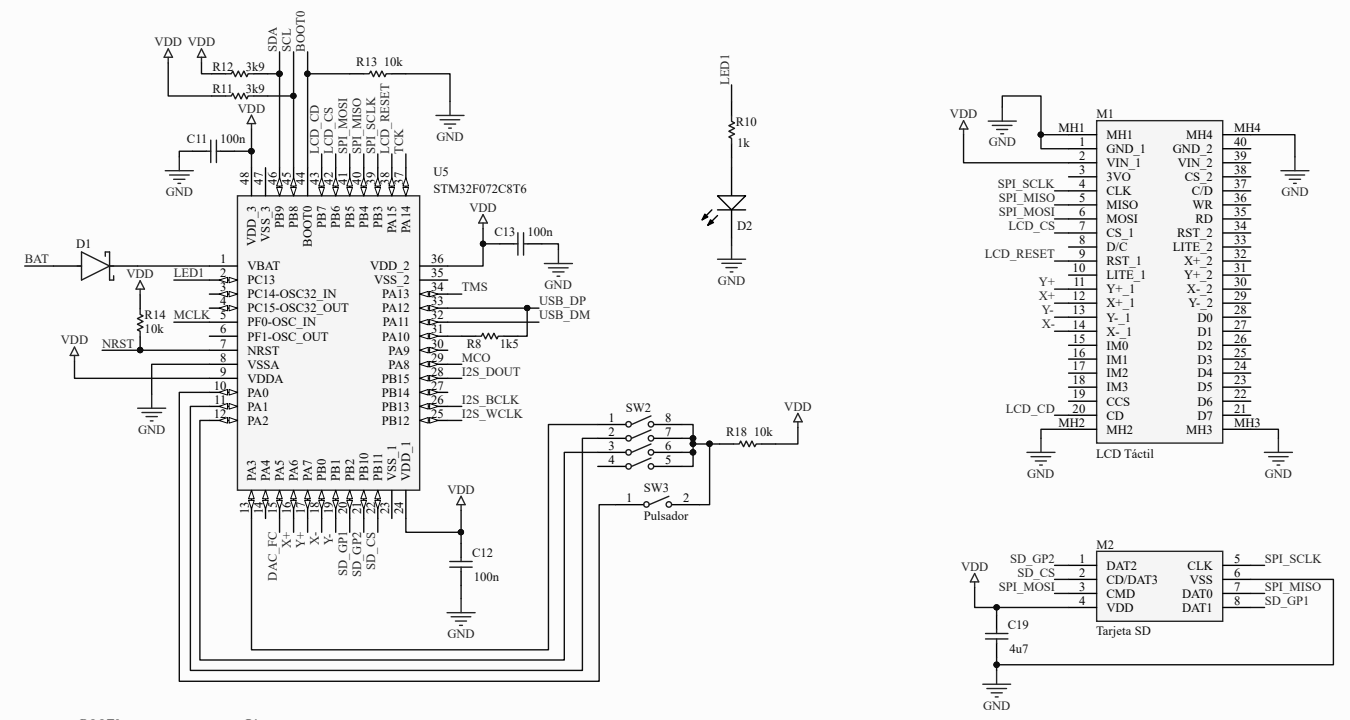
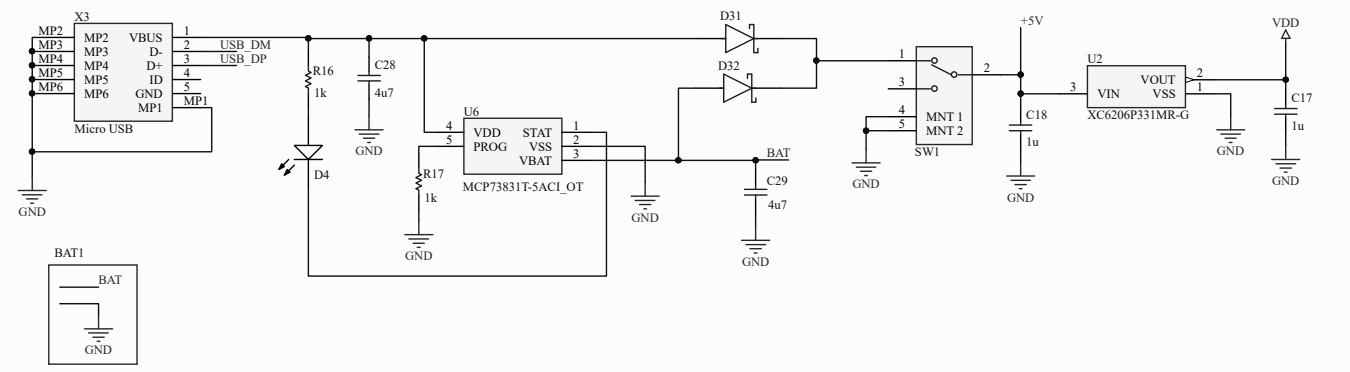
II.4. Diagrama de bloques para la realización de ensayos con el VNA



Anexo III

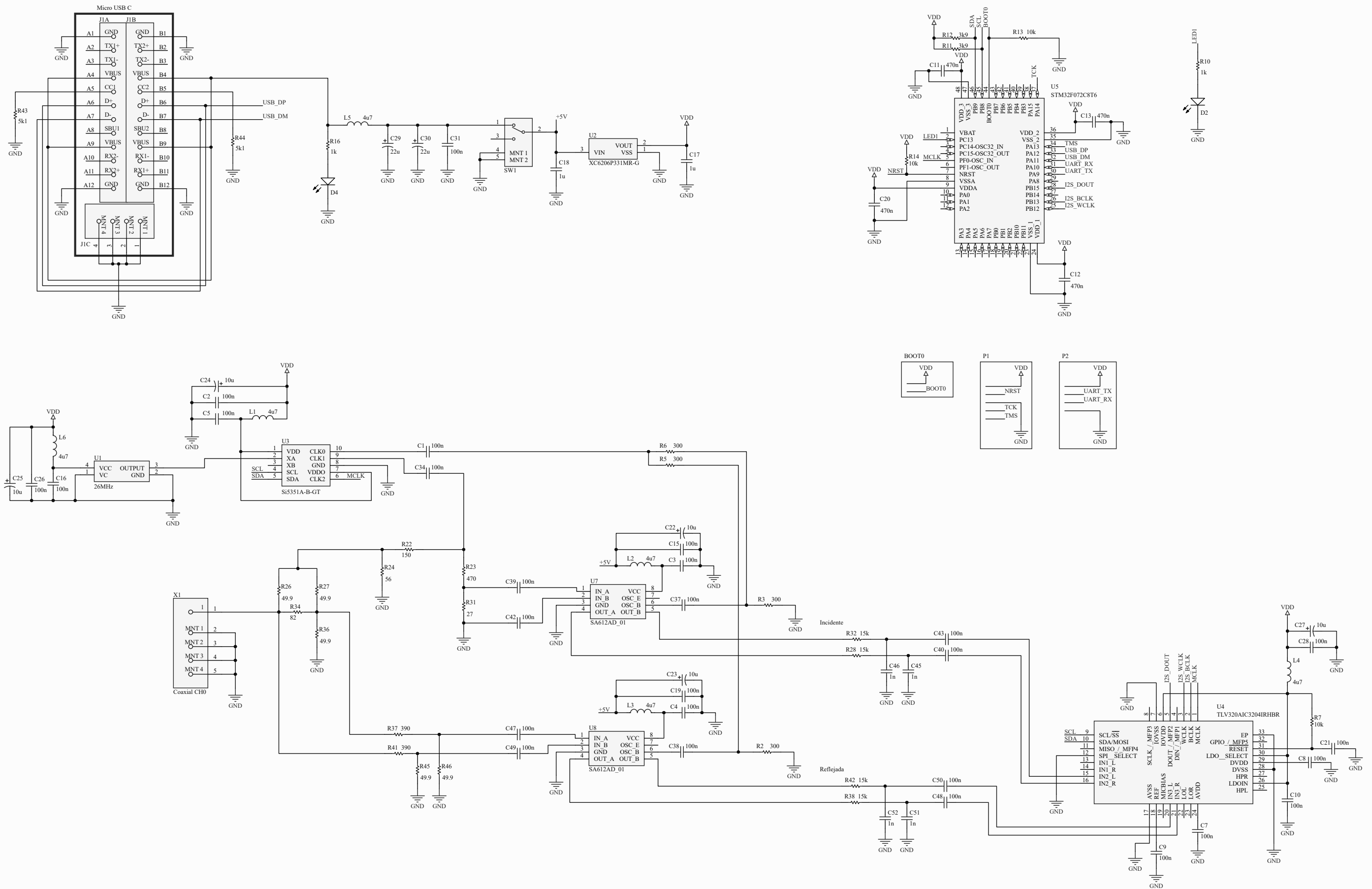
Esquemáticos

III.1. Esquemático del VNA de 2 puertos



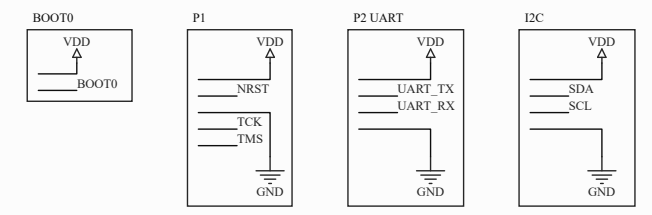
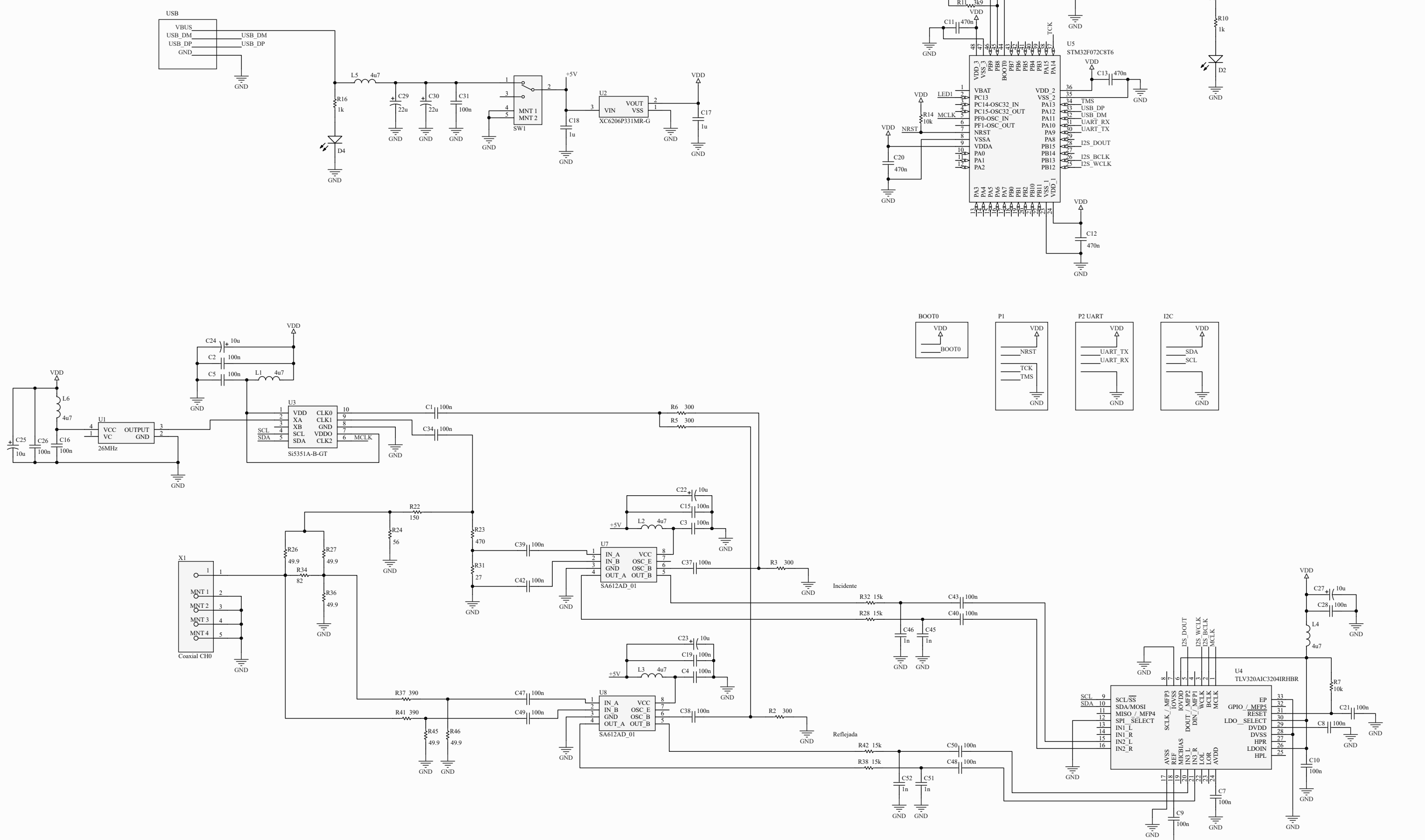
| | | | |
|-------|----------------------------|--------------------------|--|
| Title | | VNA | |
| Size | Number | Revision | |
| A3 | 1 | 1 | |
| Date: | 03/04/2021 | Sheet 1 of 1 | |
| File: | C:\Users\...VNA SCH.SchDoc | Drawn By: Javier Garrido | |

III.2. Esquemático del VNA de 1 puerto. Primera versión



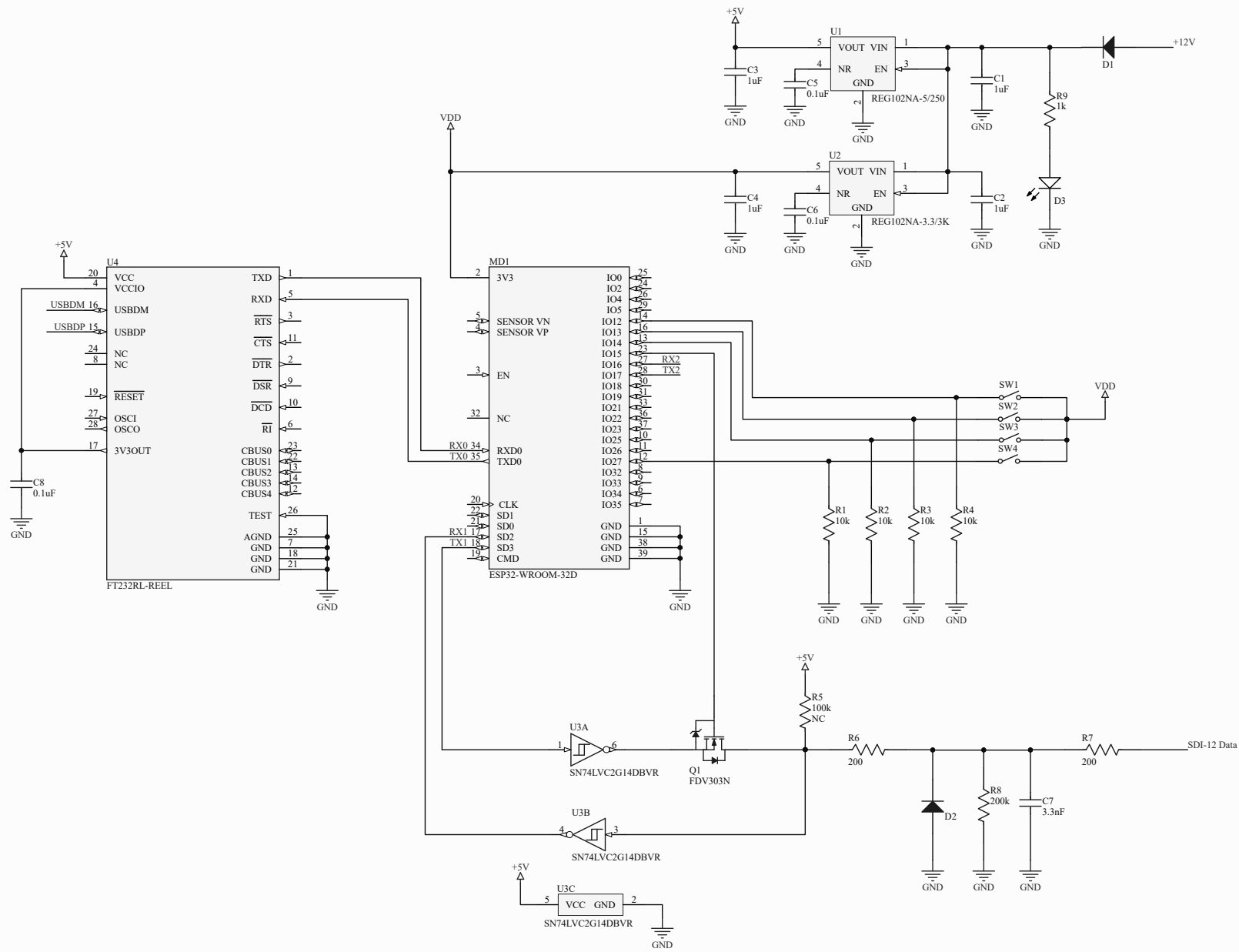
| Title | | |
|----------|---------------------------------|--------------------------|
| VNA Mini | Number | Revision |
| A3 | 1 | 1 |
| Date: | 11/04/2021 | Sheet 1 of 1 |
| File: | C:\Users\...VNA mini SCH.SchDoc | Drawn By: Javier Garrido |

III.3. Esquemático del VNA de 1 puerto. Última versión



| | | |
|----------|---------------------------------|--------------------------|
| Title | | |
| VNA Mini | | |
| Size | Number | Revision |
| A3 | 1 | 1 |
| Date: | 25/06/2021 | Sheet 1 of 1 |
| File: | C:\Users\...VNA mini SCH.SchDoc | Drawn By: Javier Garrido |

III.4. Esquemático del Datalogger

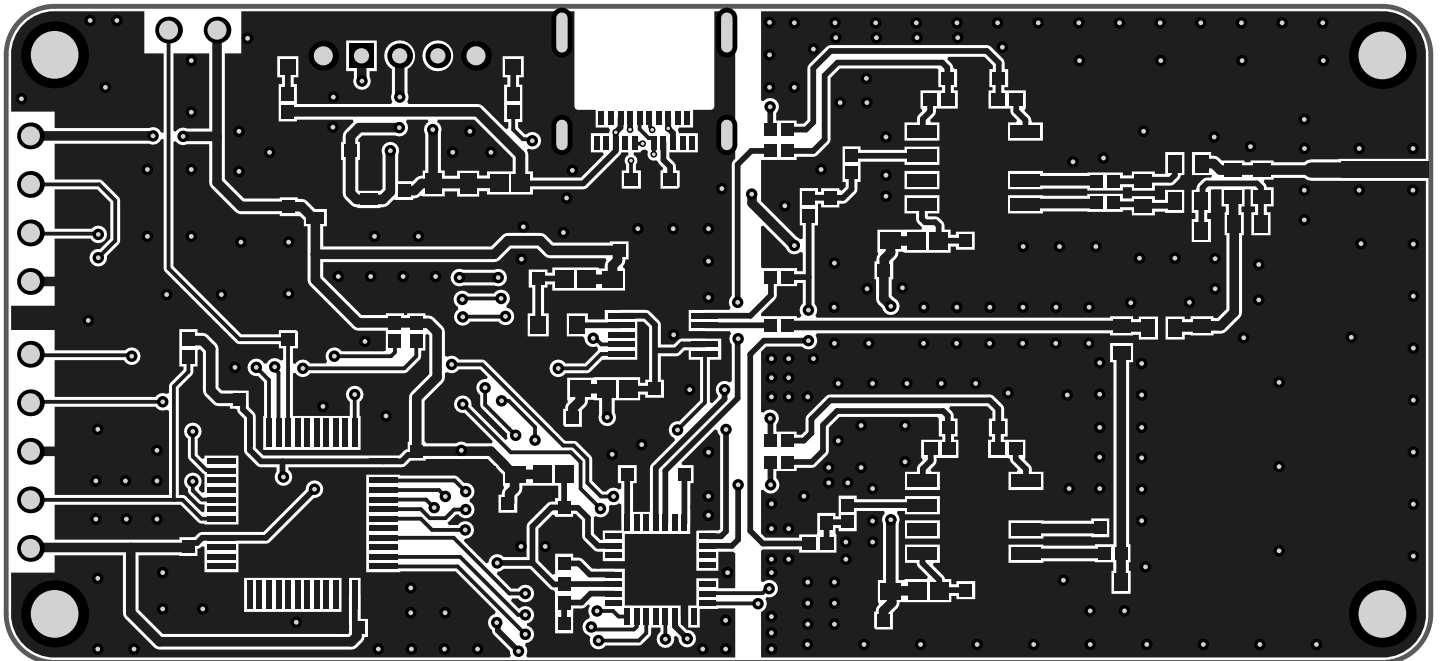


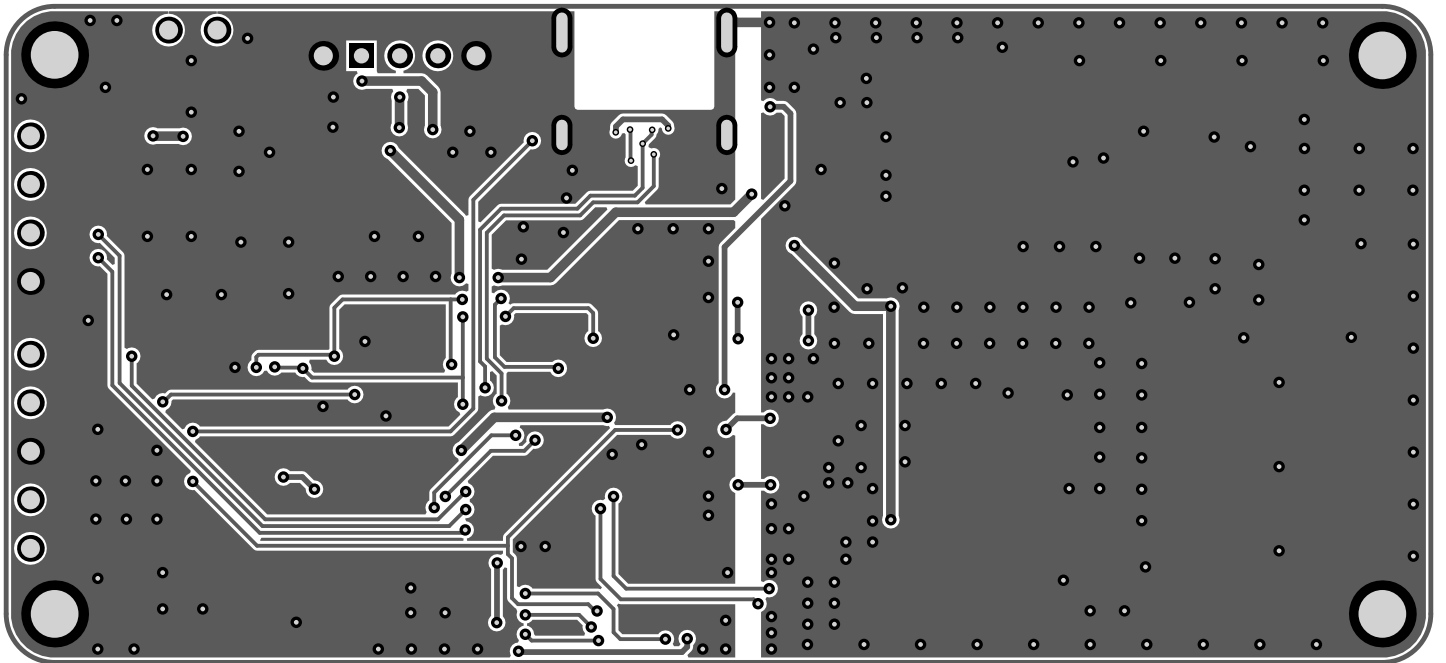
| Title | | |
|----------------|--|--------------------------|
| Datalogger VNA | | |
| Size | Number | Revision |
| A3 | 1 | 1 |
| Date: | 04/07/2021 | Sheet 1 of 1 |
| File: | C:\Users\..._ESP32 Datalogger SCH\SchDoc | Drawn By: Javier Garrido |

Anexo IV

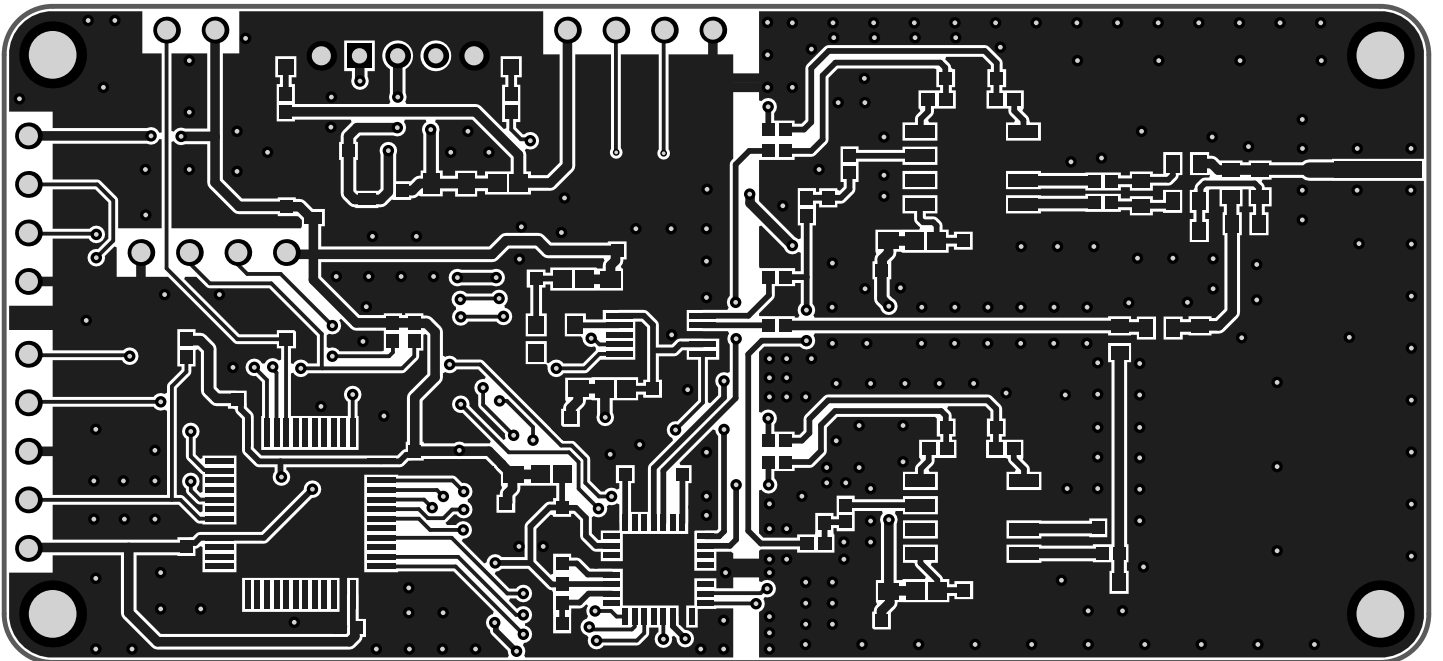
Placas de circuito impreso (PCB)

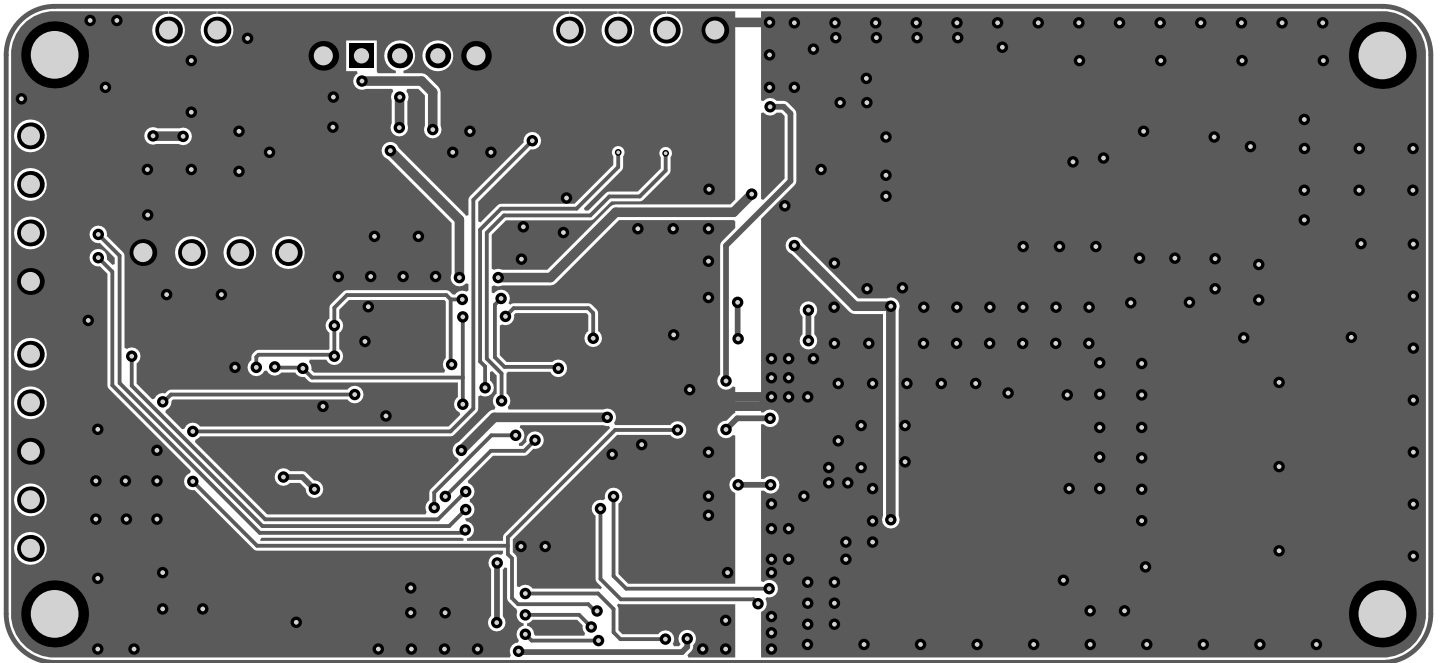
IV.1. PCB del VNA. Primera versión



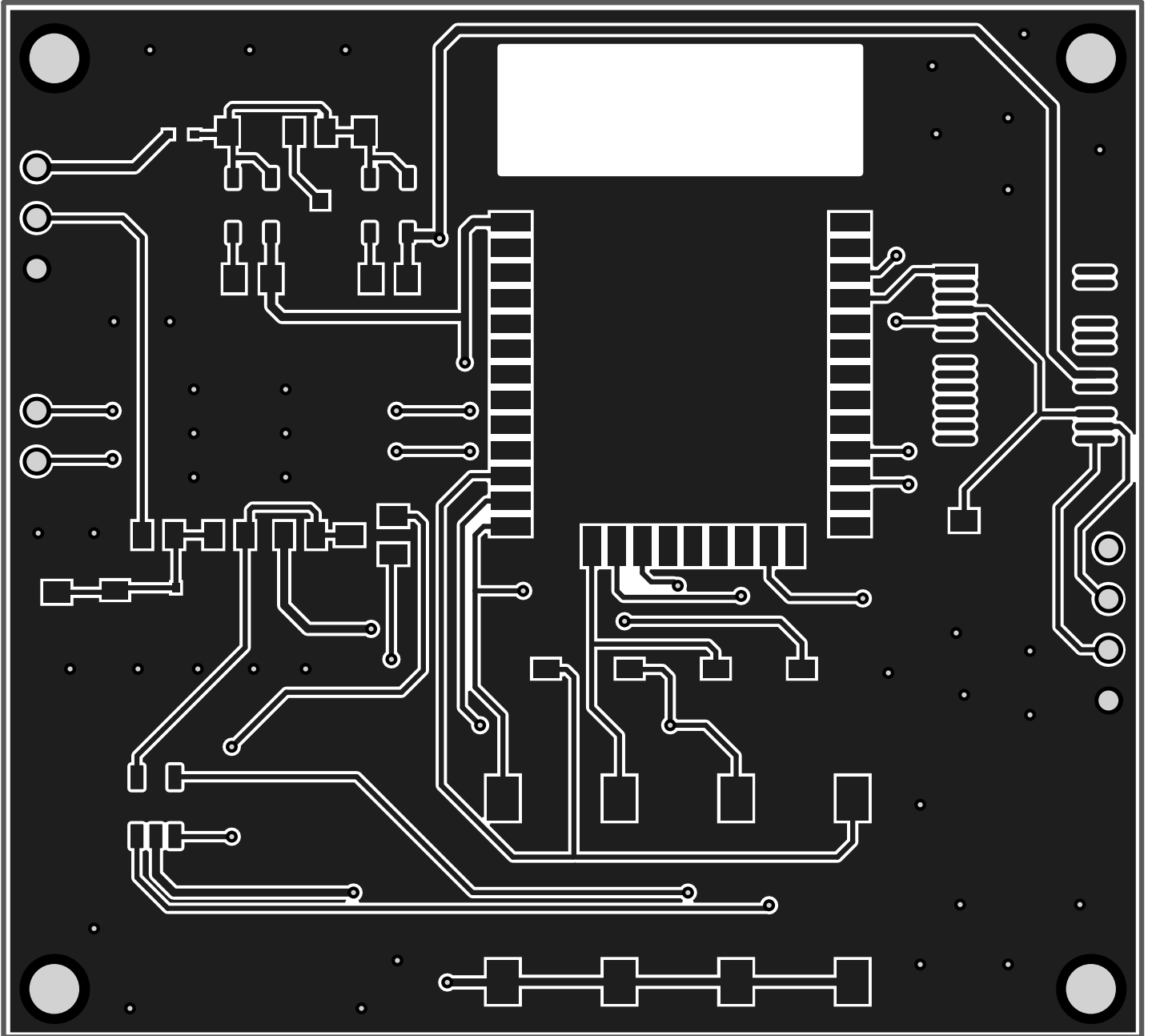


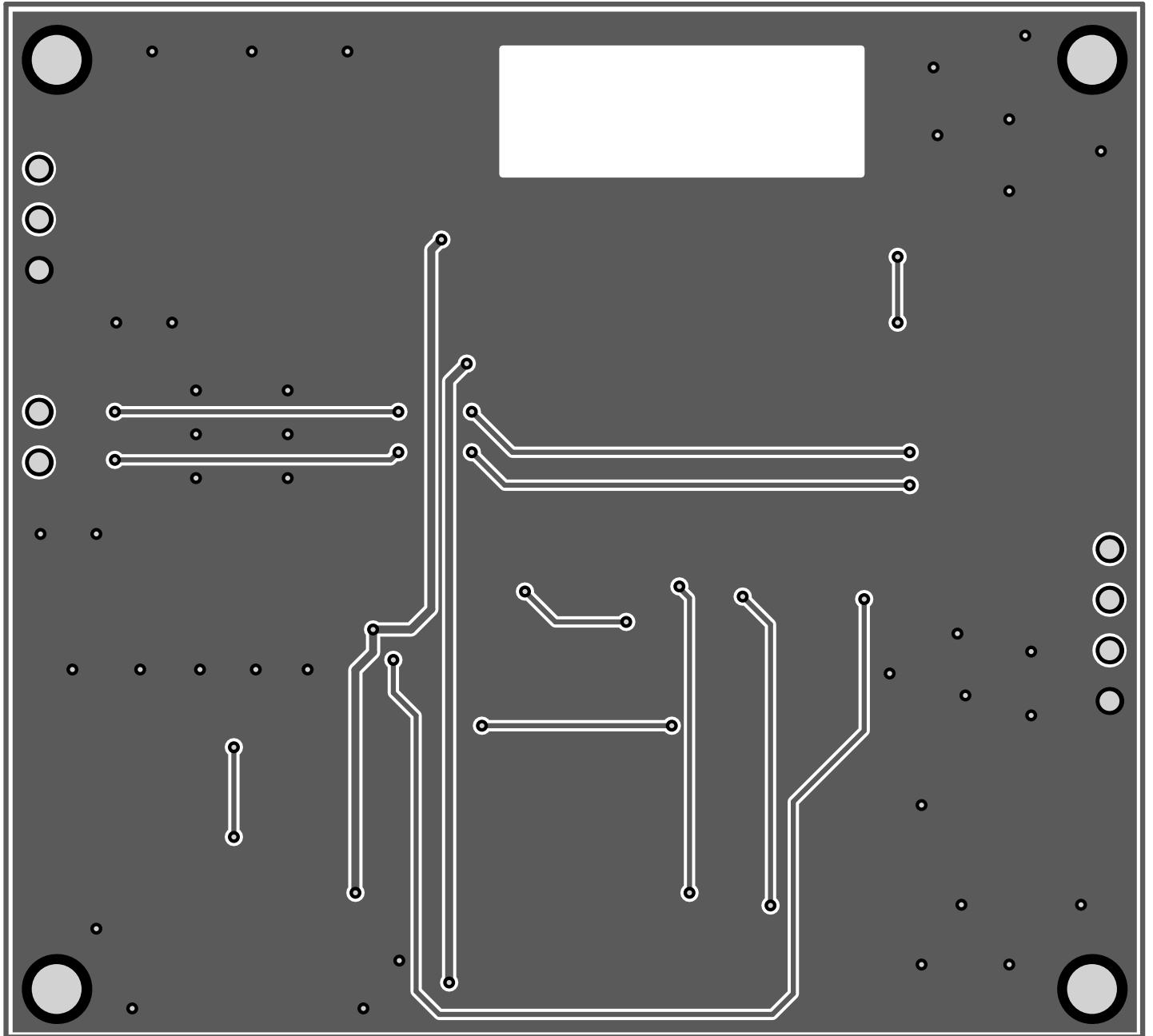
IV.2. PCB del VNA. Última versión





IV.3. PCB del Datalogger





IV.4. Dimensiones del VNA (mm)

Anexo V

Códigos

V.1. Código C del *main.c* del microcontrolador del VNA

```
1  /*
2   * VNA
3   */
4
5  #include "ch.h"
6  #include "hal.h"
7  #include "usbcfg.h"
8  #include "si5351.h"
9  #include "nanovna.h"
10 #include "fft.h"
11
12 #include <chprintf.h>
13 #include <string.h>
14 #include <math.h>
15
16
17 static BaseSequentialStream *shell_stream;
18 bool enable_usart_data = false;
19
20 #define ENABLE_TRANSFORM_COMMAND
21 #define ENABLE_SCANBIN_COMMAND
22 #define ENABLE_USART_COMMAND
23
24 #define VNA_SHELL_FUNCTION(command_name) static void ...
25     command_name(int argc, char *argv[])
26
27 static void apply_CH0_error_term_at(int i);
28 static void apply_edelay(void);
29
30 static uint16_t get_sweep_mask(void);
31 static void cal_interpolate(void);
32 static void update_frequencies(bool interpolate);
33 static int set_frequency(uint32_t freq);
34 static void set_frequencies(uint32_t start, uint32_t stop, ...
35     uint16_t points);
36
37 static bool sweep(bool break_on_operation, uint16_t ch_mask);
38 static void transform_domain(void);
39
40 uint8_t sweep_mode = SWEEP_ENABLE;
41
42 volatile uint16_t wait_count = 0;
43 // Punto de barrido actual
44 static uint16_t p_sweep = 0;
```

```
42 // Buffer I2S
43 static int16_t rx_buffer[AUDIO_BUFFER_LEN * 2];
44 // Datos medidos en el barrido
45 float measured[1][POINTS_COUNT][2];
46 uint32_t frequencies[POINTS_COUNT];
47
48
49 // Hilo para el sweep
50 static THD_WORKING_AREA(waThread1, 768);
51 static THD_FUNCTION(Thread1, arg)
52 {
53     while (1) {
54         wdgReset(&WDGD1);
55         bool completed = false;
56         if (sweep_mode & (SWEEP_ENABLE | SWEEP_ONCE)) {
57             completed = sweep(true, get_sweep_mask());
58             sweep_mode &= ~SWEEP_ONCE;
59         } else {
60             __WFI();
61         }
62         // Process collected data only if scan completed
63         if ((sweep_mode & SWEEP_ENABLE) && completed) {
64             if (electrical_delay != 0) apply_edelay();
65             if ((domain_mode & DOMAIN_MODE) == DOMAIN_TIME) ...
66                 transform_domain();
67         }
68     }
69 }
70
71 static inline void
72 pause_sweep(void)
73 {
74     sweep_mode &= ~SWEEP_ENABLE;
75 }
76
77 static inline void
78 resume_sweep(void)
79 {
80     sweep_mode |= SWEEP_ENABLE;
81 }
82
83 void
84 toggle_sweep(void)
85 {
86     sweep_mode ^= SWEEP_ENABLE;
87 }
88
89
```

```
90 // Dominio del tiempo
91 static float
92 bessel0(float x)
93 {
94     const float eps = 0.0001;
95
96     float ret = 0;
97     float term = 1;
98     float m = 0;
99
100    while (term > eps * ret) {
101        ret += term;
102        ++m;
103        term *= (x*x) / (4*m*m);
104    }
105    return ret;
106 }
107
108 static float
109 kaiser_window(float k, float n, float beta)
110 {
111     if (beta == 0.0) return 1.0;
112     float r = (2 * k) / (n - 1) - 1;
113     return bessel0(beta * sqrt(1 - r * r)) / bessel0(beta);
114 }
115
116 static void
117 transform_domain(void)
118 {
119     float* tmp = (float*)spi_buffer;
120
121     uint16_t window_size = sweep_points, offset = 0;
122     uint8_t is_lowpass = FALSE;
123     uint8_t td_func = domain_mode & TD_FUNC;
124     switch (td_func) {
125         case TD_FUNC_BANDPASS:
126             offset = 0;
127             window_size = sweep_points;
128             break;
129         case TD_FUNC_LOWPASS_IMPULSE:
130         case TD_FUNC_LOWPASS_STEP:
131             is_lowpass = TRUE;
132             offset = sweep_points;
133             window_size = sweep_points * 2;
134             break;
135     }
136
137     float beta = 0.0f;
138     switch (domain_mode & TD_WINDOW) {
```

```
139     case TD_WINDOW_MINIMUM:
140         //beta = 0.0f;
141         break;
142     case TD_WINDOW_NORMAL:
143         beta = 6.0f;
144         break;
145     case TD_WINDOW_MAXIMUM:
146         beta = 13.0f;
147         break;
148 }
149
150 static float window_scale = 1.0f;
151 static uint16_t td_cache = 0;
152 uint16_t td_check = (domain_mode & ...
153     (TD_WINDOW|TD_FUNC)) | (sweep_points<<5);
154 if (td_cache!=td_check){
155     td_cache=td_check;
156     if (td_func == TD_FUNC_LOWPASS_STEP)
157         window_scale = 1.0f;
158     else {
159         window_scale = 0.0f;
160         for (int i = 0; i < sweep_points; i++)
161             window_scale += kaiser_window(i + offset, ...
162                 window_size, beta);
163         window_scale = (FFT_SIZE/2) / window_scale;
164         if (td_func == TD_FUNC_BANDPASS)
165             window_scale *= 2;
166     }
167 }
168
169 uint16_t ch_mask = get_sweep_mask();
170 for (int ch = 0; ch < 1; ch++,ch_mask>>=1) {
171     if ((ch_mask&1)==0) continue;
172     memcpy(tmp, measured[ch], sizeof(measured[0]));
173     for (int i = 0; i < sweep_points; i++) {
174         float w = kaiser_window(i + offset, window_size, beta) ...
175             * window_scale;
176         tmp[i * 2 + 0] *= w;
177         tmp[i * 2 + 1] *= w;
178     }
179     for (int i = sweep_points; i < FFT_SIZE; i++) {
180         tmp[i * 2 + 0] = 0.0;
181         tmp[i * 2 + 1] = 0.0;
182     }
183     if (is_lowpass) {
184         for (int i = 1; i < sweep_points; i++) {
185             tmp[(FFT_SIZE - i) * 2 + 0] = tmp[i * 2 + 0];
186             tmp[(FFT_SIZE - i) * 2 + 1] = -tmp[i * 2 + 1];
187         }
188     }
189 }
```

```
185     }
186
187     fft_inverse((float(*)[2])tmp);
188     memcpy(measured[ch], tmp, sizeof(measured[0]));
189     for (int i = 0; i < sweep_points; i++) {
190         measured[ch][i][0] /= (float)FFT_SIZE;
191         if (is_lowpass) {
192             measured[ch][i][1] = 0.0;
193         } else {
194             measured[ch][i][1] /= (float)FFT_SIZE;
195         }
196     }
197     if ((domain_mode & TD_FUNC) == TD_FUNC_LOWPASS_STEP) {
198         for (int i = 1; i < sweep_points; i++) {
199             measured[ch][i][0] += measured[ch][i - 1][0];
200         }
201     }
202 }
203 }
204
205
206 void set_power(uint8_t value) {
207     if (value > SI5351_CLK_DRIVE_STRENGTH_8MA) value = ...
208         SI5351_CLK_DRIVE_STRENGTH_AUTO;
209     if (current_props._power == value) return;
210     current_props._power = value;
211     // Actualizar la potencia
212     if (!(sweep_mode & SWEEP_ENABLE)) si5351_set_power(value);
213 }
214
215 static void (*sample_func)(float *gamma) = calculate_gamma;
216
217 config_t config = {
218     .magic          = CONFIG_MAGIC,
219     .dac_value      = 1922,
220     ._mode          = VNA_MODE_START_STOP,
221     .harmonic_freq_threshold = FREQUENCY_THRESHOLD,
222     ._serial_speed  = 1000000,
223     .bandwidth      = BANDWIDTH_1000
224 };
225
226 properties_t current_props;
227
228 // Configuración por defecto del VNA
229 static const trace_t def_trace[TRACES_MAX] = { //enable, ...
230     type, channel, reserved, scale, refpos
231     { 1, TRC_LOGMAG, 0, 0, 10.0, NGRIDY-1 },
232     { 1, TRC_LOGMAG, 1, 0, 10.0, NGRIDY-1 },
```

```
232     { 1, TRC_SMITH, 0, 0, 1.0, 0 },
233     { 1, TRC_PHASE, 1, 0, 90.0, NGRIDY/2 }
234 };
235
236 static const marker_t def_markers[MARKERS_MAX] = {
237     { 1, 0, 30, 0 }, { 0, 0, 40, 0 }, { 0, 0, 60, 0 }, { 0, 0, ...
        80, 0 }
238 };
239
240 // Cargar las propiedades por defecto
241 void load_default_properties(void)
242 {
243     current_props._frequency0 = 50000; // inicio = 50kHz
244     current_props._frequency1 = 900000000; // fin = 900MHz
245     current_props._sweep_points = POINTS_COUNT_DEFAULT; // ...
        Puntos por defecto
246     current_props._cal_status = 0;
247     current_props._electrical_delay = 0.0;
248     memcpy(current_props._trace, def_trace, sizeof(def_trace));
249     memcpy(current_props._markers, def_markers, ...
        sizeof(def_markers));
250     current_props._velocity_factor = 0.7;
251     current_props._active_marker = 0;
252     current_props._domain_mode = 0;
253     current_props._marker_smith_format = MS_RLC;
254     current_props._power = SI5351_CLK_DRIVE_STRENGTH_AUTO;
255 }
256
257 int load_properties(uint32_t id)
258 {
259     int r = caldata_recall(id);
260     update_frequencies(false);
261     return r;
262 }
263
264
265 // Función de callback I2S DMA
266 static volatile systime_t ready_time = 0;
267 void i2s_end_callback(I2SDriver *i2sp, size_t offset, size_t n)
268 {
269     int16_t *p = &rx_buffer[offset];
270     (void)i2sp;
271     if (wait_count == 0 || chVTGetSystemTimeX() < ready_time) ...
        return;
272     if (wait_count == config.bandwidth+2) // Resetear y ...
        vaciar buffer
273     reset_dsp_accumerator();
274     else if (wait_count <= config.bandwidth+1) // ...
        Procesamiento de los datos
```

```
275     dsp_process(p, n);
276
277     --wait_count;
278 }
279
280 static const I2SConfig i2sconfig = {
281     NULL,                // TX Buffer
282     rx_buffer,          // RX Buffer
283     AUDIO_BUFFER_LEN * 2, // RX Buffer size
284     NULL,               // tx callback
285     i2s_end_callback,   // rx callback
286     0,                  // i2scfgr
287     0                    // i2spr
288 };
289
290 #define DELAY_CHANNEL_CHANGE    3
291 #define DELAY_SWEEP_START      50 // Delay para empezar el ...
    barrido
292
293 #define DSP_START(delay) {ready_time = chVTGetSystemTimeX() ...
    + delay; wait_count = config.bandwidth+2;}
294 #define DSP_WAIT                while (wait_count) {__WFI();}
295 #define RESET_SWEEP             {p_sweep = 0;}
296
297 #define SWEEP_CH0_MEASURE      1
298
299 static uint16_t get_sweep_mask(void) {
300     uint16_t ch_mask = 0;
301     int t;
302     for (t = 0; t < TRACES_MAX; t++) {
303         if (!trace[t].enabled)
304             continue;
305         if (trace[t].channel == 0) ch_mask |= SWEEP_CH0_MEASURE;
306     }
307     return ch_mask;
308 }
309
310
311 // Bucle principal para medir el S11
312 static bool sweep(bool break_on_operation, uint16_t ch_mask)
313 {
314     int delay;
315     if (p_sweep >= sweep_points || break_on_operation == false) ...
        RESET_SWEEP;
316     if (break_on_operation && ch_mask == 0)
317         return false;
318
319     // Parpadeo del LED mientras escanea
320     palClearPad(GPIOC, GPIOC_LED);
```

```
321
322 // Esperar un tiempo para potencia estable
323 int st_delay = DELAY_SWEEP_START;
324 for (; p_sweep < sweep_points; p_sweep++) {
325     delay = set_frequency(frequencies[p_sweep]);
326
327     // CH0: REFLEXIÓN, resetear y empezar la medida
328     if (ch_mask & SWEEP_CH0_MEASURE) {
329         tlv320aic3204_select(0);
330         DSP_START(delay+st_delay);
331         delay = DELAY_CHANNEL_CHANGE;
332         DSP_WAIT;
333         (*sample_func)(measured[0][p_sweep]); // Calcula ...
334         // el coeficiente de reflexión
335         if(enable_usart_data) {
336             streamWrite((BaseSequentialStream *)&SD1, (uint8_t ...
337                 *)measured[0][p_sweep], sizeof(float)*2);
338             shell_printf("%f %f\r\n", measured[0][p_sweep][0], ...
339                 measured[0][p_sweep][1]);
340         }
341         if (APPLY_CALIBRATION_AFTER_SWEEP == 0 && (cal_status ...
342             & CALSTAT_APPLY))
343             apply_CH0_error_term_at(p_sweep);
344     }
345
346     if (operation_requested && break_on_operation) break;
347     st_delay = 0;
348 }
349
350 if(enable_usart_data) {
351     streamWrite((BaseSequentialStream *)&SD1, (uint8_t ...
352         *)"\r\n\r\n\r\n\r\n\r\n", 8);
353     shell_printf("\r\n\r\n\r\n\r\n\r\n");
354 }
355
356 // Aplica la calibración al final
357 if (APPLY_CALIBRATION_AFTER_SWEEP && (cal_status & ...
358     CALSTAT_APPLY) && p_sweep == sweep_points){
359     uint16_t start_sweep;
360     for (start_sweep = 0; start_sweep < p_sweep; start_sweep++){
361         if (ch_mask & SWEEP_CH0_MEASURE) ...
362             apply_CH0_error_term_at(start_sweep);
363     }
364 }
365
366 // Parpadeo del LED mientras escanea
367 palSetPad(GPIOC, GPIOC_LED);
368 return p_sweep == sweep_points;
369 }
```

```
363
364
365 static int set_frequency(uint32_t freq)
366 {
367     return si5351_set_frequency(freq, current_props._power);
368 }
369
370 void set_bandwidth(uint16_t bw_count){
371     config.bandwidth = bw_count&0x1FF;
372 }
373
374 uint32_t get_bandwidth_frequency(uint16_t bw_freq){
375     return (AUDIO_ADC_FREQ/AUDIO_SAMPLES_COUNT)/(bw_freq+1);
376 }
377
378 #define MAX_BANDWIDTH      (AUDIO_ADC_FREQ/AUDIO_SAMPLES_COUNT)
379 #define MIN_BANDWIDTH      ...
380                             ((AUDIO_ADC_FREQ/AUDIO_SAMPLES_COUNT)/512 + 1)
381
382 void set_sweep_points(uint16_t points){
383     if (points == sweep_points || points > POINTS_COUNT)
384         return;
385
386     sweep_points = points;
387     update_frequencies(cal_status & CALSTAT_APPLY);
388
389 }
390
391 #define SCAN_MASK_OUT_FREQ      0b00000001
392 #define SCAN_MASK_OUT_DATA0    0b00000010
393 #define SCAN_MASK_OUT_DATA1    0b00000100
394 #define SCAN_MASK_NO_CALIBRATION 0b00001000
395 #define SCAN_MASK_BINARY      0b10000000
396
397
398 static void
399 set_frequencies(uint32_t start, uint32_t stop, uint16_t points)
400 {
401     uint32_t i;
402     uint32_t step = (points - 1);
403     uint32_t span = stop - start;
404     uint32_t delta = span / step;
405     uint32_t error = span % step;
406     uint32_t f = start, df = step>>1;
407     for (i = 0; i <= step; i++, f+=delta) {
408         frequencies[i] = f;
409         df+=error;
410         if (df >=step) {
```

```
411     f++;
412     df -= step;
413 }
414 }
415 // Fuera del rango de barrido
416 for (; i < POINTS_COUNT; i++)
417     frequencies[i] = 0;
418 }
419
420 static void
421 update_frequencies(bool interpolate)
422 {
423     uint32_t start, stop;
424     start = get_sweep_frequency(ST_START);
425     stop  = get_sweep_frequency(ST_STOP);
426
427     set_frequencies(start, stop, sweep_points);
428     if (interpolate)
429         cal_interpolate();
430     RESET_SWEEP;
431 }
432
433 void
434 set_sweep_frequency(int type, uint32_t freq)
435 {
436     int cal_applied = cal_status & CALSTAT_APPLY;
437
438     // Comprobar si la frecuencia se sale de los límites
439     if (type != ST_SPAN && freq < START_MIN)
440         freq = START_MIN;
441     if (freq > STOP_MAX)
442         freq = STOP_MAX;
443     uint32_t center, span;
444     switch (type) {
445     case ST_START:
446         config._mode &= ~VNA_MODE_CENTER_SPAN;
447         frequency0 = freq;
448         if (frequency1 < freq) frequency1 = freq;
449         break;
450     case ST_STOP:
451         config._mode &= ~VNA_MODE_CENTER_SPAN;
452         frequency1 = freq;
453         if (frequency0 > freq) frequency0 = freq;
454         break;
455     case ST_CENTER:
456         config._mode |= VNA_MODE_CENTER_SPAN;
457         center = freq;
458         span   = (frequency1 - frequency0)>>1;
459         if (span > center - START_MIN)
```

```
460     span = (center - START_MIN);
461     if (span > STOP_MAX - center)
462         span = (STOP_MAX - center);
463     frequency0 = center - span;
464     frequency1 = center + span;
465     break;
466     case ST_SPAN:
467         config._mode |= VNA_MODE_CENTER_SPAN;
468         center = (frequency0>>1) + (frequency1>>1);
469         span = freq>>1;
470         if (center < START_MIN + span)
471             center = START_MIN + span;
472         if (center > STOP_MAX - span)
473             center = STOP_MAX - span;
474         frequency0 = center - span;
475         frequency1 = center + span;
476         break;
477     case ST_CW:
478         config._mode |= VNA_MODE_CENTER_SPAN;
479         frequency0 = freq;
480         frequency1 = freq;
481         break;
482     }
483     update_frequencies(cal_applied);
484 }
485
486 uint32_t
487 get_sweep_frequency(int type)
488 {
489     if (frequency0 > frequency1) {
490         uint32_t t = frequency0;
491         frequency0 = frequency1;
492         frequency1 = t;
493     }
494     switch (type) {
495         case ST_START: return frequency0;
496         case ST_STOP: return frequency1;
497         case ST_CENTER: return frequency0/2 + frequency1/2;
498         case ST_SPAN: return frequency1 - frequency0;
499         case ST_CW: return frequency0;
500     }
501     return 0;
502 }
503
504
505 // Corrección de errores
506
507 static void
508 eterm_set(int term, float re, float im)
```

```
509 {
510     int i;
511     for (i = 0; i < sweep_points; i++) {
512         cal_data[term][i][0] = re;
513         cal_data[term][i][1] = im;
514     }
515 }
516
517 static void
518 eterm_copy(int dst, int src)
519 {
520     memcpy(cal_data[dst], cal_data[src], sizeof cal_data[dst]);
521 }
522
523
524 static void
525 eterm_calc_es(void)
526 {
527     int i;
528     for (i = 0; i < sweep_points; i++) {
529         // z=1/(jwc*z0) = 1/(2*pi*f*c*z0)
530         // s11ao = (z-1)/(z+1) = (1-1/z)/(1+1/z) = ...
531         //          (1-jwc*z0)/(1+jwc*z0)
532         // Preparo 1/s11ao para mayor eficiencia
533         float c = 50e-15;
534         float z0 = 50;
535         float z = 2 * VNA_PI * frequencies[i] * c * z0;
536         float sq = 1 + z*z;
537         float s11aor = (1 - z*z) / sq;
538         float s11aoi = 2*z / sq;
539
540         // S11mo' = S11mo - Ed
541         // S11ms' = S11ms - Ed
542         float s11lor = cal_data[CAL_OPEN][i][0] - ...
543         cal_data[ETERM_ED][i][0];
544         float s11loi = cal_data[CAL_OPEN][i][1] - ...
545         cal_data[ETERM_ED][i][1];
546         float s11sr = cal_data[CAL_SHORT][i][0] - ...
547         cal_data[ETERM_ED][i][0];
548         float s11si = cal_data[CAL_SHORT][i][1] - ...
549         cal_data[ETERM_ED][i][1];
550
551         // Es = (S11mo'/s11ao + S11ms')/(S11mo' - S11ms')
552         float numr = s11sr + s11lor * s11aor - s11loi * s11aoi;
553         float numi = s11si + s11loi * s11aor + s11lor * s11aoi;
554         float denomr = s11lor - s11sr;
555         float denomi = s11loi - s11si;
556         sq = denomr*denomr+denomi*denomi;
557         cal_data[ETERM_ES][i][0] = (numr*denomr + numi*denomi)/sq;
```

```
553     cal_data[ETERM_ES][i][1] = (numi*denomr - numr*denomi)/sq;
554 }
555 cal_status &= ~CALSTAT_OPEN;
556 cal_status |= CALSTAT_ES;
557 }
558
559 static void
560 eterm_calc_er(int sign)
561 {
562     int i;
563     for (i = 0; i < sweep_points; i++) {
564         // Er = sign*(1-sign*Es)S11ms'
565         float s11sr = cal_data[CAL_SHORT][i][0] - ...
                    cal_data[ETERM_ED][i][0];
566         float s11si = cal_data[CAL_SHORT][i][1] - ...
                    cal_data[ETERM_ED][i][1];
567         float esr = cal_data[ETERM_ES][i][0];
568         float esi = cal_data[ETERM_ES][i][1];
569         if (sign > 0) {
570             esr = -esr;
571             esi = -esi;
572         }
573         esr = 1 + esr;
574         float err = esr * s11sr - esi * s11si;
575         float eri = esr * s11si + esi * s11sr;
576         if (sign < 0) {
577             err = -err;
578             eri = -eri;
579         }
580         cal_data[ETERM_ER][i][0] = err;
581         cal_data[ETERM_ER][i][1] = eri;
582     }
583     cal_status &= ~CALSTAT_SHORT;
584     cal_status |= CALSTAT_ER;
585 }
586
587 // Et está invertido para mayor eficiencia
588 static void
589 eterm_calc_et(void)
590 {
591     int i;
592     for (i = 0; i < sweep_points; i++) {
593         // Et = 1/(S21mt - Ex)
594         float etr = cal_data[CAL_THRU][i][0] - ...
                    cal_data[CAL_ISOLN][i][0];
595         float eti = cal_data[CAL_THRU][i][1] - ...
                    cal_data[CAL_ISOLN][i][1];
596         float sq = etr*etr + eti*eti;
597         float invr = etr / sq;
```

```
598     float invi = -eti / sq;
599     cal_data[ETERM_ET][i][0] = invr;
600     cal_data[ETERM_ET][i][1] = invi;
601 }
602 cal_status &= ~CALSTAT_THRU;
603 cal_status |= CALSTAT_ET;
604 }
605
606
607 static void apply_CH0_error_term_at(int i)
608 {
609     // S11m' = S11m - Ed
610     // S11a = S11m' / (Er + Es S11m')
611     float s11mr = measured[0][i][0] - cal_data[ETERM_ED][i][0];
612     float s11mi = measured[0][i][1] - cal_data[ETERM_ED][i][1];
613     float err = cal_data[ETERM_ER][i][0] + s11mr * ...
        cal_data[ETERM_ES][i][0] - s11mi * ...
        cal_data[ETERM_ES][i][1];
614     float eri = cal_data[ETERM_ER][i][1] + s11mr * ...
        cal_data[ETERM_ES][i][1] + s11mi * ...
        cal_data[ETERM_ES][i][0];
615     float sq = err*err + eri*eri;
616     float s11ar = (s11mr * err + s11mi * eri) / sq;
617     float s11ai = (s11mi * err - s11mr * eri) / sq;
618     measured[0][i][0] = s11ar;
619     measured[0][i][1] = s11ai;
620 }
621
622 static void apply_edelay(void)
623 {
624     int i;
625     float real, imag;
626     float s, c;
627     uint16_t ch_mask = get_sweep_mask();
628     for (i=0;i<sweep_points;i++){
629         vna_sin_cos(electrical_delay * frequencies[i] * 1E-12, ...
            &s, &c);
630         if (ch_mask & SWEEP_CH0_MEASURE){
631             real = measured[0][i][0];
632             imag = measured[0][i][1];
633             measured[0][i][0] = real * c - imag * s;
634             measured[0][i][1] = imag * c + real * s;
635         }
636     }
637 }
638
639 void
640 cal_collect(uint16_t type)
641 {
```

```
642  uint16_t dst, src;
643
644  static const struct {
645      uint16_t set_flag;
646      uint16_t clr_flag;
647      uint8_t dst;
648      uint8_t src;
649  } calibration_set[]={
650  //   type      set data flag      reset flag      ...
651      destination source
652      [CAL_LOAD] = {CALSTAT_LOAD, ~(
653          CALSTAT_APPLY), CAL_LOAD, 0},
654      [CAL_OPEN] = {CALSTAT_OPEN, ...
655          ~(CALSTAT_ES|CALSTAT_APPLY), CAL_OPEN, 0},
656      [CAL_SHORT]= {CALSTAT_SHORT, ...
657          ~(CALSTAT_ER|CALSTAT_APPLY), CAL_SHORT, 0},
658      [CAL_THRU] = {CALSTAT_THRU, ...
659          ~(CALSTAT_ET|CALSTAT_APPLY), CAL_THRU, 1},
660      [CAL_ISOLN]= {CALSTAT_ISOLN, ~(
661          CALSTAT_APPLY), CAL_ISOLN, 1},
662  };
663  if (type >= ARRAY_COUNT(calibration_set)) return;
664  cal_status|=calibration_set[type].set_flag;
665  cal_status&=calibration_set[type].clr_flag;
666  dst = calibration_set[type].dst;
667  src = calibration_set[type].src;
668
669  // Hacer un sweep para registrar datos
670  uint8_t bw = config.bandwidth;
671  if (bw < BANDWIDTH_100)
672      config.bandwidth = BANDWIDTH_100;
673
674  sweep(false, SWEEP_CH0_MEASURE);
675  config.bandwidth = bw;
676
677  // Copiar datos de calibración
678  memcpy(cal_data[dst], measured[src], sizeof measured[0]);
679  }
680
681  void
682  cal_done(void)
683  {
684      if (!(cal_status & CALSTAT_LOAD))
685          eterm_set(ETERM_ED, 0.0, 0.0);
686      if ((cal_status & CALSTAT_SHORT) && (cal_status & ...
687          CALSTAT_OPEN)) {
688          eterm_calc_es();
689          eterm_calc_er(-1);
690      } else if (cal_status & CALSTAT_OPEN) {
```

```
684     eterm_copy(CAL_SHORT, CAL_OPEN);
685     eterm_set(ETERM_ES, 0.0, 0.0);
686     eterm_calc_er(1);
687 } else if (cal_status & CALSTAT_SHORT) {
688     eterm_set(ETERM_ES, 0.0, 0.0);
689     cal_status &= ~CALSTAT_SHORT;
690     eterm_calc_er(-1);
691 } else if (!(cal_status & CALSTAT_ER)) {
692     eterm_set(ETERM_ER, 1.0, 0.0);
693 } else if (!(cal_status & CALSTAT_ES)) {
694     eterm_set(ETERM_ES, 0.0, 0.0);
695 }
696
697 if (!(cal_status & CALSTAT_ISOLN))
698     eterm_set(ETERM_EX, 0.0, 0.0);
699 if (cal_status & CALSTAT_THRU) {
700     eterm_calc_et();
701 } else if (!(cal_status & CALSTAT_ET)) {
702     eterm_set(ETERM_ET, 1.0, 0.0);
703 }
704
705 cal_status |= CALSTAT_APPLY;
706 }
707
708 static void
709 cal_interpolate(void)
710 {
711     const properties_t *src = caldata_reference();
712     uint32_t i, j;
713     int eterm;
714     if (src == NULL)
715         return;
716
717     // Subir no interpolados si hay
718     if (frequencies[0] == src->_frequency0 && ...
719         frequencies[src->_sweep_points-1] == src->_frequency1) {
720         memcpy(current_props._cal_data, src->_cal_data, ...
721             sizeof(src->_cal_data));
722         cal_status = src->_cal_status;
723         return;
724     }
725
726     uint32_t src_f = src->_frequency0;
727     for (i = 0; i < sweep_points; i++) {
728         if (frequencies[i] >= src_f)
729             break;
730
731         // Rellenar cal_data
732         for (eterm = 0; eterm < 5; eterm++) {
```

```
731     cal_data[eterm][i][0] = src->_cal_data[eterm][0][0];
732     cal_data[eterm][i][1] = src->_cal_data[eterm][0][1];
733 }
734 }
735
736 // Reconstruir la lista de frecuencias de la fuente
737 uint32_t src_points = (src->_sweep_points - 1);
738 uint32_t span = src->_frequency1 - src->_frequency0;
739 uint32_t delta = span / src_points;
740 uint32_t error = span % src_points;
741 uint32_t df = src_points>>1;
742 j = 0;
743 for (; i < sweep_points; i++) {
744     uint32_t f = frecuencias[i];
745     if (f == 0) goto interpolate_finish;
746     for (; j < src_points; j++) {
747         if (src_f <= f && f < src_f + delta) {
748             // Encontrado f entre las frecuencias, en j y j+1
749             float k1 = (delta == 0) ? 0.0 : (float)(f - src_f) / ...
                delta;
750             uint32_t idx = j;
751             if (si5351_get_harmonic_lvl(src_f) != ...
                si5351_get_harmonic_lvl(src_f+delta)) {
752                 // f en el armónico anterior, extrapolar de los 2 ...
                puntos anteriores
753                 if (si5351_get_harmonic_lvl(f) == ...
                si5351_get_harmonic_lvl(src_f)) {
754                     if (idx >= 1) {
755                         idx--; k1+=1.0;
756                     }
757                     else // Límite de puntos
758                         k1 = 0.0;
759                 }
760                 // f en el siguiente armónico, extrapolar de los 2 ...
                puntos siguientes
761                 else {
762                     if (idx < src_points) {
763                         idx++; k1-=1.0;
764                     }
765                     else // Límite de puntos
766                         k1 = 1.0;
767                 }
768             }
769             float k0 = 1.0 - k1;
770             for (eterm = 0; eterm < 5; eterm++) {
771                 cal_data[eterm][i][0] = ...
                    src->_cal_data[eterm][idx][0] * k0 + ...
                    src->_cal_data[eterm][idx+1][0] * k1;
772                 cal_data[eterm][i][1] = ...
```

```
        src->_cal_data[eterm][idx][1] * k0 + ...
        src->_cal_data[eterm][idx+1][1] * k1;
773     }
774     break;
775     }
776     df+=error;if (df >=src_points) {src_f++;df -= src_points;}
777     src_f+=delta;
778     }
779     if (j == src_points)
780         break;
781     }
782
783     // Mayor que la última frecuencia del rango de la fuente
784     for (; i < sweep_points; i++) {
785         // Rellenar cal_data al final de la fuente
786         for (eterm = 0; eterm < 5; eterm++) {
787             cal_data[eterm][i][0] = ...
788                 src->_cal_data[eterm][src_points][0];
789             cal_data[eterm][i][1] = ...
790                 src->_cal_data[eterm][src_points][1];
791         }
792     }
793     interpolate_finish:
794     cal_status = src->_cal_status | CALSTAT_INTERPOLATED;
795 }
796
797 void set_electrical_delay(float picoseconds)
798 {
799     if (electrical_delay != picoseconds) {
800         electrical_delay = picoseconds;
801     }
802 }
803
804 #ifdef ENABLE_TRANSFORM_COMMAND
805 static void
806 set_domain_mode(int mode) // DOMAIN_FREQ o DOMAIN_TIME
807 {
808     if (mode != (domain_mode & DOMAIN_MODE)) {
809         domain_mode = (domain_mode & ~DOMAIN_MODE) | (mode & ...
810             DOMAIN_MODE);
811         uistat.lever_mode = LM_MARKER;
812     }
813 }
814
815 static void
816 set_timedomain_func(int func) // TD_FUNC_LOWPASS_IMPULSE, ...
817     TD_FUNC_LOWPASS_STEP o TD_FUNC_BANDPASS
```

```
816 {
817     domain_mode = (domain_mode & ~TD_FUNC) | (func & TD_FUNC);
818 }
819
820 static void
821 set_timedomain_window(int func) // ...
822     TD_WINDOW_MINIMUM/TD_WINDOW_NORMAL/TD_WINDOW_MAXIMUM
823 {
824     domain_mode = (domain_mode & ~TD_WINDOW) | (func & TD_WINDOW);
825 }
826 #endif
827
828 /*
829  * Shell
830  */
831
832 #ifdef ENABLE_TRANSFORM_COMMAND
833 VNA_SHELL_FUNCTION(cmd_transform)
834 {
835     int i;
836     if (argc == 0) {
837         goto usage;
838     }
839     //
840     //          3          4          5          6          7          0  1          2 ...
841     static const char cmd_transform_list[] = ...
842         "on|off|impulse|step|bandpass|minimum|normal|maximum";
843     for (i = 0; i < argc; i++) {
844         switch (get_str_index(argv[i], cmd_transform_list)) {
845             case 0:
846                 set_domain_mode(DOMAIN_TIME);
847                 return;
848             case 1:
849                 set_domain_mode(DOMAIN_FREQ);
850                 return;
851             case 2:
852                 set_timedomain_func(TD_FUNC_LOWPASS_IMPULSE);
853                 return;
854             case 3:
855                 set_timedomain_func(TD_FUNC_LOWPASS_STEP);
856                 return;
857             case 4:
858                 set_timedomain_func(TD_FUNC_BANDPASS);
859                 return;
860             case 5:
861                 set_timedomain_window(TD_WINDOW_MINIMUM);
862                 return;
863             case 6:
```

```
862     set_timedomain_window(TD_WINDOW_NORMAL);
863     return;
864     case 7:
865         set_timedomain_window(TD_WINDOW_MAXIMUM);
866         return;
867     default:
868         goto usage;
869 }
870 }
871 return;
872 usage:
873     shell_printf("usage: transform {%s} [...] \r\n", ...
874                 cmd_transform_list);
875 }
876 #endif
877 VNA_SHELL_FUNCTION(cmd_freq)
878 {
879     if (argc != 1) {
880         goto usage;
881     }
882     uint32_t freq = my_atoui(argv[0]);
883
884     pause_sweep();
885     set_frequency(freq);
886     return;
887 usage:
888     shell_printf("usage: freq {frequency(Hz)} \r\n");
889 }
890
891 VNA_SHELL_FUNCTION(cmd_power)
892 {
893     if (argc == 0) {
894         shell_printf("power: %d \r\n", current_props._power);
895         return;
896     }
897     if (argc != 1) {
898         shell_printf("usage: power {0-3} | {255 - auto} \r\n");
899         return;
900     }
901     set_power(my_atoi(argv[0]));
902 }
903
904 VNA_SHELL_FUNCTION(cmd_threshold)
905 {
906     uint32_t value;
907     if (argc != 1) {
908         shell_printf("usage: threshold {frequency in harmonic ...
909                     mode} \r\n"
```

```
909         "current: %d\r\n", ...
           config.harmonic_freq_threshold);
910     return;
911 }
912 value = my_atoui(argv[0]);
913 config.harmonic_freq_threshold = value;
914 }
915
916 VNA_SHELL_FUNCTION(cmd_saveconfig)
917 {
918     (void) argc;
919     (void) argv;
920     config_save();
921     shell_printf("Config saved.\r\n");
922 }
923
924 VNA_SHELL_FUNCTION(cmd_clearconfig)
925 {
926     if (argc != 1) {
927         shell_printf("usage: clearconfig {protection key}\r\n");
928         return;
929     }
930
931     if (strcmp(argv[0], "1234") != 0) {
932         shell_printf("Key unmatched.\r\n");
933         return;
934     }
935
936     clear_all_config_prop_data();
937     shell_printf("Config and all cal data cleared.\r\n"\
938                "Do reset manually to take effect.\r\n");
939 }
940
941 VNA_SHELL_FUNCTION(cmd_pause)
942 {
943     (void) argc;
944     (void) argv;
945     pause_sweep();
946 }
947
948 VNA_SHELL_FUNCTION(cmd_resume)
949 {
950     (void) argc;
951     (void) argv;
952     update_frequencies(cal_status & CALSTAT_APPLY);
953     resume_sweep();
954 }
955
956 VNA_SHELL_FUNCTION(cmd_reset)
```

```
957 {
958     (void)argc;
959     (void)argv;
960     if (argc == 1) {
961         if (strcmp(argv[0], "dfu") == 0) {
962             shell_printf("Performing reset to DFU mode\r\n");
963             enter_dfu();
964             return;
965         }
966     }
967     shell_printf("Performing reset\r\n");
968     rccEnableWWDG(FALSE);
969     WWDG->CFR = 0x60;
970     WWDG->CR = 0xff;
971     while (1);
972 }
973
974 VNA_SHELL_FUNCTION(cmd_data)
975 {
976     int i;
977     int sel = 0;
978     float (*array)[2];
979     if (argc == 1)
980         sel = my_atoi(argv[0]);
981     if (sel < 0 || sel >=7)
982         goto usage;
983
984     array = sel < 2 ? measured[sel] : cal_data[sel-2];
985
986     for (i = 0; i < sweep_points; i++)
987         shell_printf("%f %f\r\n", array[i][0], array[i][1]);
988     return;
989 usage:
990     shell_printf("usage: data [array]\r\n");
991 }
992
993 VNA_SHELL_FUNCTION(cmd_bandwidth)
994 {
995     uint16_t user_bw;
996     if (argc == 1)
997         user_bw = my_atoui(argv[0]);
998     else if (argc == 2){
999         uint16_t f = my_atoui(argv[0]);
1000         if (f > MAX_BANDWIDTH) user_bw = 0;
1001         else if (f < MIN_BANDWIDTH) user_bw = 511;
1002         else user_bw = ...
            ((AUDIO_ADC_FREQ+AUDIO_SAMPLES_COUNT/2)/AUDIO_SAMPLES_COUNT)/f ...
            - 1;
1003     }
```

```
1004     else
1005         goto result;
1006     set_bandwidth(user_bw);
1007 result:
1008     shell_printf("bandwidth %d (%uHz)\r\n", config.bandwidth, ...
1009                 get_bandwidth_frequency(config.bandwidth));
1009 }
1010
1011 VNA_SHELL_FUNCTION(cmd_scan)
1012 {
1013     uint32_t start, stop;
1014     uint16_t points = sweep_points;
1015     int i;
1016     if (argc < 2 || argc > 4) {
1017         shell_printf("usage: scan {start (Hz)} {stop (Hz)} ...
1018                     [points] [outmask]\r\n");
1019         return;
1020     }
1021     start = my_atoui(argv[0]);
1022     stop = my_atoui(argv[1]);
1023     if (start == 0 || stop == 0 || start > stop) {
1024         shell_printf("frequency range is invalid\r\n");
1025         return;
1026     }
1027     if (argc >= 3) {
1028         points = my_atoui(argv[2]);
1029         if (points == 0 || points > POINTS_COUNT) {
1030             shell_printf("sweep points exceeds range ...
1031                         "define_to_STR(POINTS_COUNT) "\r\n");
1032             return;
1033         }
1034         sweep_points = points;
1035     }
1036     uint16_t mask = 0;
1037     uint16_t sweep_ch = SWEEP_CH0_MEASURE;
1038 #ifdef ENABLE_SCANBIN_COMMAND
1039     if (argc == 4) {
1040         mask = my_atoui(argv[3]);
1041         if (sweep_mode & SWEEP_BINARY) mask |= SCAN_MASK_BINARY;
1042         sweep_ch = (mask >> 1) & 3;
1043     }
1044     sweep_mode &= ~(SWEEP_BINARY);
1045 #endif
1046
1047     uint32_t old_cal_status = cal_status;
1048     if (mask & SCAN_MASK_NO_CALIBRATION) cal_status &= ~CALSTAT_APPLY;
1049     // Reconstruir la tabla de frecuencias si es necesario
```

```
1050     if (frequencies[0]!=start || frequencies[points-1]!=stop){
1051         set_frequencies(start, stop, points);
1052         if (cal_status & CALSTAT_APPLY)
1053             cal_interpolate();
1054     }
1055
1056     if (sweep_ch & SWEEP_CH0_MEASURE)
1057         sweep(false, sweep_ch);
1058
1059     cal_status = old_cal_status;
1060
1061     pause_sweep();
1062     // Datos de salida
1063     if (mask) {
1064         if (mask&SCAN_MASK_BINARY){
1065             streamWrite(shell_stream, (void *)&mask, ...
1066                 sizeof(uint16_t));
1067             streamWrite(shell_stream, (void *)&points, ...
1068                 sizeof(uint16_t));
1069             for (i = 0; i < points; i++) {
1070                 if (mask & SCAN_MASK_OUT_FREQ ) ...
1071                     streamWrite(shell_stream, (void ...
1072                         *)&frequencies[i],    sizeof(uint32_t)); // 4 ...
1073                     bytes .. frecuencia
1074                 if (mask & SCAN_MASK_OUT_DATA0) ...
1075                     streamWrite(shell_stream, (void ...
1076                         *)&measured[0][i][0], sizeof(float)* 2); // 4+4 ...
1077                     bytes .. S11 real/imag
1078             }
1079         }
1080     }
1081     else{
1082         for (i = 0; i < points; i++) {
1083             if (mask & SCAN_MASK_OUT_FREQ ) shell_printf("%u ", ...
1084                 frequencies[i]);
1085             if (mask & SCAN_MASK_OUT_DATA0) shell_printf("%f %f ...
1086                 ", measured[0][i][0], measured[0][i][1]);
1087             shell_printf("\r\n");
1088         }
1089     }
1090 }
1091
1092 #ifdef ENABLE_SCANBIN_COMMAND
1093 VNA_SHELL_FUNCTION(cmd_scan_bin)
1094 {
1095     sweep_mode|= SWEEP_BINARY;
1096     cmd_scan(argc, argv);
1097     sweep_mode&=~ (SWEEP_BINARY);
1098 }
```

```
1089 #endif
1090
1091 VNA_SHELL_FUNCTION(cmd_sweep)
1092 {
1093     if (argc == 0) {
1094         shell_printf("%u %u %d\r\n", ...
1095                     get_sweep_frequency(ST_START), ...
1096                     get_sweep_frequency(ST_STOP), sweep_points);
1097     }
1098     return;
1099 } else if (argc > 3) {
1100     goto usage;
1101 }
1102 uint32_t value0 = 0;
1103 uint32_t value1 = 0;
1104 uint32_t value2 = 0;
1105 if (argc >= 1) value0 = my_atoui(argv[0]);
1106 if (argc >= 2) value1 = my_atoui(argv[1]);
1107 if (argc >= 3) value2 = my_atoui(argv[2]);
1108 #if MAX_FREQ_TYPE != 5
1109 #error "Sweep mode possibly changed, check cmd_sweep function"
1110 #endif
1111 // Comprobar sweep {start|stop|center|span|cw} {freq(Hz)}
1112 // Obtengo ST_START, ST_STOP, ST_CENTER, ST_SPAN, ST_CW
1113 static const char sweep_cmd[] = "start|stop|center|span|cw";
1114 if (argc == 2 && value0 == 0) {
1115     int type = get_str_index(argv[0], sweep_cmd);
1116     if (type == -1)
1117         goto usage;
1118     set_sweep_frequency(type, value1);
1119     return;
1120 }
1121 // Comprobar sweep {start(Hz)} [stop(Hz)]
1122 if (value0)
1123     set_sweep_frequency(ST_START, value0);
1124 if (value1)
1125     set_sweep_frequency(ST_STOP, value1);
1126 if (value2)
1127     set_sweep_points(value2);
1128 return;
1129 usage:
1130 shell_printf("usage: sweep {start(Hz)} [stop(Hz)] ...
1131             [points]\r\n"
1132             "\t sweep { %s } {freq(Hz)}\r\n", sweep_cmd);
1133 }
1134
1135 VNA_SHELL_FUNCTION(cmd_cal)
1136 {
1137     static const char *items[] = { "load", "open", "short", ...
1138                                     "thru", "isln", "Es", "Er", "Et", "cal'ed" };

```

```
1134
1135  if (argc == 0) {
1136      int i;
1137      for (i = 0; i < 9; i++) {
1138          if (cal_status & (1<<i))
1139              shell_printf("%s ", items[i]);
1140      }
1141      shell_printf("\r\n");
1142      return;
1143  }
1144  //          0   1   2   3 ...
1145          4   5   6   7   8
1146  static const char cmd_cal_list[] = ...
1147      "load|open|short|thru|isoln|done|on|off|reset";
1148  switch (get_str_index(argv[0], cmd_cal_list)) {
1149      case 0:
1150          cal_collect(CAL_LOAD);
1151          return;
1152      case 1:
1153          cal_collect(CAL_OPEN);
1154          return;
1155      case 2:
1156          cal_collect(CAL_SHORT);
1157          return;
1158      case 3:
1159          cal_collect(CAL_THRU);
1160          return;
1161      case 4:
1162          cal_collect(CAL_ISOLN);
1163          return;
1164      case 5:
1165          cal_done();
1166          return;
1167      case 6:
1168          cal_status |= CALSTAT_APPLY;
1169          return;
1170      case 7:
1171          cal_status &= ~CALSTAT_APPLY;
1172          return;
1173      case 8:
1174          cal_status = 0;
1175          return;
1176      default:
1177          break;
1178  }
1179  shell_printf("usage: cal [%s]\r\n", cmd_cal_list);
1180  VNA_SHELL_FUNCTION(cmd_save)
```

```
1181 {
1182     if (argc != 1)
1183         goto usage;
1184
1185     int id = my_atoi(argv[0]);
1186     if (id < 0 || id >= SAVEAREA_MAX)
1187         goto usage;
1188     caldata_save(id);
1189     return;
1190
1191     usage:
1192     shell_printf("save {id}\r\n");
1193 }
1194
1195 VNA_SHELL_FUNCTION(cmd_recall)
1196 {
1197     if (argc != 1)
1198         goto usage;
1199
1200     int id = my_atoi(argv[0]);
1201     if (id < 0 || id >= SAVEAREA_MAX)
1202         goto usage;
1203     if (load_properties(id))
1204         shell_printf("Err, default load\r\n");
1205     return;
1206
1207     usage:
1208     shell_printf("recall {id}\r\n");
1209 }
1210
1211 VNA_SHELL_FUNCTION(cmd_edelay)
1212 {
1213     if (argc != 1) {
1214         shell_printf("%f\r\n", electrical_delay);
1215         return;
1216     }
1217     set_electrical_delay(my_atof(argv[0]));
1218 }
1219
1220 VNA_SHELL_FUNCTION(cmd_frequencies)
1221 {
1222     int i;
1223     (void) argc;
1224     (void) argv;
1225     for (i = 0; i < sweep_points; i++) {
1226         if (frequencies[i] == 0) break;
1227         shell_printf("%u\r\n", frequencies[i]);
1228     }
1229 }
```

```
1230 #ifndef __USE_SERIAL_CONSOLE__
1231 #ifndef ENABLE_USART_COMMAND
1232 VNA_SHELL_FUNCTION(cmd_usart_cfg)
1233 {
1234     if (argc != 1) goto result;
1235     uint32_t speed = my_atoui(argv[0]);
1236     if (speed < 300) speed = 300;
1237     config._serial_speed = speed;
1238     shell_update_speed();
1239 result:
1240     shell_printf("Serial: %u baud\r\n", config._serial_speed);
1241 }
1242
1243 VNA_SHELL_FUNCTION(cmd_usart)
1244 {
1245     uint32_t time = 2000; // 200ms de espera por defecto
1246     if (argc == 0 || argc > 2 || (config._mode & ...
1247         VNA_MODE_SERIAL)) return;
1248     if (argc == 2) time = my_atoui(argv[1])*10;
1249     sdWriteTimeout(&SD1, (uint8_t *)argv[0], strlen(argv[0]), ...
1250         time);
1251     sdWriteTimeout(&SD1, (uint8_t *)VNA_SHELL_NEWLINE_STR, ...
1252         sizeof(VNA_SHELL_NEWLINE_STR)-1, time);
1253     uint32_t size;
1254     uint8_t buffer[64];
1255     while ((size = sdReadTimeout(&SD1, buffer, sizeof(buffer), ...
1256         time)))
1257         streamWrite(&SDU1, buffer, size);
1258 }
1259
1260 VNA_SHELL_FUNCTION(cmd_usart_data)
1261 {
1262     if(argc == 1) {
1263         uint8_t resp = my_atoui(argv[0]);
1264         if(resp == 1) {
1265             enable_usart_data = true;
1266             return;
1267         }
1268         if(resp == 0) {
1269             enable_usart_data = false;
1270             return;
1271         }
1272     }
1273     shell_printf("usage: usart_data {1/0}\r\n");
1274 }
1275 #endif
1276 #endif
1277
1278 VNA_SHELL_FUNCTION(cmd_help)
```

```
1275 {
1276     (void) argc;
1277     (void) argv;
1278     const VNAShellCommand *scp = commands;
1279     shell_printf("Commands:");
1280     while (scp->sc_name != NULL) {
1281         shell_printf(" %s", scp->sc_name);
1282         scp++;
1283     }
1284     shell_printf(VNA_SHELL_NEWLINE_STR);
1285     return;
1286 }
1287
1288
1289 #pragma pack(push, 2)
1290 typedef struct {
1291     const char          *sc_name;
1292     vna_shellcmd_t      sc_function;
1293     uint16_t flags;
1294 } VNAShellCommand;
1295 #pragma pack(pop)
1296
1297 // Algunos comandos solo se pueden ejecutar en el hilo del ...
1298 // sweep, no en el main
1299 #define CMD_WAIT_MUTEX 1
1300 #define CMD_BREAK_SWEEP 2
1301
1302 // Lista de comandos
1303 static const VNAShellCommand commands[] =
1304 {
1305     {"scan"           , cmd_scan           , ...
1306      CMD_WAIT_MUTEX|CMD_BREAK_SWEEP},
1307 #ifdef ENABLE_SCANBIN_COMMAND
1308     {"scan_bin"      , cmd_scan_bin       , ...
1309      CMD_WAIT_MUTEX|CMD_BREAK_SWEEP},
1310 #endif
1311     {"data"          , cmd_data           , 0},
1312     {"frequencies"   , cmd_frequencies    , 0},
1313     {"freq"          , cmd_freq           , ...
1314      CMD_WAIT_MUTEX|CMD_BREAK_SWEEP},
1315     {"sweep"         , cmd_sweep          , ...
1316      CMD_WAIT_MUTEX|CMD_BREAK_SWEEP},
1317     {"power"         , cmd_power          , 0},
1318     {"bandwidth"     , cmd_bandwidth      , 0},
1319     {"saveconfig"    , cmd_saveconfig     , 0},
1320     {"clearconfig"   , cmd_clearconfig    , 0},
1321     {"pause"         , cmd_pause          , ...
1322      CMD_WAIT_MUTEX|CMD_BREAK_SWEEP},
1323     {"resume"        , cmd_resume         , ...
```

```
        CMD_WAIT_MUTEX|CMD_BREAK_SWEEP},
1318     {"cal"           , cmd_cal           , CMD_WAIT_MUTEX},
1319     {"save"          , cmd_save          , 0},
1320     {"recall"        , cmd_recall        , ...
        CMD_WAIT_MUTEX|CMD_BREAK_SWEEP},
1321     {"edelay"        , cmd_edelay        , 0},
1322     {"reset"         , cmd_reset         , 0},
1323 #ifdef __USE_SERIAL_CONSOLE__
1324 #ifdef ENABLE_USART_COMMAND
1325     {"usart_cfg"     , cmd_usart_cfg     , ...
        CMD_WAIT_MUTEX|CMD_BREAK_SWEEP},
1326     {"usart"         , cmd_usart         , ...
        CMD_WAIT_MUTEX|CMD_BREAK_SWEEP},
1327     {"usart_data"   , cmd_usart_data    , 0},
1328 #endif
1329 #endif
1330 #ifdef ENABLE_TRANSFORM_COMMAND
1331     {"transform"     , cmd_transform     , 0},
1332 #endif
1333     {"threshold"    , cmd_threshold     , 0},
1334     {"help"          , cmd_help          , 0},
1335     {NULL           , NULL              , 0}
1336 };
1337
1338
1339 // Comprobar conexión Serial
1340 #ifdef __USE_SERIAL_CONSOLE__
1341 #if HAL_USE_SERIAL == FALSE
1342 #error "For serial console need HAL_USE_SERIAL as TRUE in ...
        halconf.h"
1343 #endif
1344
1345 // Seleccionar stream de entrada para comandos de la Shell
1346 #define PREPARE_STREAM shell_stream = ...
        (config._mode&VNA_MODE_SERIAL) ? (BaseSequentialStream ...
        *)&SD1 : (BaseSequentialStream *)&SDU1;
1347
1348 // Actualizar la velocidad y configuración de la conexión Serial
1349 void shell_update_speed(void) {
1350     SerialConfig s_config = {config._serial_speed, 0, ...
        USART_CR2_STOP1_BITS, 0 };
1351     sdStop(&SD1);
1352     sdStart(&SD1, &s_config); // USART
1353 }
1354
1355 // Comprobar el estado de la conexión USB
1356 static bool usb_IsActive(void) {
1357     return usbGetDriverStateI(&USBD1) == USB_ACTIVE;
1358 }
```

```
1359
1360 // Resetear la cola I/O de la Shell
1361 void shell_reset_console(void) {
1362     // USB
1363     if (usb_IsActive()) {
1364         if (config._mode & VNA_MODE_SERIAL)
1365             sduDisconnectI(&SDU1);
1366         else
1367             sduConfigureHookI(&SDU1);
1368     }
1369     // Serial
1370     oqResetI(&SD1.oqueue);
1371     iqResetI(&SD1.iqueue);
1372 }
1373
1374 // Comprobar conexión activa para la Shell
1375 static bool shell_check_connect(void) {
1376     // Serial
1377     if (config._mode & VNA_MODE_SERIAL)
1378         return true;
1379     // USB
1380     return usb_IsActive();
1381 }
1382
1383 static void shell_init_connection(void) {
1384     // Inicializa y comienza el driver serial-over-USB CDC ...
1385     //   SDU1, conectado a USBD1
1386     sduObjectInit(&SDU1);
1387     sduStart(&SDU1, &serusbcfg);
1388
1389     // Establecer la configuración de la velocidad Serial para SD1
1390     shell_update_speed();
1391
1392     // Activa el driver del USB y luego el pull-up del bus del ...
1393     //   USB en D+
1394     usbDisconnectBus(&USBD1);
1395     chThdSleepMilliseconds(100);
1396     usbStart(&USBD1, &usbcfg);
1397     usbConnectBus(&USBD1);
1398
1399     // Establecer el stream I/O (SDU1 o SD1) para la Shell
1400     PREPARE_STREAM;
1401 }
1402
1403 #else
1404 // Solo consola por USB, shell_stream siempre sobre el USB
1405 #define PREPARE_STREAM
```

```
1406 // Comprobar si la conexión está activa
1407 static bool shell_check_connect(void) {
1408     return SDU1.config->usb->state == USB_ACTIVE;
1409 }
1410
1411 // Inicializar la conexión I/O con la Shell sobre el USB
1412 static void shell_init_connection(void) {
1413     // Inicializa y comienza el driver serial-over-USB CDC ...
1414     //   SDU1, conectado a USB D1
1415     sduObjectInit(&SDU1);
1416     sduStart(&SDU1, &serusbcfg);
1417     // Activa el driver del USB y luego el pull-up del bus del ...
1418     //   USB en D+
1419     usbDisconnectBus(&USBD1);
1420     chThdSleepMilliseconds(100);
1421     usbStart(&USBD1, &usbcfg);
1422     usbConnectBus(&USBD1);
1423     // Establecer el stream I/O SDU1 para la Shell
1424     shell_stream = (BaseSequentialStream *)&SDU1;
1425 }
1426 #endif
1427
1428
1429 /*
1430 * Leer comando de shell_stream
1431 */
1432 static int VNAShell_readLine(char *line, int max_size)
1433 {
1434     // Leer la línea del stream de entrada
1435     uint8_t c;
1436     // Preparar I/O para shell_stream
1437     PREPARE_STREAM;
1438     char *ptr = line;
1439     while (1) {
1440         // Devuelve 0 solo si el stream no está activo
1441         if (streamRead((BaseSequentialStream *)&SD1, &c, 1) == 0)
1442             return 0;
1443         // Borrar
1444         if (c == 8 || c == 0x7f) {
1445             if (ptr != line) {
1446                 static const char backspace[] = {0x08, 0x20, 0x08, ...
1447                     0x00};
1448                 shell_printf(backspace);
1449                 ptr--;
1450             }
1451             continue;
1452         }
1453     }
1454 }
```

```
1452     // Nueva línea (Enter)
1453     if (c == '\r') {
1454         shell_printf(VNA_SHELL_NEWLINE_STR);
1455         *ptr = 0;
1456         return 1;
1457     }
1458     // Otros (los salta)
1459     if (c < 0x20)
1460         continue;
1461     // Almacenar
1462     if (ptr < line + max_size - 1) {
1463         streamPut(shell_stream, c);           // Echo
1464         *ptr++ = (char)c;
1465     }
1466 }
1467 return 0;
1468 }
1469
1470 /*
1471  * Comprobar y ejecutar el comando
1472  */
1473 static void VNAShell_executeLine(char *line)
1474 {
1475     // Comprueba y ejecuta la línea
1476     char *lp = line, *ep;
1477     shell_nargs = 0;
1478
1479     while (*lp != 0) {
1480         // Se salta los espacios en blanco y tabulaciones al ...
1481         // comienzo del string
1482         while (*lp == ' ' || *lp == '\t') lp++;
1483         // Si un argumento comienza con comillas, entonces su ...
1484         // delimitador son otras comillas,
1485         // si no, el delimitador es un espacio en blanco
1486         ep = (*lp == '"' ? strpbrk(++lp, "\"") : strpbrk(lp, " ...
1487         \t");
1488         // Almacenar en la string de args
1489         shell_args[shell_nargs++] = lp;
1490         // Final de la string de entrada
1491         if ((lp = ep) == NULL) break;
1492         // Comprobación de los límites del argumento
1493         if (shell_nargs > VNA_SHELL_MAX_ARGUMENTS) {
1494             shell_printf("too many arguments, max " define_to_STR(
1495             VNA_SHELL_MAX_ARGUMENTS) " " VNA_SHELL_NEWLINE_STR);
1496             return;
1497         }
1498         // Establecer cero al final de la string y continuar ...
1499         // comprobando
1500         *lp++ = 0;
1501     }
1502 }
```

```
1497     }
1498     if (shell_nargs == 0) return;
1499     // Ejecutar línea
1500     const VNAShellCommand *scp;
1501     for (scp = commands; scp->sc_name != NULL; scp++) {
1502         if (strcmp(scp->sc_name, shell_args[0]) == 0) {
1503             if (scp->flags & CMD_WAIT_MUTEX) {
1504                 shell_function = scp->sc_function;
1505                 if (scp->flags & CMD_BREAK_SWEEP) ...
1506                     operation_requested|=OP_CONSOLE;
1507                 // Espera a ejecutar el comando en el hilo del sweep
1508                 do {
1509                     chThdSleepMilliseconds(100);
1510                 } while (shell_function);
1511             } else {
1512                 scp->sc_function(shell_nargs - 1, &shell_args[1]);
1513             }
1514         }
1515     }
1516     shell_printf("%s?" VNA_SHELL_NEWLINE_STR, shell_args[0]);
1517 }
1518
1519
1520 /*
1521  * Configuración del bus I2C
1522  */
1523
1524 // Define la velocidad del bus I2C
1525 #define STM32_I2C_SPEED                                600
1526
1527 #if STM32_I2C1_CLOCK == 8    // STM32_I2C1SW == ...
1528     STM32_I2C1SW_HSI        (HSI=8MHz)
1529 #if STM32_I2C_SPEED == 400 // 400kHz @ HSI 8MHz
1530 #define STM32_I2C_TIMINGR  STM32_TIMINGR_PRESC(0U)  |\
1531     STM32_TIMINGR_SCLDEL(3U) | ...
1532     STM32_TIMINGR_SDADEL(1U) |\
1533     STM32_TIMINGR_SCLH(3U)   | ...
1534     STM32_TIMINGR_SCLL(9U)
1535 #endif
1536 #elif STM32_I2C1_CLOCK == 48 // STM32_I2C1SW == ...
1537     STM32_I2C1SW_SYSClk    (SYSClk = 48MHz)
1538 #if STM32_I2C_SPEED == 400 // 400kHz @ SYSClk 48MHz
1539 #define STM32_I2C_TIMINGR  STM32_TIMINGR_PRESC(5U)  |\
1540     STM32_TIMINGR_SCLDEL(3U) | ...
1541     STM32_TIMINGR_SDADEL(3U) |\
1542     STM32_TIMINGR_SCLH(3U)   | ...
1543     STM32_TIMINGR_SCLL(9U)
1544 #endif
1545 #elif STM32_I2C_SPEED == 600 // 600kHz @ SYSClk 48MHz, ...
```

```
    obtener valores manualmente, x1.5 velocidad I2C
1539 #define STM32_I2C_TIMINGR  STM32_TIMINGR_PRESC(0U)  |\
1540                          STM32_TIMINGR_SCLDEL(10U) | ...
                              STM32_TIMINGR_SDADEL(10U) |\
1541                          STM32_TIMINGR_SCLH(30U)  | ...
                              STM32_TIMINGR_SCLL(50U)
1542 #elif STM32_I2C_SPEED == 900 // 900kHz @ SYSCLK 48MHz, ...
    obtener valores manualmente, x2 velocidad I2C
1543 #define STM32_I2C_TIMINGR  STM32_TIMINGR_PRESC(0U)  |\
1544                          STM32_TIMINGR_SCLDEL(10U) | ...
                              STM32_TIMINGR_SDADEL(10U) |\
1545                          STM32_TIMINGR_SCLH(23U)  | ...
                              STM32_TIMINGR_SCLL(30U)
1546 #endif
1547 #elif STM32_I2C1_CLOCK == 72 // STM32_I2C1SW == ...
    STM32_I2C1SW_SYSCLK  (SYSCLK = 72MHz)
1548 #if  STM32_I2C_SPEED == 400 // ~400kHz @ SYSCLK 72MHz
1549 #define STM32_I2C_TIMINGR  STM32_TIMINGR_PRESC(0U)  |\
1550                          STM32_TIMINGR_SCLDEL(10U) | ...
                              STM32_TIMINGR_SDADEL(10U) |\
1551                          STM32_TIMINGR_SCLH(80U)  | ...
                              STM32_TIMINGR_SCLL(100U)
1552 #elif STM32_I2C_SPEED == 600 // ~600kHz @ SYSCLK 72MHz, ...
    obtener valores manualmente, x1.5 velocidad I2C
1553 #define STM32_I2C_TIMINGR  STM32_TIMINGR_PRESC(0U)  |\
1554                          STM32_TIMINGR_SCLDEL(10U) | ...
                              STM32_TIMINGR_SDADEL(10U) |\
1555                          STM32_TIMINGR_SCLH(40U)  | ...
                              STM32_TIMINGR_SCLL(80U)
1556 #elif STM32_I2C_SPEED == 900 // ~900kHz @ SYSCLK 72MHz, ...
    obtener valores manualmente, x2 velocidad I2C
1557 #define STM32_I2C_TIMINGR  STM32_TIMINGR_PRESC(0U)  |\
1558                          STM32_TIMINGR_SCLDEL(10U) | ...
                              STM32_TIMINGR_SDADEL(10U) |\
1559                          STM32_TIMINGR_SCLH(30U)  | ...
                              STM32_TIMINGR_SCLL(40U)
1560 #endif
1561 #endif
1562
1563
1564 // Configuración del reloj I2C (depende de STM32_I2C1SW en ...
    mcuconf.h)
1565 static const I2CConfig i2ccfg = {
1566     .timingr = STM32_I2C_TIMINGR, // Inicialización del ...
        registro TIMINGR
1567     .cr1 = 0, // Inicialización del ...
        registro CR1
1568     .cr2 = 0 // Inicialización del ...
        registro CR2
```

```
1569 };
1570
1571
1572 /*
1573  * Watchdog frecuencia (más de un segundo): LSI = 40000 / ...
1574   (64 * 1000)
1575 */
1576 static const WDGConfig wdgcfg = {
1577     STM32_IWDG_PR_64,
1578     STM32_IWDG_RL(1250),
1579     STM32_IWDG_WIN_DISABLED
1580 };
1581
1582 /*
1583  * Main
1584  */
1585 // El tamaño del stack del hilo del main está definido en el ...
1586 // Makefile, USE_PROCESS_STACKSIZE = 0x200
1587 int main(void)
1588 {
1589     /*
1590      * Inicializar el sistema ChibiOS
1591      */
1592     halInit();
1593     chSysInit();
1594
1595     /*
1596      * Restaurar la configuración
1597      */
1598     config_recall();
1599
1600     /*
1601      * Restaurar las frecuencias y la calibración del slot 0 de ...
1602      * la memoria flash
1603      */
1604     load_properties(0);
1605
1606     /*
1607      * Inicializar la conexión con la Shell
1608      */
1609     shell_init_connection();
1610
1611     /*
1612      * Inicializar el I2C
1613      */
1614     i2cStart(&I2CD1, &i2ccfg);
1615
1616     /*
```

ANEXOS

```
1615  * Inicializar el Si5351
1616  */
1617  si5351_init();
1618
1619  /*
1620  * Inicializar el códec TLV320AIC3204
1621  */
1622  tlv320aic3204_init();
1623
1624  /*
1625  * Inicializar el I2S
1626  */
1627  i2sInit();
1628  i2sObjectInit(&I2SD2);
1629  i2sStart(&I2SD2, &i2sconfig);
1630  i2sStartExchange(&I2SD2);
1631
1632  /*
1633  * Inicializar el Watchdog
1634  */
1635  wdgStart(&WDGD1, &wdgcfg);
1636
1637  /*
1638  * Comienzo del hilo sweep
1639  */
1640  chThdCreateStatic(waThread1, sizeof(waThread1), ...
1641                  NORMALPRIO-1, Thread1, NULL);
1642  /*
1643  * Lectura y ejecución de comandos de la Shell
1644  */
1645  while (1) {
1646      if (shell_check_connect()) {
1647          shell_printf(VNA_SHELL_NEWLINE_STR"NanoVNA ...
1648                      Shell"VNA_SHELL_NEWLINE_STR);
1649
1650          do {
1651              shell_printf(VNA_SHELL_PROMPT_STR);
1652              if (VNAShell_readLine(shell_line, VNA_SHELL_MAX_LENGTH))
1653                  VNAShell_executeLine(shell_line);
1654              else
1655                  chThdSleepMilliseconds(200);
1656          } while (shell_check_connect());
1657      }
1658      chThdSleepMilliseconds(1000);
1659  }
1660 }
```

V.2. Código MicroPython del Datalogger

```
1 from machine import Pin, UART
2 import time
3 import struct
4 import math
5 import cmath
6 import os
7
8 DEBUG = False
9
10 # Comandos para guardar un barrido por UART
11 mensajeON = 'usart_data 1\r\n'
12 mensajeOFF = 'usart_data 0\r\n'
13
14 # Comandos para calibrar
15 mensajeCALL = 'cal load\r\n'
16 mensajeCALO = 'cal open\r\n'
17 mensajeCALS = 'cal short\r\n'
18
19 # Dirección del VNA para SDI-12
20 ID = '1'
21
22 # UART para la comunicación con el VNA
23 uart = UART(2, 1000000)
24 uart.init(1000000, bits=8, parity=None, stop=1)
25
26 # UART para SDI-12
27 uart_sdi12 = UART(1, 1200)
28 uart_sdi12.init(1200, bits=7, parity=0, stop=1)
29 buffer_sdi12 = b''
30
31 botonON = Pin(12, Pin.IN)
32 botonCALL = Pin(13, Pin.IN)
33 botonCALO = Pin(14, Pin.IN)
34 botonCALS = Pin(27, Pin.IN)
35 direccion_sdi12 = Pin(15, Pin.OUT)
36
37 # Comenzar barrido
38 def pulsarON(p):
39     for i in range(len(mensajeON)):
40         if DEBUG:
41             print(mensajeON[i], end='')
42         uart.write(str(mensajeON[i]))
43         if DEBUG:
44             time.sleep(0.1)
```

```
45
46 # Calibración "load"
47 def pulsarCALL(p):
48     for i in range(len(mensajeCALL)):
49         if DEBUG:
50             print(mensajeCALL[i], end='')
51         uart.write(str(mensajeCALL[i]))
52         if DEBUG:
53             time.sleep(0.1)
54
55 # Calibración "open"
56 def pulsarCALO(p):
57     for i in range(len(mensajeCALO)):
58         if DEBUG:
59             print(mensajeCALO[i], end='')
60         uart.write(str(mensajeCALO[i]))
61         if DEBUG:
62             time.sleep(0.1)
63
64 # Calibración "short"
65 def pulsarCALC(p):
66     for i in range(len(mensajeCALC)):
67         if DEBUG:
68             print(mensajeCALC[i], end='')
69         uart.write(str(mensajeCALC[i]))
70         if DEBUG:
71             time.sleep(0.1)
72
73 botonON.irq(trigger=Pin.IRQ_RISING, handler=pulsarON)
74 botonCALL.irq(trigger=Pin.IRQ_RISING, handler=pulsarCALL)
75 botonCALO.irq(trigger=Pin.IRQ_RISING, handler=pulsarCALO)
76 botonCALC.irq(trigger=Pin.IRQ_RISING, handler=pulsarCALC)
77
78 measured = [[None for i in range(2)] for j in range(101)]
79 permitividad_compleja = [None for i in range(101)]
80 permitividad_re_im = [[None for i in range(2)] for j in ...
81     range(101)]
82 i = 0
83 medido = 0
84 num_fichero = '1'
85 n_puntos = 5
86 # Constantes para la permitividad
87 c = [[complex(-1.69, -7.32), complex(-1.79, -7.49), ...
88     complex(1.00, -0.01)], [complex(-83.93, -867.51), ...
89     complex(-137.77, -860.57), complex(-0.85, 0.23)],
90     [complex(13.16, -460.70), complex(-44.05, -458.85), ...
91     complex(-1.00, 0.07)], [complex(17.03, -313.73), ...
92     complex(-41.43, -311.76), complex(-1.06, 0.11)],
```

```
89 [complex(2.09, -234.08), complex(-55.36, -228.01), ...
    complex(-0.99, 0.25)], [complex(-1.70, -183.19), ...
    complex(-57.20, -174.37), complex(-0.92, 0.32)],
90 [complex(0.92, -153.68), complex(-55.50, -143.64), ...
    complex(-0.95, 0.37)], [complex(1.61, -131.26), ...
    complex(-54.23, -120.17), complex(-0.93, 0.42)],
91 [complex(0.85, -114.67), complex(-54.09, -101.54), ...
    complex(-0.89, 0.48)], [complex(0.06, -102.54), ...
    complex(-54.40, -87.25), complex(-0.85, 0.55)],
92 [complex(-0.13, -92.08), complex(-53.80, -75.13), ...
    complex(-0.81, 0.60)], [complex(-0.51, -83.48), ...
    complex(-53.21, -64.79), complex(-0.76, 0.66)],
93 [complex(-0.61, -75.83), complex(-51.74, -55.61), ...
    complex(-0.71, 0.69)], [complex(-0.49, -70.63), ...
    complex(-51.14, -48.77), complex(-0.67, 0.75)],
94 [complex(-0.73, -65.68), complex(-50.50, -42.19), ...
    complex(-0.62, 0.79)], [complex(-1.14, -60.98), ...
    complex(-49.41, -35.69), complex(-0.56, 0.82)],
95 [complex(-0.84, -57.32), complex(-48.42, -30.81), ...
    complex(-0.51, 0.86)], [complex(-1.03, -54.11), ...
    complex(-47.55, -25.94), complex(-0.45, 0.89)],
96 [complex(-1.19, -50.87), complex(-46.21, -21.34), ...
    complex(-0.39, 0.91)], [complex(-1.00, -48.25), ...
    complex(-45.01, -17.70), complex(-0.33, 0.94)],
97 [complex(0.14, -46.72), complex(-43.34, -16.10), ...
    complex(-0.29, 0.97)], [complex(-0.93, -43.56), ...
    complex(-41.54, -11.44), complex(-0.21, 0.94)],
98 [complex(-0.85, -41.59), complex(-40.22, -8.71), ...
    complex(-0.15, 0.97)], [complex(-1.94, -39.46), ...
    complex(-38.69, -4.92), complex(-0.07, 0.95)],
99 [complex(-1.59, -38.02), complex(-37.23, -2.71), ...
    complex(-0.02, 0.97)], [complex(-1.67, -36.22), ...
    complex(-35.54, -0.26), complex(0.04, 0.96)],
100 [complex(2.04, -32.01), complex(-31.02, -2.89), ...
    complex(-0.04, 1.01)], [complex(-2.20, -33.34), ...
    complex(-32.42, 3.99), complex(0.16, 0.95)],
101 [complex(-2.62, -32.20), complex(-30.78, 5.94), ...
    complex(0.22, 0.93)], [complex(-2.59, -31.35), ...
    complex(-29.64, 7.61), complex(0.28, 0.91)],
102 [complex(-2.29, -30.20), complex(-28.12, 8.64), ...
    complex(0.33, 0.92)], [complex(-2.57, -28.82), ...
    complex(-26.48, 10.12), complex(0.40, 0.89)],
103 [complex(-3.05, -28.21), complex(-25.14, 11.76), ...
    complex(0.47, 0.86)], [complex(-3.00, -27.01), ...
    complex(-23.50, 12.70), complex(0.52, 0.82)],
104 [complex(-3.13, -25.98), complex(-21.75, 13.85), ...
    complex(0.57, 0.78)], [complex(-3.40, -24.52), ...
    complex(-19.46, 14.57), complex(0.61, 0.72)],
105 [complex(-3.42, -23.66), complex(-17.89, 15.33), ...
```

```
        complex(0.66, 0.68)], [complex(-3.49, -22.83), ...
        complex(-16.27, 15.88), complex(0.71, 0.62)],
106 [complex(-3.43, -22.19), complex(-14.78, 16.67), ...
        complex(0.75, 0.57)], [complex(-3.70, -21.77), ...
        complex(-13.36, 17.55), complex(0.80, 0.47)],
107 [complex(-3.62, -21.27), complex(-11.81, 17.93), ...
        complex(0.82, 0.44)], [complex(-3.49, -20.66), ...
        complex(-10.46, 18.05), complex(0.84, 0.39)],
108 [complex(-3.50, -20.29), complex(-9.05, 18.43), ...
        complex(0.86, 0.32)], [complex(-3.53, -19.76), ...
        complex(-7.65, 18.54), complex(0.88, 0.26)],
109 [complex(-3.82, -19.24), complex(-6.01, 18.69), ...
        complex(0.89, 0.18)], [complex(-4.15, -19.10), ...
        complex(-4.43, 19.05), complex(0.89, 0.10)],
110 [complex(-4.18, -18.58), complex(-2.96, 18.78), ...
        complex(0.89, 0.04)], [complex(-4.14, -18.03), ...
        complex(-1.70, 18.42), complex(0.87, -0.01)],
111 [complex(-4.35, -17.39), complex(-0.16, 17.97), ...
        complex(0.83, -0.06)], [complex(-4.55, -17.21), ...
        complex(1.21, 17.76), complex(0.83, -0.13)],
112 [complex(-4.57, -16.62), complex(2.25, 17.15), ...
        complex(0.81, -0.16)], [complex(-4.58, -16.05), ...
        complex(3.32, 16.44), complex(0.80, -0.21)],
113 [complex(-4.86, -16.37), complex(4.79, 16.26), ...
        complex(0.77, -0.27)], [complex(-4.60, -15.65), ...
        complex(5.57, 15.53), complex(0.74, -0.33)],
114 [complex(-4.57, -15.34), complex(6.26, 14.88), ...
        complex(0.73, -0.37)], [complex(-3.96, -15.53), ...
        complex(6.76, 15.28), complex(0.74, -0.42)],
115 [complex(-3.69, -15.41), complex(7.81, 14.72), ...
        complex(0.73, -0.46)], [complex(-2.91, -14.52), ...
        complex(7.41, 13.68), complex(0.75, -0.46)],
116 [complex(-2.66, -12.36), complex(5.84, 12.69), ...
        complex(0.76, -0.45)], [complex(-2.51, -12.71), ...
        complex(6.62, 12.59), complex(0.73, -0.49)],
117 [complex(-2.75, -12.00), complex(7.15, 11.56), ...
        complex(0.70, -0.52)], [complex(-2.56, -11.54), ...
        complex(7.33, 10.71), complex(0.68, -0.53)],
118 [complex(-3.10, -10.94), complex(7.95, 9.41), ...
        complex(0.61, -0.54)], [complex(-2.73, -10.60), ...
        complex(7.67, 9.08), complex(0.61, -0.57)],
119 [complex(-2.96, -10.01), complex(7.99, 7.86), ...
        complex(0.58, -0.59)], [complex(-2.22, -9.60), ...
        complex(7.68, 7.35), complex(0.57, -0.61)],
120 [complex(-2.08, -9.80), complex(8.04, 6.72), ...
        complex(0.54, -0.66)], [complex(-2.21, -8.82), ...
        complex(7.29, 5.50), complex(0.51, -0.64)],
121 [complex(-2.60, -8.83), complex(8.12, 4.66), ...
        complex(0.43, -0.66)], [complex(-2.75, -9.06), ...
```

```
122     complex(8.59, 3.79), complex(0.34, -0.71)],
[complex(-2.77, -8.79), complex(8.49, 3.12), ...
    complex(0.30, -0.73)], [complex(-2.18, -8.96), ...
    complex(8.49, 3.11), complex(0.26, -0.77)],
123 [complex(-2.53, -8.63), complex(8.16, 1.86), ...
    complex(0.23, -0.76)], [complex(-1.80, -8.79), ...
    complex(8.13, 1.66), complex(0.20, -0.80)],
124 [complex(-2.32, -8.12), complex(7.54, 0.56), ...
    complex(0.16, -0.74)], [complex(-2.21, -8.04), ...
    complex(7.48, -0.19), complex(0.09, -0.75)],
125 [complex(-2.90, -8.10), complex(7.16, -1.13), ...
    complex(0.02, -0.77)], [complex(-2.67, -8.44), ...
    complex(7.32, -1.49), complex(-0.05, -0.78)],
126 [complex(-3.26, -7.92), complex(6.73, -2.51), ...
    complex(-0.14, -0.73)], [complex(-3.13, -7.85), ...
    complex(6.23, -2.75), complex(-0.12, -0.74)],
127 [complex(-3.11, -6.58), complex(4.86, -3.03), ...
    complex(-0.10, -0.69)], [complex(-2.11, -5.47), ...
    complex(4.03, -2.18), complex(-0.06, -0.78)],
128 [complex(-1.98, -5.12), complex(3.60, -2.08), ...
    complex(-0.10, -0.82)], [complex(-0.97, -5.45), ...
    complex(4.32, -1.63), complex(-0.21, -0.85)],
129 [complex(-1.02, -4.54), complex(3.50, -1.62), ...
    complex(-0.26, -0.84)], [complex(-0.81, -3.71), ...
    complex(2.74, -1.30), complex(-0.24, -0.77)],
130 [complex(-1.17, -3.22), complex(2.29, -1.49), ...
    complex(-0.32, -0.67)], [complex(-0.92, -3.49), ...
    complex(2.33, -1.78), complex(-0.32, -0.63)],
131 [complex(-0.95, -1.81), complex(1.33, -0.62), ...
    complex(-0.33, -0.64)], [complex(0.27, 0.51), ...
    complex(0.90, 1.80), complex(-0.23, -0.74)],
132 [complex(2.17, 2.33), complex(1.73, 4.05), ...
    complex(-0.23, -0.77)], [complex(3.86, 1.32), ...
    complex(3.72, 3.78), complex(-0.36, -0.69)],
133 [complex(7.39, 0.86), complex(7.16, 4.60), ...
    complex(-0.45, -0.74)], [complex(9.18, -0.80), ...
    complex(9.73, 3.47), complex(-0.56, -0.77)],
134 [complex(7.12, -3.85), complex(8.87, -0.35), ...
    complex(-0.44, -0.59)], [complex(4.76, -4.82), ...
    complex(7.14, -2.02), complex(-0.55, -0.56)],
135 [complex(7.00, -1.61), complex(8.43, 1.01), ...
    complex(-0.48, -0.62)], [complex(0.46, -0.26), ...
    complex(1.94, 0.49), complex(-0.41, -0.48)],
136 [complex(-1.65, -1.43), complex(0.00, -1.11), ...
    complex(-0.39, -0.45)], [complex(-0.91, -7.67), ...
    complex(1.37, -7.28), complex(-0.50, -0.16)],
137 [complex(-2.19, -3.73), complex(-0.34, -3.37), ...
    complex(-0.65, -0.25)]]
138
```

```
139
140 # Bucle principal
141 while True:
142     if uart.any() >= 8:
143         buffer = uart.read(4)
144         [re] = struct.unpack('f', buffer)
145         if DEBUG:
146             print(re, end='')
147             print(' ', end='')
148         buffer = uart.read(4)
149         [im] = struct.unpack('f', buffer)
150         if DEBUG:
151             print(im)
152
153         reb = struct.pack('f', re)
154         imb = struct.pack('f', im)
155
156         if reb + imb == b'\r\n\r\n\r\n\r\n':
157             if DEBUG:
158                 print('\nFin barrido\n')
159                 print(measured)
160                 print()
161             i = 0
162             medido = medido + 1
163
164             if medido == 2: # Me quedo con el segundo barrido
165                 medido = 0
166                 print("S11")
167                 print(measured)
168                 print("Permitividad")
169                 print(permitividad_re_im)
170
171                 # Guardar los datos en un .txt
172                 f_s11 = open('s11_' + num_fichero + '.txt', 'w')
173                 for k in range(len(measured)):
174                     f_s11.write(str(measured[k][0]) + '\t' + ...
175                                 str(measured[k][1]) + '\n')
176                 f_s11.close()
177
178                 f_perm = open('perm_' + num_fichero + ...
179                                 '.txt', 'w')
180                 for k in range(len(permitividad_re_im)):
181                     f_perm.write(str(permitividad_re_im[k][0]) ...
182                                 + '\t' + ...
183                                 str(permitividad_re_im[k][1]) + '\n')
184                 f_perm.close()
185
186                 num_fichero = str(int(num_fichero) + 1)
```

```
184         for i in range(len(mensajeOFF)):
185             if DEBUG:
186                 print(mensajeOFF[i], end='')
187                 uart.write(str(mensajeOFF[i]))
188             if DEBUG:
189                 time.sleep(0.1)
190
191     else:
192         # Relleno de matriz con los valores de S11
193         measured[i][0] = re
194         measured[i][1] = im
195
196         # Relleno de matriz con los valores de la ...
197         permitividad
198         S11 = complex(re, im)
199         permitividad_compleja[i] = (c[i][0]*S11 - ...
200             c[i][1])/(c[i][2] - S11)
201         r, phi = cmath.polar(permitividad_compleja[i])
202         real, imag = r*math.cos(phi), r*math.sin(phi)
203         permitividad_re_im[i][0] = real
204         permitividad_re_im[i][1] = imag
205
206         if DEBUG:
207             print(measured)
208
209         i = i + 1
210
211 # SDI-12
212 direccion_sdi12.value(0)
213 if uart_sdi12.any():
214     ch_sdi12 = uart_sdi12.read(1)
215     buffer_sdi12 += ch_sdi12
216     if DEBUG:
217         print('Buffer: ', end='')
218         print(buffer_sdi12)
219     if ch_sdi12 == b'!':
220         direccion_sdi12.value(1)
221         if b'?!' in buffer_sdi12: # ?!
222             uart_sdi12.write(ID + '\r\n')
223             time.sleep(0.04)
224
225     elif bytes(ID, 'utf-8') + b'I!' in buffer_sdi12: ...
226         # aI!
227         uart_sdi12.write(ID + ...
228             '14jgarrido000001001VNA\r\n')
229         time.sleep(0.26)
230
231     elif bytes(ID, 'utf-8') + b'A' in buffer_sdi12: ...
```

```
229     # aAb!
230     index = buffer_sdi12.index(b'A')
231     ID = chr(buffer_sdi12[index + 1])
232     uart_sdi12.write(ID + '\r\n')
233     time.sleep(0.04)
234
235 elif bytes(ID, 'utf-8') + b'M!' in buffer_sdi12: ...
236     # aM!
237     uart_sdi12.write(ID + '0011\r\n')
238     time.sleep(0.08)
239
240 elif bytes(ID, 'utf-8') + b'D0!' in ...
241     buffer_sdi12: # aD0! -> S11
242     mensaje = ID
243     for i in range(n_puntos):
244         if measured[i][0] >= 0:
245             mensaje += '+'
246             mensaje += str(measured[i][0])
247         else:
248             mensaje += str(measured[i][0])
249         if measured[i][1] >= 0:
250             mensaje += '+'
251             mensaje += str(measured[i][1])
252         else:
253             mensaje += str(measured[i][1])
254     mensaje += '\r\n'
255     uart_sdi12.write(mensaje)
256     time.sleep(0.30)
257
258 elif bytes(ID, 'utf-8') + b'D1!' in ...
259     buffer_sdi12: # aD1! -> Permitividad
260     mensaje = ID
261     for i in range(n_puntos):
262         if permitividad_re_im[i][0] >= 0:
263             mensaje += '+'
264             mensaje += str(permitividad_re_im[i][0])
265         else:
266             mensaje += str(permitividad_re_im[i][0])
267         if permitividad_re_im[i][1] >= 0:
268             mensaje += '+'
269             mensaje += str(permitividad_re_im[i][1])
270         else:
271             mensaje += str(permitividad_re_im[i][1])
272     mensaje += '\r\n'
273     uart_sdi12.write(mensaje)
274     time.sleep(0.30)
275
276 elif bytes(ID, 'utf-8') + b'!' in buffer_sdi12: ...
277     # a!
```

ANEXOS

```
273         uart_sdi12.write(ID + '\r\n')
274         time.sleep(0.04)
275
276     buffer_sdi12 = b''
```

V.3. Código MATLAB para la calibración OWL

```
1 close all
2 clear all
3 clc
4 set(0, 'DefaultLineWidth', 1.25, ...
        'DefaultAxesTitleFontWeight', ...
        'bold', 'DefaultAxesFontSize', 11);
5
6 %% Cargar el workspace
7
8 % [num, txt, raw] = xlsread('MEDIDAS_VNA.xlsx');
9 % VNAras11_2021 = cell2table(raw(2:end, :));
10 % VNAras11_2021.Properties.VariableNames = raw(1, :);
11 % save VNAras11_2021.mat VNAras11_2021
12 load 'VNAras11_2021.mat'
13
14 % Temperatura de las muestras (°C)
15 Temp.VNA.Air = 26.2;
16 Temp.VNA.DistWater = 25.9;
17 Temp.VNA.Acetone = 26.2;
18 Temp.VNA.Isopropanol = 26.2;
19 Temp.VNA.Methanol = 25.9;
20 Temp.VNA.EthyleneGlycol = 26.5;
21
22 % Gráficas del S11
23 col = javicolormap(12);
24 figure
25 hold on
26 p11 = plot(VNAras11_2021.Frequency, VNAras11_2021.RealAir, ...
            'Color', col(1,:), 'DisplayName', 'Real Aire', ...
            'LineWidth', 2)
27 p12 = plot(VNAras11_2021.Frequency, VNAras11_2021.ImagAir, ...
            'Color', col(2,:), 'DisplayName', 'Imag Aire', ...
            'LineWidth', 2)
28 p21 = plot(VNAras11_2021.Frequency, ...
            VNAras11_2021.RealIsopropanol, 'Color', col(3,:), ...
            'DisplayName', 'Real Isopropanol', 'LineWidth', 2)
29 p22 = plot(VNAras11_2021.Frequency, ...
            VNAras11_2021.ImagIsopropanol, 'Color', col(4,:), ...
            'DisplayName', 'Imag Isopropanol', 'LineWidth', 2)
30 p31 = plot(VNAras11_2021.Frequency, ...
            VNAras11_2021.RealAcetone, 'Color', col(5,:), ...
            'DisplayName', 'Real Acetona', 'LineWidth', 2)
31 p32 = plot(VNAras11_2021.Frequency, ...
```

```
VNArawS11_2021.ImagAcetone, 'Color', col(6,:), ...
'DisplayName', 'Imag Acetona', 'LineWidth', 2)
32 p41 = plot(VNArawS11_2021.Frequency, ...
VNArawS11_2021.RealMethanol, 'Color', col(7,:), ...
'DisplayName', 'Real Metanol', 'LineWidth', 2)
33 p42 = plot(VNArawS11_2021.Frequency, ...
VNArawS11_2021.ImagMethanol, 'Color', col(8,:), ...
'DisplayName', 'Imag Metanol', 'LineWidth', 2)
34 p51 = plot(VNArawS11_2021.Frequency, ...
VNArawS11_2021.RealEthyleneglycol, 'Color', col(9,:), ...
'DisplayName', 'Real Etilenglicol', 'LineWidth', 2)
35 p52 = plot(VNArawS11_2021.Frequency, ...
VNArawS11_2021.ImagEthyleneglycol, 'Color', col(10,:), ...
'DisplayName', 'Imag Etilenglicol', 'LineWidth', 2)
36 p61 = plot(VNArawS11_2021.Frequency, ...
VNArawS11_2021.RealDistWater, 'Color', col(11,:), ...
'DisplayName', 'Real Agua destilada', 'LineWidth', 2)
37 p62 = plot(VNArawS11_2021.Frequency, ...
VNArawS11_2021.ImagDistWater, 'Color', col(12,:), ...
'DisplayName', 'Imag Agua destilada', 'LineWidth', 2)
38 legend([p11 p12 p21 p22 p31 p32 p41 p42 p51 p52 p61 p62], ...
{'Real Aire', 'Imag Aire', 'Real Isopropanol', 'Imag ...
Isopropanol', 'Real Acetona', 'Imag Acetona', 'Real ...
Metanol', 'Imag Metanol', 'Real Etilenglicol', 'Imag ...
Etilenglicol', 'Real Agua destilada', 'Imag Agua destilada'})
39 ylabel('S11'), xlabel('Frecuencia (Hz)'), set(gca, ...
'FontSize',13)
40
41 %% Interpolación para normalizar las frecuencias de los ...
datos del S11 del VNA
42
43 Frequency = VNArawS11_2021.Frequency';
44 VNAS11 = table(Frequency, 'VariableNames', {'Frequency'});
45
46 % Aire
47 [xData, yData] = prepareCurveData(VNArawS11_2021.Frequency, ...
VNArawS11_2021.RealAir);
48 ft = 'pchipinterp';
49 [fitresult, gof] = fit(xData, yData, ft, 'Normalize', 'on');
50 realAir = fitresult(VNAS11.Frequency);
51 [xData, yData] = prepareCurveData(VNArawS11_2021.Frequency, ...
VNArawS11_2021.ImagAir);
52 ft = 'pchipinterp';
53 [fitresult, gof] = fit(xData, yData, ft, 'Normalize', 'on');
54 imagAir = fitresult(VNAS11.Frequency);
55 VNAS11.Air = complex(realAir, imagAir);
56
57 % Isopropanol
58 [xData, yData] = prepareCurveData(VNArawS11_2021.Frequency, ...
```

```
VNArawS11_2021.RealIsopropanol);
59 ft = 'pchipinterp';
60 [fitresult, gof] = fit(xData, yData, ft, 'Normalize', 'on');
61 realIsopropanol = fitresult(VNAS11.Frequency);
62 [xData, yData] = prepareCurveData(VNArawS11_2021.Frequency, ...
    VNArawS11_2021.ImagIsopropanol);
63 ft = 'pchipinterp';
64 [fitresult, gof] = fit(xData, yData, ft, 'Normalize', 'on');
65 imagIsopropanol = fitresult(VNAS11.Frequency);
66 VNAS11.Isopropanol = complex(realIsopropanol, imagIsopropanol);
67
68 % Acetona
69 [xData, yData] = prepareCurveData(VNArawS11_2021.Frequency, ...
    VNArawS11_2021.RealAcetone);
70 ft = 'pchipinterp';
71 [fitresult, gof] = fit(xData, yData, ft, 'Normalize', 'on');
72 realAcetone = fitresult(VNAS11.Frequency);
73 [xData, yData] = prepareCurveData(VNArawS11_2021.Frequency, ...
    VNArawS11_2021.ImagAcetone);
74 ft = 'pchipinterp';
75 [fitresult, gof] = fit(xData, yData, ft, 'Normalize', 'on');
76 imagAcetone = fitresult(VNAS11.Frequency);
77 VNAS11.Acetone = complex(realAcetone, imagAcetone);
78
79 % Metanol
80 [xData, yData] = prepareCurveData(VNArawS11_2021.Frequency, ...
    VNArawS11_2021.RealMethanol);
81 ft = 'pchipinterp';
82 [fitresult, gof] = fit(xData, yData, ft, 'Normalize', 'on');
83 realMethanol = fitresult(VNAS11.Frequency);
84 [xData, yData] = prepareCurveData(VNArawS11_2021.Frequency, ...
    VNArawS11_2021.ImagMethanol);
85 ft = 'pchipinterp';
86 [fitresult, gof] = fit(xData, yData, ft, 'Normalize', 'on');
87 imagMethanol = fitresult(VNAS11.Frequency);
88 VNAS11.Methanol = complex(realMethanol, imagMethanol);
89
90 % Etilenglicol
91 [xData, yData] = prepareCurveData(VNArawS11_2021.Frequency, ...
    VNArawS11_2021.RealEthyleneGlycol);
92 ft = 'pchipinterp';
93 [fitresult, gof] = fit(xData, yData, ft, 'Normalize', 'on');
94 realEthyleneGlycol = fitresult(VNAS11.Frequency);
95 [xData, yData] = prepareCurveData(VNArawS11_2021.Frequency, ...
    VNArawS11_2021.ImagEthyleneGlycol);
96 ft = 'pchipinterp';
97 [fitresult, gof] = fit(xData, yData, ft, 'Normalize', 'on');
98 imagEthyleneGlycol = fitresult(VNAS11.Frequency);
99 VNAS11.EthyleneGlycol = complex(realEthyleneGlycol, ...
```

```
        imagEthyleneGlycol);
100
101 % Agua destilada
102 [xData, yData] = prepareCurveData(VNAras11_2021.Frequency, ...
        VNAras11_2021.RealDistWater);
103 ft = 'pchipinterp';
104 [fitresult, gof] = fit(xData, yData, ft, 'Normalize', 'on');
105 realDistWater = fitresult(VNAS11.Frequency);
106 [xData, yData] = prepareCurveData(VNAras11_2021.Frequency, ...
        VNAras11_2021.ImagDistWater);
107 ft = 'pchipinterp';
108 [fitresult, gof] = fit(xData, yData, ft, 'Normalize', 'on');
109 imagDistWater = fitresult(VNAS11.Frequency);
110 VNAS11.DistWater = complex(realDistWater, imagDistWater);
111
112 clear xData yData fitresult ft gof realAir realIsopropanol ...
        realAcetone realDistWater realEthanol realMethanol ...
        imagAir imagIsopropanol imagAcetone imagDistWater ...
        imagEthanol imagMethanol realEthyleneGlycol ...
        imagEthyleneGlycol
113
114 %% Modelos para definir la permitividad de los materiales
115 % En la bibliografía se proporcionan datos a temperaturas ...
        redondeadas.
116 % Necesitamos calcular los valores correspondientes para la ...
        temperatura
117 % de nuestras muestras, por lo que aplicaremos una ...
        interpolación lineal
118 % en cada caso.
119
120 % Aire
121 Perm_Air.VNA = ones(1, length(VNAS11.Frequency));
122
123
124 % Agua destilada (Debye, con datos de Kaatze (1989); ...
        interpolación entre 25°C y 30°C)
125 Eps_0_DistWater.VNA = interp1([25,30], [78.36,76.56], ...
        Temp.VNA.DistWater);
126 RelaxT_DistWater.VNA = interp1([25,30], ...
        [8.27*10^-12,7.28*10^-12], Temp.VNA.DistWater);
127 Eps_inf_DistWater.VNA = interp1([25,30], [5.2,5.2], ...
        Temp.VNA.DistWater);
128
129 for ii=1:length(VNAS11.Frequency)
130     Perm_DistWater.VNA(ii) = Debye(Eps_0_DistWater.VNA, ...
        Eps_inf_DistWater.VNA, ...
        RelaxT_DistWater.VNA,VNAS11.Frequency(ii));
131 end
132
```

ANEXOS

```
133
134 % Acetona (Cole-Cole, con datos de Buckley and Maryott ...
      (1958) (página 8); interpolación entre 20°C y 40°C)
135 Eps_0_Acetone.VNA = interp1([1,20,40], [23.29,21.2,19.29], ...
      Temp.VNA.Acetone);
136 Eps_inf_Acetone.VNA = interp1([1,20,40], [1.93,1.9,0.87], ...
      Temp.VNA.Acetone);
137 RelaxT_Acetone.VNA = interp1([1,20,40], [0.75,0.63,0.52], ...
      Temp.VNA.Acetone)*10^-2/(2*pi*physconst('LightSpeed'));
138
139 for ii=1:length(VNAS11.Frequency)
140     Perm_Acetone.VNA(ii) = ColeCole(Eps_0_Acetone.VNA, ...
      Eps_inf_Acetone.VNA, RelaxT_Acetone.VNA, 1, ...
      VNAS11.Frequency(ii));
141 end
142
143
144 % Isopropanol (Double Debye, con datos de Gregory and Clarke ...
      (2012); interpolación entre 25°C y 30°C)
145 Eps_s_Isopropanol.VNA = interp1([25,30], [19.3,18.5], ...
      Temp.VNA.Isopropanol);
146 fr1_Isopropanol.VNA = interp1([25,30], [0.443E9,0.557E9], ...
      Temp.VNA.Isopropanol);
147 Eps_h_Isopropanol.VNA = interp1([25,30], [3.551,3.538], ...
      Temp.VNA.Isopropanol);
148 fr2_Isopropanol.VNA = interp1([25,30], [5.999E9,6.655E9], ...
      Temp.VNA.Isopropanol);
149 Eps_inf_Isopropanol.VNA = interp1([25,30], [3.065,3.056], ...
      Temp.VNA.Isopropanol);
150
151 for ii=1:length(VNAS11.Frequency)
152     Perm_Isopropanol.VNA(ii) = Eps_inf_Isopropanol.VNA + ...
      (Eps_s_Isopropanol.VNA-Eps_h_Isopropanol.VNA) / ...
      (1+j*VNAS11.Frequency(ii)/fr1_Isopropanol.VNA) + ...
      (Eps_h_Isopropanol.VNA-Eps_inf_Isopropanol.VNA) / ...
      (1+j*VNAS11.Frequency(ii)/fr2_Isopropanol.VNA);
153 end
154
155
156 % Metanol (Single Debye, con datos de Gregory and Clarke ...
      (2012); interpolación entre 25°C y 30°C)
157 Eps_s_Methanol.VNA = interp1([25,30], [32.66,31.69], ...
      Temp.VNA.Methanol);
158 fr_Methanol.VNA = interp1([25,30], [3.141E9,3.49E9], ...
      Temp.VNA.Methanol);
159 Eps_inf_Methanol.VNA = interp1([25,30], [5.563,5.45], ...
      Temp.VNA.Methanol);
160
161 for ii=1:length(VNAS11.Frequency)
```

```
162     Perm_Methanol.VNA(ii) = Eps_inf_Methanol.VNA + ...
        (Eps_s_Methanol.VNA-Eps_inf_Methanol.VNA) / ...
        (1+j*VNAS11.Frequency(ii) / fr_Methanol.VNA);
163 end
164
165 % Etilenglicol (Davidson-Cole, con datos de Gregory and ...
    Clarke (2012); interpolación entre 25°C y 30°C)
166 Eps_0_EthyleneGlycol.VNA = interp1([25,30], [40.75,39.66], ...
    Temp.VNA.EthyleneGlycol);
167 Eps_inf_EthyleneGlycol.VNA = interp1([25,30], [4.7,4.712], ...
    Temp.VNA.EthyleneGlycol);
168 Relaxfreq_EthyleneGlycol.VNA = interp1([25,30], ...
    [1.19E9,1.451E9], Temp.VNA.EthyleneGlycol);
169 Beta.VNA = interp1([25,30], [0.859,0.864], ...
    Temp.VNA.EthyleneGlycol);
170
171 for ii=1:length(VNAS11.Frequency)
172     Perm_EthyleneGlycol.VNA(ii) = ...
        ColeDavidson(Eps_0_EthyleneGlycol.VNA, ...
        Eps_inf_EthyleneGlycol.VNA, ...
        Relaxfreq_EthyleneGlycol.VNA,Beta.VNA, ...
        VNAS11.Frequency(ii));
173 end
174
175 % Comparativa de las permitividades teóricas para la temperatura
176 % de las muestras
177 col = javicolormap(7);
178
179 figure
180 hold on
181 p1 = plot(VNAS11.Frequency, real(Perm_Air.VNA), ...
    'Color',col(1,:), 'DisplayName', 'Aire', 'LineWidth', 2)
182 scatter(VNAS11.Frequency, real(Perm_Air.VNA), 10, '*', ...
    'MarkerEdgeColor', col(1,:))
183 p2 = plot(VNAS11.Frequency, real(Perm_Isopropanol.VNA), ...
    'Color', col(2,:), 'DisplayName', 'Isopropanol', ...
    'LineWidth', 2)
184 scatter(VNAS11.Frequency, real(Perm_Isopropanol.VNA), 10, ...
    '*', 'MarkerEdgeColor', col(2,:))
185 p3 = plot(VNAS11.Frequency, real(Perm_Acetone.VNA), 'Color', ...
    col(3,:), 'DisplayName', 'Acetona', 'LineWidth', 2)
186 scatter(VNAS11.Frequency, real(Perm_Acetone.VNA), 10, '*', ...
    'MarkerEdgeColor', col(3,:))
187 p4 = plot(VNAS11.Frequency, real(Perm_Methanol.VNA), ...
    'Color', col(5,:), 'DisplayName', 'Metanol', 'LineWidth', 2)
188 scatter(VNAS11.Frequency, real(Perm_Methanol.VNA), 10, '*', ...
    'MarkerEdgeColor', col(5,:))
189 p5 = plot(VNAS11.Frequency, real(Perm_EthyleneGlycol.VNA), ...
    'Color', col(6,:), 'DisplayName', 'Etilenglicol', ...
```

```
        'LineWidth', 2)
190 scatter(VNAS11.Frequency, real(Perm_EthyleneGlycol.VNA), 10, ...
        '*', 'MarkerEdgeColor', col(6,:))
191 p6 = plot(VNAS11.Frequency, real(Perm_DistWater.VNA), ...
        'Color', col(7,:), 'DisplayName', 'Agua destilada', ...
        'LineWidth', 2)
192 scatter(VNAS11.Frequency, real(Perm_DistWater.VNA), 10, '*', ...
        'MarkerEdgeColor', col(7,:))
193 legend([p1 p2 p3 p4 p5 p6], {'Aire', 'Isopropanol', ...
        'Acetona', 'Metanol', 'Etilenglicol', 'Agua destilada'})
194 ylabel('\epsilon'), xlabel('Frecuencia (Hz)'), set(gca, ...
        'FontSize',13)

195
196 figure
197 hold on
198 p1 = plot(VNAS11.Frequency, -imag(Perm_Air.VNA), 'Color', ...
        col(1,:), 'DisplayName', 'Aire', 'LineWidth', 2)
199 scatter(VNAS11.Frequency, -imag(Perm_Air.VNA), 10, '*', ...
        'MarkerEdgeColor', col(1,:))
200 p2 = plot(VNAS11.Frequency, -imag(Perm_Isopropanol.VNA), ...
        'Color', col(2,:), 'DisplayName', 'Isopropanol', ...
        'LineWidth', 2)
201 scatter(VNAS11.Frequency, -imag(Perm_Isopropanol.VNA), 10, ...
        '*', 'MarkerEdgeColor', col(2,:))
202 p3 = plot(VNAS11.Frequency, -imag(Perm_Acetone.VNA), ...
        'Color', col(3,:), 'DisplayName', 'Acetona', 'LineWidth', 2)
203 scatter(VNAS11.Frequency, -imag(Perm_Acetone.VNA), 10, '*', ...
        'MarkerEdgeColor', col(3,:))
204 p4 = plot(VNAS11.Frequency, -imag(Perm_Methanol.VNA), ...
        'Color', col(5,:), 'DisplayName', 'Metanol', 'LineWidth', 2)
205 scatter(VNAS11.Frequency, -imag(Perm_Methanol.VNA), 10, '*', ...
        'MarkerEdgeColor', col(5,:))
206 p5 = plot(VNAS11.Frequency, -imag(Perm_EthyleneGlycol.VNA), ...
        'Color', col(6,:), 'DisplayName', 'Etilenglicol', ...
        'LineWidth', 2)
207 scatter(VNAS11.Frequency, -imag(Perm_EthyleneGlycol.VNA), ...
        10, '*', 'MarkerEdgeColor', col(6,:))
208 p6 = plot(VNAS11.Frequency, -imag(Perm_DistWater.VNA), ...
        'Color', col(7,:), 'DisplayName', 'Agua destilada', ...
        'LineWidth', 2)
209 scatter(VNAS11.Frequency, -imag(Perm_DistWater.VNA), 10, ...
        '*', 'MarkerEdgeColor', col(7,:))
210 legend([p1 p2 p3 p4 p5 p6], {'Aire', 'Isopropanol', ...
        'Acetona', 'Metanol', 'Etilenglicol', 'Agua destilada'})
211 ylabel('\epsilon'), xlabel('Frecuencia (Hz)'), set(gca, ...
        'FontSize',13)

212
213 %% Permitividad a partir del S11 del VNA
214 % Seguimos el procedimiento descrito en "Wagner et al. ...
```

```

    Numerical 3-D FEM
215 % and Experimental Analysis of the Open-Ended Coaxial Line ...
    Technique for
216 % "Microwave Dielectric Spectroscopy on Soil", 2014.
217
218 % -> Calibración Open-Water-Liquid (OWL)
219
220
221 % Calibración con Open(Aire), Water(Agua destilada) y Liquid ...
    (Metanol).
222 for ii=1:length(VNAS11.Frequency)
223     M(:, :, ii) = [VNAS11.Air(ii) -1 ...
        -Perm_Air.VNA(ii); VNAS11.DistWater(ii) -1 ...
        -Perm_DistWater.VNA(ii); VNAS11.Methanol(ii) -1 ...
        -Perm_Methanol.VNA(ii)];
224     e(:, ii) = [-Perm_Air.VNA(ii)*VNAS11.Air(ii); ...
        -Perm_DistWater.VNA(ii)*VNAS11.DistWater(ii); ...
        -Perm_Methanol.VNA(ii)*VNAS11.Methanol(ii)];
225     c(:, ii) = inv(M(:, :, ii))*e(:, ii);
226 end
227
228 for ii=1:length(VNAS11.Frequency)
229     Estim_VNA_Perm_Air(ii) = ...
        transpose((c(1, ii)*VNAS11.Air(ii)-c(2, ii)) / ...
            (c(3, ii)-VNAS11.Air(ii)));
230     Estim_VNA_Perm_Isopropanol(ii) = ...
        transpose((c(1, ii)*VNAS11.Isopropanol(ii)-c(2, ii)) / ...
            (c(3, ii)-VNAS11.Isopropanol(ii)));
231     Estim_VNA_Perm_Acetone(ii) = ...
        transpose((c(1, ii)*VNAS11.Acetone(ii)-c(2, ii)) / ...
            (c(3, ii)-VNAS11.Acetone(ii)));
232     Estim_VNA_Perm_Methanol(ii) = ...
        transpose((c(1, ii)*VNAS11.Methanol(ii)-c(2, ii)) / ...
            (c(3, ii)-VNAS11.Methanol(ii)));
233     Estim_VNA_Perm_EthyleneGlycol(ii) = ...
        transpose((c(1, ii)*VNAS11.EthyleneGlycol(ii)-c(2, ii)) ...
            / (c(3, ii)-VNAS11.EthyleneGlycol(ii)));
234     Estim_VNA_Perm_DistWater(ii) = ...
        transpose((c(1, ii)*VNAS11.DistWater(ii)-c(2, ii)) / ...
            (c(3, ii)-VNAS11.DistWater(ii)));
235 end
236
237 SE_Methanol_VNA = sum([abs(real(Estim_VNA_Perm_Air) - ...
    real(Perm_Air.VNA)), abs(real(Estim_VNA_Perm_Isopropanol) ...
    - real(Perm_Isopropanol.VNA)), ...
238     abs(real(Estim_VNA_Perm_Acetone) - ...
    real(Perm_Acetone.VNA)), ...
239     abs(real(Estim_VNA_Perm_Methanol) - ...
    real(Perm_Methanol.VNA)), ...
```

```
        abs(real(Estim_VNA_Perm_EthyleneGlycol) - ...
        real(Perm_EthyleneGlycol.VNA)),...
240    abs(real(Estim_VNA_Perm_DistWater) - ...
        real(Perm_DistWater.VNA))]);
241
242    RMSE_Methanol_VNA = ...
        sqrt((sum([(real(Estim_VNA_Perm_Isopropanol) - ...
        real(Perm_Isopropanol.VNA)).^2,...
243        (real(Estim_VNA_Perm_Acetone) - ...
        real(Perm_Acetone.VNA)).^2,...
244        (real(Estim_VNA_Perm_EthyleneGlycol) - ...
        real(Perm_EthyleneGlycol.VNA)).^2])))/(3*length(Estim_VNA_Perm_Air)));
245
246    figure
247    hold on
248    plot(VNAS11.Frequency, real(Perm_Air.VNA), 'Color', col(1,:))
249    scatter(VNAS11.Frequency, real(Estim_VNA_Perm_Air), 10, '*', ...
        'MarkerEdgeColor', col(1,:))
250    plot(VNAS11.Frequency, real(Perm_Isopropanol.VNA), 'Color', ...
        col(2,:))
251    scatter(VNAS11.Frequency, real(Estim_VNA_Perm_Isopropanol), ...
        10, '*', 'MarkerEdgeColor', col(2,:))
252    plot(VNAS11.Frequency, real(Perm_Acetone.VNA), 'Color', ...
        col(3,:))
253    scatter(VNAS11.Frequency, real(Estim_VNA_Perm_Acetone), 10, ...
        '*', 'MarkerEdgeColor', col(3,:))
254    plot(VNAS11.Frequency, real(Perm_Methanol.VNA), 'Color', ...
        col(5,:))
255    scatter(VNAS11.Frequency, real(Estim_VNA_Perm_Methanol), 10, ...
        '*', 'MarkerEdgeColor', col(5,:))
256    plot(VNAS11.Frequency, real(Perm_EthyleneGlycol.VNA), ...
        'Color', col(6,:))
257    scatter(VNAS11.Frequency, ...
        real(Estim_VNA_Perm_EthyleneGlycol), 10, '*', ...
        'MarkerEdgeColor', col(6,:))
258    plot(VNAS11.Frequency, real(Perm_DistWater.VNA), 'Color', ...
        col(7,:))
259    scatter(VNAS11.Frequency, real(Estim_VNA_Perm_DistWater), ...
        10, '*', 'MarkerEdgeColor', col(7,:))
260    ylim([0 80])
261    %xlim([0 900e6])
262    title('Calibración OWL con Metanol')
263    ylabel('Re(\epsilon)')
264    xlabel('Frecuencia (Hz)')
265    legend('Aire modelo', 'Aire estimada', 'Isopropanol modelo', ...
        'Isopropanol estimada', 'Acetona modelo', 'Acetona ...
        estimada', 'Metanol modelo', 'Metanol estimada', ...
        'Etilenglicol modelo', 'Etilenglicol estimada', 'Agua ...
        destilada modelo', 'Agua destilada estimada')
```

```
266
267
268 % Calibración con Open(Aire), Water(Agua destilada) y Liquid ...
    (Isopropanol)
269 for ii=1:length(VNAS11.Frequency)
270     M(:, :, ii) = [VNAS11.Air(ii) -1 ...
        -Perm_Air.VNA(ii); VNAS11.DistWater(ii) -1 ...
        -Perm_DistWater.VNA(ii); VNAS11.Isopropanol(ii) -1 ...
        -Perm_Isopropanol.VNA(ii)];
271     e(:, ii) = [-Perm_Air.VNA(ii)*VNAS11.Air(ii); ...
        -Perm_DistWater.VNA(ii)*VNAS11.DistWater(ii); ...
        -Perm_Isopropanol.VNA(ii)*VNAS11.Isopropanol(ii)];
272     c(:, ii) = inv(M(:, :, ii))*e(:, ii);
273 end
274
275 for ii=1:length(VNAS11.Frequency)
276     Estim_VNA_Perm_Air(ii) = ...
        transpose((c(1, ii)*VNAS11.Air(ii)-c(2, ii)) / ...
            (c(3, ii)-VNAS11.Air(ii)));
277     Estim_VNA_Perm_Isopropanol(ii) = ...
        transpose((c(1, ii)*VNAS11.Isopropanol(ii)-c(2, ii)) / ...
            (c(3, ii)-VNAS11.Isopropanol(ii)));
278     Estim_VNA_Perm_Acetone(ii) = ...
        transpose((c(1, ii)*VNAS11.Acetone(ii)-c(2, ii)) / ...
            (c(3, ii)-VNAS11.Acetone(ii)));
279     Estim_VNA_Perm_Methanol(ii) = ...
        transpose((c(1, ii)*VNAS11.Methanol(ii)-c(2, ii)) / ...
            (c(3, ii)-VNAS11.Methanol(ii)));
280     Estim_VNA_Perm_EthyleneGlycol(ii) = ...
        transpose((c(1, ii)*VNAS11.EthyleneGlycol(ii)-c(2, ii)) ...
            / (c(3, ii)-VNAS11.EthyleneGlycol(ii)));
281     Estim_VNA_Perm_DistWater(ii) = ...
        transpose((c(1, ii)*VNAS11.DistWater(ii)-c(2, ii)) / ...
            (c(3, ii)-VNAS11.DistWater(ii)));
282 end
283 SE_Isopropanol_VNA = sum([abs(real(Estim_VNA_Perm_Air) - ...
    real(Perm_Air.VNA)), abs(real(Estim_VNA_Perm_Isopropanol) ...
    - real(Perm_Isopropanol.VNA)), ...
284     abs(real(Estim_VNA_Perm_Acetone) - ...
        real(Perm_Acetone.VNA)), ...
285     abs(real(Estim_VNA_Perm_Methanol) - ...
        real(Perm_Methanol.VNA)), ...
        abs(real(Estim_VNA_Perm_EthyleneGlycol) - ...
        real(Perm_EthyleneGlycol.VNA)), ...
286     abs(real(Estim_VNA_Perm_DistWater) - ...
        real(Perm_DistWater.VNA))] );
287 RMSE_Isopropanol_VNA = ...
    sqrt((sum([real(Estim_VNA_Perm_Methanol) - ...
        real(Perm_Methanol.VNA)].^2, ...
```

```
288     (real(Estim_VNA_Perm_Acetone) - ...
        real(Perm_Acetone.VNA)).^2,...
289     (real(Estim_VNA_Perm_EthyleneGlycol) - ...
        real(Perm_EthyleneGlycol.VNA)).^2]))/(3*length(Estim_VNA_Perm_Air));
290
291 figure
292 hold on
293 plot(VNAS11.Frequency, real(Perm_Air.VNA), 'Color', col(1,:))
294 scatter(VNAS11.Frequency, real(Estim_VNA_Perm_Air), 10, '*', ...
        'MarkerEdgeColor', col(1,:))
295 plot(VNAS11.Frequency, real(Perm_Isopropanol.VNA), 'Color', ...
        col(2,:))
296 scatter(VNAS11.Frequency, real(Estim_VNA_Perm_Isopropanol), ...
        10, '*', 'MarkerEdgeColor', col(2,:))
297 plot(VNAS11.Frequency, real(Perm_Acetone.VNA), 'Color', ...
        col(3,:))
298 scatter(VNAS11.Frequency, real(Estim_VNA_Perm_Acetone), 10, ...
        '*', 'MarkerEdgeColor', col(3,:))
299 plot(VNAS11.Frequency, real(Perm_Methanol.VNA), 'Color', ...
        col(5,:))
300 scatter(VNAS11.Frequency, real(Estim_VNA_Perm_Methanol), 10, ...
        '*', 'MarkerEdgeColor', col(5,:))
301 plot(VNAS11.Frequency, real(Perm_EthyleneGlycol.VNA), ...
        'Color', col(6,:))
302 scatter(VNAS11.Frequency, ...
        real(Estim_VNA_Perm_EthyleneGlycol), 10, '*', ...
        'MarkerEdgeColor', col(6,:))
303 plot(VNAS11.Frequency, real(Perm_DistWater.VNA), 'Color', ...
        col(7,:))
304 scatter(VNAS11.Frequency, real(Estim_VNA_Perm_DistWater), ...
        10, '*', 'MarkerEdgeColor', col(7,:))
305 ylim([0 80])
306 %xlim([0 900e6])
307 title('Calibración OWL con Isopropanol')
308 ylabel('Re(\epsilon)')
309 xlabel('Frecuencia (Hz)')
310 legend('Aire modelo', 'Aire estimada', 'Isopropanol modelo', ...
        'Isopropanol estimada', 'Acetona modelo', 'Acetona ...
        estimada', 'Metanol modelo', 'Metanol estimada', ...
        'Etilenglicol modelo', 'Etilenglicol estimada', 'Agua ...
        destilada modelo', 'Agua destilada estimada')
311
312
313 % Calibración con Open(Aire), Water(Agua destilada) y Liquid ...
        (Acetona)
314 % Este es el mejor (error más bajo)
315 for ii=1:length(VNAS11.Frequency)
316     M(:, :, ii) = [VNAS11.Air(ii) -1 ...
        -Perm_Air.VNA(ii); VNAS11.DistWater(ii) -1 ...
```

```
        -Perm_DistWater.VNA(ii);VNAS11.Acetone(ii) -1 ...
        -Perm_Acetone.VNA(ii)];
317 e(:,ii) = [-Perm_Air.VNA(ii)*VNAS11.Air(ii); ...
        -Perm_DistWater.VNA(ii)*VNAS11.DistWater(ii); ...
        -Perm_Acetone.VNA(ii)*VNAS11.Acetone(ii)];
318 c(:,ii) = inv(M(:, :, ii))*e(:,ii);
319 end
320
321 for ii=1:length(VNAS11.Frequency)
322     Estim_VNA_Perm_Air(ii) = ...
        transpose((c(1,ii)*VNAS11.Air(ii)-c(2,ii)) / ...
        (c(3,ii)-VNAS11.Air(ii)));
323     Estim_VNA_Perm_Isopropanol(ii) = ...
        transpose((c(1,ii)*VNAS11.Isopropanol(ii)-c(2,ii)) / ...
        (c(3,ii)-VNAS11.Isopropanol(ii)));
324     Estim_VNA_Perm_Acetone(ii) = ...
        transpose((c(1,ii)*VNAS11.Acetone(ii)-c(2,ii)) / ...
        (c(3,ii)-VNAS11.Acetone(ii)));
325     Estim_VNA_Perm_Methanol(ii) = ...
        transpose((c(1,ii)*VNAS11.Methanol(ii)-c(2,ii)) / ...
        (c(3,ii)-VNAS11.Methanol(ii)));
326     Estim_VNA_Perm_EthyleneGlycol(ii) = ...
        transpose((c(1,ii)*VNAS11.EthyleneGlycol(ii)-c(2,ii)) ...
        / (c(3,ii)-VNAS11.EthyleneGlycol(ii)));
327     Estim_VNA_Perm_DistWater(ii) = ...
        transpose((c(1,ii)*VNAS11.DistWater(ii)-c(2,ii)) / ...
        (c(3,ii)-VNAS11.DistWater(ii)));
328 end
329 SE_Acetone_VNA = sum([abs(real(Estim_VNA_Perm_Air) - ...
        real(Perm_Air.VNA)), abs(real(Estim_VNA_Perm_Isopropanol) ...
        - real(Perm_Isopropanol.VNA)), ...
330     abs(real(Estim_VNA_Perm_Acetone) - ...
        real(Perm_Acetone.VNA)), ...
331     abs(real(Estim_VNA_Perm_Methanol) - ...
        real(Perm_Methanol.VNA)), abs(real(Estim_VNA_Perm_EthyleneGlycol) ...
        - real(Perm_EthyleneGlycol.VNA)), ...
332     abs(real(Estim_VNA_Perm_DistWater) - ...
        real(Perm_DistWater.VNA))]);
333 RMSE_Acetone_VNA = ...
        sqrt((sum([(real(Estim_VNA_Perm_Isopropanol) - ...
        real(Perm_Isopropanol.VNA)).^2, ...
334     (real(Estim_VNA_Perm_Methanol) - ...
        real(Perm_Methanol.VNA)).^2, ...
335     (real(Estim_VNA_Perm_EthyleneGlycol) - ...
        real(Perm_EthyleneGlycol.VNA)).^2]))/(3*length(Estim_VNA_Perm_Air)));
336
337 figure
338 hold on
339 plot(VNAS11.Frequency, real(Perm_Air.VNA), 'Color', col(1,:))
```

```
340 scatter(VNAS11.Frequency, real(Estim_VNA_Perm_Air), 10, '*', ...
    'MarkerEdgeColor', col(1,:))
341 plot(VNAS11.Frequency, real(Perm_Isopropanol.VNA), 'Color', ...
    col(2,:))
342 scatter(VNAS11.Frequency, real(Estim_VNA_Perm_Isopropanol), ...
    10, '*', 'MarkerEdgeColor', col(2,:))
343 plot(VNAS11.Frequency, real(Perm_Acetone.VNA), 'Color', ...
    col(3,:))
344 scatter(VNAS11.Frequency, real(Estim_VNA_Perm_Acetone), 10, ...
    '*', 'MarkerEdgeColor', col(3,:))
345 plot(VNAS11.Frequency, real(Perm_Methanol.VNA), 'Color', ...
    col(5,:))
346 scatter(VNAS11.Frequency, real(Estim_VNA_Perm_Methanol), 10, ...
    '*', 'MarkerEdgeColor', col(5,:))
347 plot(VNAS11.Frequency, real(Perm_EthyleneGlycol.VNA), ...
    'Color', col(6,:))
348 scatter(VNAS11.Frequency, ...
    real(Estim_VNA_Perm_EthyleneGlycol), 10, '*', ...
    'MarkerEdgeColor', col(6,:))
349 plot(VNAS11.Frequency, real(Perm_DistWater.VNA), 'Color', ...
    col(7,:))
350 scatter(VNAS11.Frequency, real(Estim_VNA_Perm_DistWater), ...
    10, '*', 'MarkerEdgeColor', col(7,:))
351 ylim([0 80])
352 %xlim([0 900e6])
353 title('Calibración OWL con Acetona')
354 ylabel('Re(\epsilon)')
355 xlabel('Frecuencia (Hz)')
356 legend('Aire modelo', 'Aire estimada', 'Isopropanol modelo', ...
    'Isopropanol estimada', 'Acetona modelo', 'Acetona ...
    estimada', 'Metanol modelo', 'Metanol estimada', ...
    'Etilenglicol modelo', 'Etilenglicol estimada', 'Agua ...
    destilada modelo', 'Agua destilada estimada')
357
358
359 % Calibración con Open(Aire), Water(Agua destilada) y Liquid ...
    (Etilenglicol)
360 for ii=1:length(VNAS11.Frequency)
361     M(:, :, ii) = [VNAS11.Air(ii) -1 ...
        -Perm_Air.VNA(ii); VNAS11.DistWater(ii) -1 ...
        -Perm_DistWater.VNA(ii); VNAS11.EthyleneGlycol(ii) -1 ...
        -Perm_EthyleneGlycol.VNA(ii)];
362     e(:, ii) = [-Perm_Air.VNA(ii)*VNAS11.Air(ii); ...
        -Perm_DistWater.VNA(ii)*VNAS11.DistWater(ii); ...
        -Perm_EthyleneGlycol.VNA(ii)*VNAS11.EthyleneGlycol(ii)];
363     c(:, ii) = inv(M(:, :, ii))*e(:, ii);
364 end
365
366 for ii=1:length(VNAS11.Frequency)
```

```
367     Estim_VNA_Perm_Air(ii) = ...
        transpose((c(1,ii)*VNAS11.Air(ii)-c(2,ii)) / ...
        (c(3,ii)-VNAS11.Air(ii)));
368     Estim_VNA_Perm_Isopropanol(ii) = ...
        transpose((c(1,ii)*VNAS11.Isopropanol(ii)-c(2,ii)) / ...
        (c(3,ii)-VNAS11.Isopropanol(ii)));
369     Estim_VNA_Perm_Acetone(ii) = ...
        transpose((c(1,ii)*VNAS11.Acetone(ii)-c(2,ii)) / ...
        (c(3,ii)-VNAS11.Acetone(ii)));
370     Estim_VNA_Perm_Methanol(ii) = ...
        transpose((c(1,ii)*VNAS11.Methanol(ii)-c(2,ii)) / ...
        (c(3,ii)-VNAS11.Methanol(ii)));
371     Estim_VNA_Perm_EthyleneGlycol(ii) = ...
        transpose((c(1,ii)*VNAS11.EthyleneGlycol(ii)-c(2,ii)) ...
        / (c(3,ii)-VNAS11.EthyleneGlycol(ii)));
372     Estim_VNA_Perm_DistWater(ii) = ...
        transpose((c(1,ii)*VNAS11.DistWater(ii)-c(2,ii)) / ...
        (c(3,ii)-VNAS11.DistWater(ii)));
373 end
374 SE_EthyleneGlycol_VNA = sum([abs(real(Estim_VNA_Perm_Air) - ...
    real(Perm_Air.VNA)), abs(real(Estim_VNA_Perm_Isopropanol) ...
    - real(Perm_Isopropanol.VNA)), ...
375     abs(real(Estim_VNA_Perm_Acetone) - ...
    real(Perm_Acetone.VNA)), ...
376     abs(real(Estim_VNA_Perm_Methanol) - ...
    real(Perm_Methanol.VNA)), ...
    abs(real(Estim_VNA_Perm_EthyleneGlycol) - ...
    real(Perm_EthyleneGlycol.VNA)), ...
377     abs(real(Estim_VNA_Perm_DistWater) - ...
    real(Perm_DistWater.VNA))] );
378 RMSE_EthyleneGlycol_VNA = ...
    sqrt((sum([(real(Estim_VNA_Perm_Isopropanol) - ...
    real(Perm_Isopropanol.VNA)).^2, ...
379     (real(Estim_VNA_Perm_Acetone) - ...
    real(Perm_Acetone.VNA)).^2, ...
380     (real(Estim_VNA_Perm_Methanol) - ...
    real(Perm_Methanol.VNA)).^2])) / (3*length(Estim_VNA_Perm_Air)));
381
382 figure
383 hold on
384 plot(VNAS11.Frequency, real(Perm_Air.VNA), 'Color', col(1,:))
385 scatter(VNAS11.Frequency, real(Estim_VNA_Perm_Air), 10, '*', ...
    'MarkerEdgeColor', col(1,:))
386 plot(VNAS11.Frequency, real(Perm_Isopropanol.VNA), 'Color', ...
    col(2,:))
387 scatter(VNAS11.Frequency, real(Estim_VNA_Perm_Isopropanol), ...
    10, '*', 'MarkerEdgeColor', col(2,:))
388 plot(VNAS11.Frequency, real(Perm_Acetone.VNA), 'Color', ...
    col(3,:))
```

```
389 scatter(VNAS11.Frequency, real(Estim_VNA_Perm_Acetone), 10, ...
    '*', 'MarkerEdgeColor', col(3,:))
390 plot(VNAS11.Frequency, real(Perm_Methanol.VNA), 'Color', ...
    col(5,:))
391 scatter(VNAS11.Frequency, real(Estim_VNA_Perm_Methanol), 10, ...
    '*', 'MarkerEdgeColor', col(5,:))
392 plot(VNAS11.Frequency, real(Perm_EthyleneGlycol.VNA), ...
    'Color', col(6,:))
393 scatter(VNAS11.Frequency, ...
    real(Estim_VNA_Perm_EthyleneGlycol), 10, '*', ...
    'MarkerEdgeColor', col(6,:))
394 plot(VNAS11.Frequency, real(Perm_DistWater.VNA), 'Color', ...
    col(7,:))
395 scatter(VNAS11.Frequency, real(Estim_VNA_Perm_DistWater), ...
    10, '*', 'MarkerEdgeColor', col(7,:))
396 ylim([0 80])
397 %xlim([0 900e6])
398 title('Calibración OWL con Etilenglicol')
399 ylabel('Re(\epsilon)')
400 xlabel('Frecuencia (Hz)')
401 legend('Aire modelo', 'Aire estimada', 'Isopropanol modelo', ...
    'Isopropanol estimada', 'Acetona modelo', 'Acetona ...
    estimada', 'Metanol modelo', 'Metanol estimada', ...
    'Etilenglicol modelo', 'Etilenglicol estimada', 'Agua ...
    destilada modelo', 'Agua destilada estimada')
402
403
404
405 %% Funciones
406 function [Debye_Perm] = Debye(eps_0, eps_inf, relaxT, freq)
407 % Función que calcula el modelo de Debye de medios dieléctricos
408 % La función ofrece como salida el valor complejo de la ...
    permitividad a partir de las entradas: 1) 'eps_0' = ...
    Permitividad estática; 2) 'eps_inf' = Permitividad en el ...
    infinito; 3) 'relaxT' = Tiempo de relajación (s); 4) ...
    'freq' = Frecuencia (Hz)
409
410     Debye_Perm = eps_inf+(eps_0 - eps_inf) / (1 + ...
        j*2*pi*freq*relaxT);
411 end
412
413 function [ColeCole_Perm] = ColeCole(eps_0, eps_inf, relaxT, ...
    beta, freq)
414 % Función que calcula el modelo de Cole-Cole de medios ...
    dieléctricos
415 % La función ofrece como salida el valor complejo de la ...
    permitividad a partir de las entradas: 1) 'eps_0' = ...
    Permitividad estática; 2) 'eps_inf' = Permitividad en el ...
    infinito; 3) 'relaxT' = Tiempo de relajación (s); 4) ...
```

```
'beta' = Parámetro que caracteriza los tiempos de la ...
distribución de relajación; 5) 'freq' = Frecuencia (Hz)
416
417     ColeCole_Perm = eps_inf+(eps_0 - eps_inf) / (1 + ...
        (j*2*pi*freq*relaxT)^beta);
418 end
419
420 function [ColeDavidson_Perm] = ColeDavidson(eps_0, eps_inf, ...
        relaxfreq, beta, freq)
421 % Función que calcula el modelo de Davidson-Cole de medios ...
        dieléctricos
422 % La función ofrece como salida el valor complejo de la ...
        permitividad a partir de las entradas: 1) 'eps_0' = ...
        Permitividad estática; 2) 'eps_inf' = Permitividad en el ...
        infinito; 3) 'relaxT' = Tiempo de relajación (s); 4) ...
        'beta' = Parámetro que caracteriza los tiempos de la ...
        distribución de relajación; 5) 'freq' = Frecuencia (Hz)
423
424     ColeDavidson_Perm = eps_inf+(eps_0 - eps_inf) / (1 + ...
        j*freq/relaxfreq)^beta;
425 end
426
427
428
429
430
431
432
433 function J = javicolormap(m)
434     % Mapa de colores
435
436     c = [1, 60, 244;
437         239, 1, 51;
438         48, 239, 36;
439         194, 85, 230;
440         252, 166, 26;
441         29, 214, 255;
442         254, 139, 255;
443         41, 238, 162;
444         141, 24, 249;
445         247, 193, 34;
446         20, 128, 253;
447         253, 44, 253;
448         161, 252, 55;
449         96, 4, 199;
450         168, 104, 0];
451
452     if m <= length(c)
453         J = zeros(m, 3);
```

```
454         for ii=1:m
455             J(ii,:) = c(ii, :)./255;
456         end
457     else
458         J = zeros(m, 3);
459         positions = linspace(0, 1, length(c));
460         J = customcolormap(positions, c, m);
461         J = J./255;
462     end
463 end
```

Bibliografía

- [1] M. Hiebel, *Fundamentals of Vector Network Analysis*, 2007.
- [2] N. Wagner et al., *Numerical 3-D FEM and Experimental Analysis of the Open-Ended Coaxial Line Technique for Microwave Dielectric Spectroscopy on Soil*, 2014.
- [3] Juan D. et al., *Evaluating a low-cost self-manufactured Coaxial Open-Ended Probe for the Measurement of the Complex Permittivity of Granular Media*, 2021.
- [4] U. Kaatze, *Complex Permittivity of Water as a Function of Frequency and Temperature*, 1989.
- [5] F. Buckley, A. A. Maryott, *Circular of the Bureau of Standards no. 589: Tables of Dielectric Dispersion Data for Pure Liquids and Dilute Solutions*, 1958.
- [6] A. P. Gregory, R. N. Clarke, *Tables of the Complex Permittivity of Dielectric Reference Liquids at Frequencies up to 5 GHz*, 2012.
- [7] S. Havriliak, S. Negami, *A Complex Plane Representation of Dielectric and Mechanical Relaxation Processes in Some Polymers*, 1967.
- [8] U. Kaatze, *Measuring the dielectric properties of materials. Ninety-year development from low-frequency techniques to broadband spectroscopy and high-frequency imaging*, 2012.
- [9] T. A. Belyaeva et al., *Complex Dielectric Permittivity of Saline Soils and Rocks at Frequencies from 10 kHz to 8 GHz*, 2017.
- [10] F. M. Francisca, V. A. Rinaldi, *Complex Dielectric Permittivity of Soil–Organic Mixtures (20 MHz–1.3 GHz)*, 2003.

BIBLIOGRAFÍA

- [11] Juan D. et al., *Dielectric Spectroscopy and Application of Mixing Models Describing Dielectric Dispersion in Clay Minerals and Clayey Soils*, 2020.
- [12] J. M. Miranda, J. L. Sebastián, M. Sierra, J. Margineda, *Ingeniería de Microondas, Técnicas experimentales*, 2002.
- [13] L. F. Chen, C. K. Ong, C. P. Neo, *Microwave Electronics: Measurement and Materials Characterization*, 2004.
- [14] W. H. Hayt, J. A. Buck, *Engineering Electromagnetics*, 2000.
- [15] Agilent Technologies, *Agilent Network Analyzer Basics*, 2004.
- [16] Agilent Technologies, *Agilent Basics of Measuring the Dielectric Properties of Materials. Application Note*, 2006.
- [17] M. W. Hyde, M. J. Havrilla, A. E. Bogle, N. J. Lehman, *Broadband Characterization of Materials Using a Dual-Rigged Waveguide*, 2013.
- [18] K. Saeed, R. D. Pollard, C. Hunter, *Substrate Integrated Waveguide Cavity Resonators for Complex Permittivity Characterization of Materials*, 2008.
- [19] H. Esteban, J. M. Catala-Civera, S. Cogollos, V. E. Boria, *Characterization of Complex Permittivity Properties of Materials in Rectangular Waveguides using Hybrid Iterative Method*, 2000.
- [20] H. Kikuyama, *Fundamentals of Vector Signal Analysis*, 2010.
- [21] Ballo D., *Network Analyzer Basics*, 1998.
- [22] F. Caspers (CERN), *RF engineering basic concepts: S-parameters and the Smith chart*, 2007.
- [23] Anritsu, *Application Note. Time Domain Measurements Using Vector Network Analyzers*, 2013.
- [24] R. M. Guglielmi, *Using STM32 USART with ChibiOS Serial Driver*, 2019.
- [25] H. F. Cancino de Greiff, *Circuitos de RF y las Comunicaciones Analógicas*, 2011.
- [26] Surface mount process, *A guide to effective stencil design*, 2015.
- [27] D. Lee, *Smith Chart Tuning*, 2013.

- [28] G. Radha, Dr. G. S. N. Raju, *Transmission and Reflection Characteristics of Electromagnetic Energy in Biological Tissues*, 2013.
- [29] Electronics Notes, *What is a Vector Network Analyzer, VNA: the basics*, 2010.
- [30] HP Memory Project, *Network Analyzer - Scalar & Vector*, 2010.
- [31] Keysight Technologies, *The Evolution of RF/Microwave Network Analyzers*, 2014.
- [32] Giovanni Di Sirio, *ChibiOS/RT. Reference Manual*, 2021.
- [33] Giovanni Di Sirio, *ChibiOS/HAL. Reference Manual*, 2021.
- [34] J. M. Rodríguez et al., *Medidas de propiedades dieléctricas de materiales de construcción utilizando una guía rectangular*, 2008.
- [35] K. Y. You, *Materials Characterization Using Microwave Waveguide Systems*, 2017.
- [36] SDI-12 Support Group, *SDI-12. A Serial-Digital Interface Standard for Microprocessor-Based Sensors*, 2021.
- [37] A. Saari et al., *Using SDI-12 with ST Microelectronics MCU's*, 2015.
- [38] Juan C., *Estudio del efecto de la cristalización fría y del envejecimiento físico en las relajaciones de los polímeros mediante la técnica de corrientes estimuladas térmicamente*, 1999.
- [39] Sergio R. et al., *Estudio de la dinámica de relajación en fase amorfa de un fármaco en alta presión*, 2018.
- [40] Javier C. et al., *Caracterización de materiales para sensores de Radiofrecuencia*, 2015.
- [41] Daniel I., José María R., *Estudio de las propiedades dieléctricas de materiales en Radiofrecuencia*, 2014.
- [42] T. Takahashi, *NanoVNA*, 2020.

BIBLIOGRAFÍA

Agradecimientos

Quisiera agradecer, en primer lugar, a mis directores de proyecto Manuel Jiménez Buendía, Ana Toledo Moreo y Juan Domingo González Teruel, por la oportunidad que me han otorgado de poder realizar el presente Trabajo Fin de Grado en participación con uno de sus proyectos de doctorado, y por la confianza que me han transmitido en todo momento. El proyecto me ha permitido enfrentarme al campo de las Telecomunicaciones, así como profundizar en el campo de la electrónica y automática, de forma que me ha posibilitado ampliar mis conocimientos en ambas áreas de trabajo.

Además, quiero agradecer a mi familia su constante sacrificio para llegar hasta aquí, por esperar siempre algo grande de mí, por haberme ayudado y apoyado en todo momento, y por su apuesta incondicional por mi futuro.

También, quisiera agradecer a todos los profesores que he tenido a lo largo de mi paso por la universidad su esfuerzo por mostrarme y enseñarme todo lo que saben, y por facilitarme el camino durante mi aprendizaje. Esto es el resultado de su buen trabajo.

Por último, quiero agradecer a mis amigos, compañeros de carrera y personas que he conocido en la comunidad universitaria por los grandes momentos vividos durante estos cuatro años y por los recuerdos que nos unirán para siempre, aunque el tiempo a veces nos separe.

